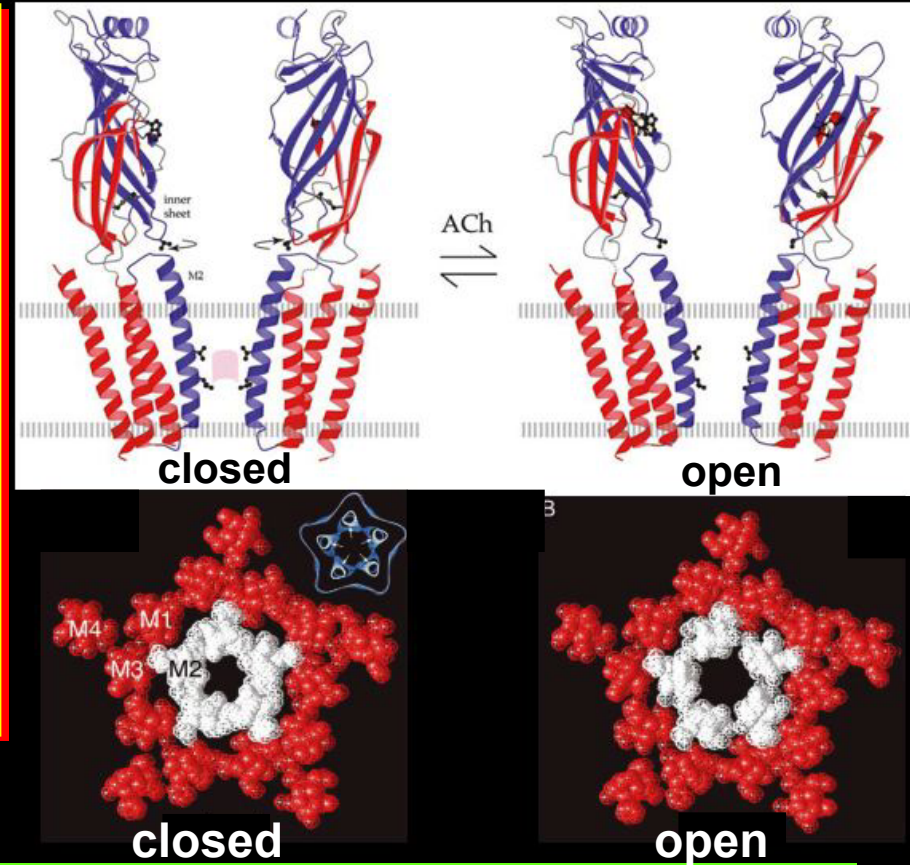


Ионные каналы и синапсы: ключевые молекулярные блоки биологической жизни

26 октября, 2009

Междисциплинарный
курс лекций
"Молекулярная
физиология"

МГУ Москва

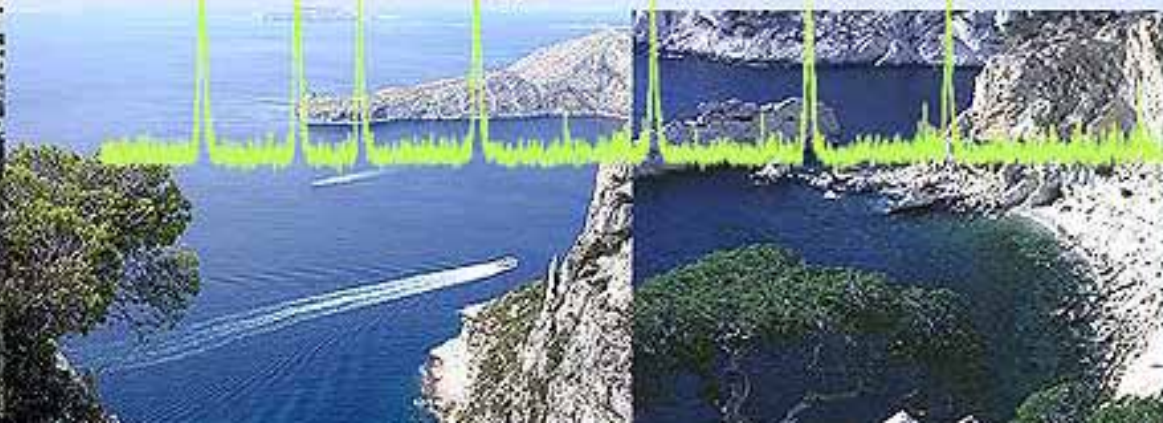
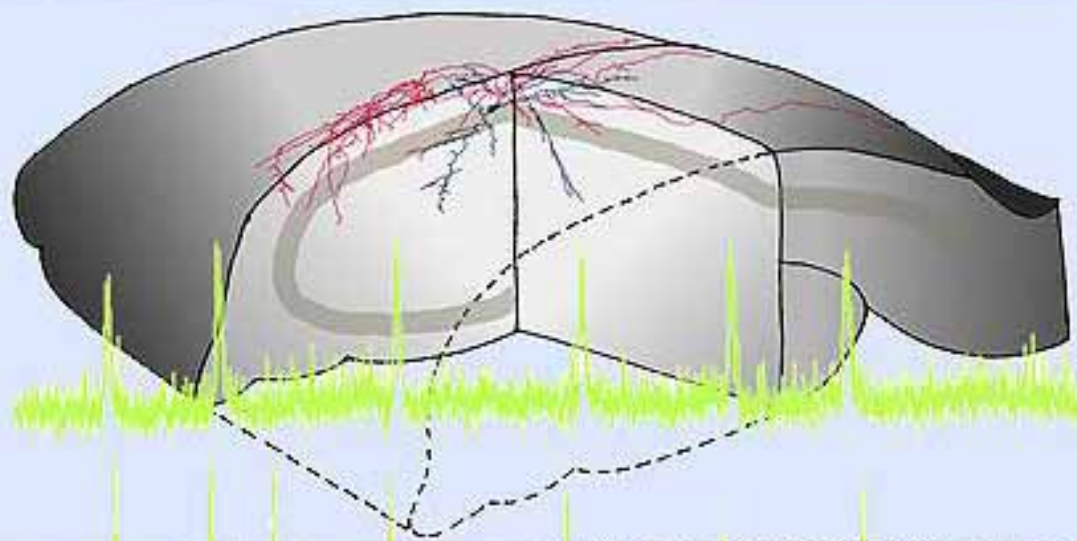


Петр Брежестовский
Средиземноморский Институт Нейробиологии
Марсель, Франция
pbreges@inmed.univ-mrs.fr





Institut de Neurobiologie de la MEDiterranée

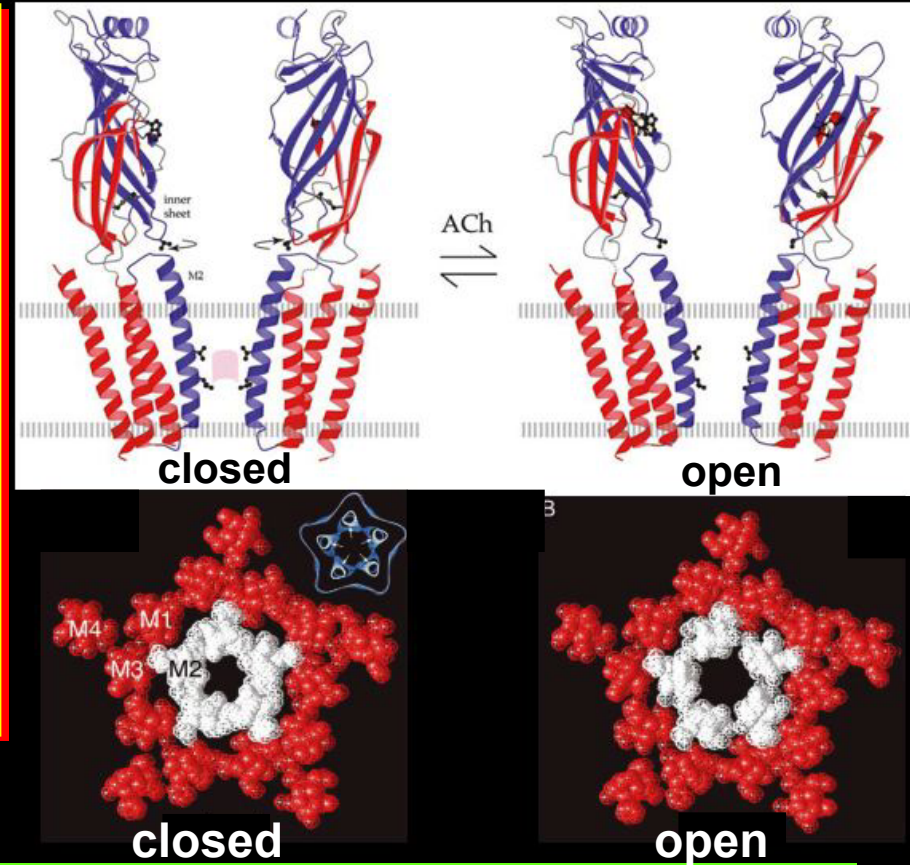


Ионные каналы и синапсы: ключевые молекулярные блоки биологической жизни

26 октября, 2009

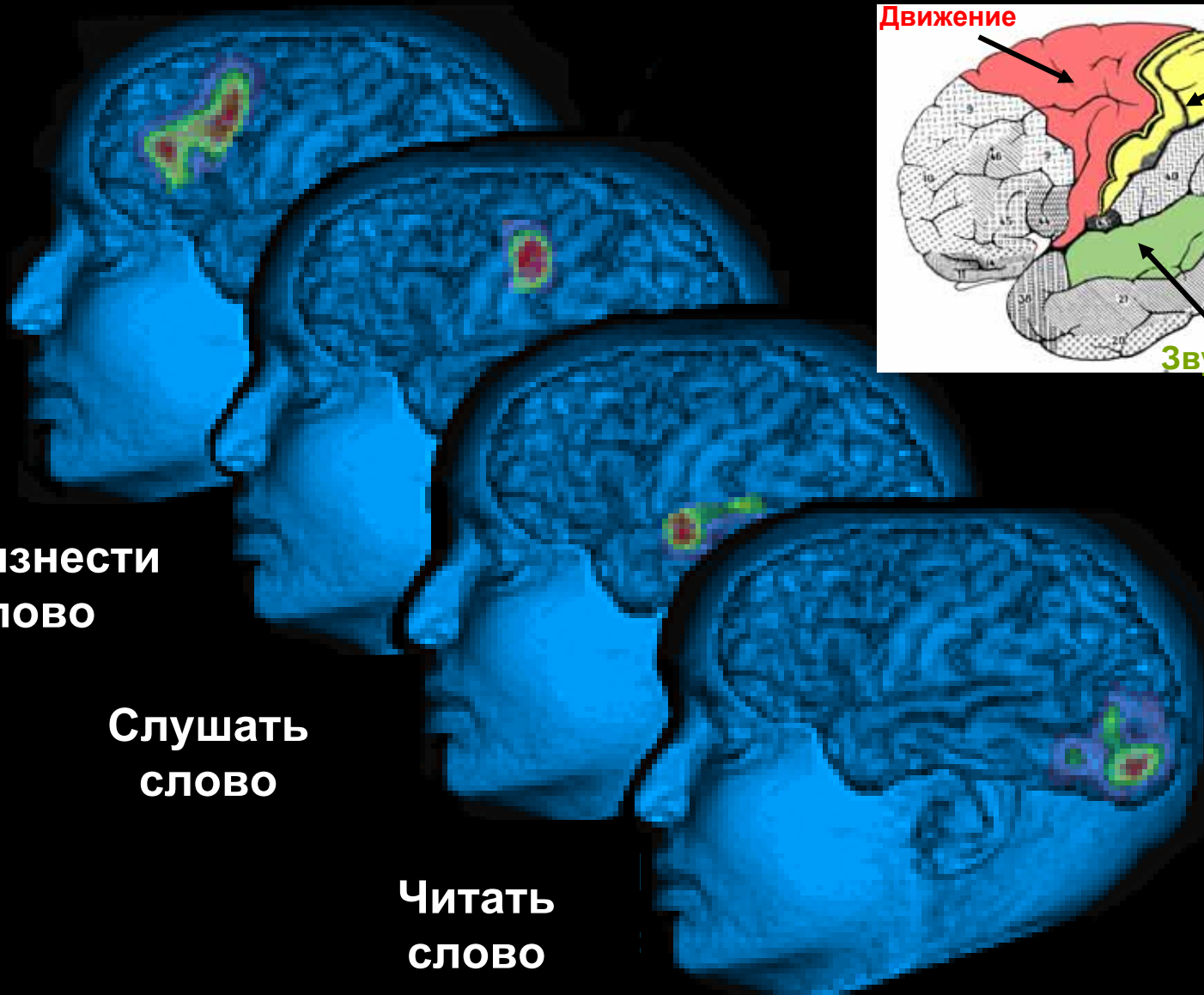
Междисциплинарный
курс лекций
"Молекулярная
физиология"

МГУ Москва



Петр Брежестовский
Средиземноморский Институт Нейробиологии
Марсель, Франция
pbreges@inmed.univ-mrs.fr

Визуализация мозга: Позитронная эмиссионная томография

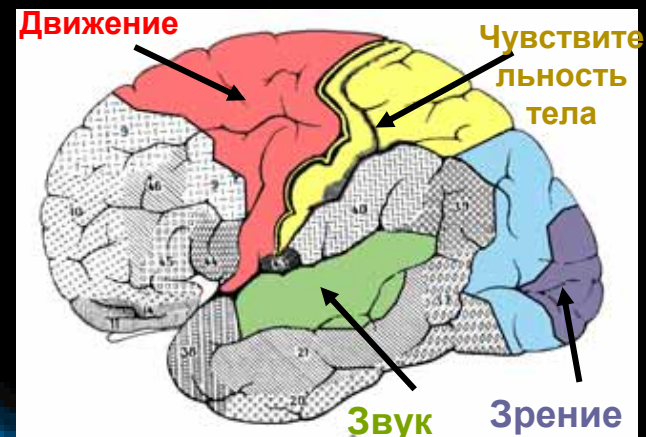


Найти
слово




Произнести
слово

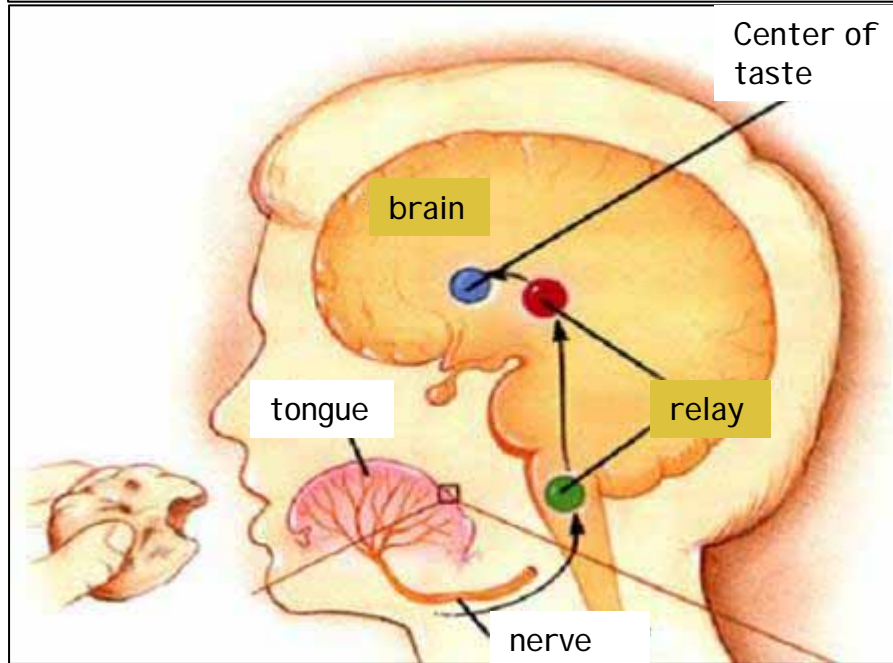
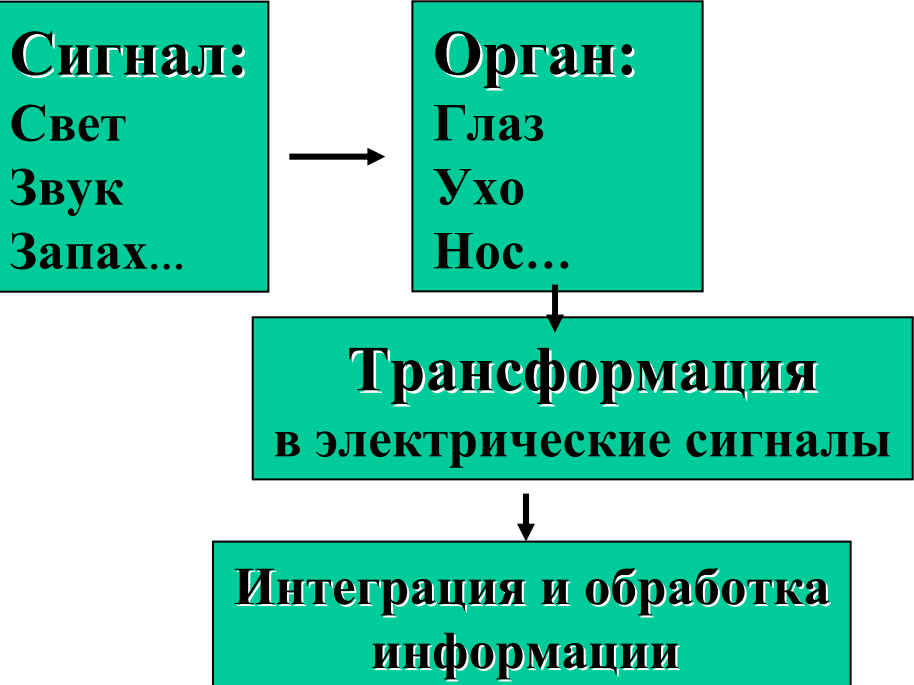
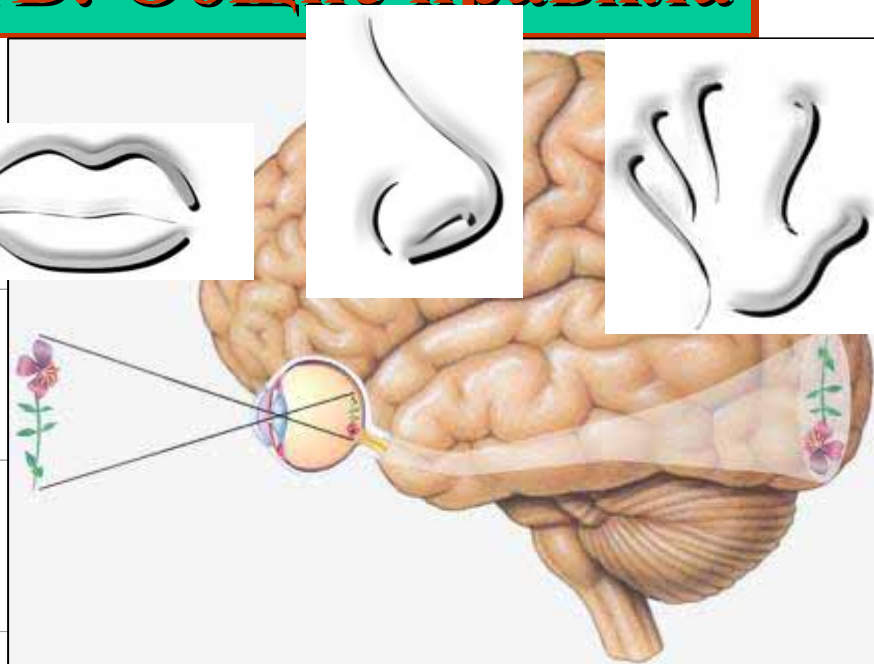
Слушать
слово

Читать
слово



ОРГАНЫ ЧУВСТВ: Общие правила

					
чувства	зрение	слух			
органы чувств	глаза	уши			



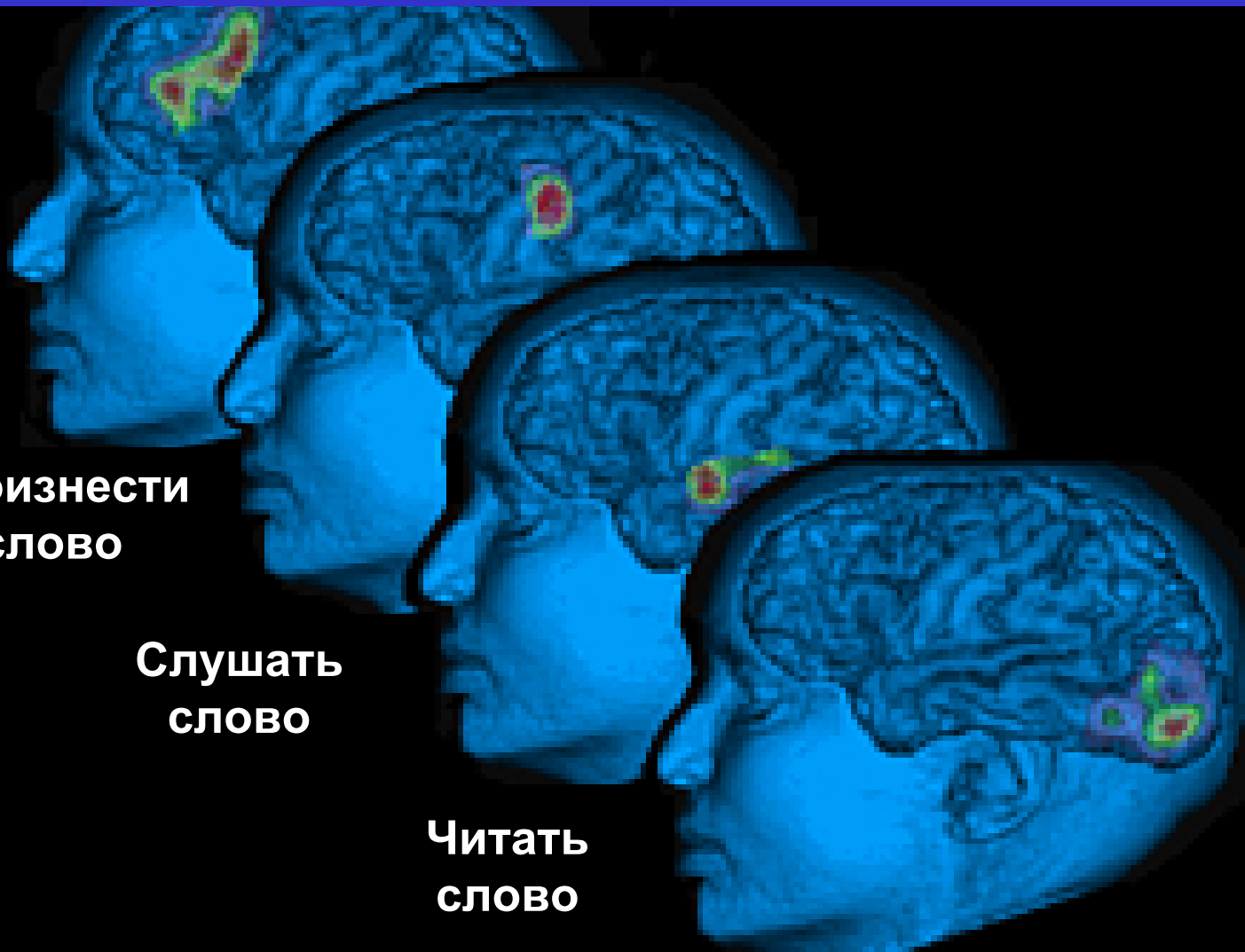
Биологические организмы - "молекулярные машины", способные превращать световые, звуковые, химические, механические и др. внешние сигналы в электрические.

**Найти
слово**

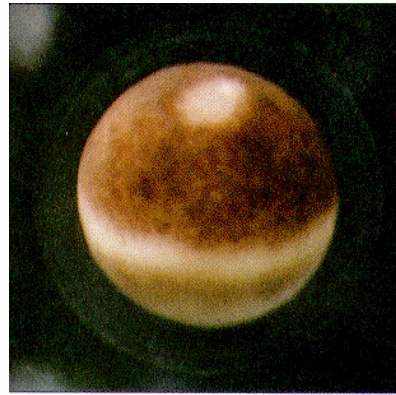
**Произнести
слово**

**Слушать
слово**

**Читать
слово**



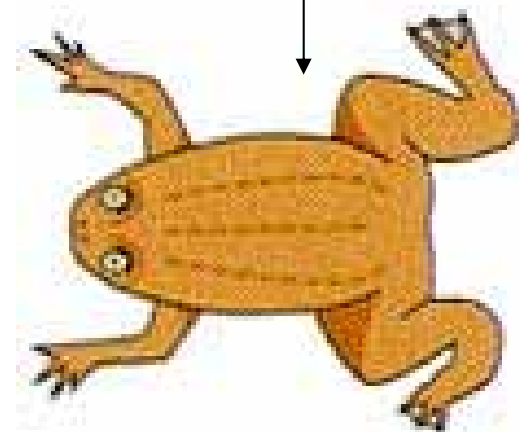
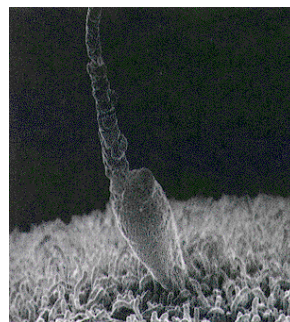
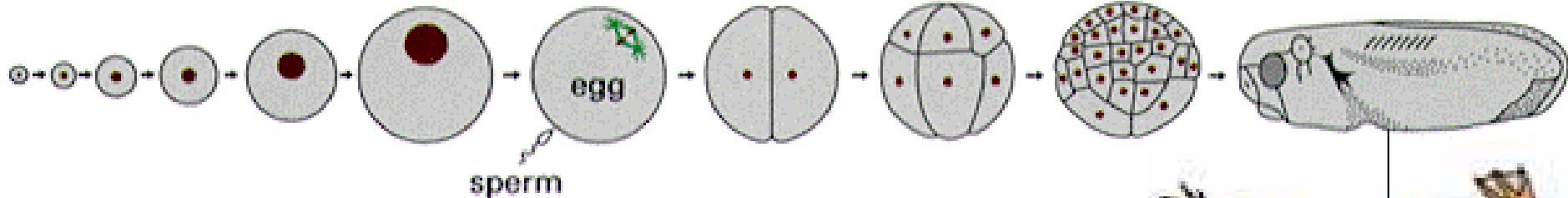
Основные стадии развития



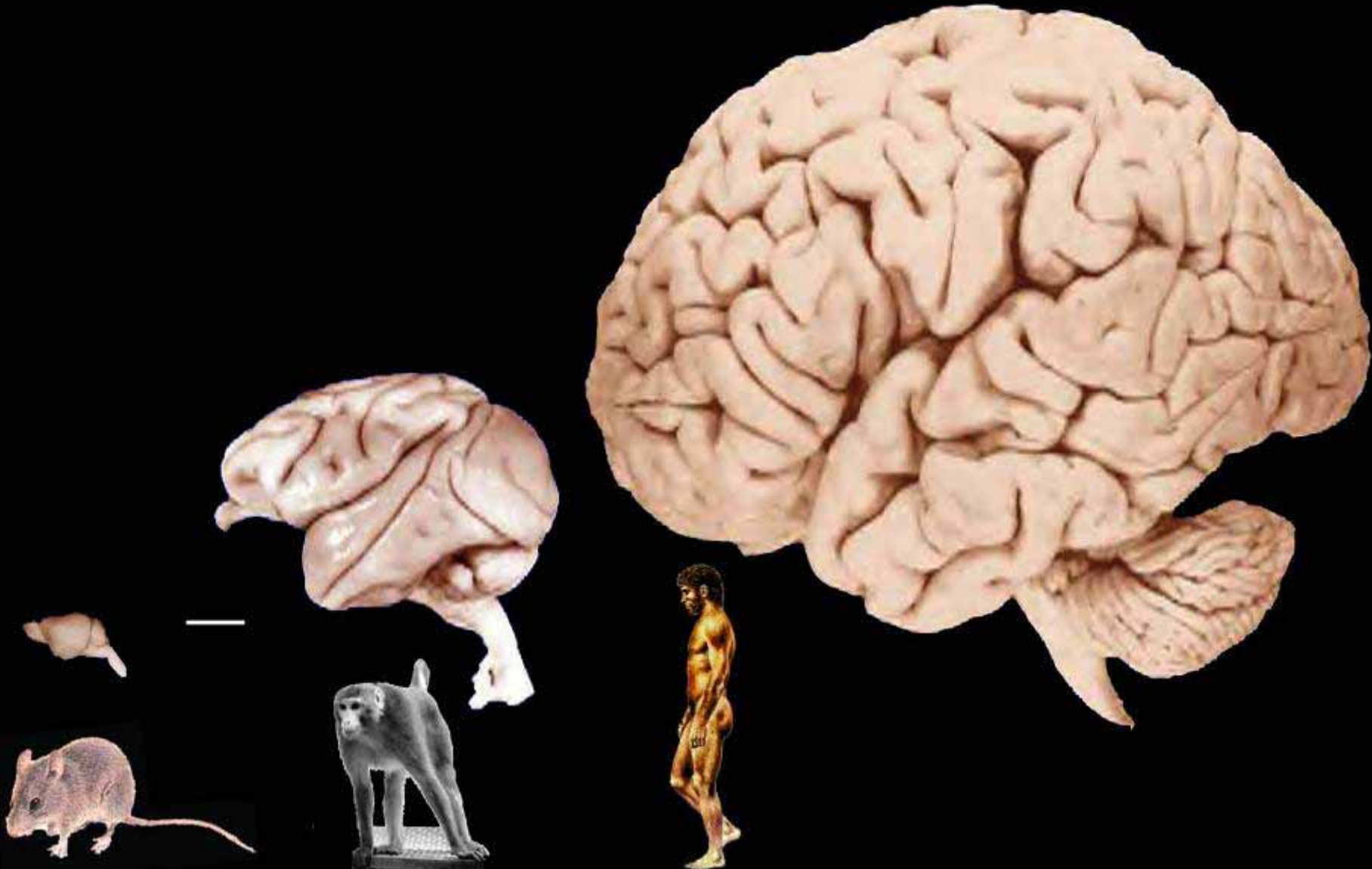
0.5 mm

oocyte grows without dividing
(months)

fertilized egg divides without growing
(hours)



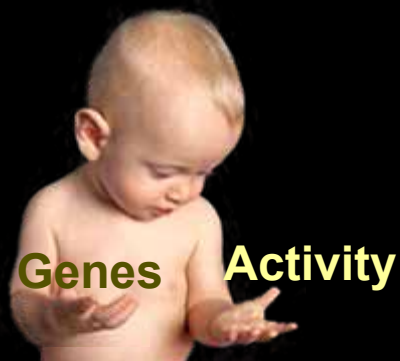
Относительные размеры мозга млекопитающих



Основные этапы развития мозга

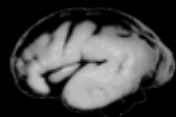


Основные этапы развития мозга и формирование нейрональной сети



Микросети:
локальные
взаимодействия

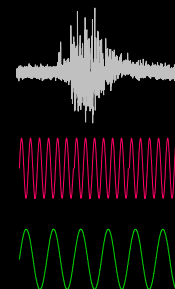
0 synapse



Ранние осцилляции нейрональных сетей



10^{15} synapses



Сложные осцилляции нейрональных сетей

Этапы развития коры

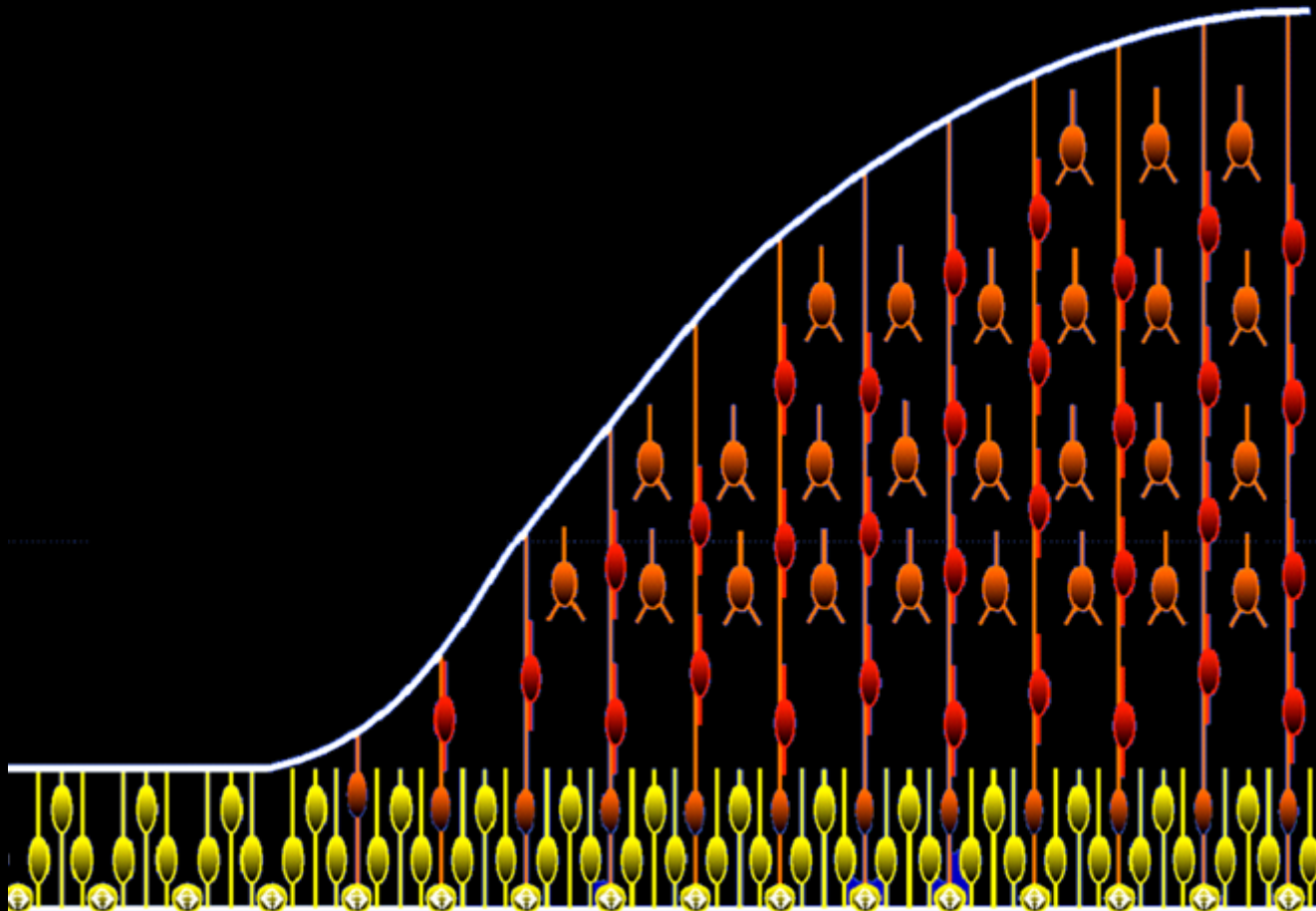
Пролиферация
клеток



Дифференцировка и
миграция

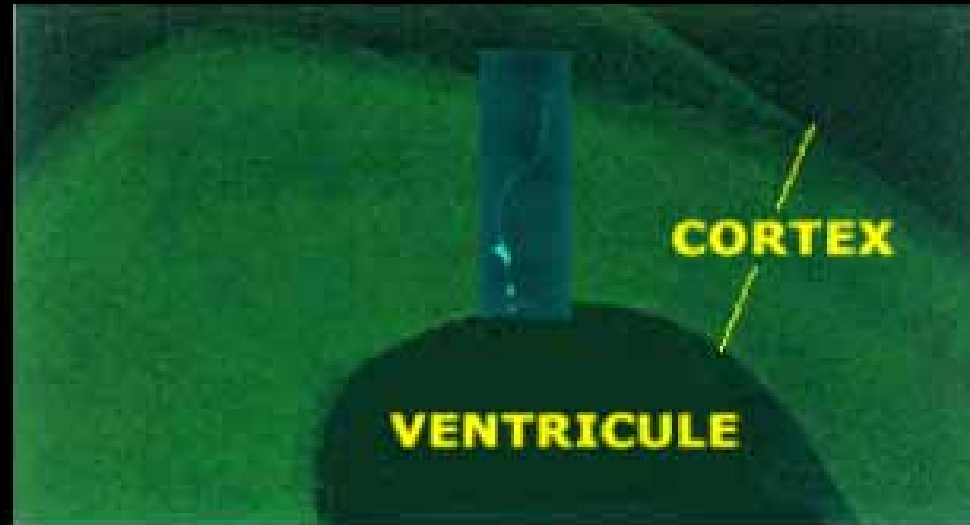
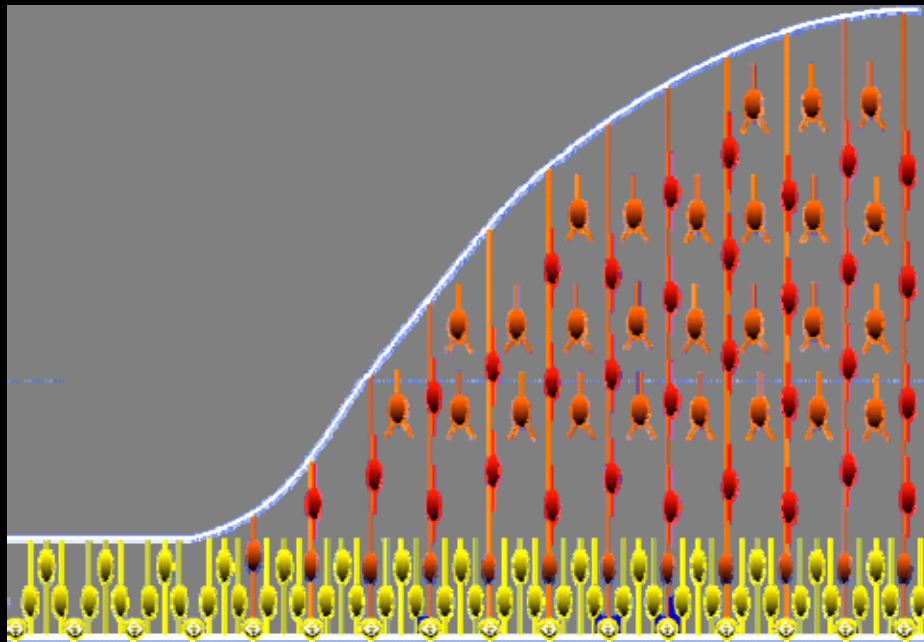


Конечная
дифференцировка

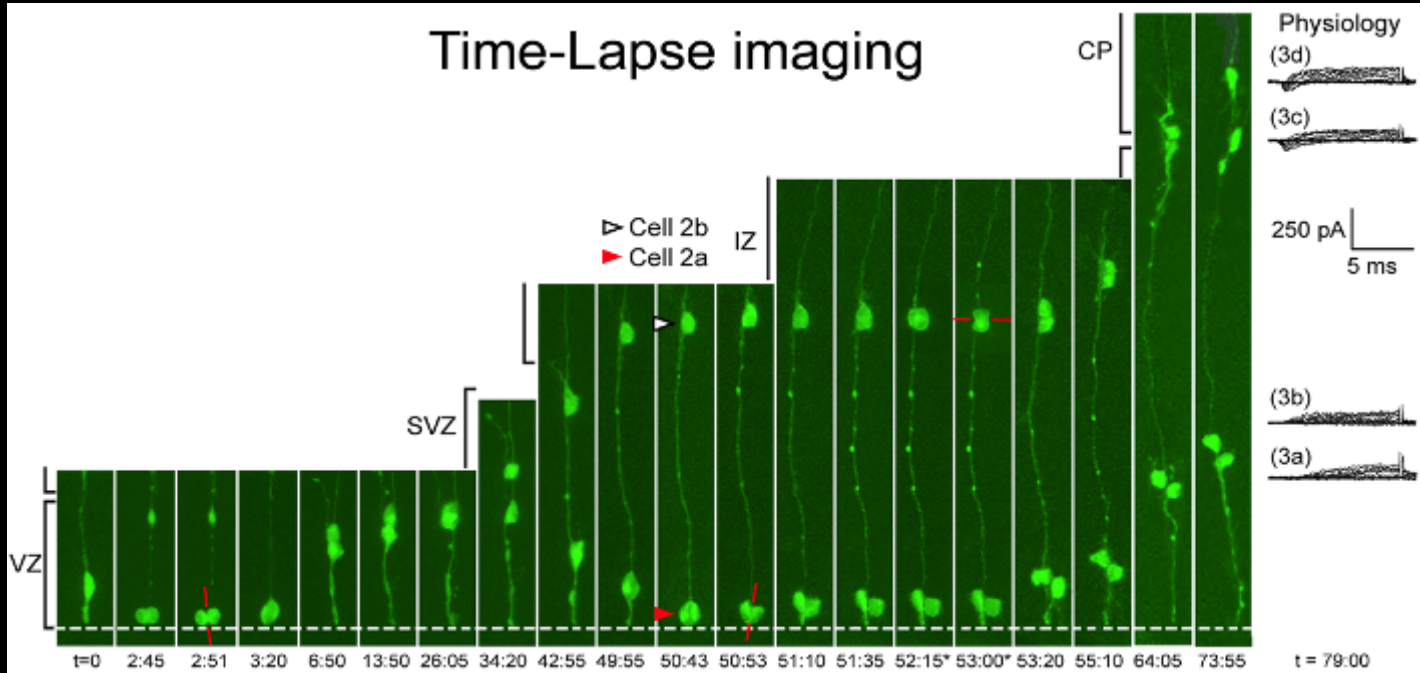


Этапы развития коры






Kriegstein et al.



Time-Lapse imaging



Гены, нейроны и синапсы

	Species	Nb genes	Nb neurones	Nb synapses
	<i>C. elegans</i>	20 000	302	
	<i>Drosophila</i>	12 000	205 000	
	<i>Mus musculus</i>	33 000	100 000 000	1.2×10^{11}
	<i>Macacus mulatus</i>	30000	10 000 000 000	1.2×10^{13}
	<i>Homo sapiens</i>	30 000	100 000 000 000	1.2×10^{15}

To calculate 10^{11} (100 billion) seconds: more then 3000 years (3168 years).

10^{13} - > 3 million years; 10^{15} - > 300 million years

Физика



Химия



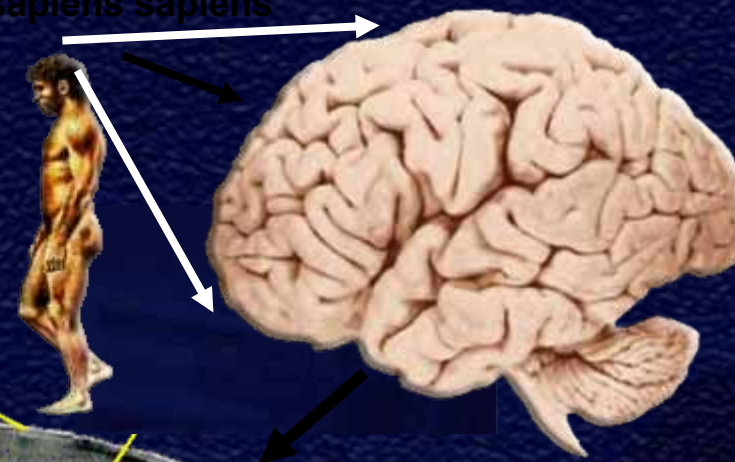
1953

Биология

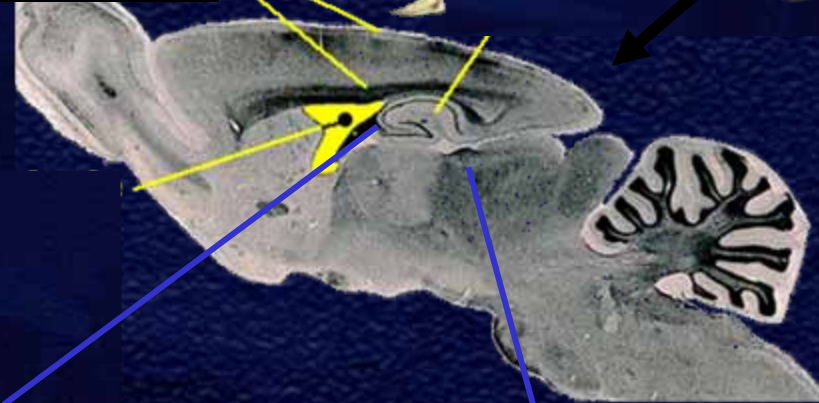
"Мозг - последняя и грандиознейшая биологическая вершина, наиболее глубокая тайна, которую нам еще предстоит разгадать "

James D. Watson "Discovering the Brain", 1992

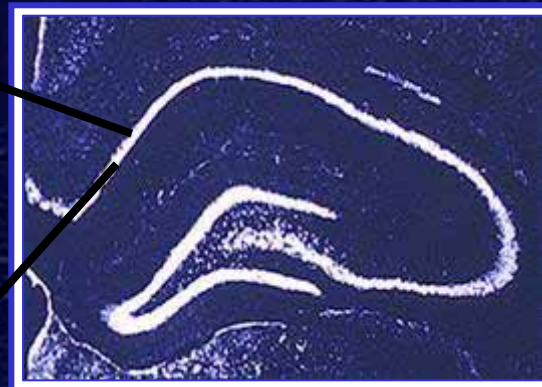
Homo sapiens sapiens



Slice of the brain



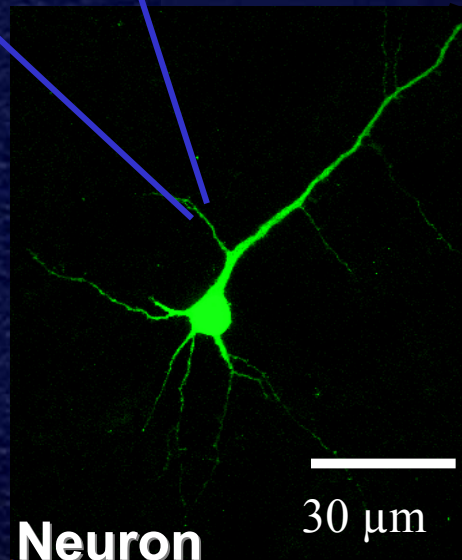
Slice of the hippocampus



Ion channel



Dendrite Synapses



Neuron

30 μm

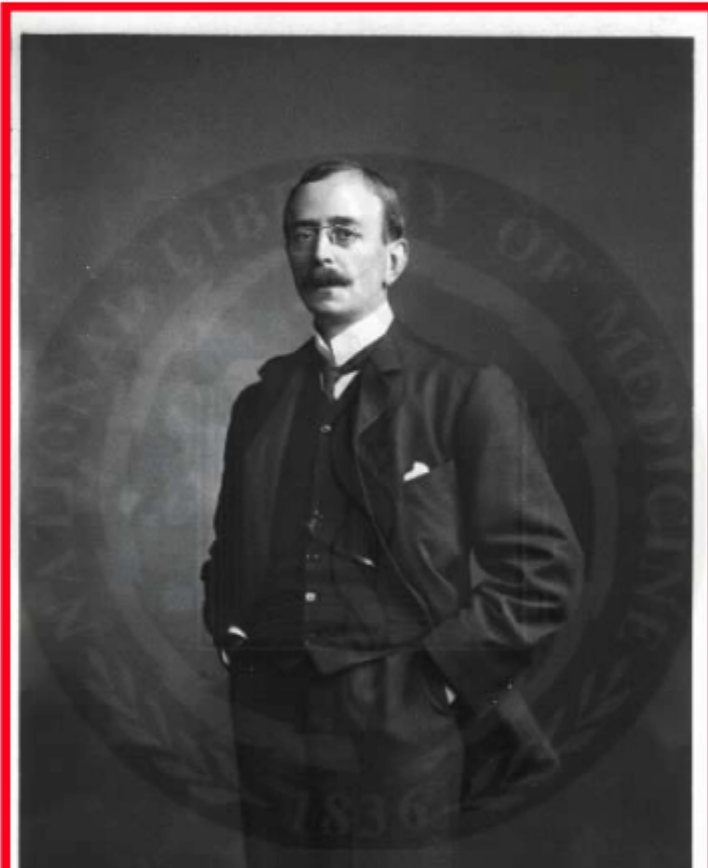
Мы сегодня обсудим:

- **Синапс: основные принципы организации**
- **Ионные каналы - ключевые белки трансформации электро-химических сигналов:**
 - **основные модули ионных каналов**
 - **принципы функционирования ионных каналов**
 - **что мы знаем о структуре ионных каналов**
- **Возбуждающие и тормозные синапсы**
- **Формирование и пластичность синапсов**

Синапс

Шеррингтон - 1897

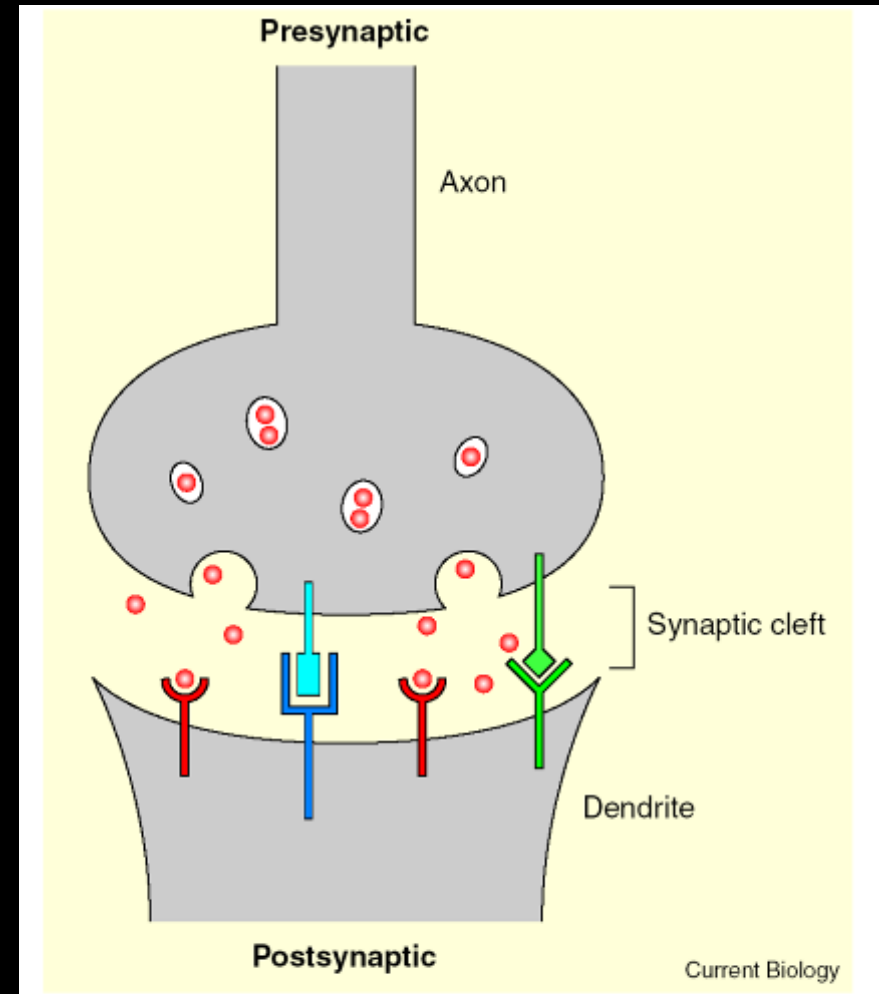
Lord C.S. Sherrington 1857-1952;
Étude sur les réflexes (réflexe myotatique)



Synapse - region (site) of the contact of neuron with the other cell.

Synapse – synaptein (Greek)

syn - together (вместе)
haptein-to hold (держат)

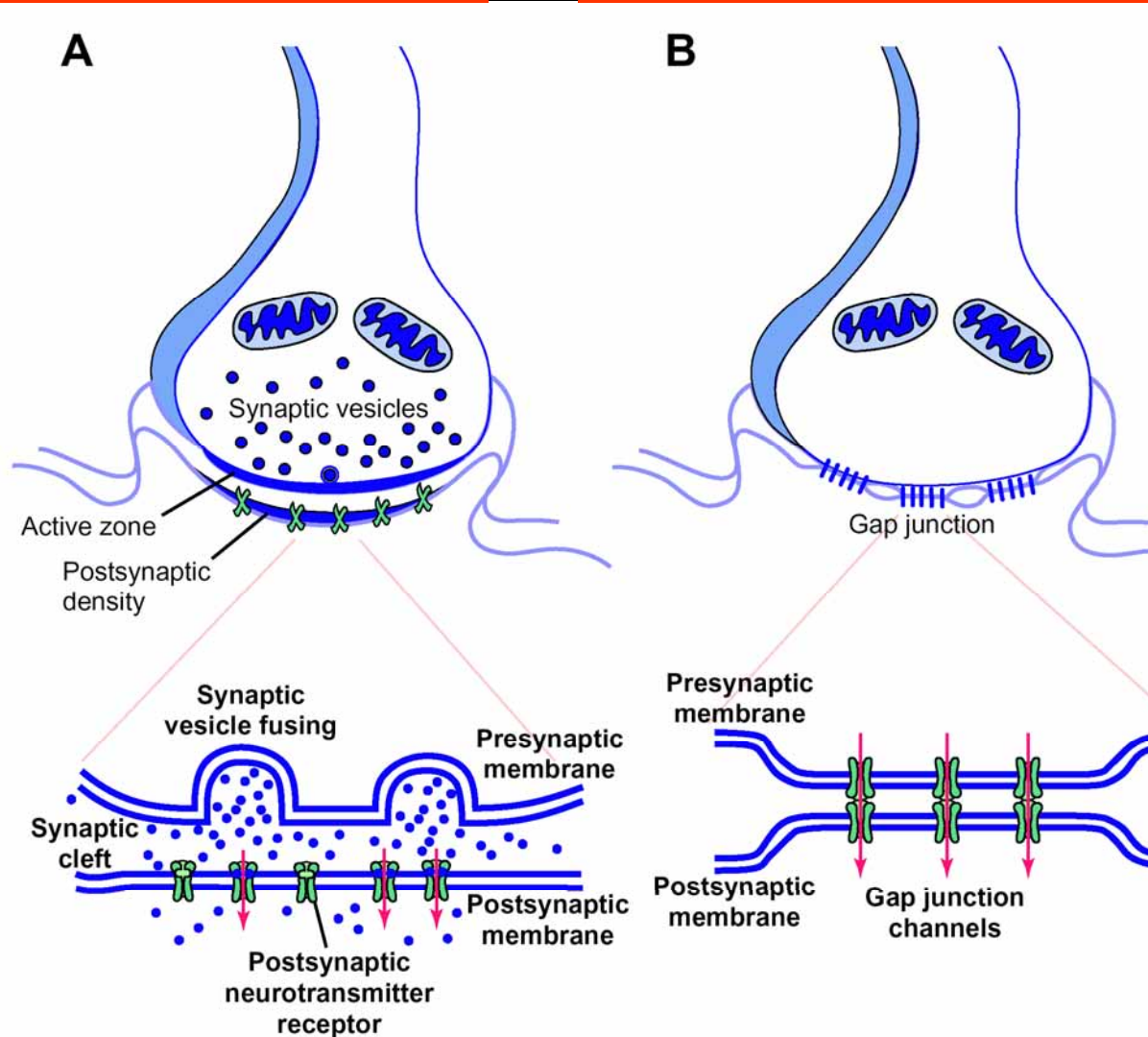


Синапс - место (участок) контакта нейрона с другой клеткой.

Основные типы синапсов

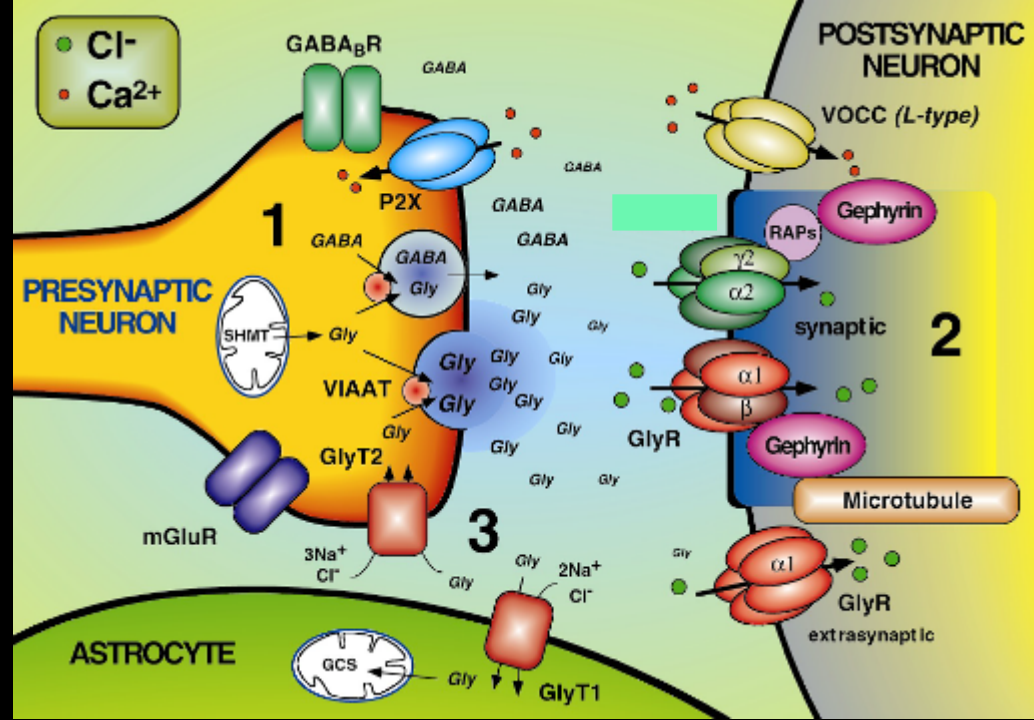
Химические

Электрические

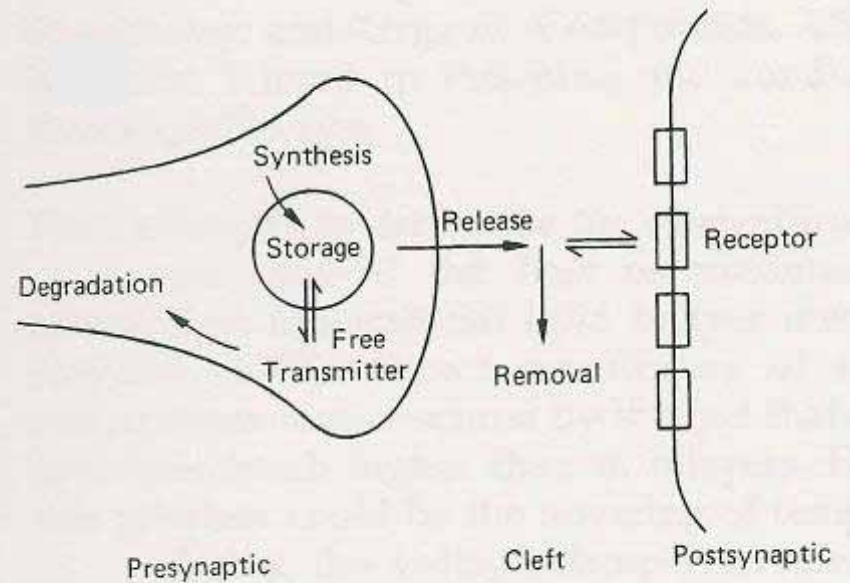


Synapse

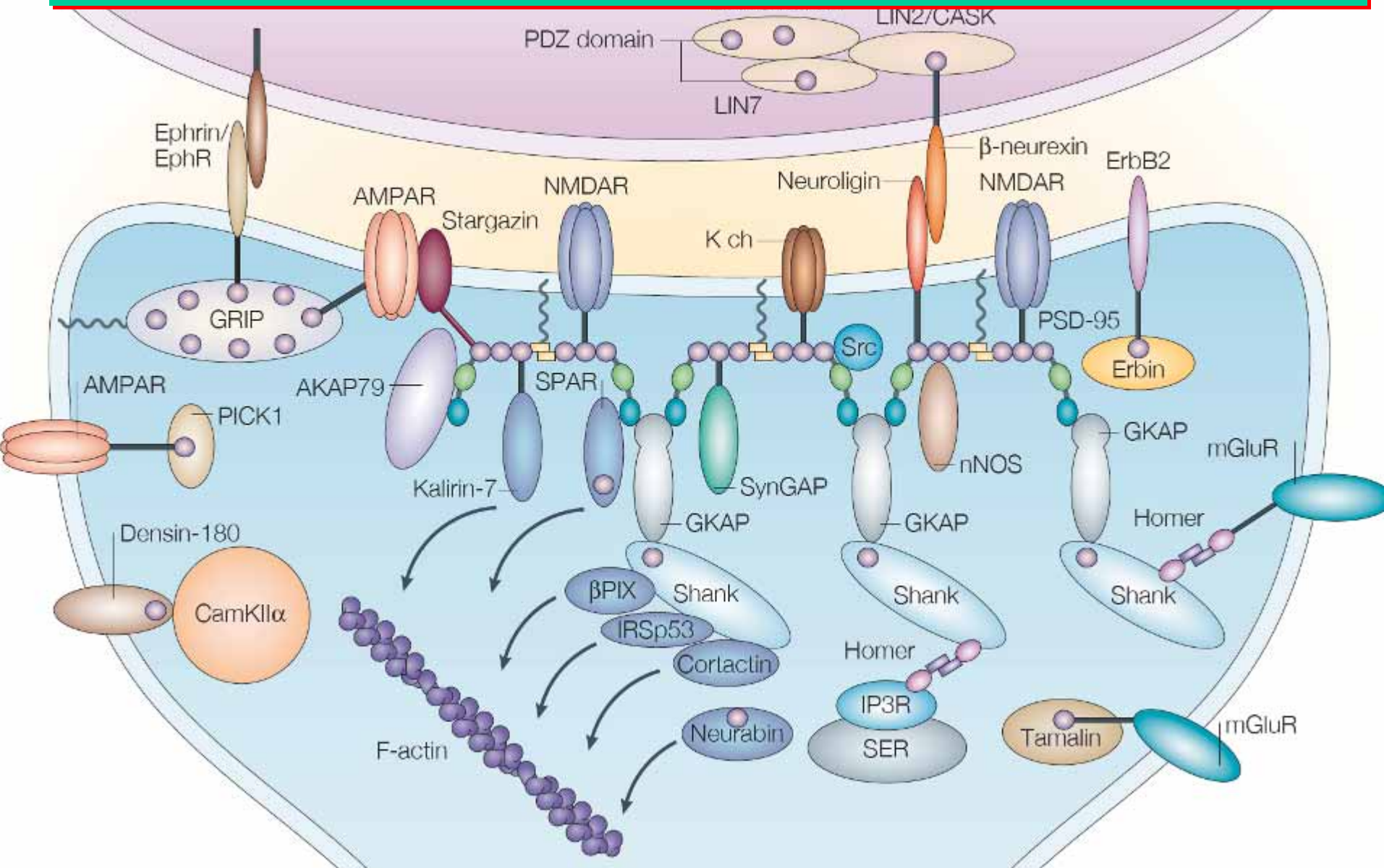
2000-e



1970-e



Компоненты постсинаптической области возбуждающего синапса - 2004



Bernard KATZ 1911-2003



B. Katz-1978

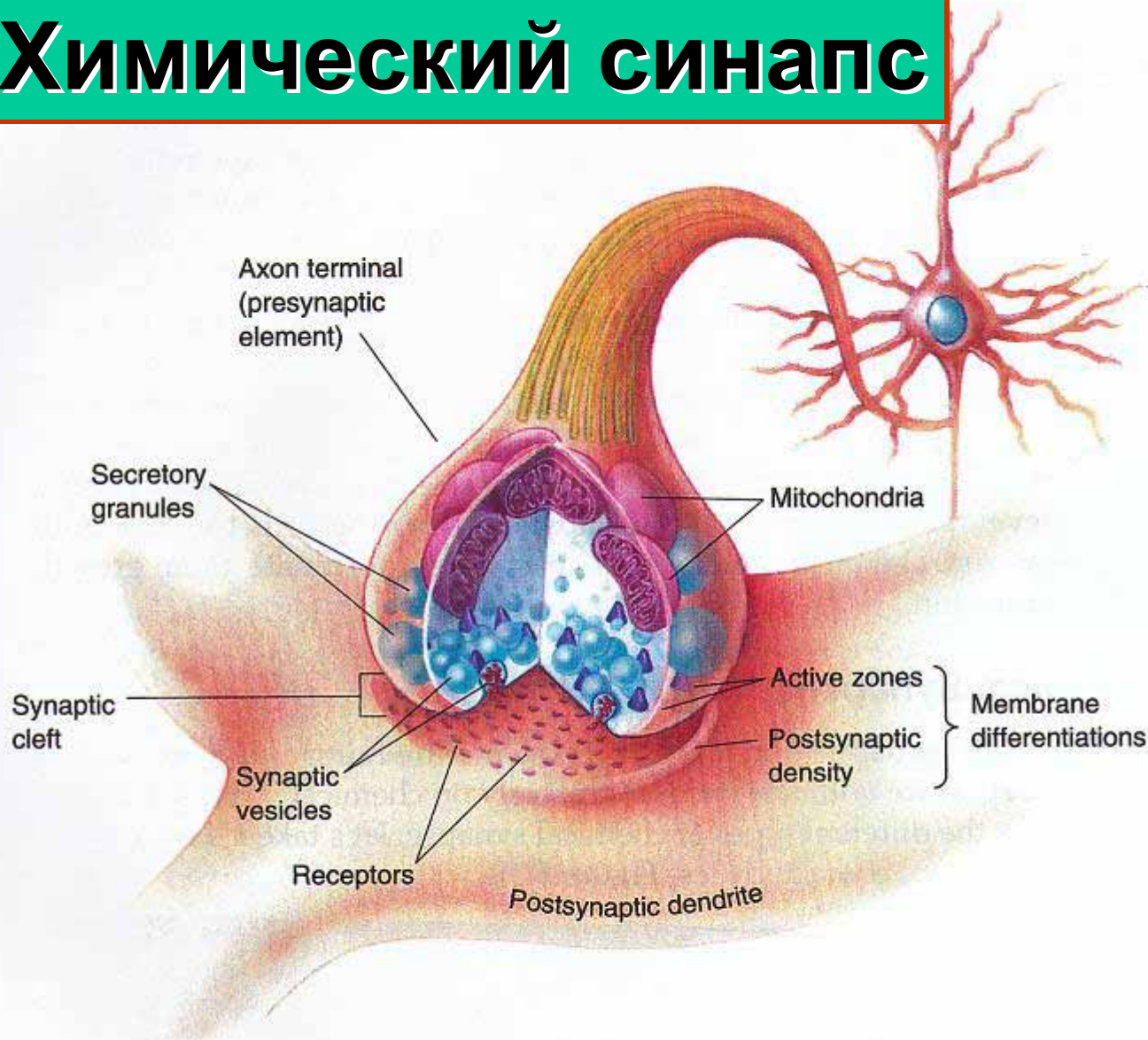


B. Katz-2002

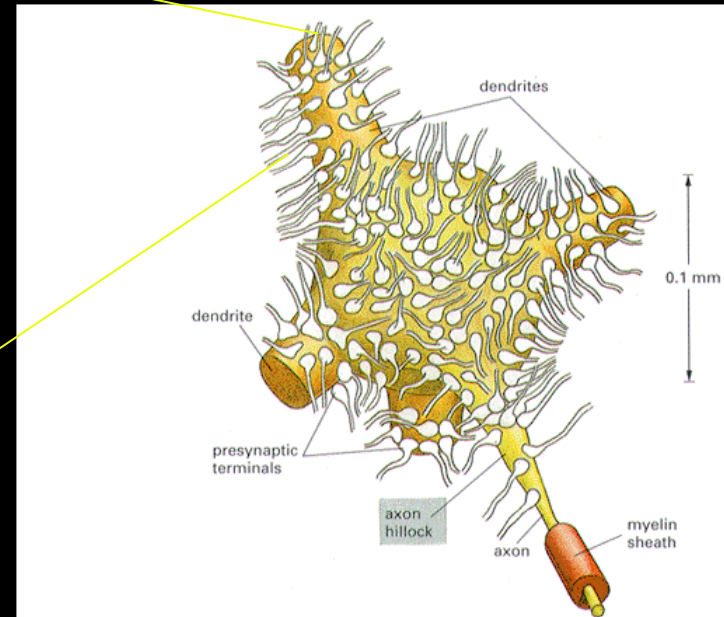
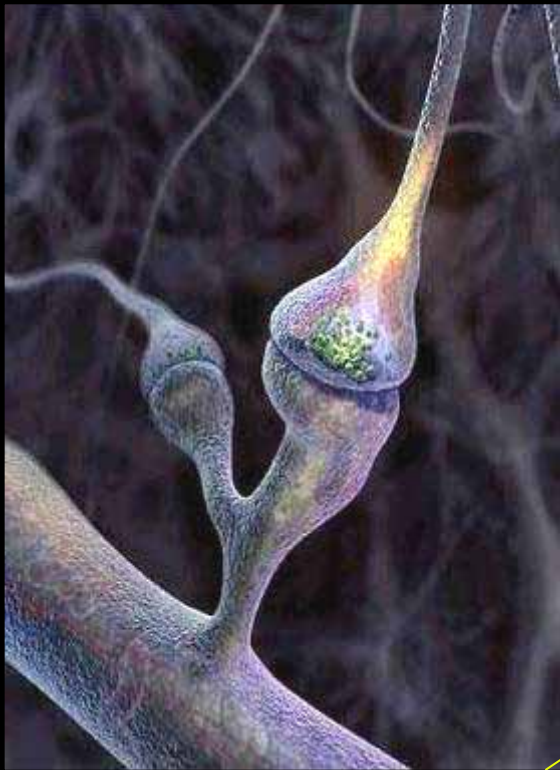
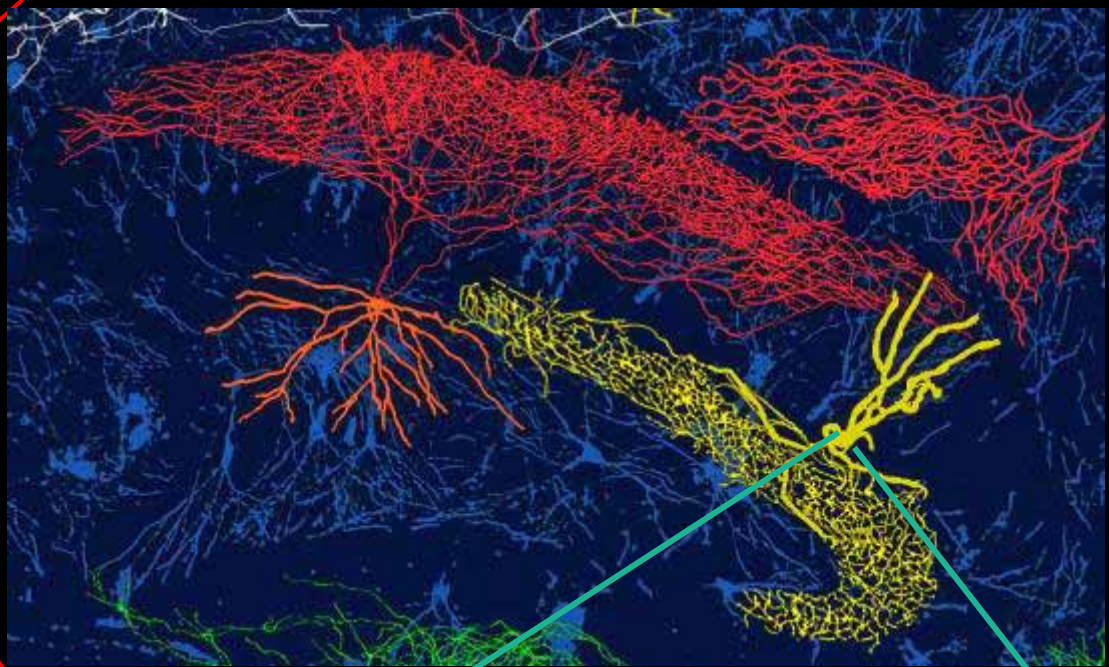
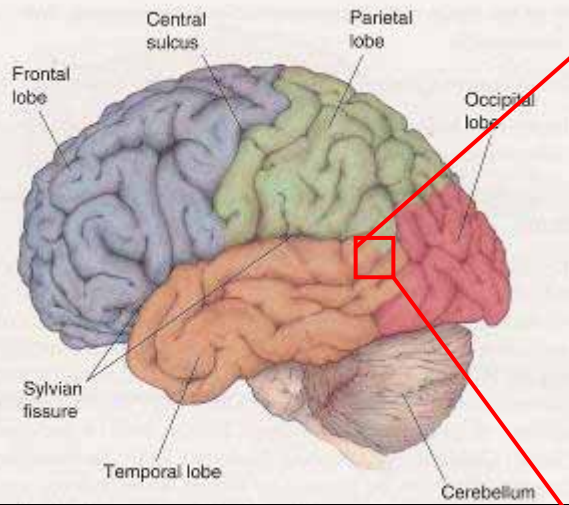
- квантовый выброс нейромедиатора
- ключевая роль кальция в выбросе нейромедиатора
- оценка параметров одиночных каналов

Nobel Price - 1970

Химический синапс



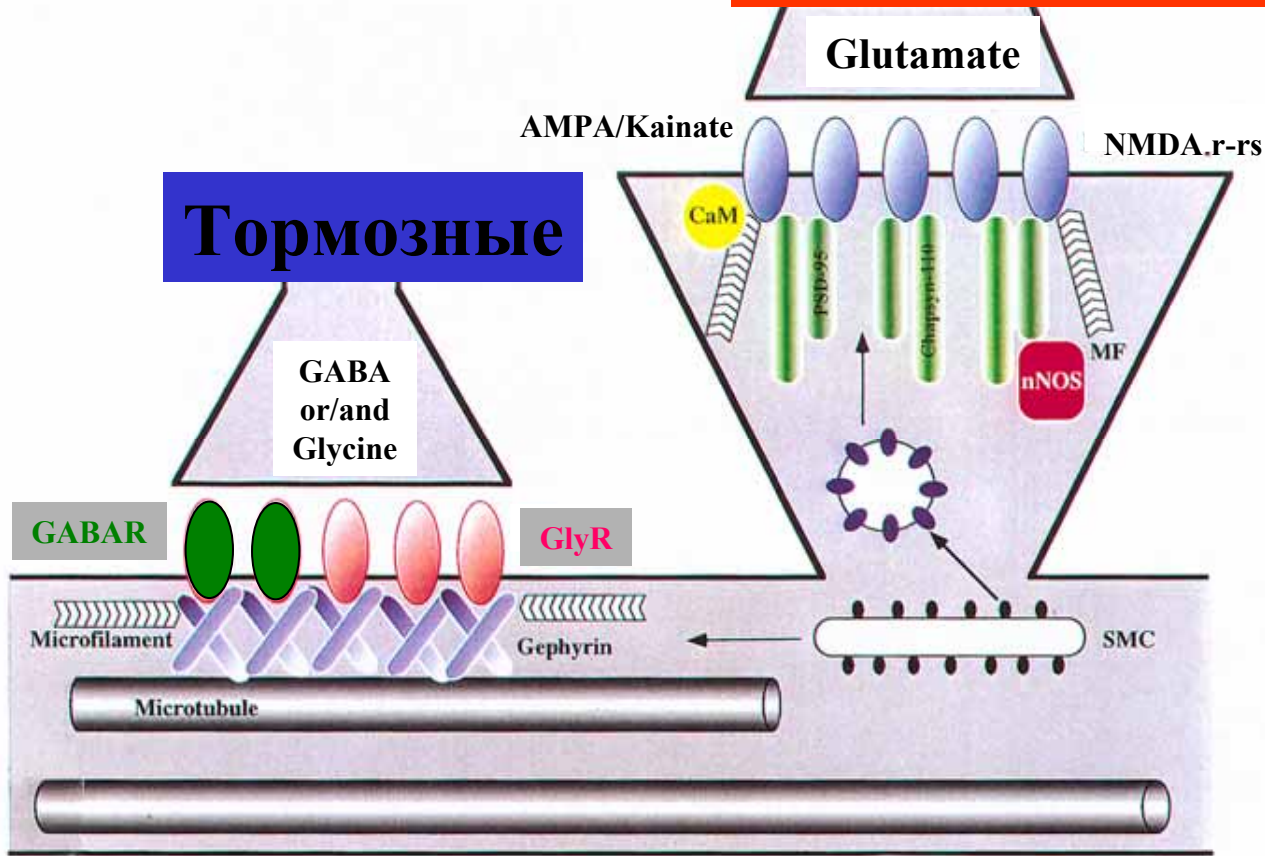
В химических синапсах передача сигнала осуществляется химическими соединениями (нейромедиаторами)



Синапсы в мозге позвоночных

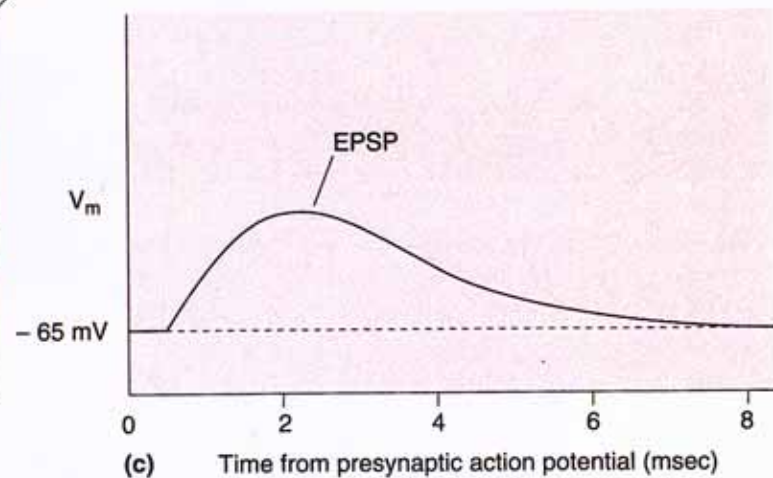
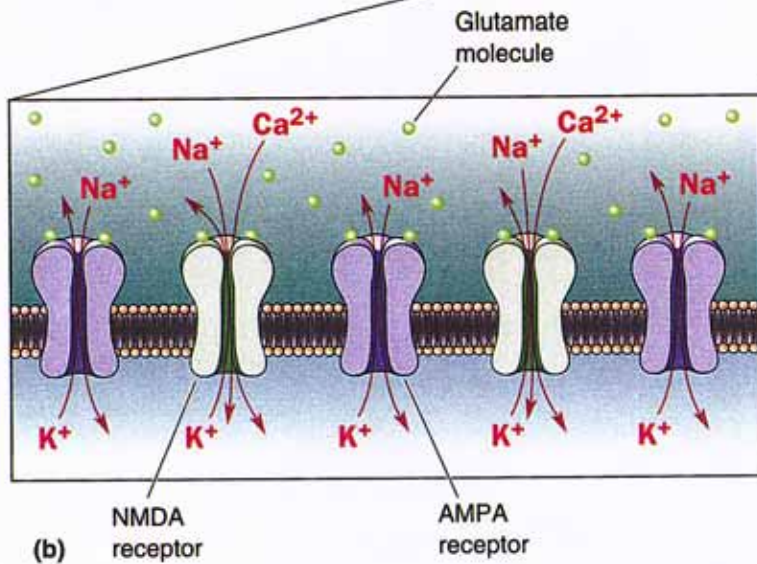
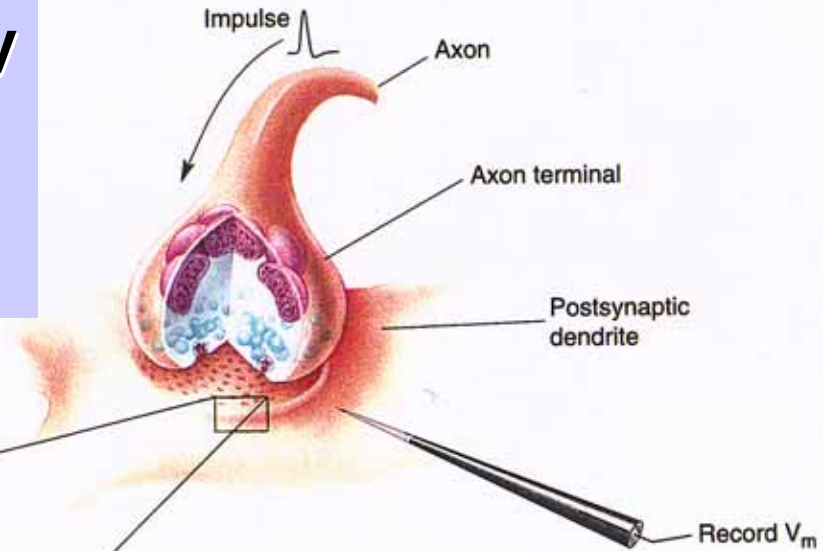
Возбуждающие

Тормозные

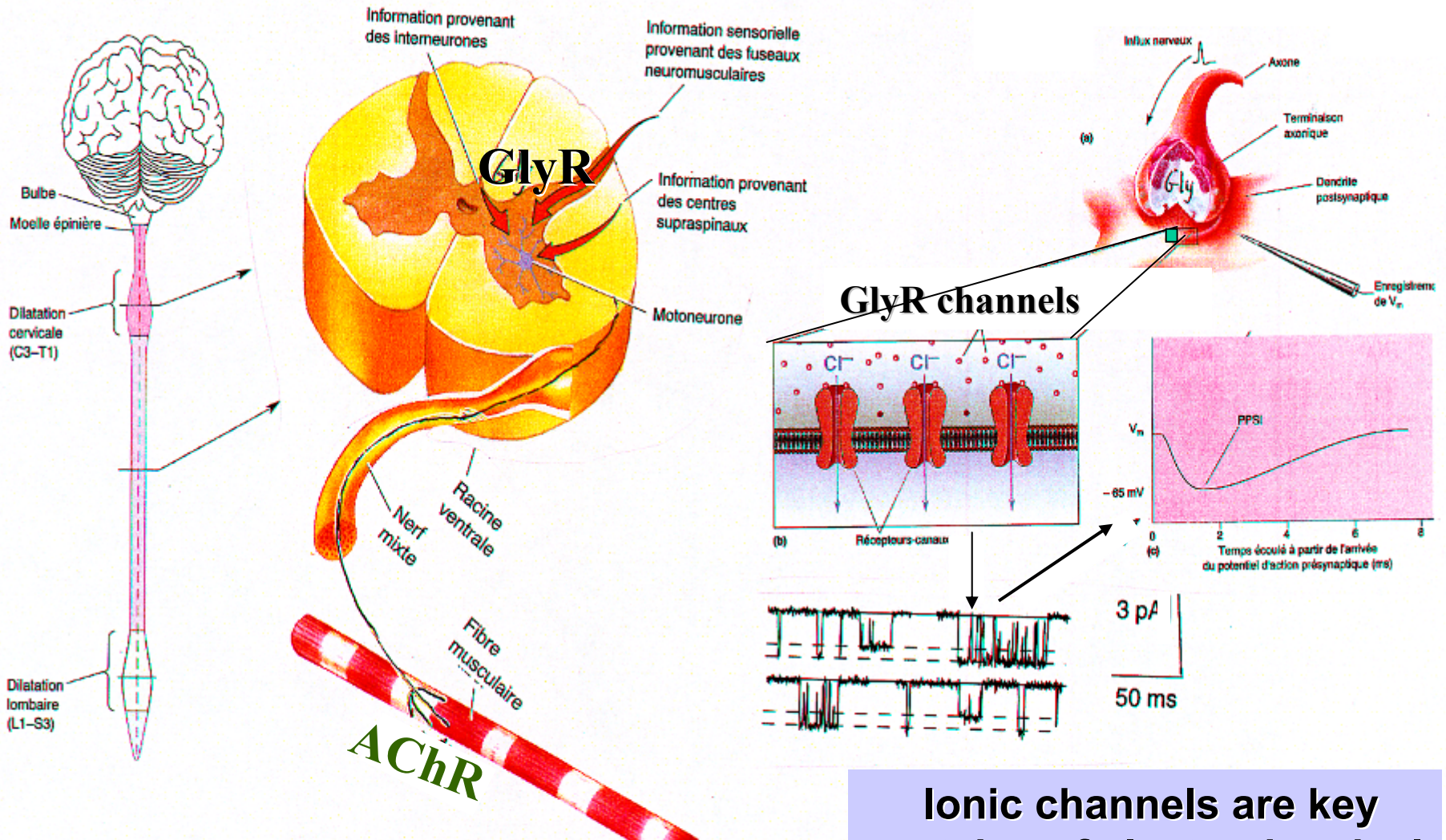


Возбуждающие синапсы: глутаматергические

Ionic channels are key proteins of electrochemical transformation



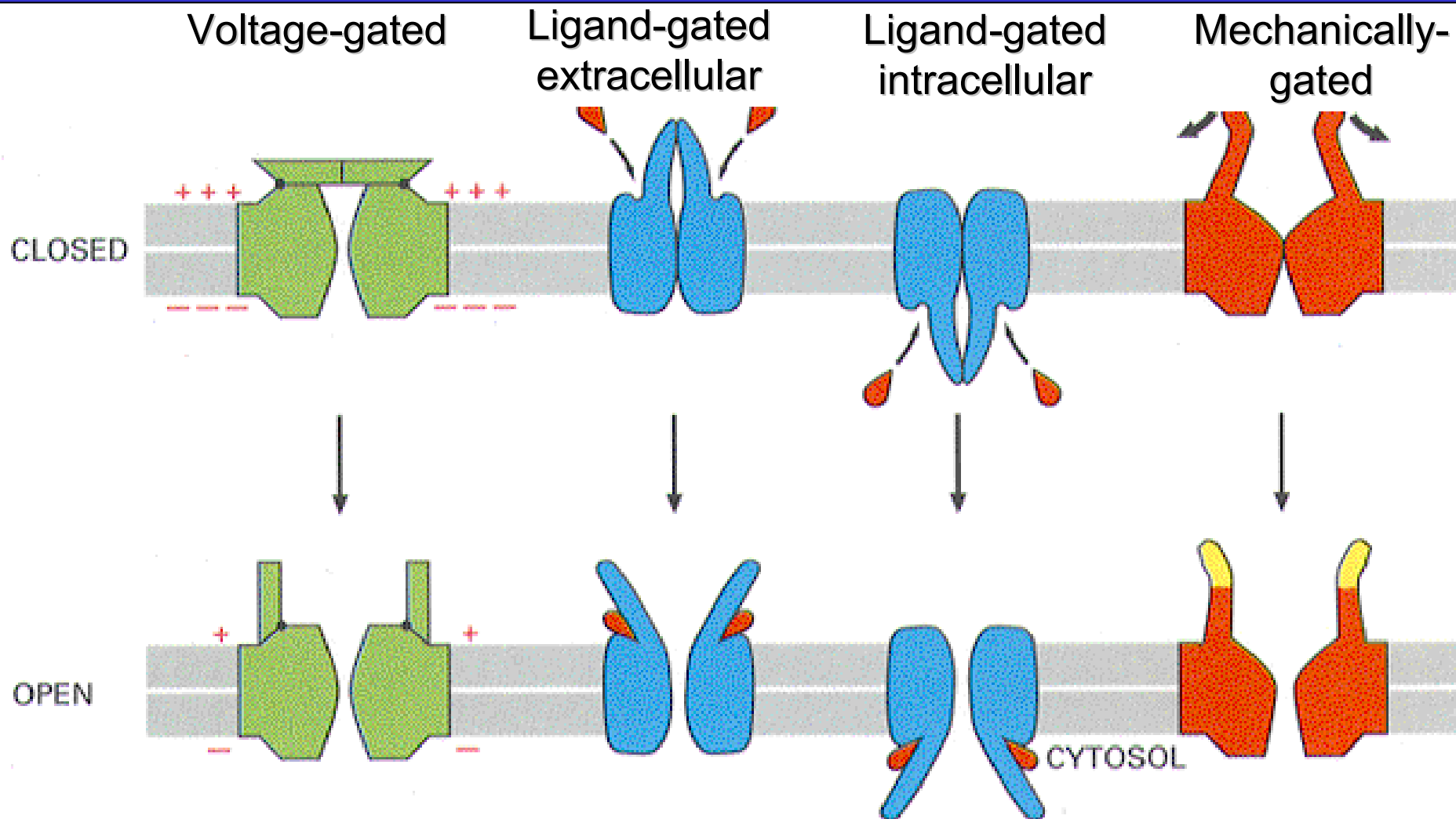
Глицин и ГАБА - тормозные нейромедиаторы в синапсах ЦНС



Ионные каналы - ключевые белки биологической жизни

Ionic channels are key proteins of electrochemical transformation

Основные типы ионных каналов



Medina & Bregestovski, Proc.Roy Soc, 1991

Ионные каналы - молекулярные комплексы, превращающие потенциал, химические или механические сигналы в потоки ионов

Основные функциональные блоки ионных каналов

Extracellular domain:

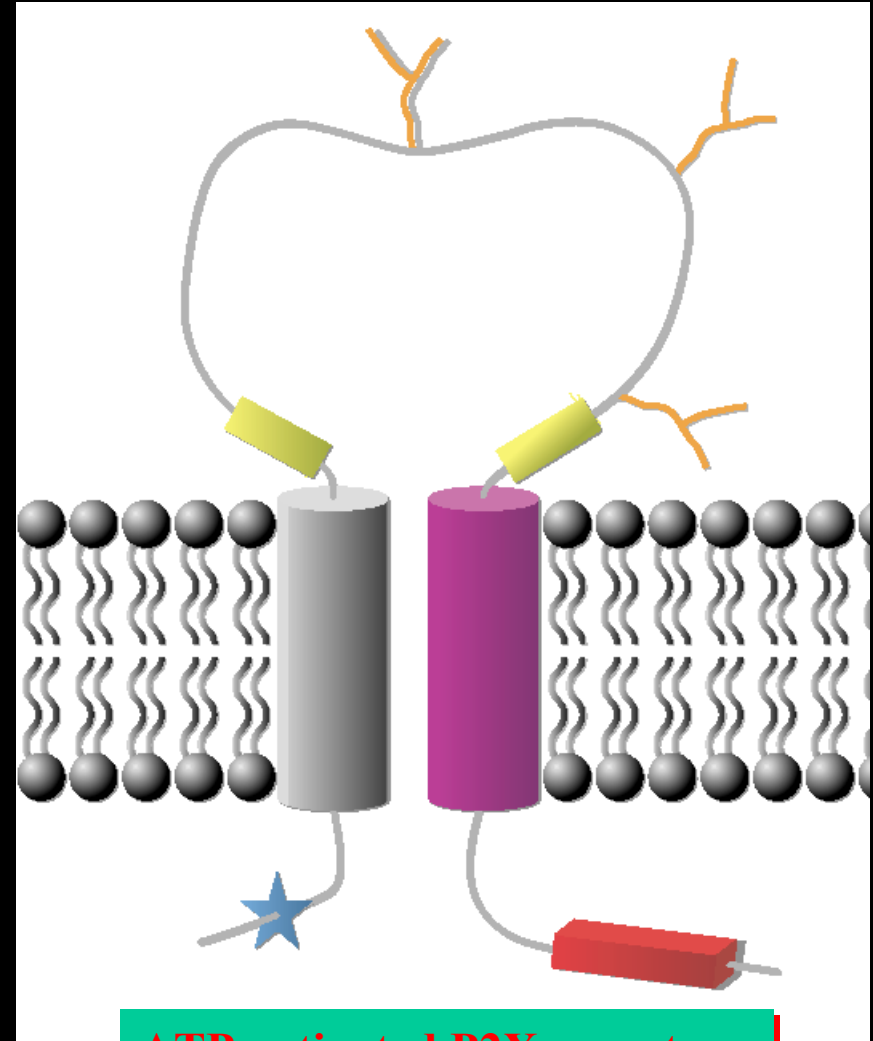
- receptor site;
- extrasynaptic targeting

Transmembrane domain:

- ion selectivity;
- gating

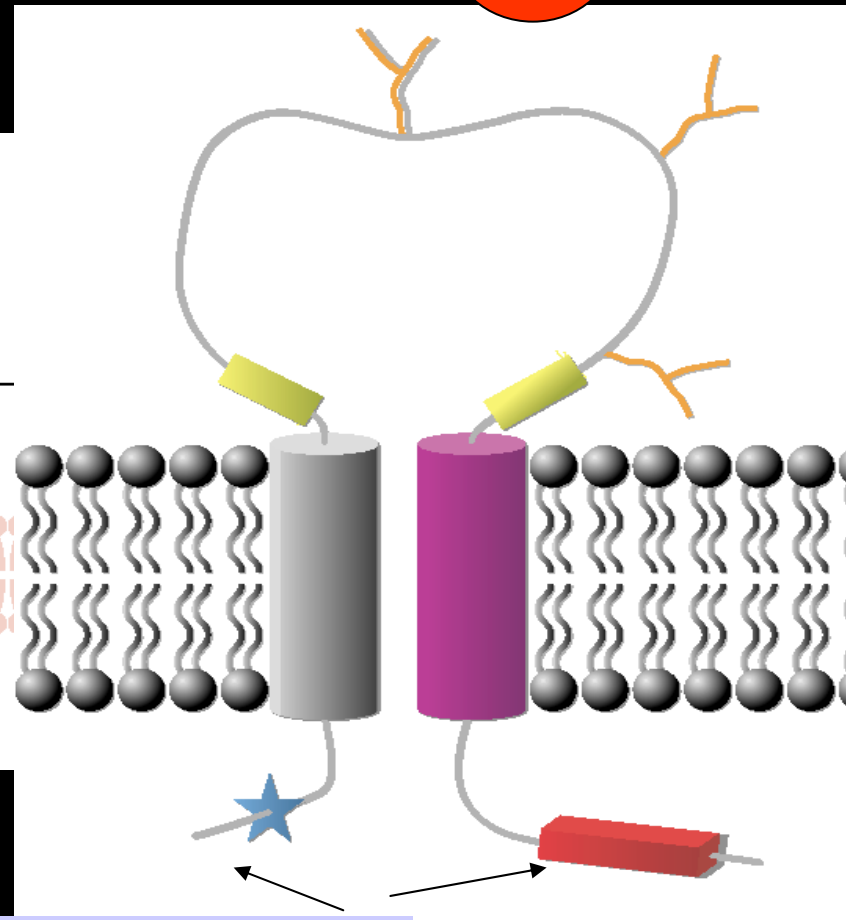
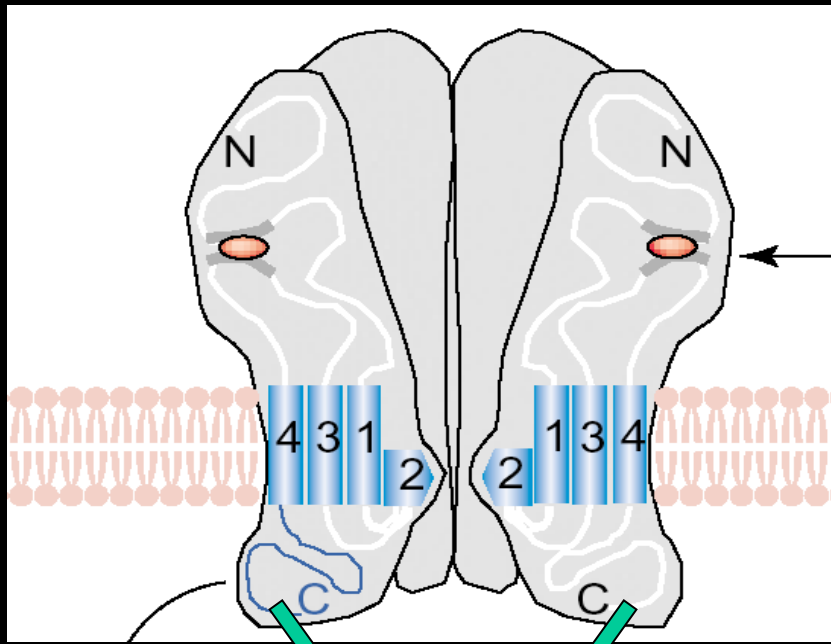
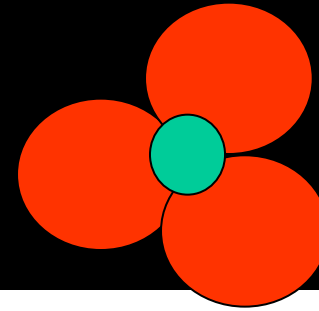
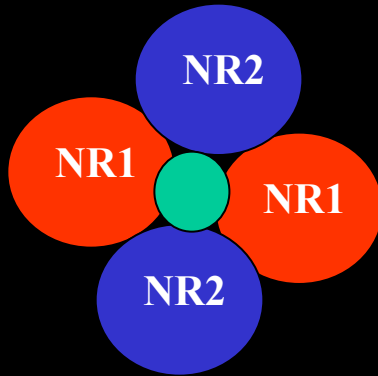
Intracellular domain:

- phosphorylation;
- protein-protein interaction



ATP-activated P2X receptors

Субъединичная организация каналов



Domains for interaction with cytoplasmic proteins

Субъединичная организация каналов

Cation-selective

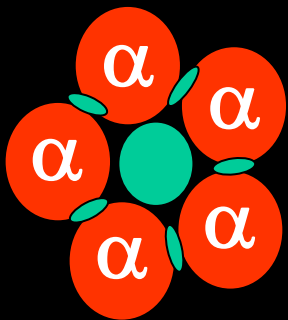
Acetylcholine

Serotonine

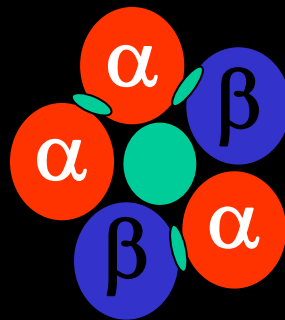
Anion-selective

GABA

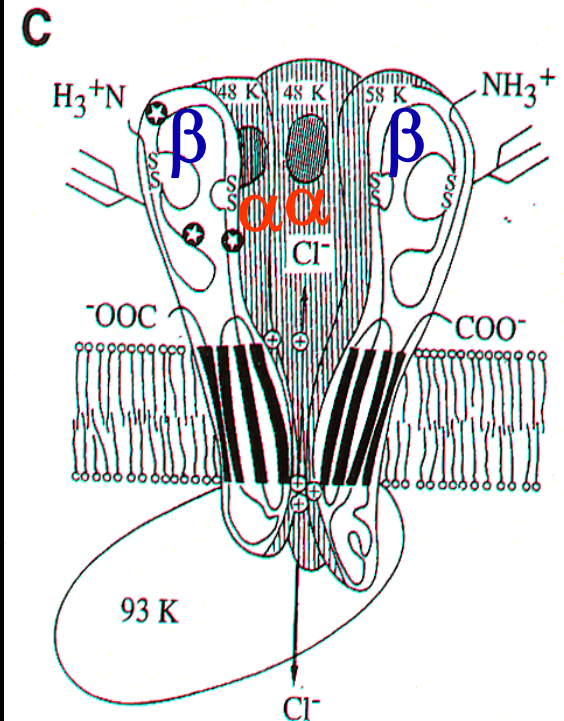
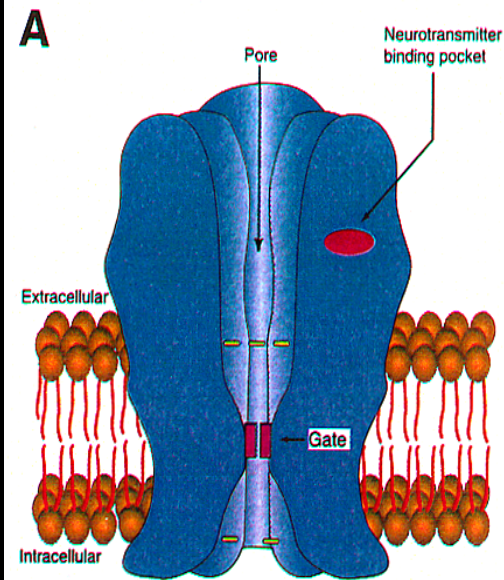
Glycine



homo-



hetero-oligomeric



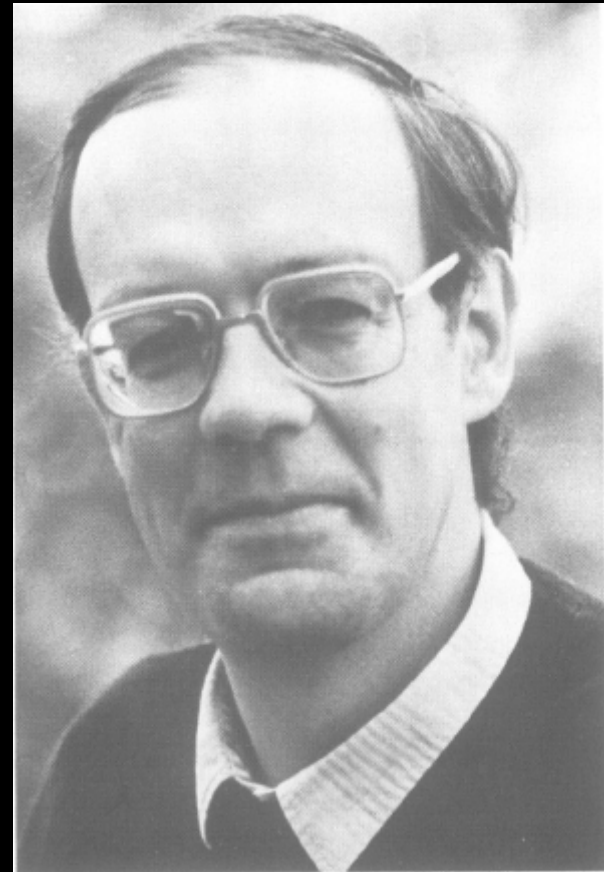
Glycine Recepto

Basic principles of ionic channels functioning

Как увидеть активность одиночных ионных каналов?

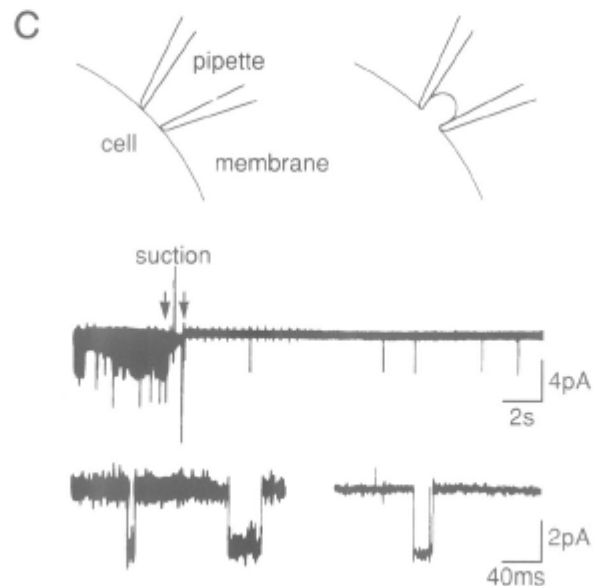
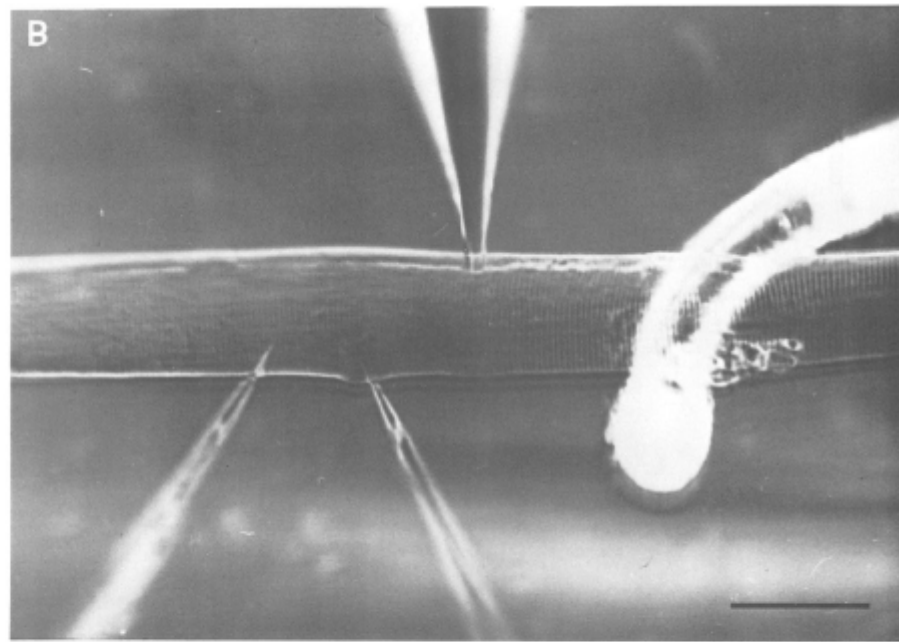
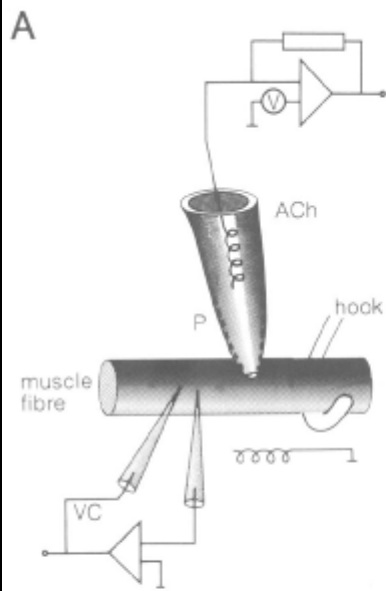


E. Neher



B. Sakmann

Nobel Price-1991



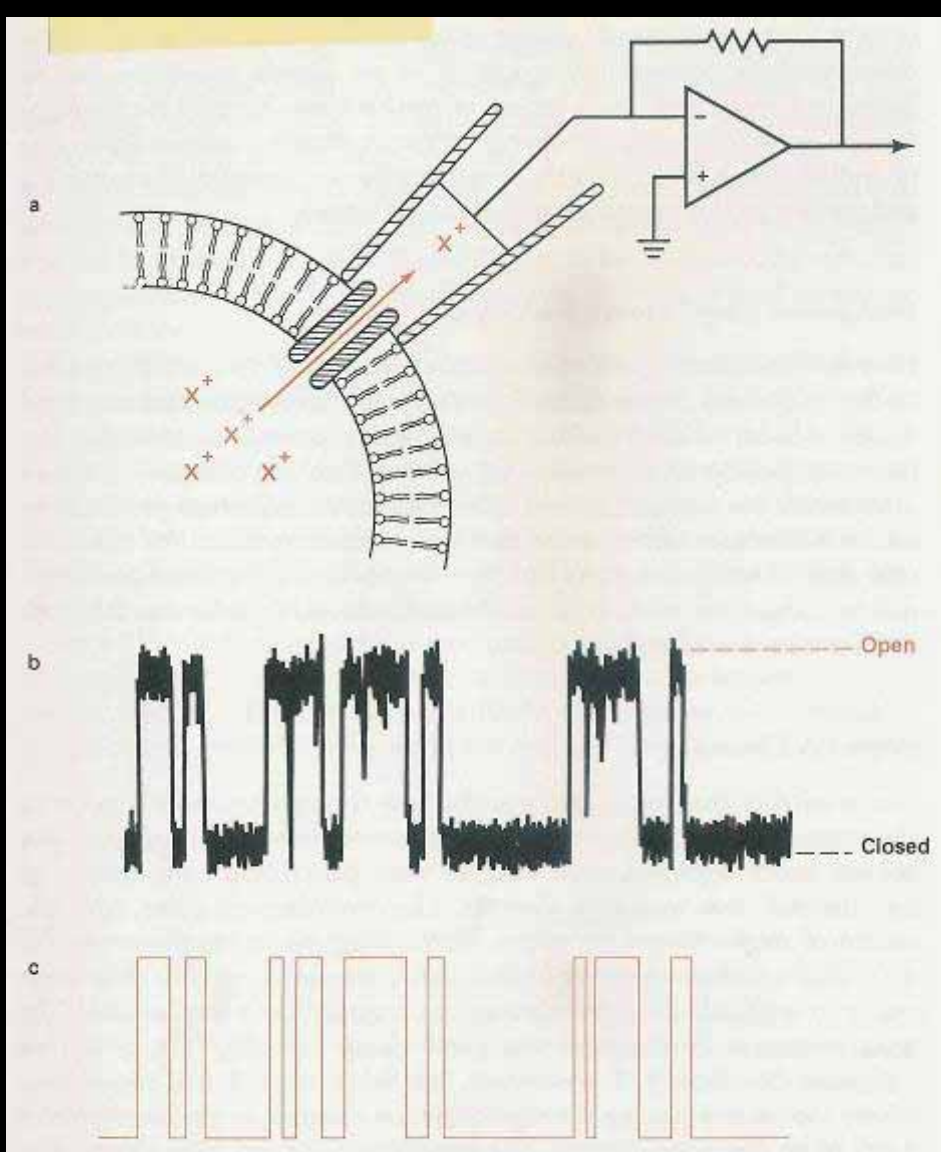
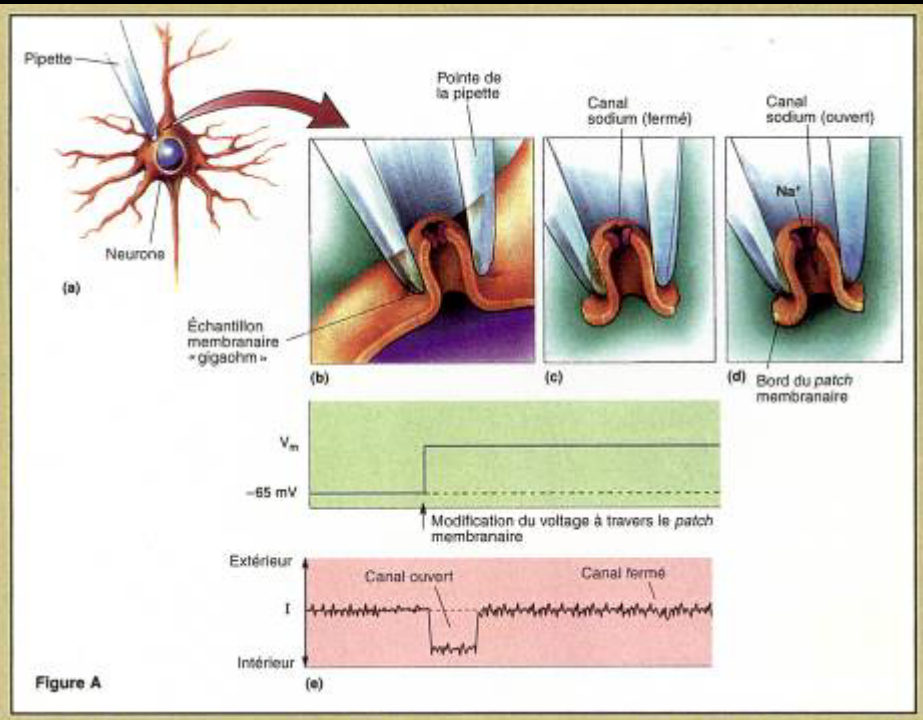
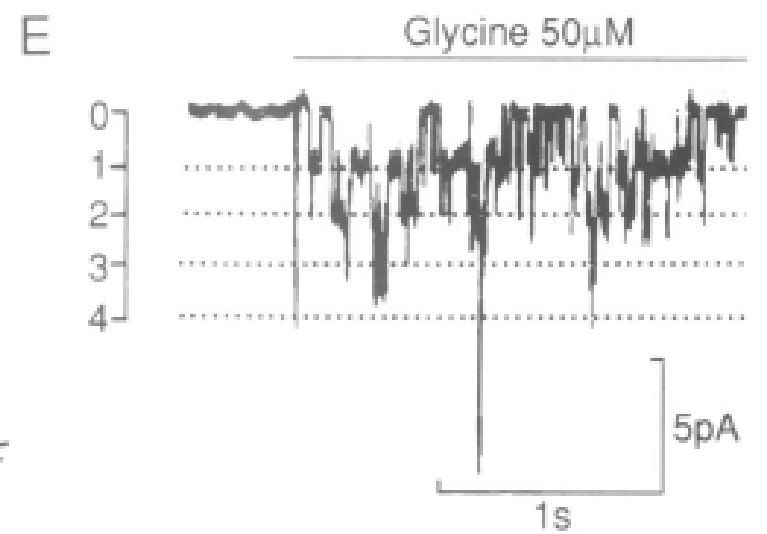
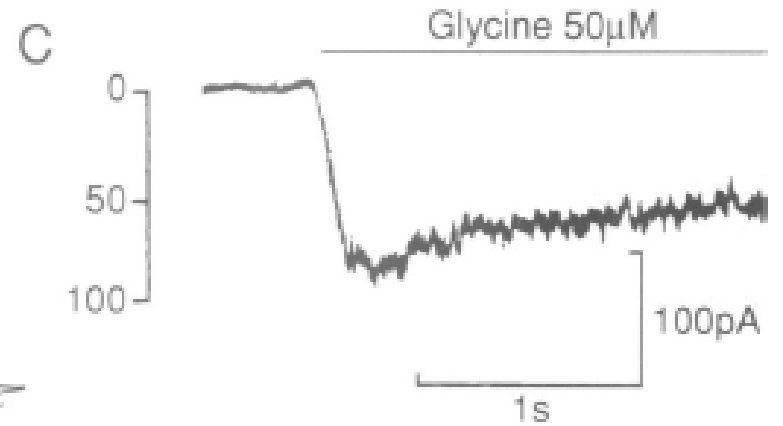
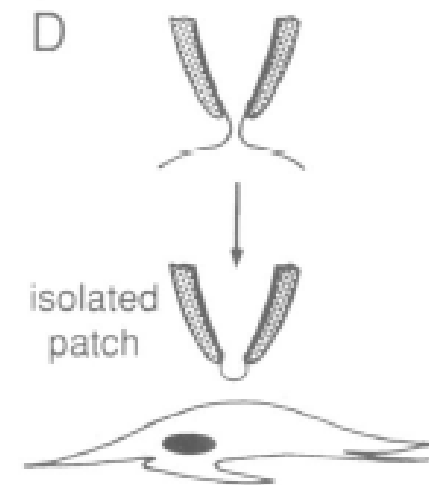
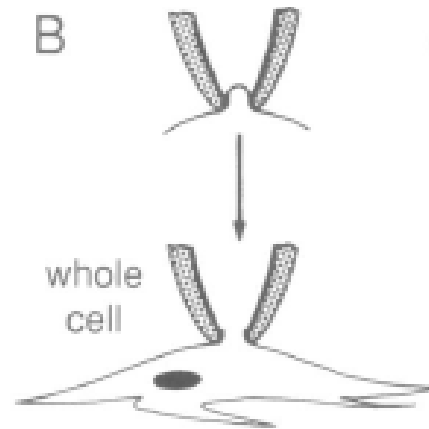
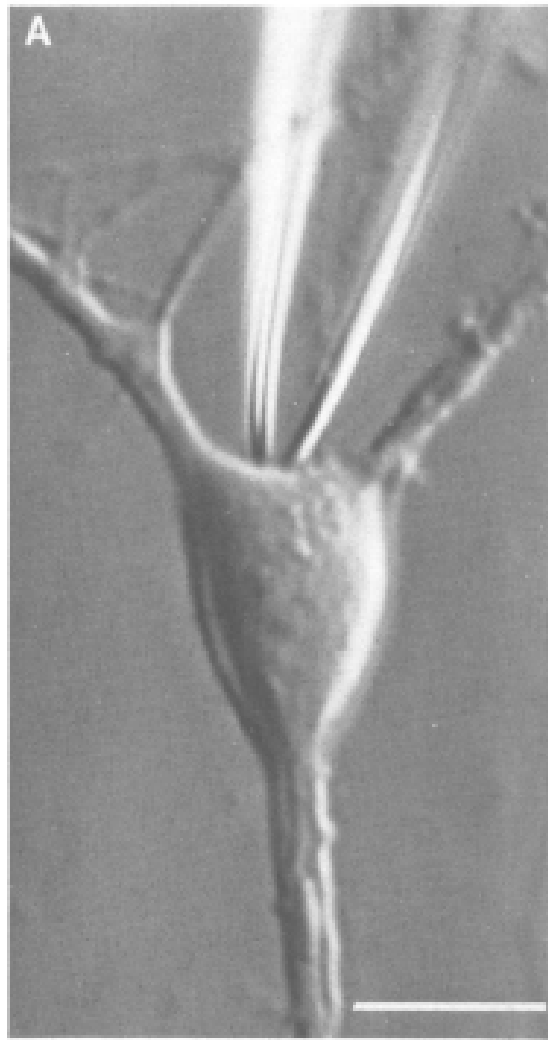
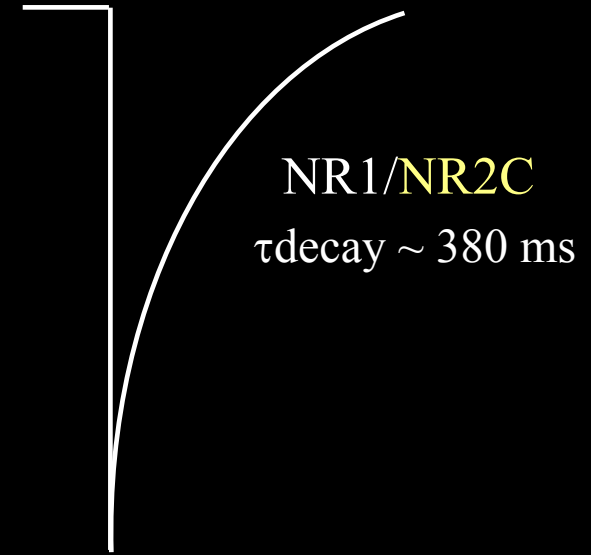
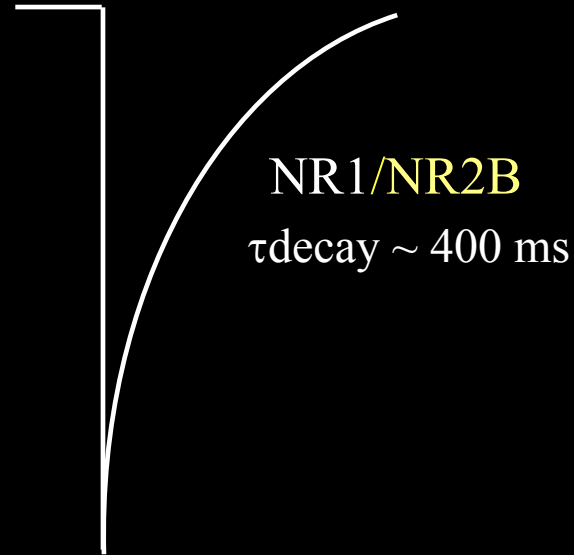
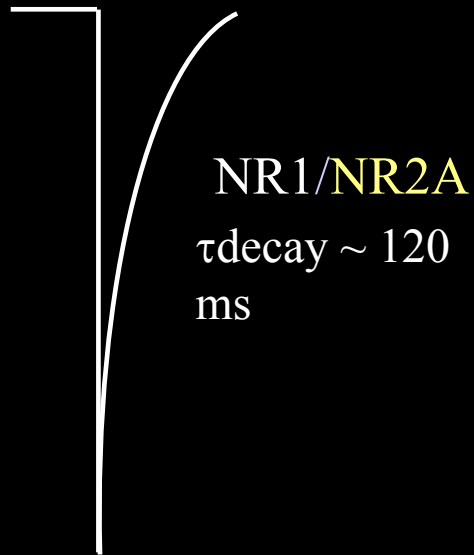


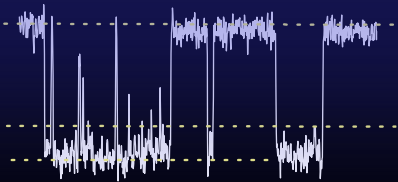
FIGURE 3-4. Patch clamp recording of single ion channel activity. *a*: Illustration of the cell-attached mode of patch clamp recording, with a current-to-voltage converter that is connected to the electrode (Hamill et al., 1981). *b*: An example of recordings of single channel activity obtained with this method. *c*: Simple computer programs can be used to produce idealized single channel records, which reproduce faithfully the openings and closings seen in the real record.



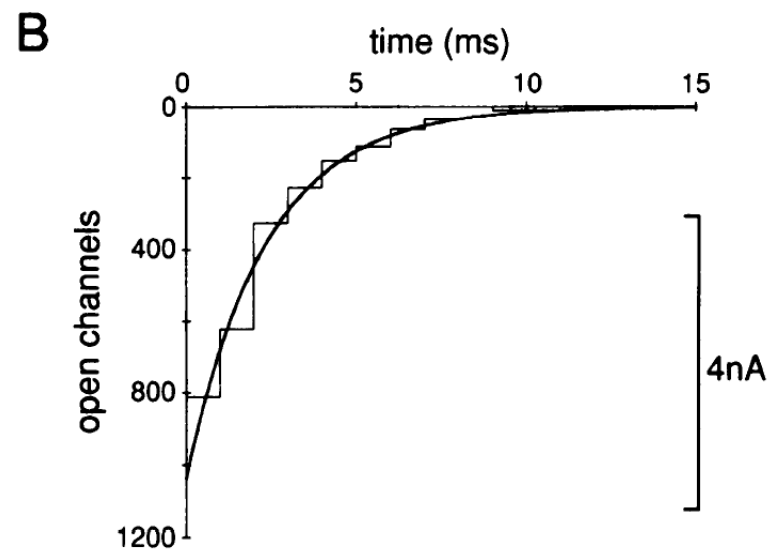
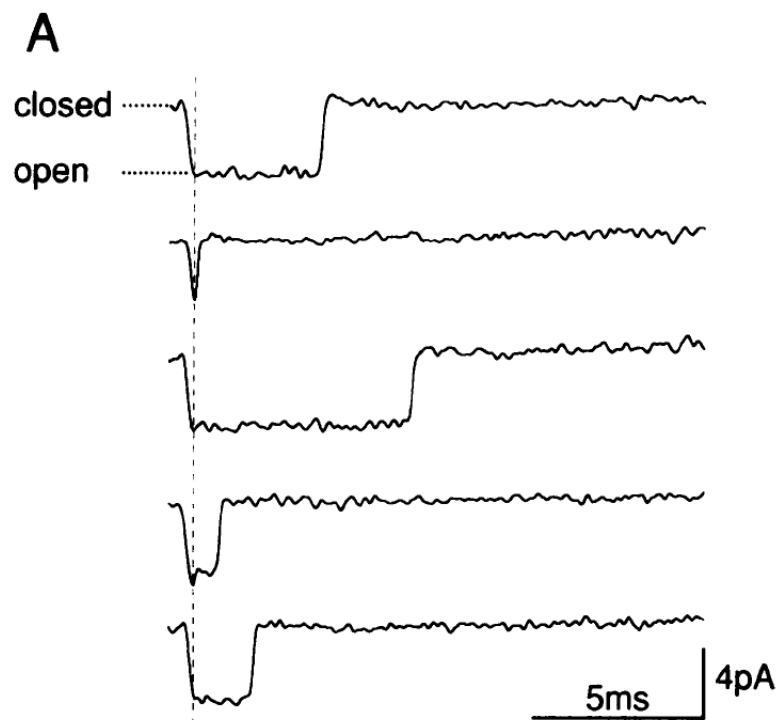
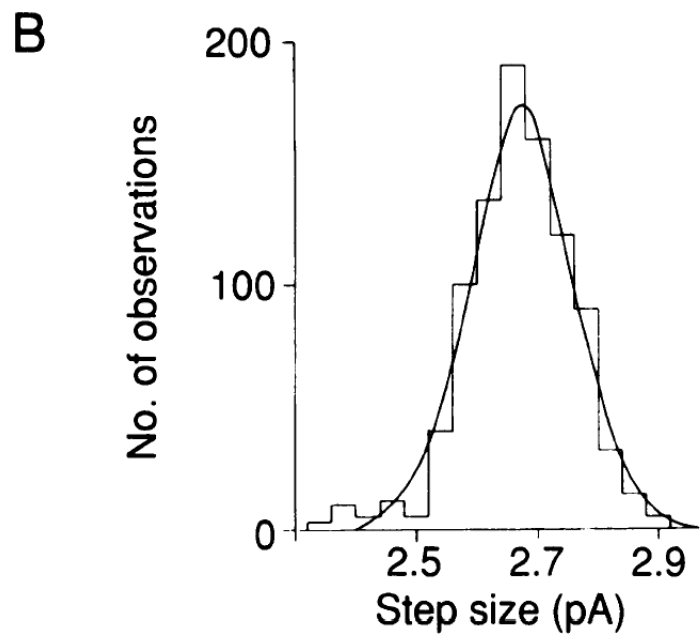
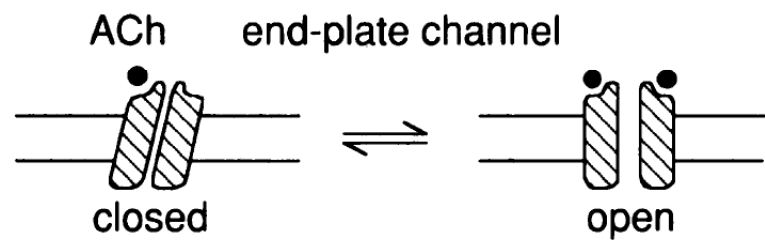
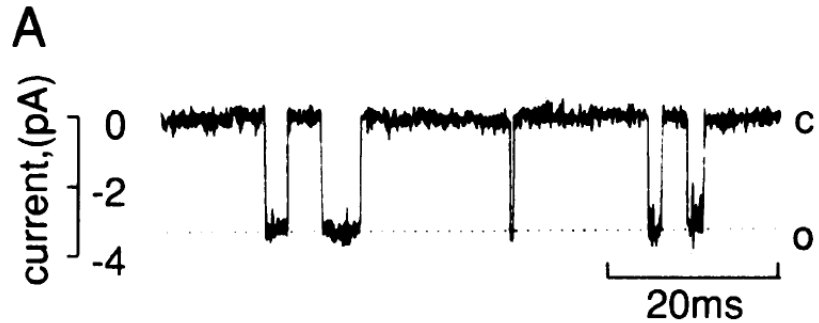
Кинетика деактивации интегральных ионных токов

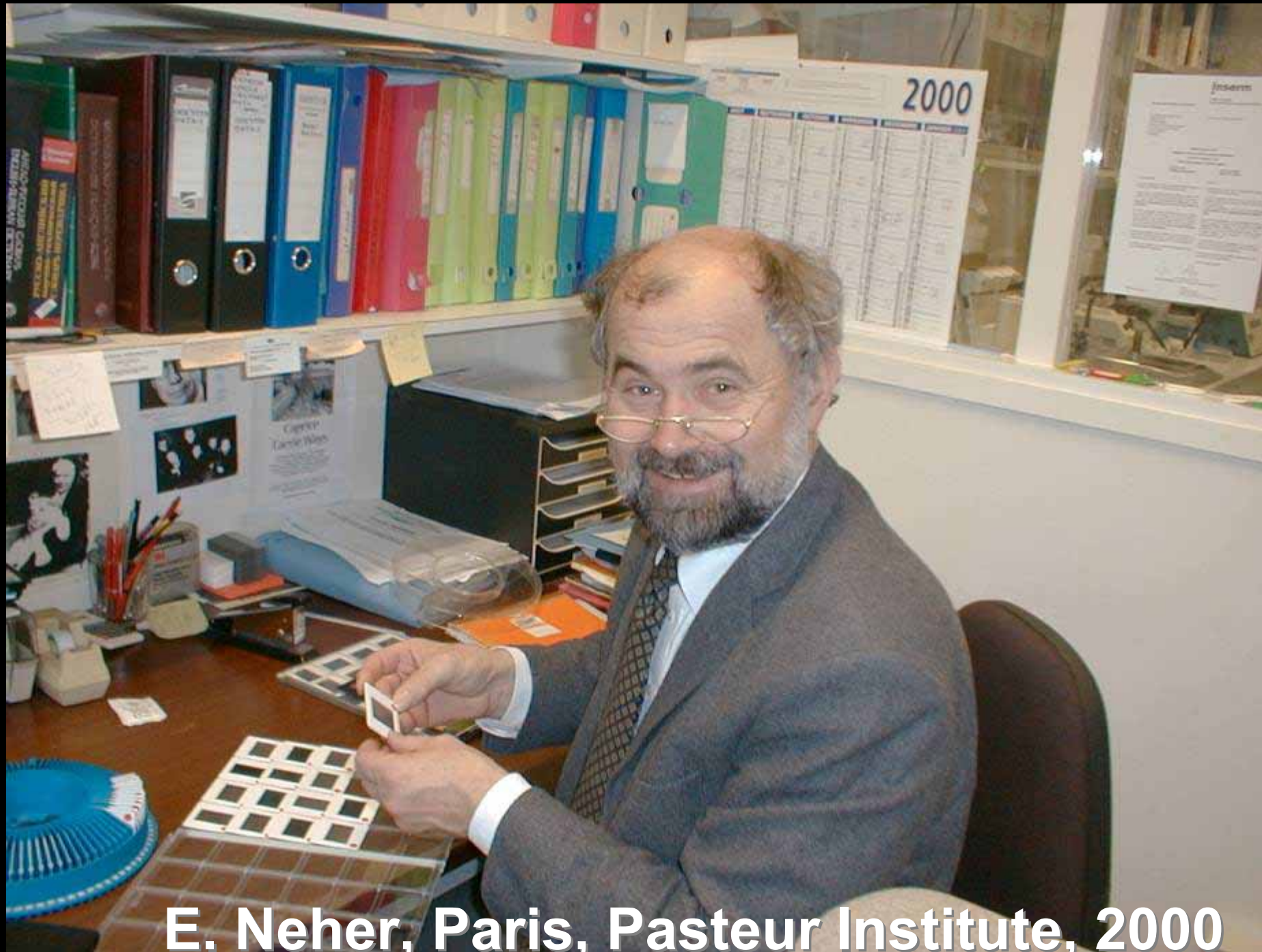


Интегральные токи



Токи одиночных каналов





E. Neher, Paris, Pasteur Institute, 2000



Paris, Pasteur Institute, 2000



B. Sakmann & N. Spitzer, Rome 2007

Некоторые работы

Доказательство конформационных изменений рецептора ацетилхолина
Bregestovski et al., Nature, 1977

Доказательство кальциевой проницаемости рецептора ацетилхолина
Bregestovski et al., Nature, 1979

Потенциал-зависимый блок магнием рецепторов NMDA
Nowak, Bregestovski, Ascher., Nature, 1984

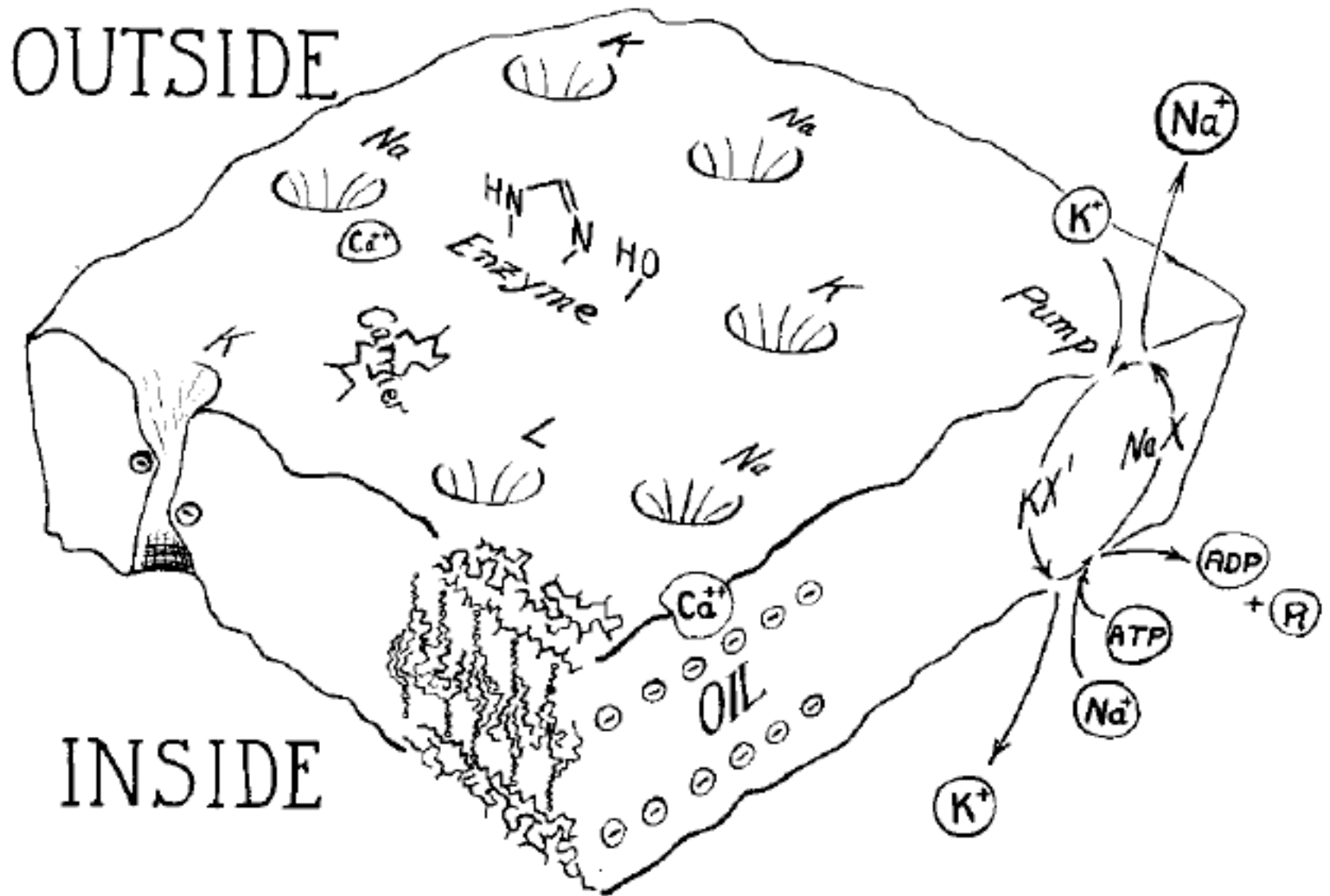
Кальций-зависимая модуляция K^+ каналов лимфоцитов
Bregestovski, Redkozubov, Alexeev, Nature, 1986

Открытие нового типа механо-чувствительных каналов
Medina, Bregestovski, Proc.Roy.Soc, 1991

- what we know about structure of ion channels

Как увидеть молекулярную
организацию ионных каналов?

Ion Channels -1968



Albert Lasker Basic Medical Research Award

Clay Armstrong, Bertil Hille and Roderick MacKinnon

For elucidating the functional and structural architecture of ion channel proteins, which govern the electrical potential of membranes throughout nature, thereby generating nerve impulses and controlling muscle contraction, cardiac rhythm, and hormone secretion. (More >)



Clay Armstrong

University of Pennsylvania
School of Medicine



Bertil Hille

University of Washington
School of Medicine

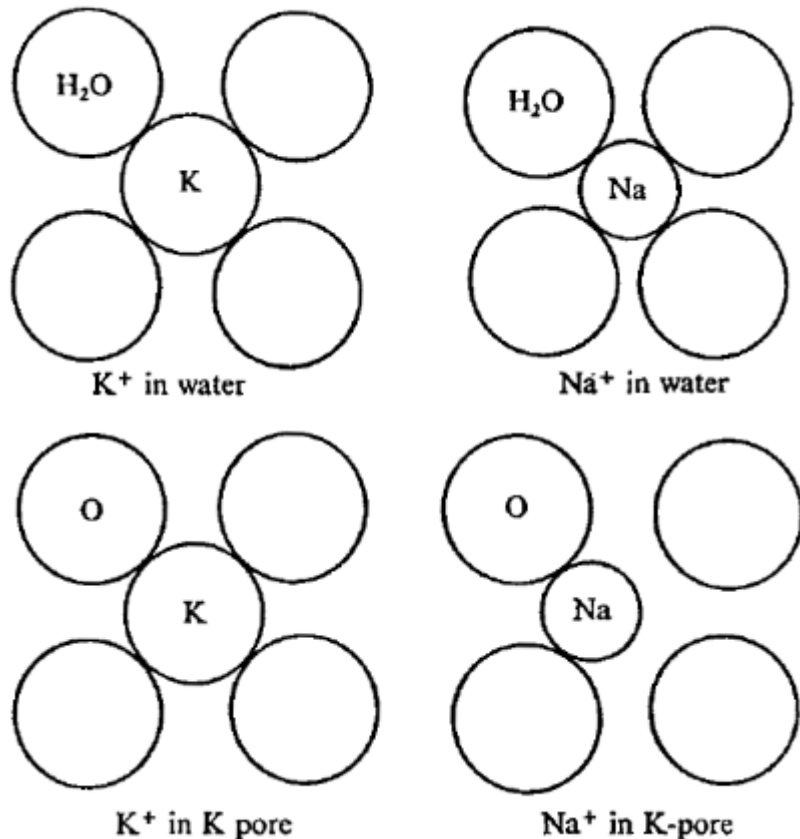


Roderick MacKinnon

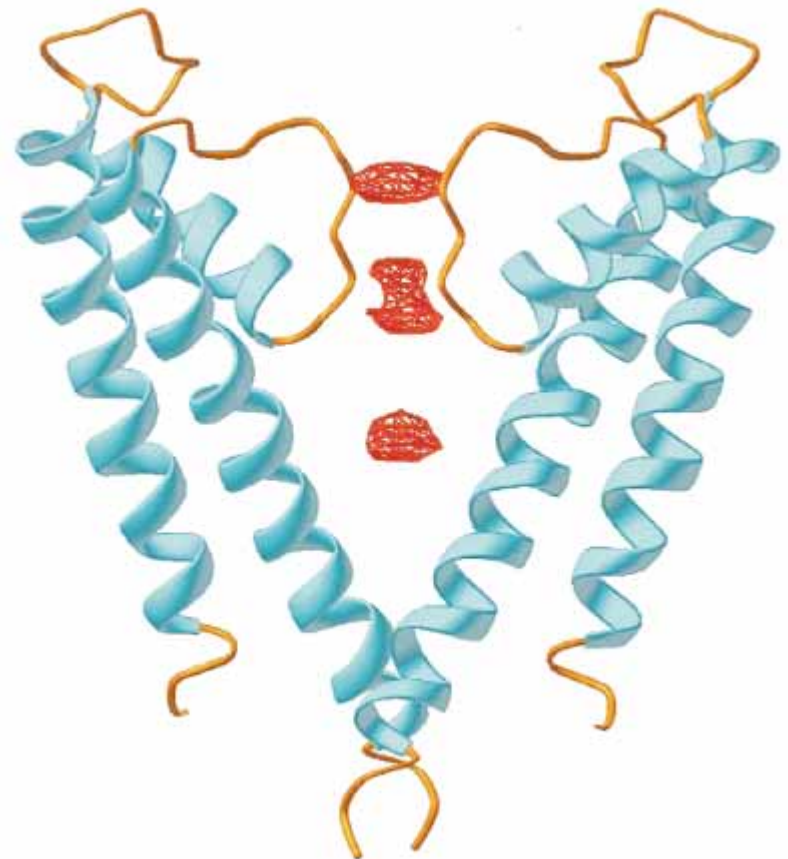
The Rockefeller University
Howard Hughes Medical
Institute

Idea and reality for K channels selectivity

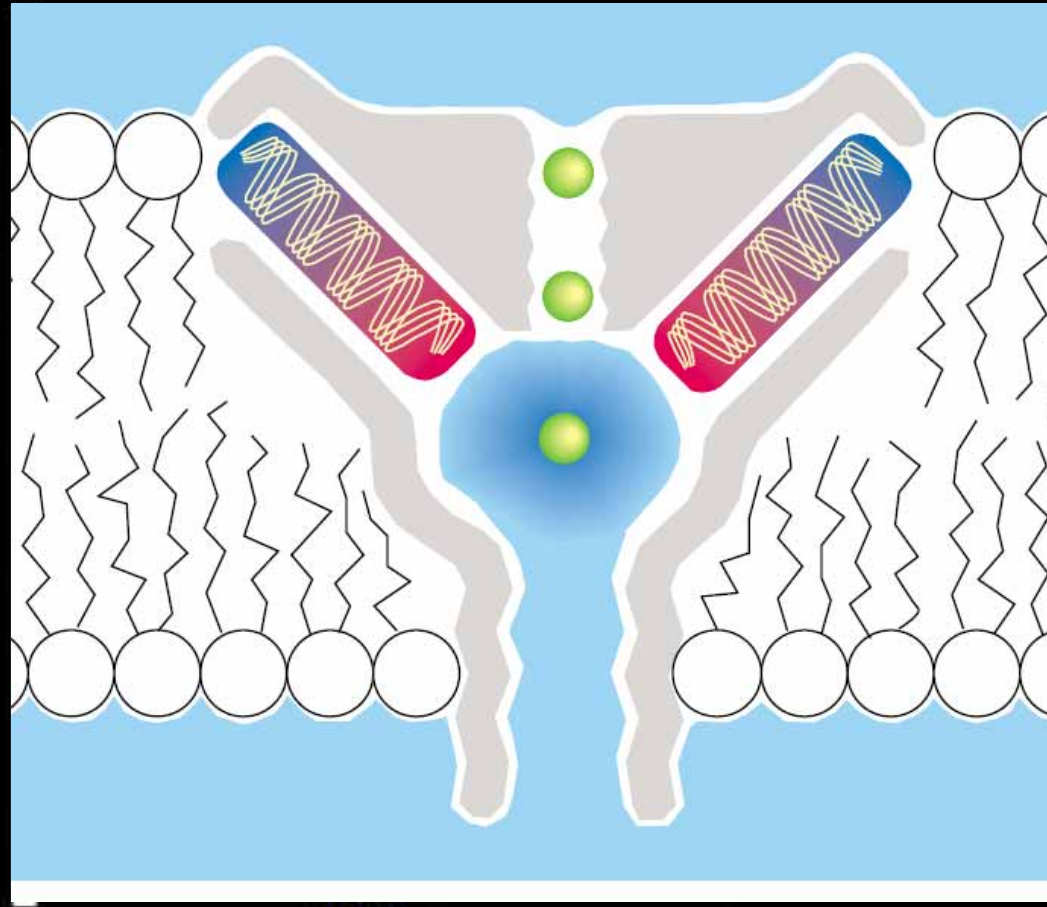
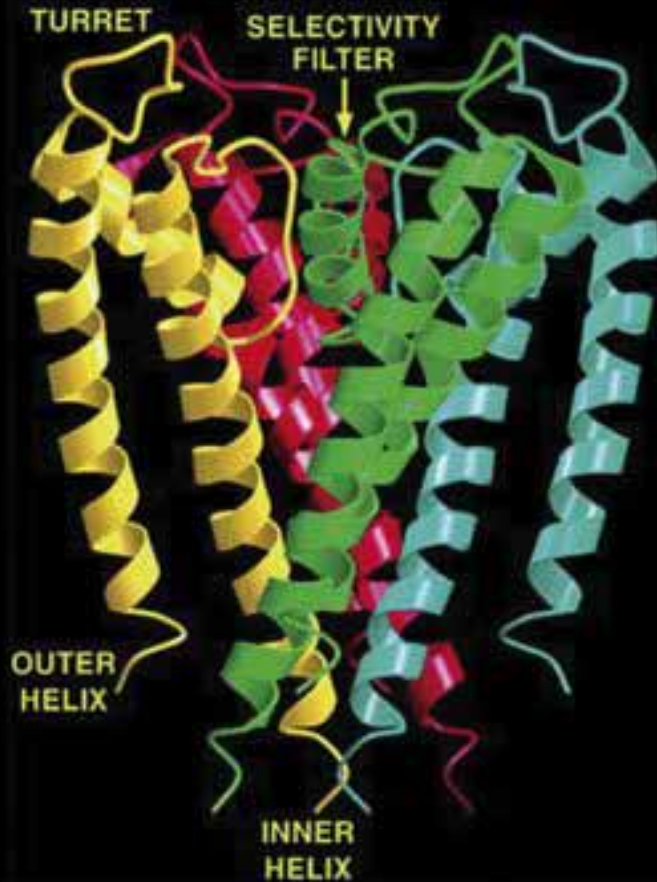
Idea - 1968



Reality-1998



The crystal structure of K⁺ channel



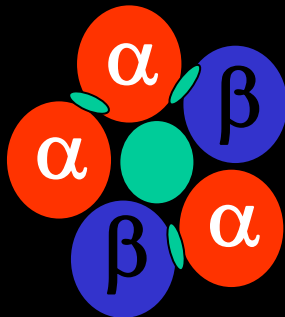
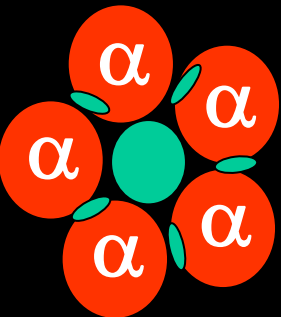
Cys-Loop ligand-gated channels

**Cation-
selective**

Acetylcholine
Serotonine (5-HT)

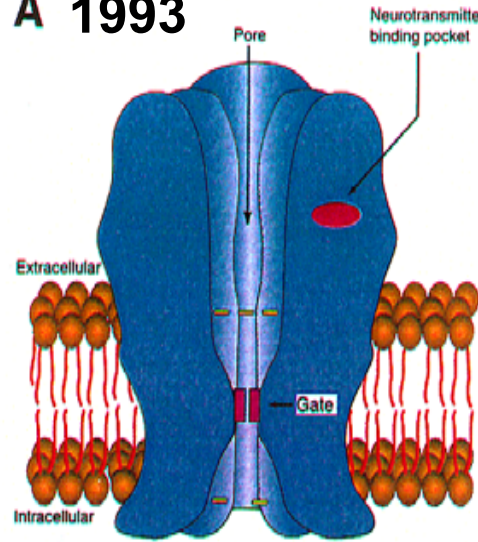
**Anion-
selective**

GABA
Glycine

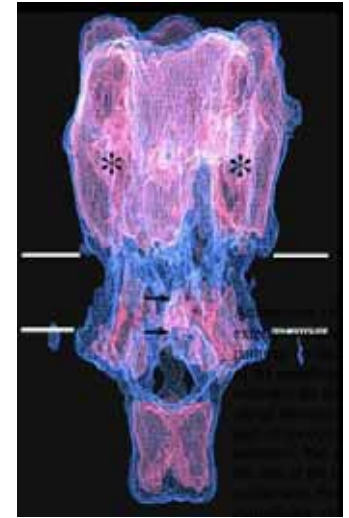


homo- hetero-oligomeric

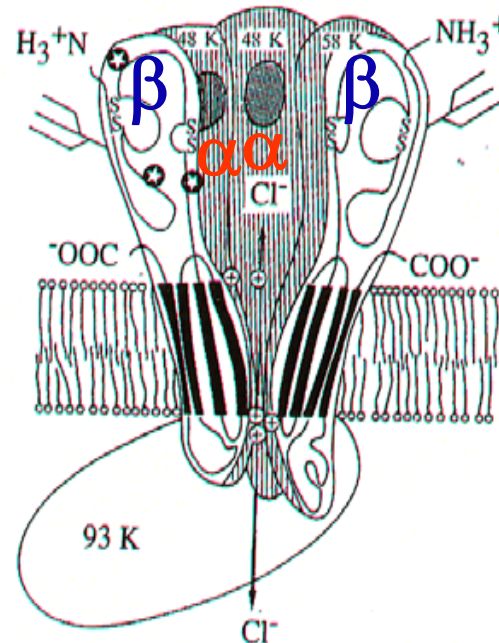
A 1993



B 1999

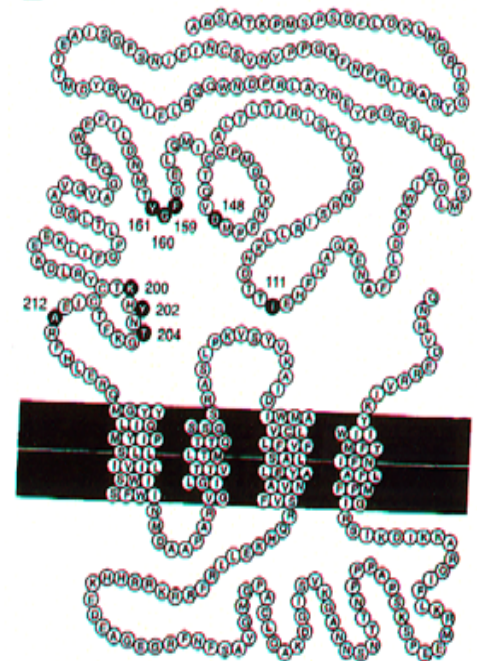


C



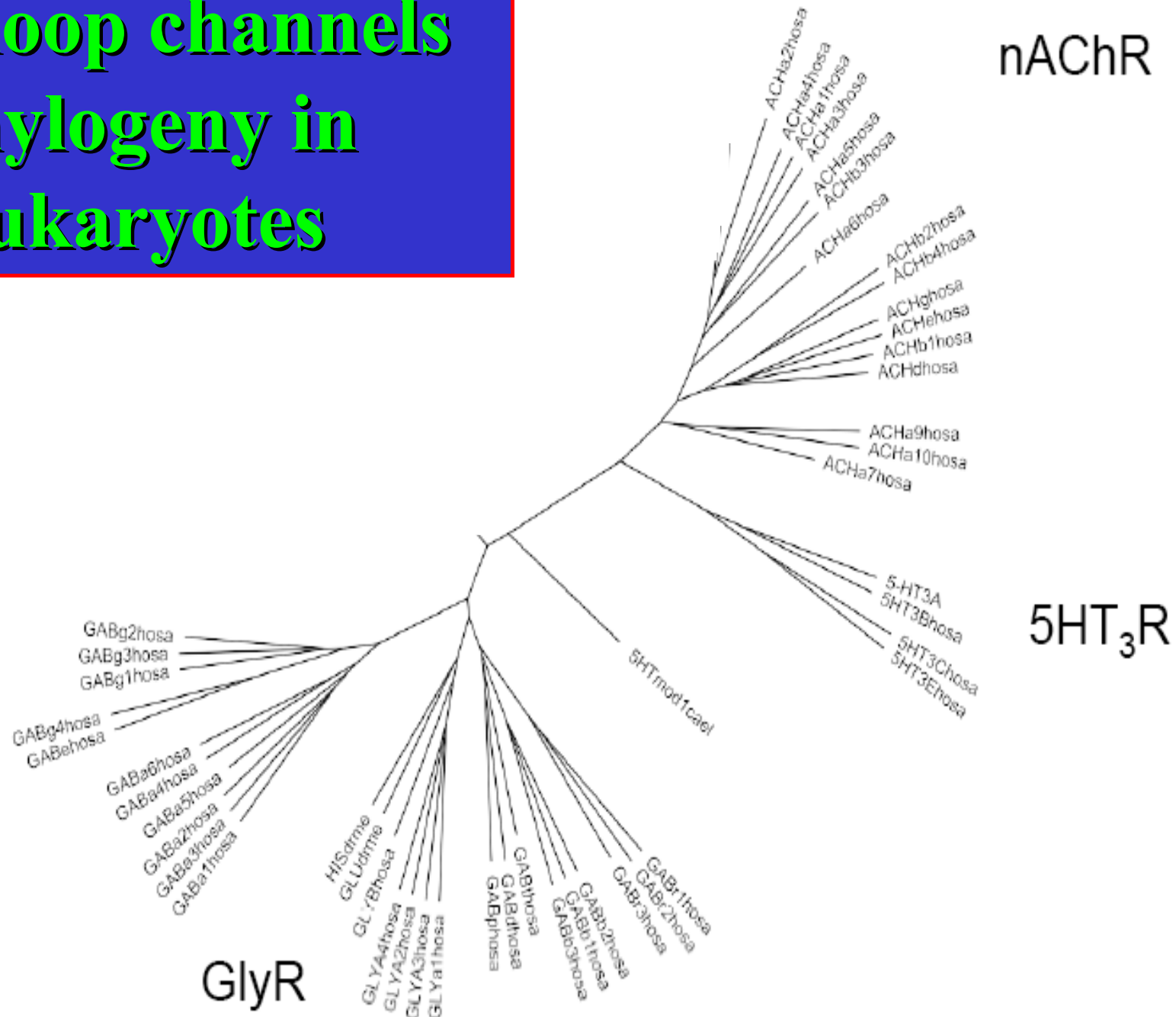
Glycine Receptor

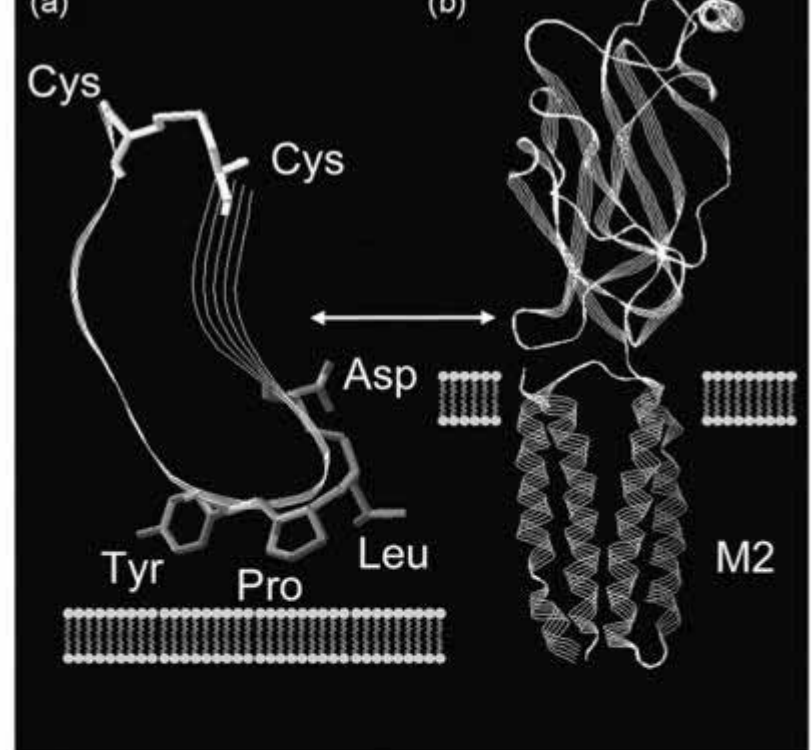
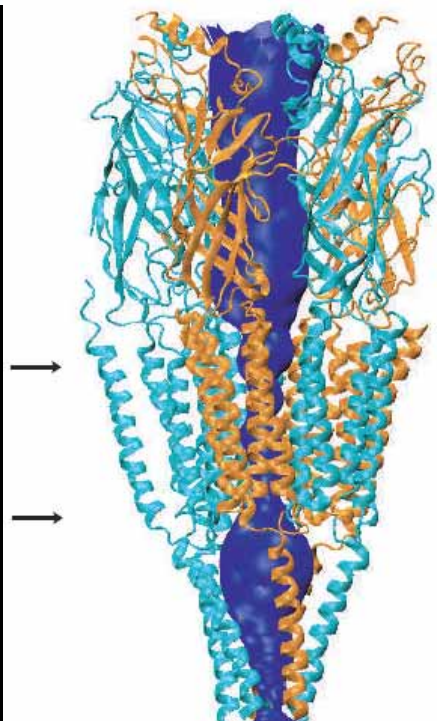
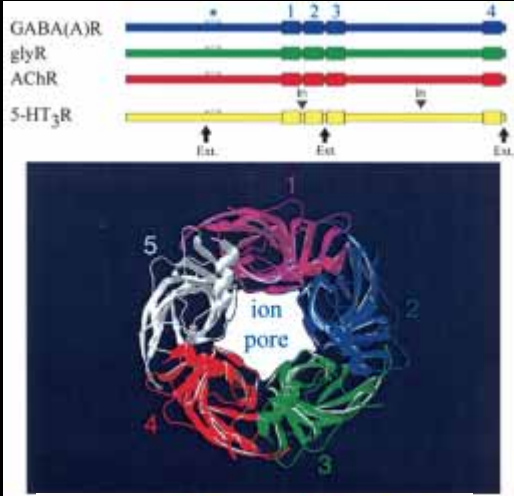
D



GlyR α subunit

Cys-loop channels phylogeny in eukaryotes





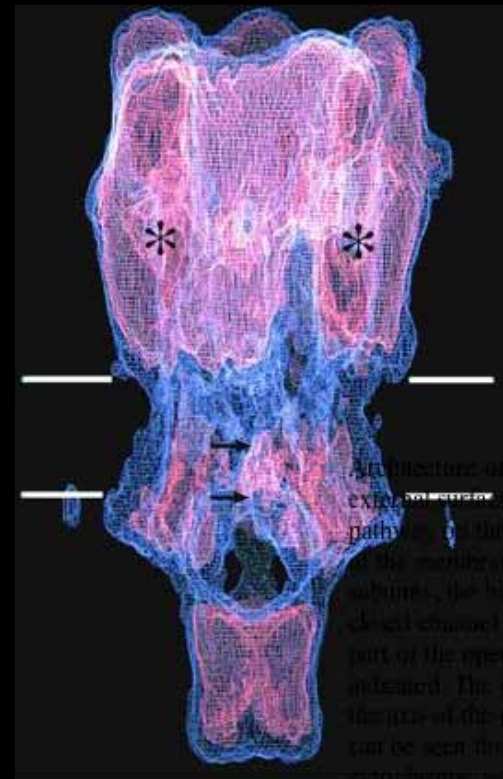
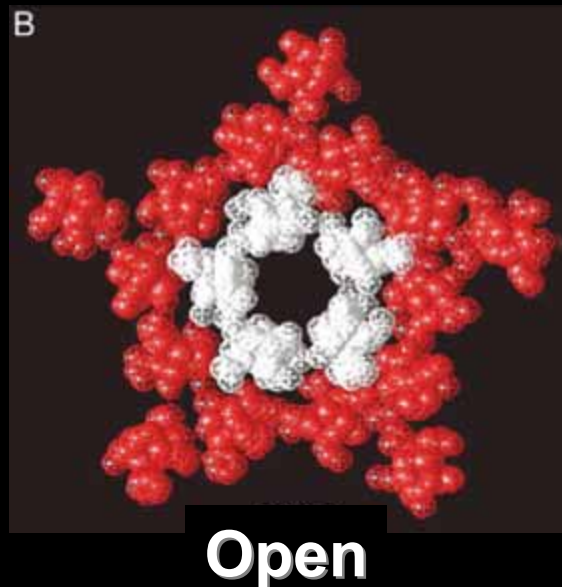
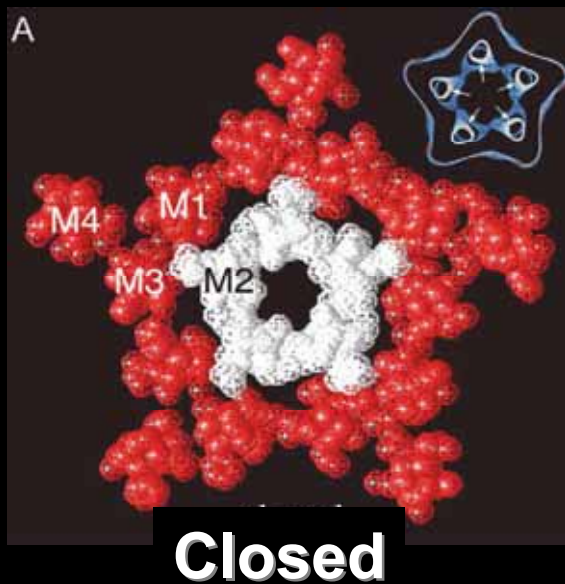
(B)

	1*	5*	9*	15*
AChBP	CDVSG	VDTES	.GATC	
H_GABA _A _α1	CPMHL	ED FPM	DAHAC	
H_GABA _A _β2	CMMDL	RR YPL	DEQNC	
H_GABA _A _γ2	COLQL	HN FPM	DEHSC	
T.ma_α1	CEIIV	THFPF	DQQNC	
T.ma_δ	CPINV	LYFPF	DWQNC	
H_α7	CYIDV	RWFPP	DVQHC	
H Gly α1	CPMDL	KNFPM	DVQTC	

Signature sequence of 13 residues flanked by cysteines, form a closed loop situated between binding and channel domains

Cys-loop

Ключевые вопросы:



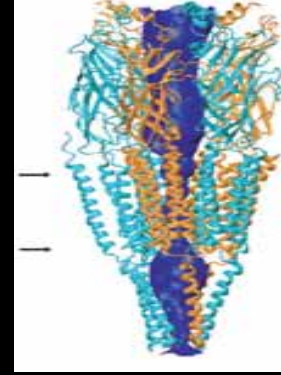
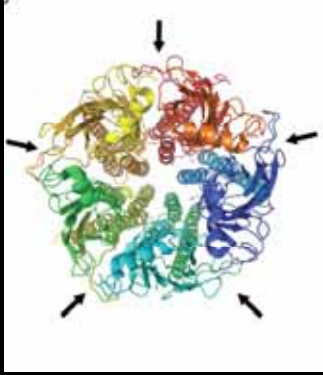
-Как связывание лиганда с рецептором приводит к открыванию ионного канала?

-Какие конформационные изменения претерпевает ионный канал при активации?

- Как регулируются функции ионных каналов?



Some key events in cys-loop receptors life

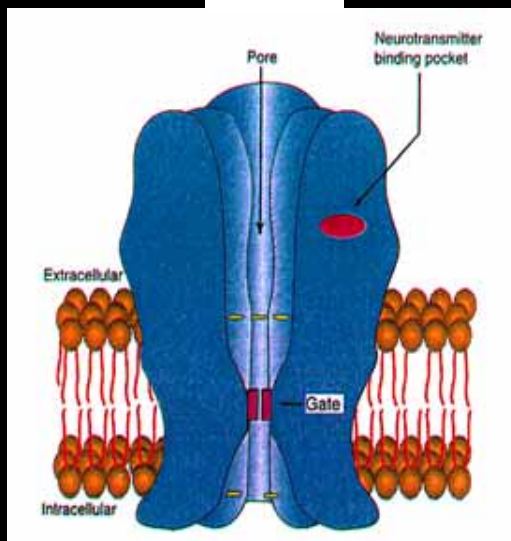


1993 - structure of AChR from *T. Californica* (9A) S. Unwin

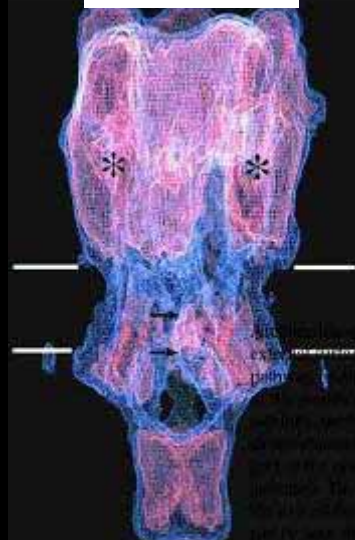
1999 - structure of AChR from *T. Californica* (4.6A) S. Unwin & co

2001 - crystal structure of ACh-binding protein from *Lymnaea Stagnalis* (2.7A) G. Smit, T. Sixma & co-authors

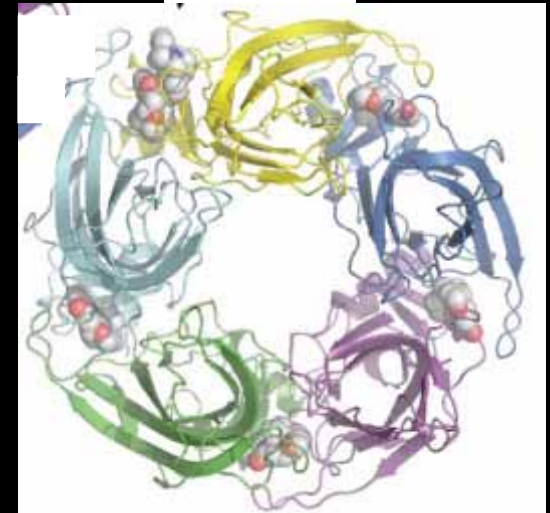
9 A



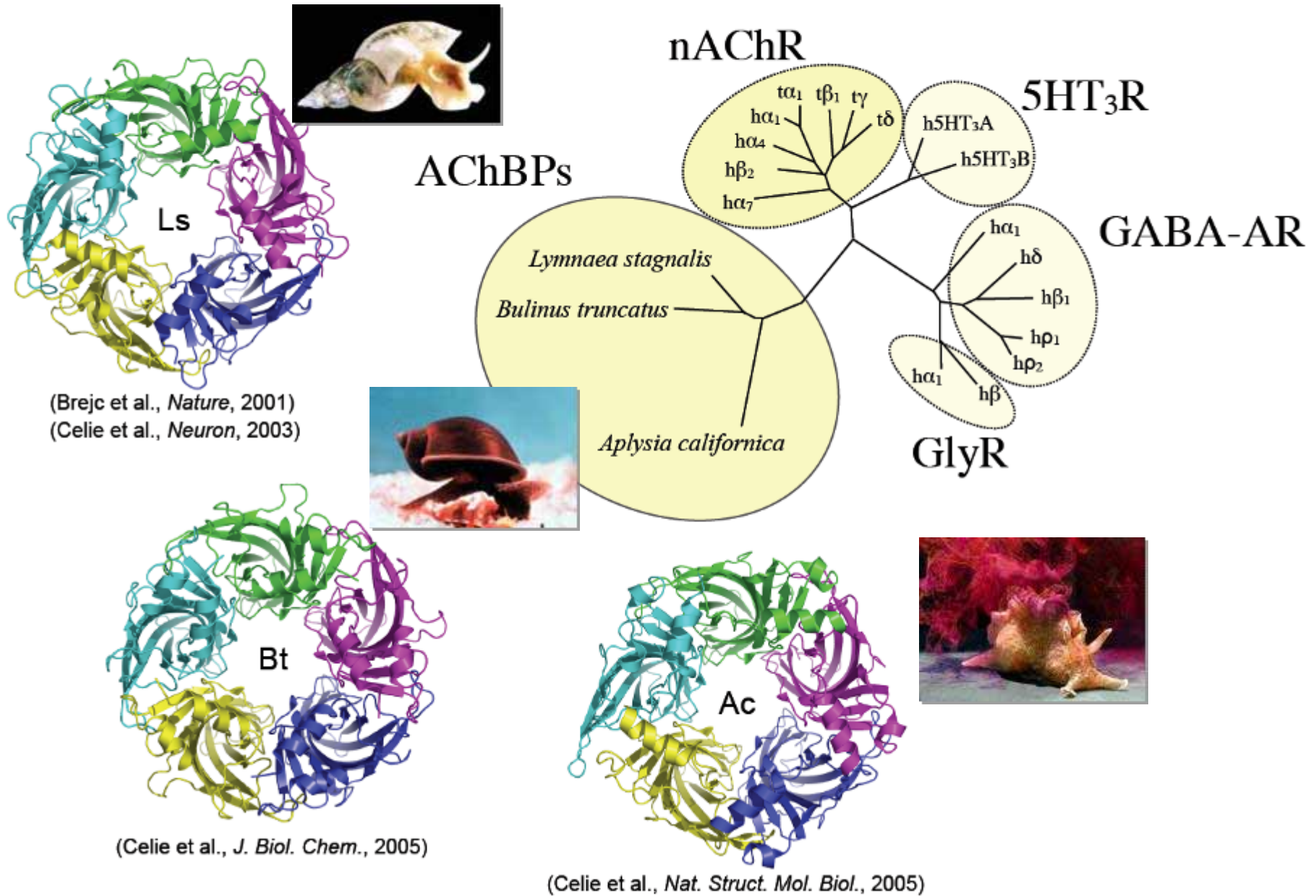
4.6 A



2.7 A



A conserved architectural fold among different AChBPs



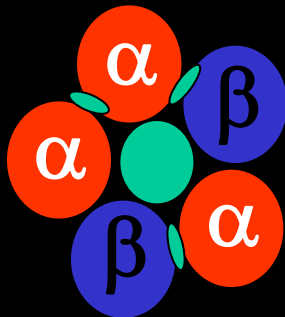
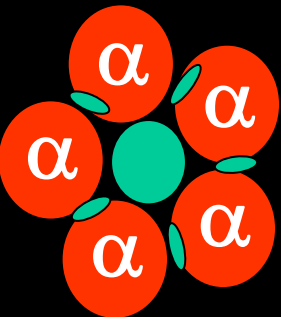
Cys-Loop ligand-gated channels

**Cation-
selective**

Acetylcholine
Serotonine (5-HT)

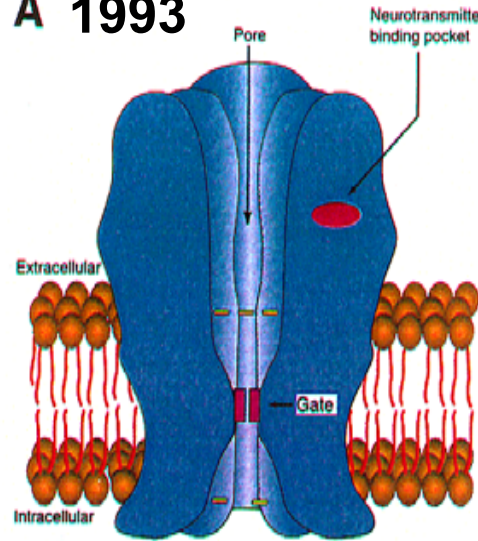
**Anion-
selective**

GABA
Glycine

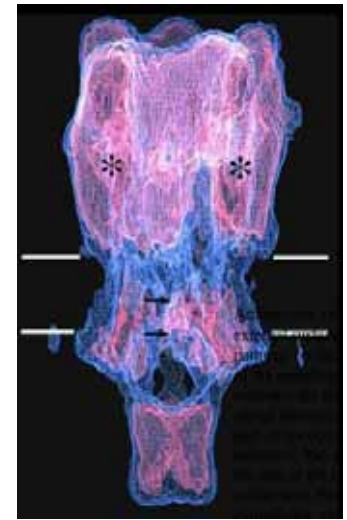


homo- hetero-oligomeric

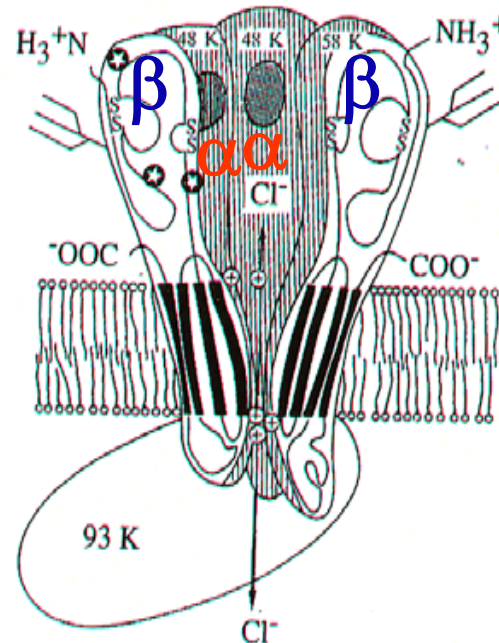
A 1993



B 1999

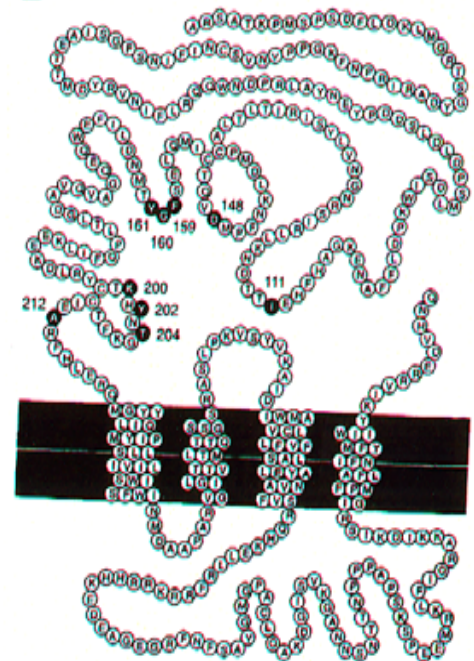


C



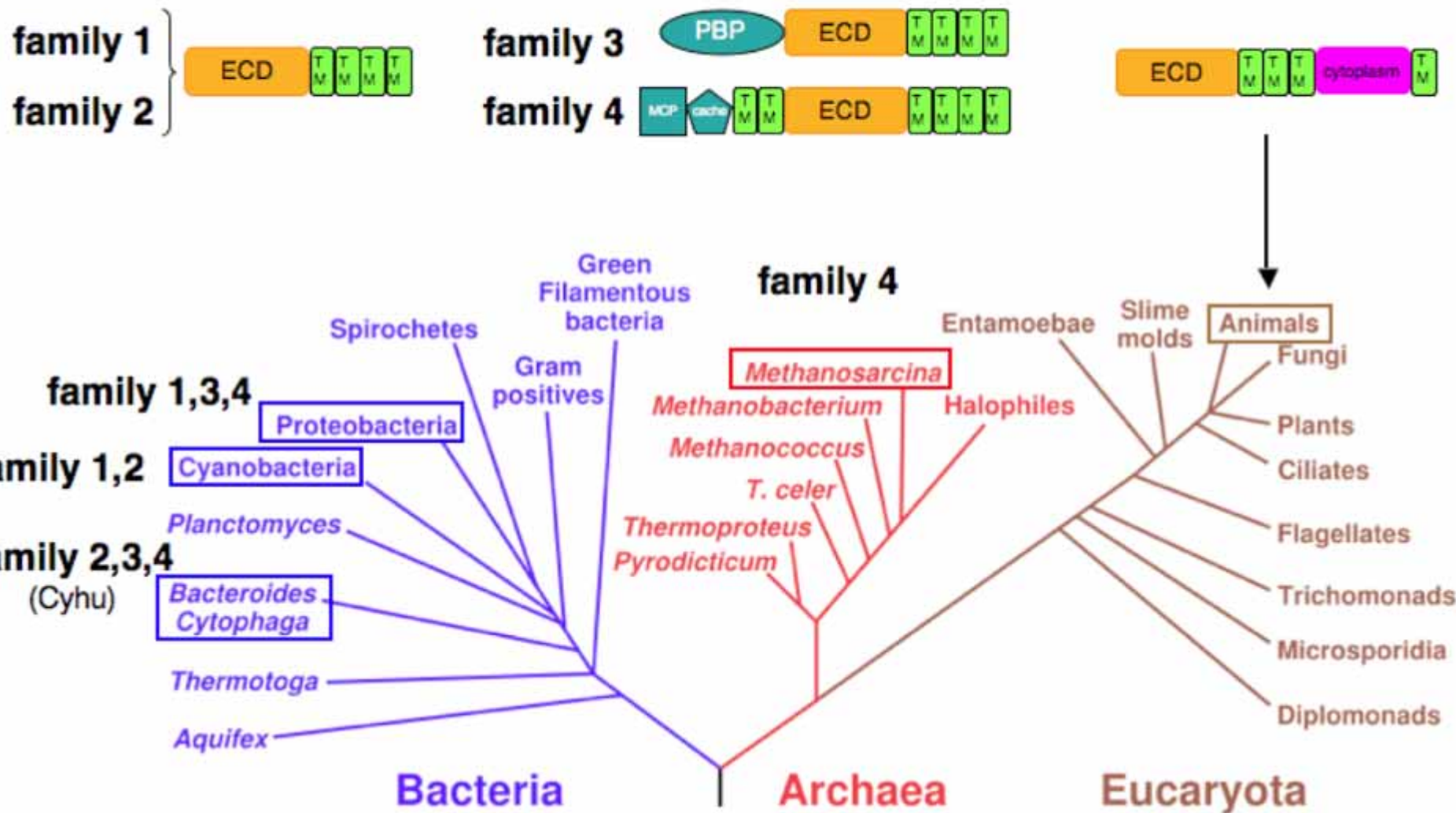
Glycine Receptor

D



GlyR α subunit

4-TM каналы обнаружены во всех биологических царствах



Bacterial CLR history

2005 **Genomic identification**

Tasneem et al. *Genome Biol* 6 (1) pp. R4

2007 **Functional identification**

Bocquet et al. *Nature* 445 pp. 116-9

2008 **X-ray structure closed-pore state**

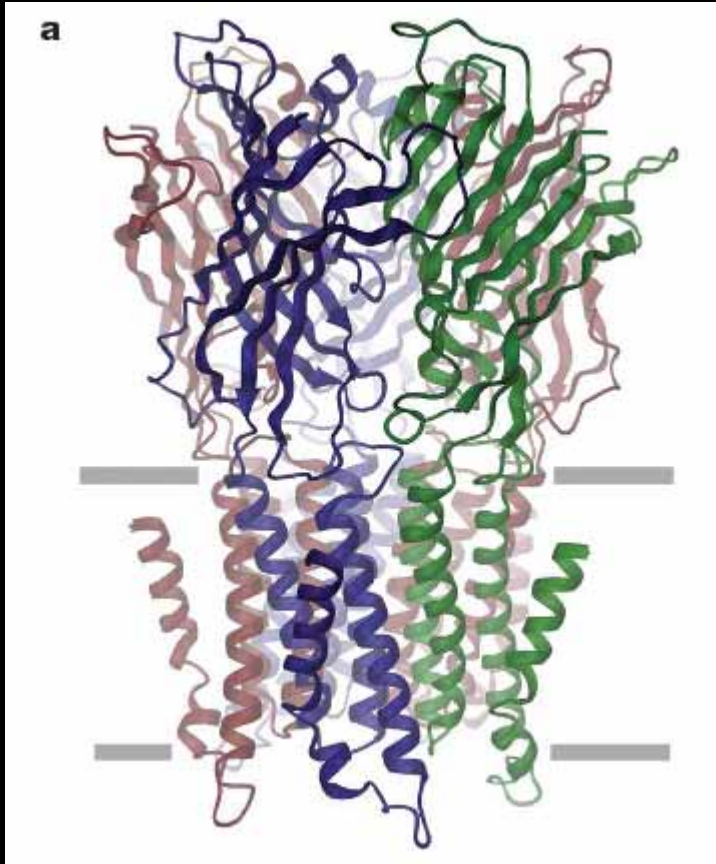
Hilf & Dutzter, *Nature*, 2008 | **(ELIC)**

2009 **X-ray structure open-pore state**

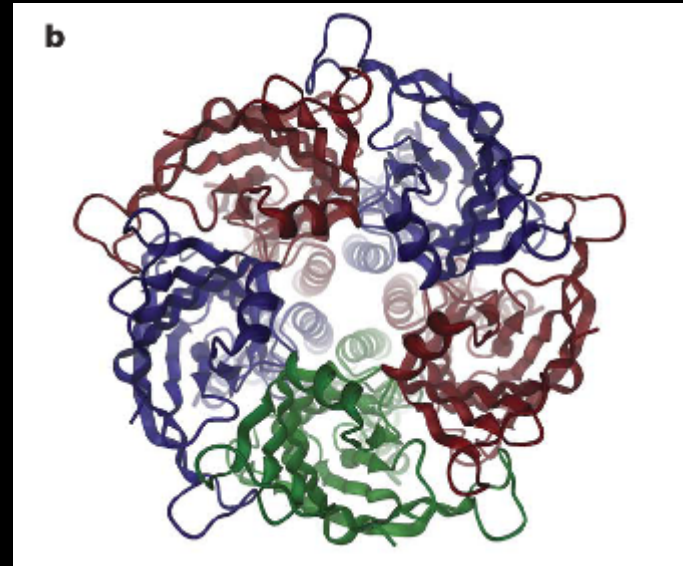
Bocquet et al. *Nature* 457 pp. 111-4
Hilf & Dutzter, *Nature*, 2009 | **(GLIC)**

Pentameric channel from bacterium *Erwinia chrysanthem* (ELIC) at 3.3 Å resolution

16 Å

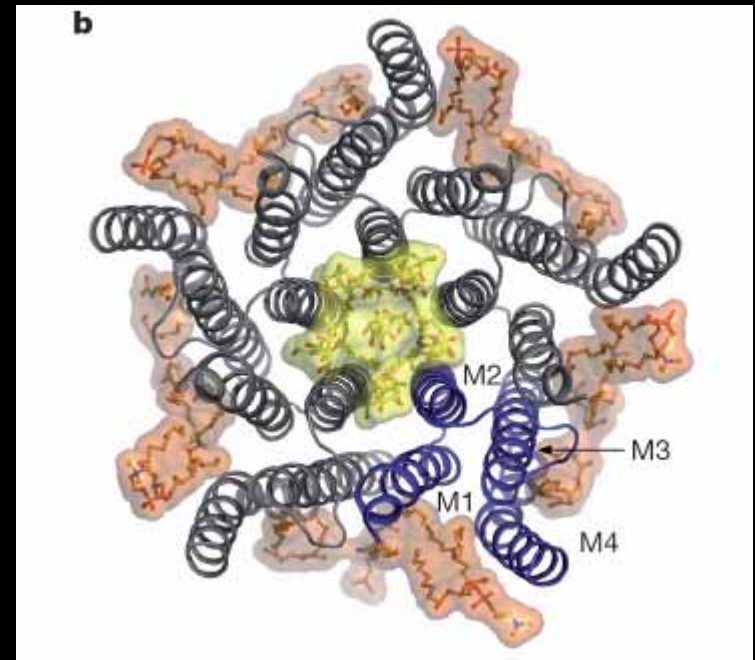
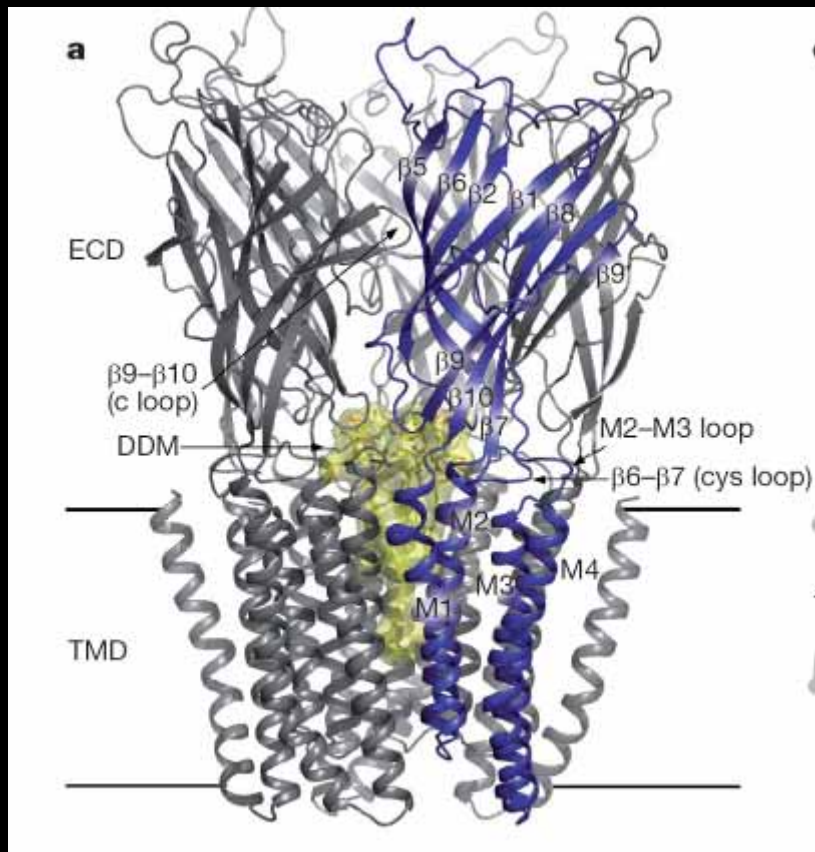


7 Å



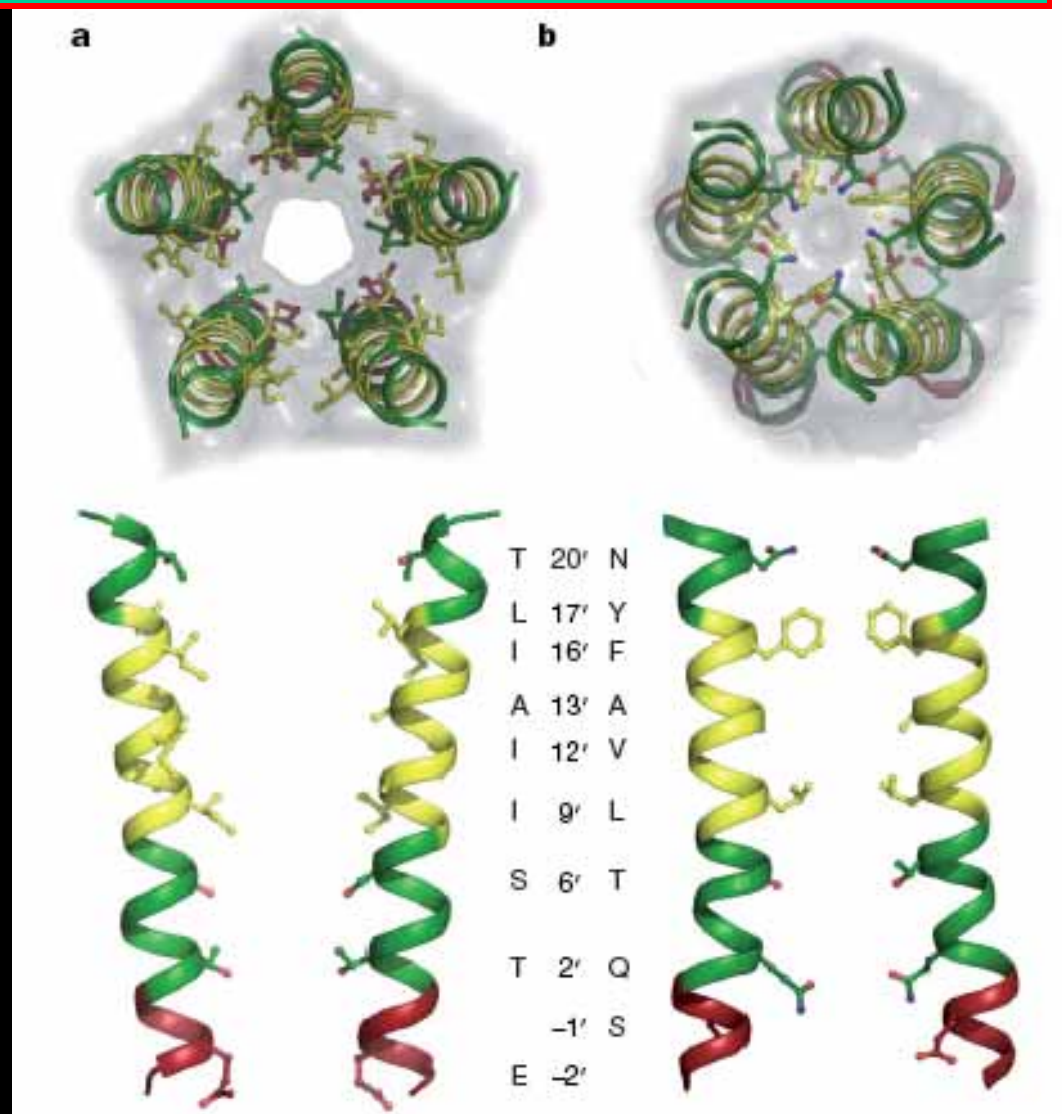
Proton channel from cyanobacterium *Gloeobacter violaceus*

Crystal structure in the open conformation



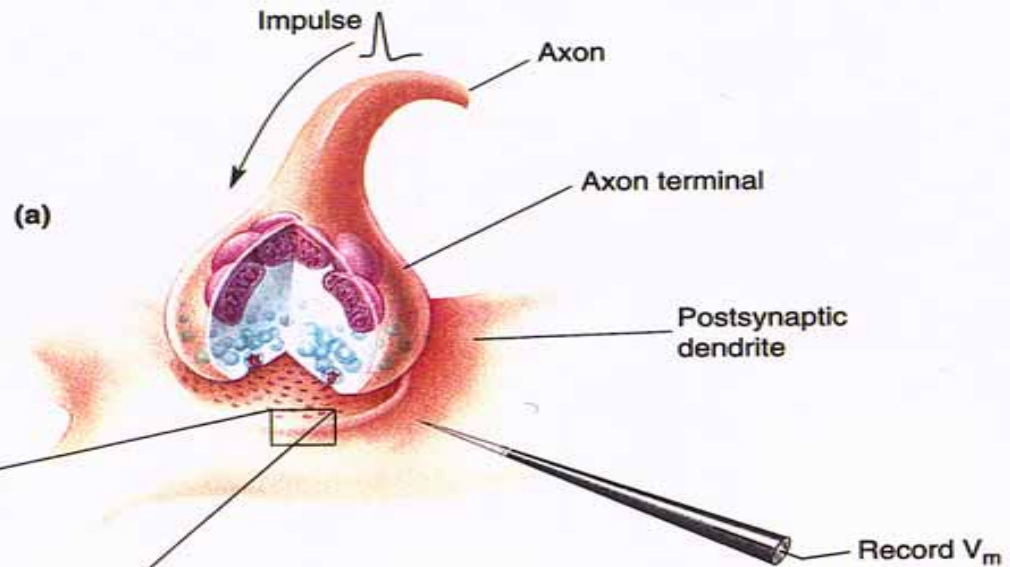
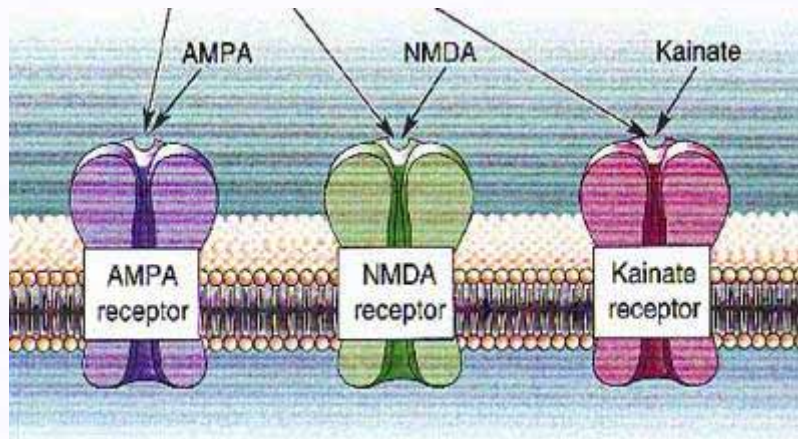
Proton channel from cyanobacterium *Gloeobacter violaceus*

Crystal structure in the open conformation

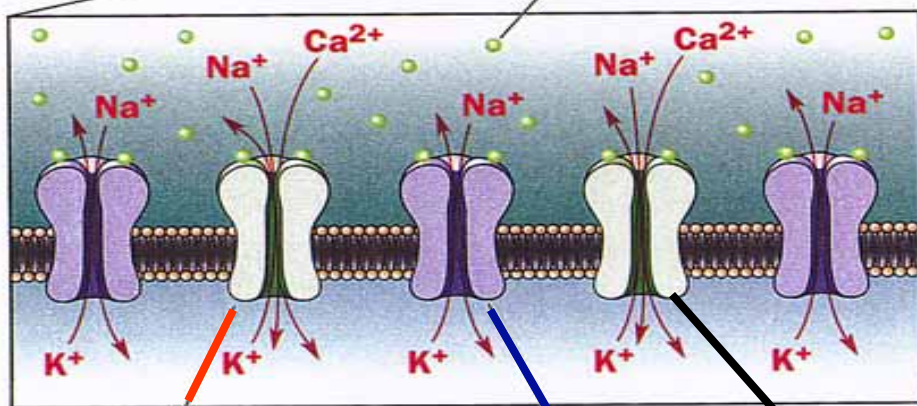


Самосборка ионных каналов в синапсах

Как эти рецепторы ко-локализуются ?



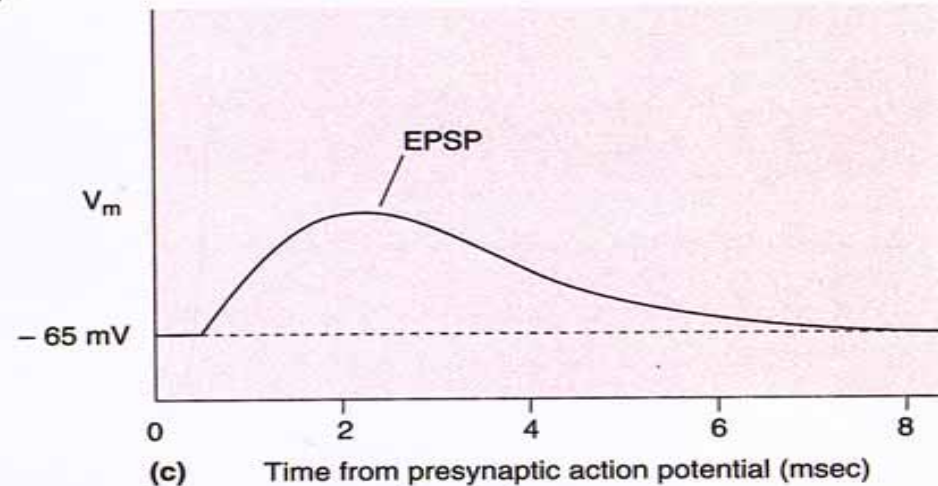
Glutamate



**NMDA
receptor**

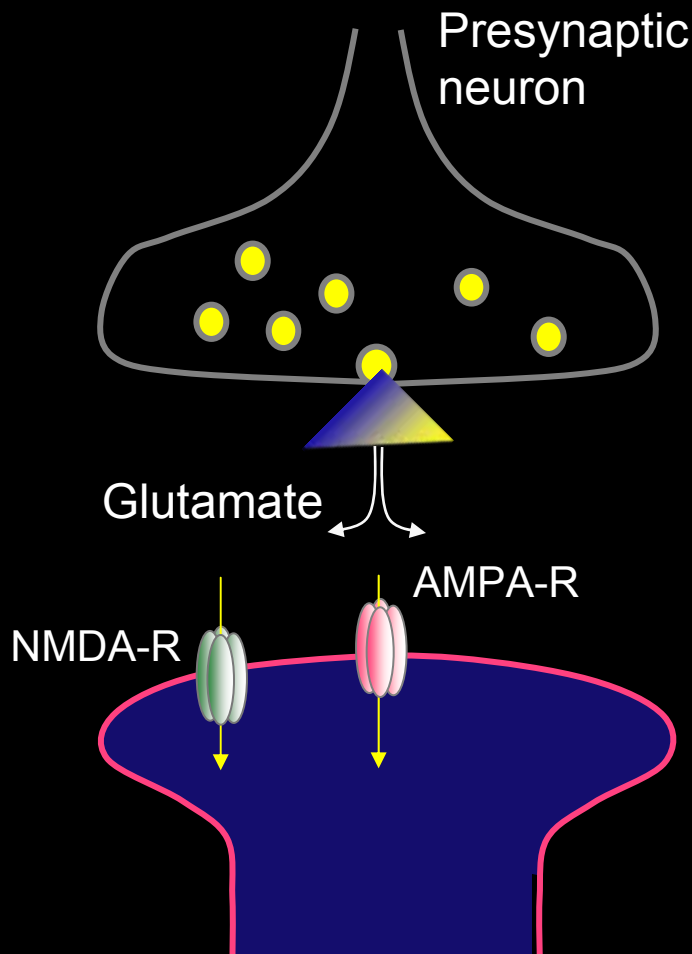
**AMPA
receptor**

**Kainate
receptor**



Постсинаптическая плотность глутаматергических синапсов

Glutamate
synapse in
the CNS

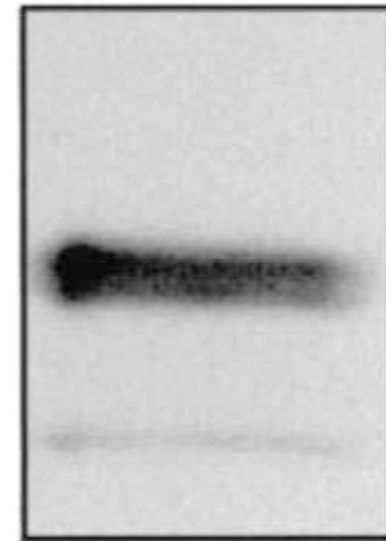


PSD-95-domain organization

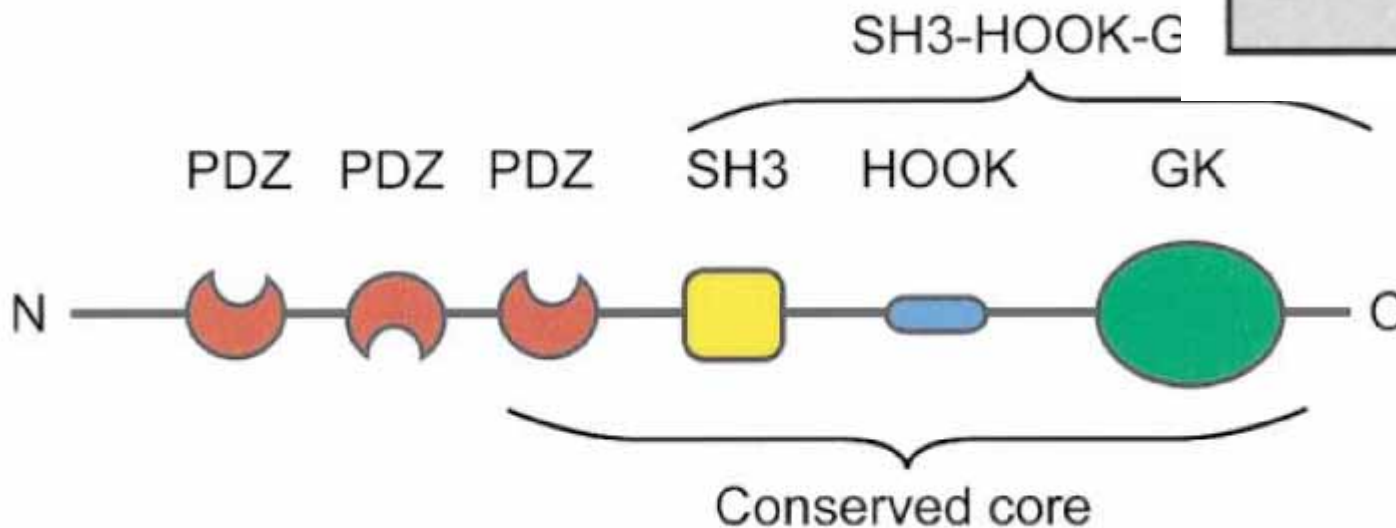
PDZ domains- modular protein-interaction domains that are specified for binding a short peptide motifs at the extreme carboxy (C) termini of other proteins.

PDZ domains-are located at about 12 nm below postsynaptic membrane.

anti-
PSD-95



— 122 kD
— 102 kD
— 80 kD



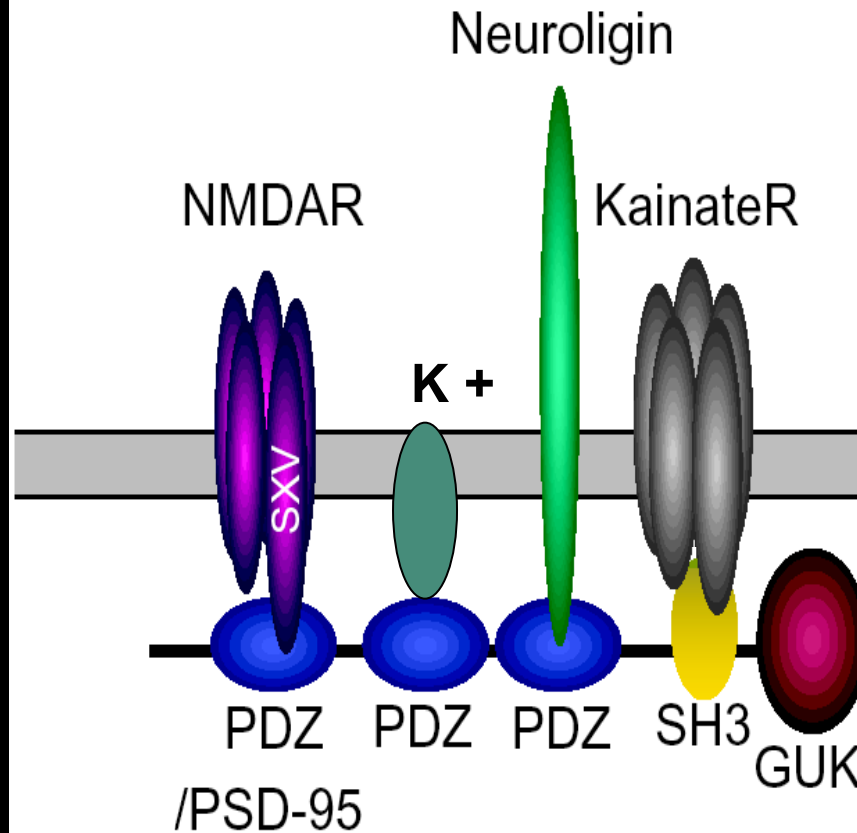
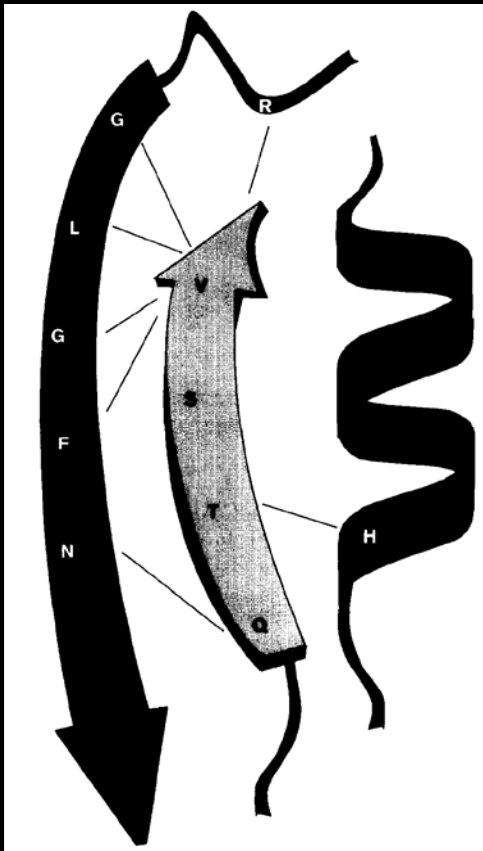
P. Seeburg et al, 1995 : PSD-95 stimulate clustering of NMDAR channels

M. Sheng et al, 1995 : PSD-95 stimulate clustering of potassium channels

protein-protein interactions between synaptic components of the postsynaptic density (PSD)

- 90 amino acids

-Six β -strands and two α -helices



-ETDV - K⁺ channel

-ESDV - NMDA receptor (NR2A/B subunits)

Schematic diagram of the protein–protein interactions between synaptic protein components of the postsynaptic density (PSD)

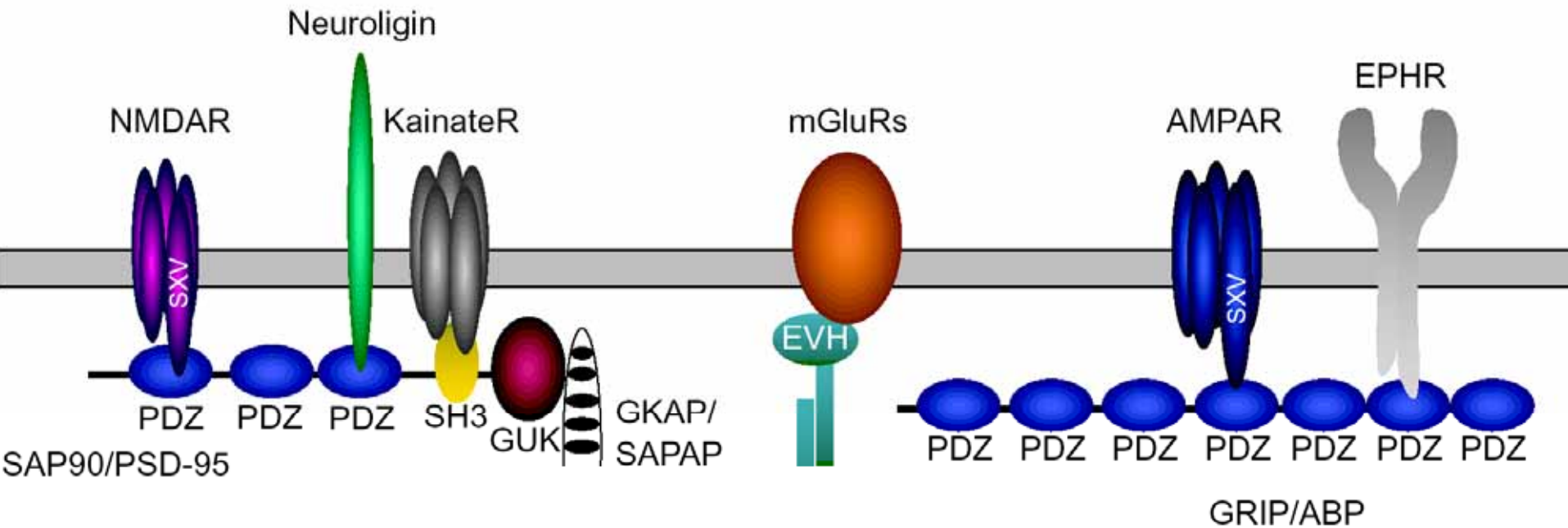
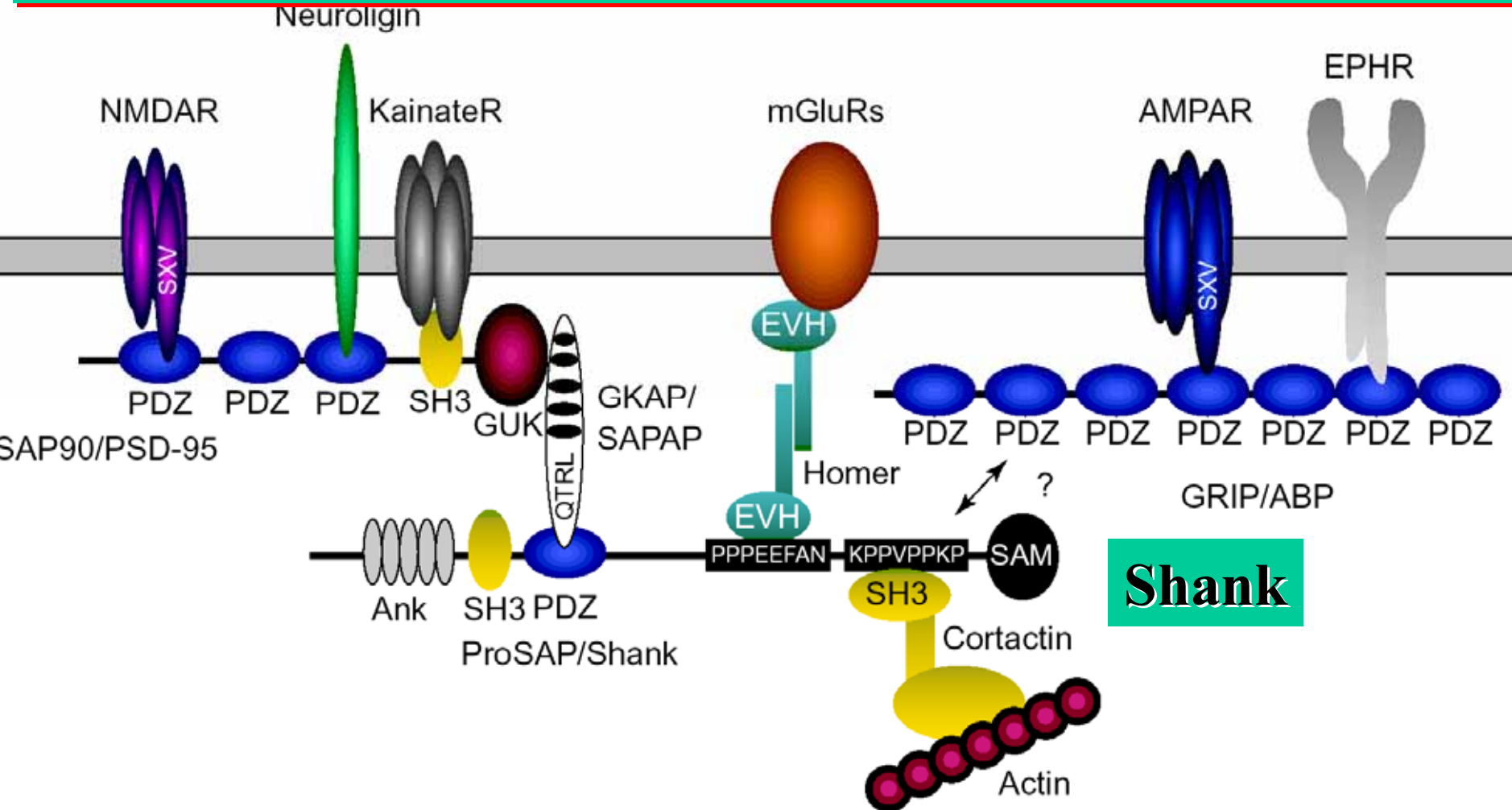
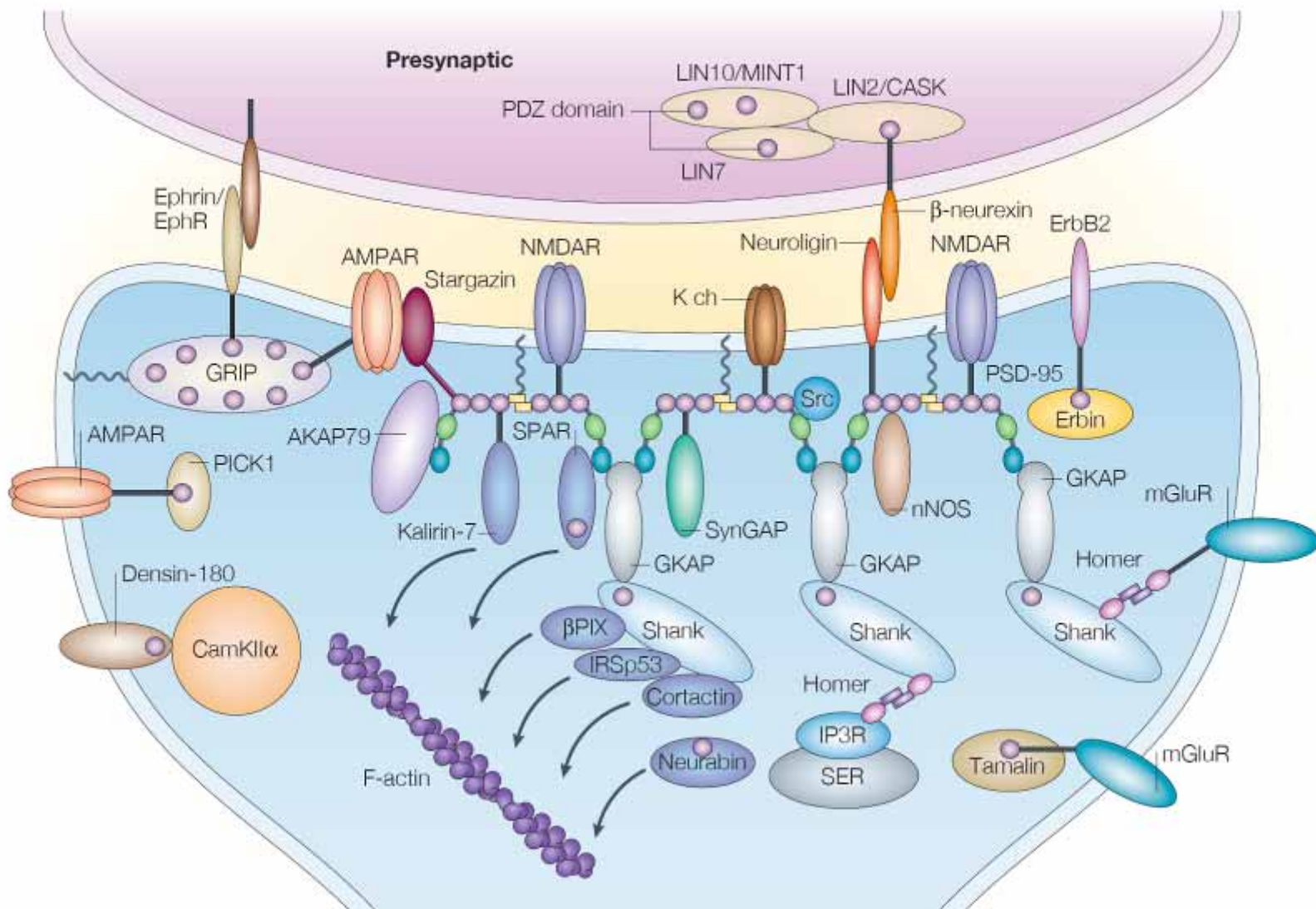


Diagram of the protein-protein interactions between components of the postsynaptic density (PSD)



Архитектура постсинапса



Формирование и подвижность синапсов

Model of synapses

Excitatory

Inhibitory

GABA
or/and
Glycine

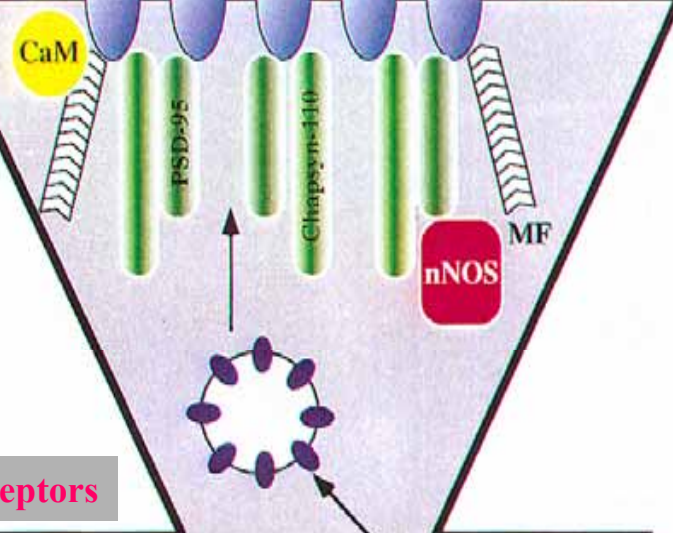
GABA receptors

glycine receptors

Glutamate

AMPA/Kainate

NMDA receptors



Microfilament

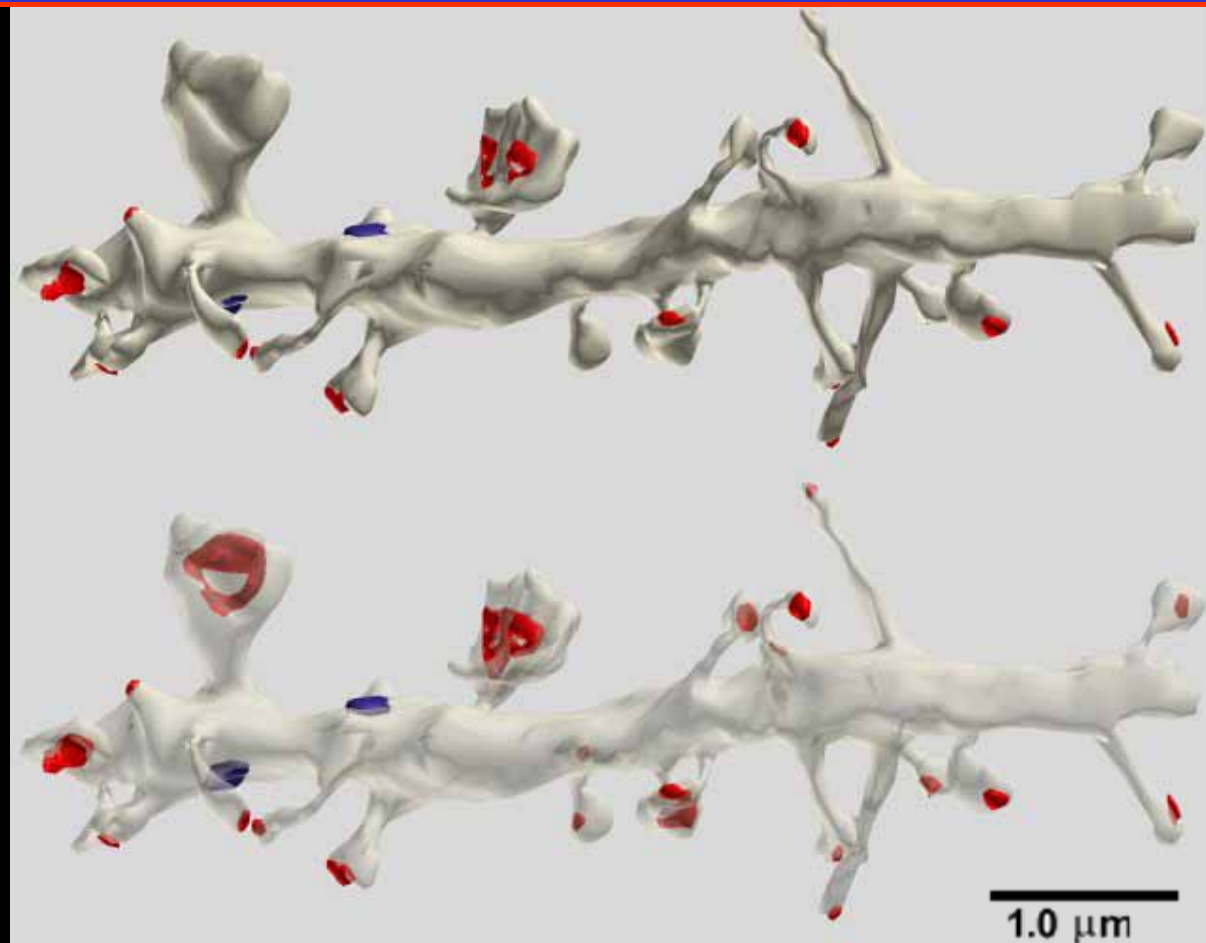
Gephyrin

SMC

Microtubule



Дендриты и постсинаптические шипики содержат актин



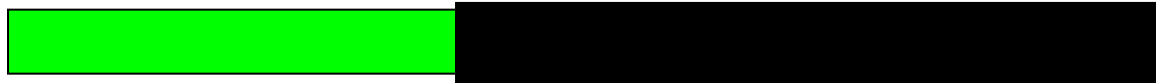
Fifkova, E., and Delay, R.J. (1982.) Cytoplasmic actin in neuronal processes as a possible mediator of synaptic plasticity. *J. Cell Biol.* 95, 345–350.

Matus, A., Ackermann, M., Pehling, G., Byers, H.R., and Fujiwara, K. (1982.) High actin concentrations in brain dendritic spines and postsynaptic densities. *Proc. Natl. Acad. Sci. USA* 79, 7590–7594.

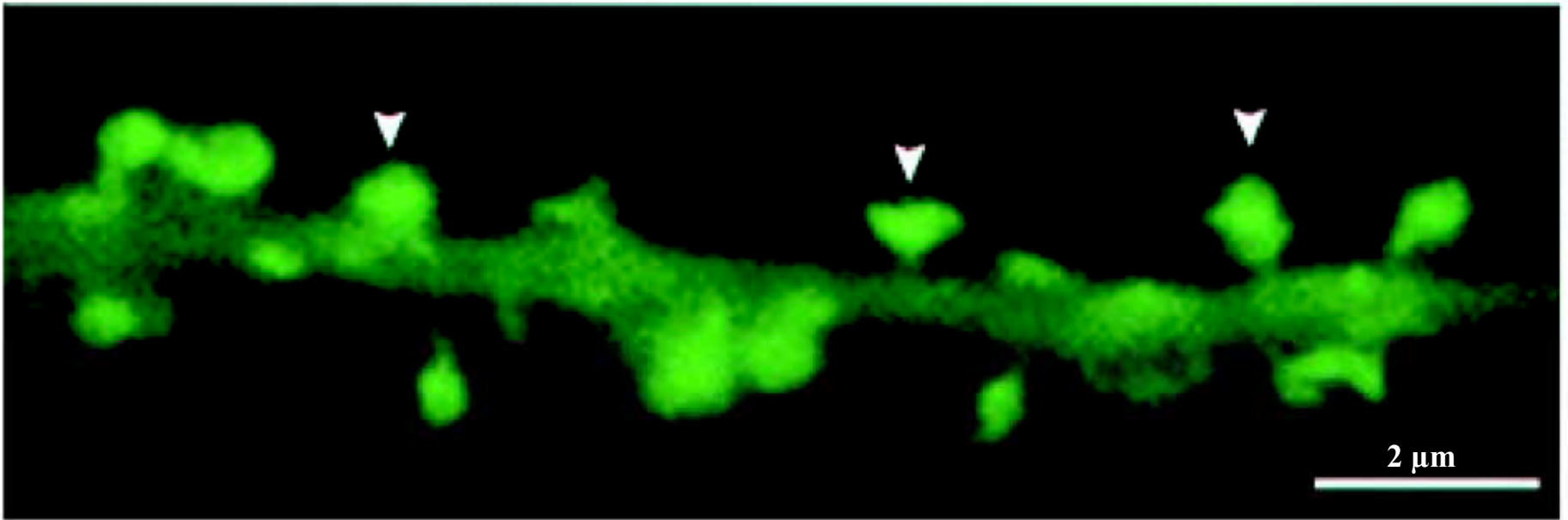
Excitatory synapses are shown in red. Inhibitory synapses in blue.

GFP

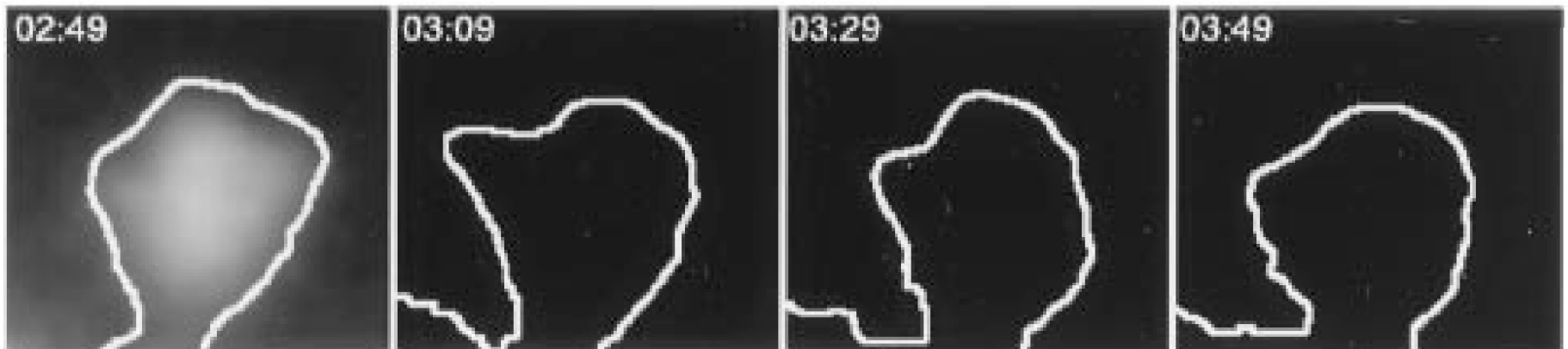
X-Protein



Подвижность дендритных шипиков



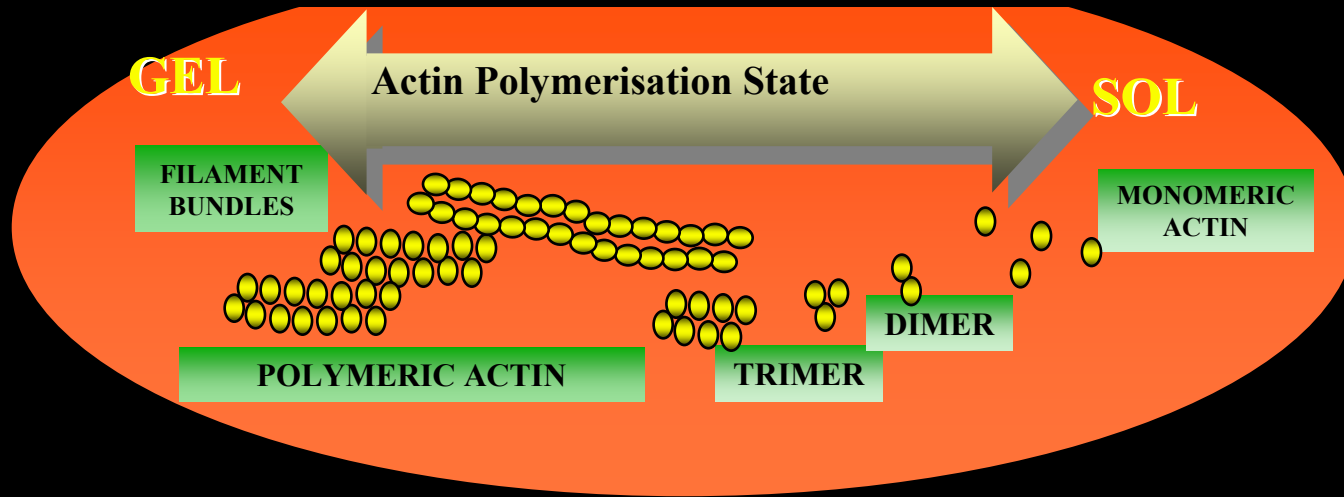
C



Actin in spines of hippocampal neurons

Matus

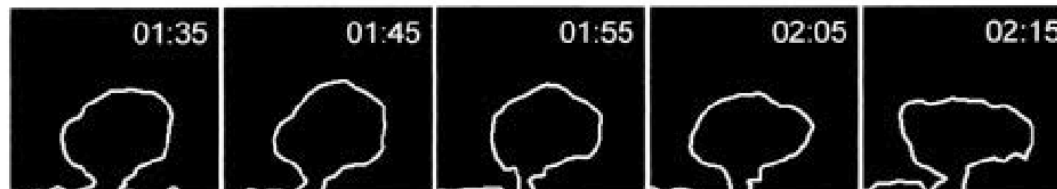
F/G-actin modulators



CYTOCHALASIN Depolymerization: cap to the fast-growing end
LANTRUCULIN Depolymerization: binds to monomeric actin (marine sponge)
PHALLOIDIN Polymerization: prevents depolymerization (mushroom)
JASPLAKINOLIDE Polymerization: prevents depolymerization (marine sponge)
Proteins

GELSOLIN Depolymerization: (i) Ca-dependent F-actin severing;
(ii) displace phalloidin from actin filaments;
COFILIN Depolymerization: pH-dependent;
PROFILIN Polymerization

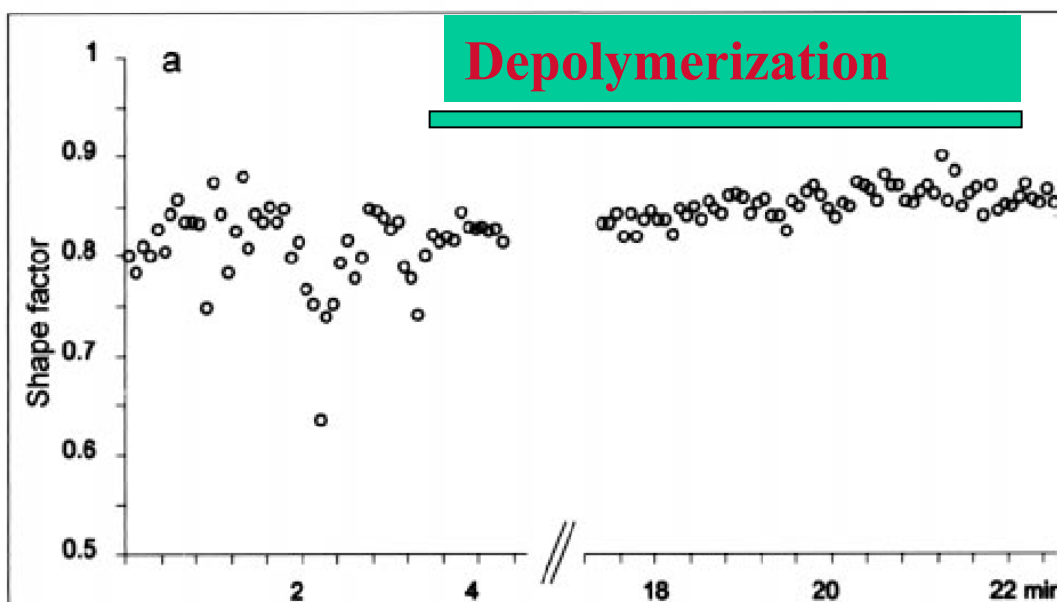
Деполимеризация актина блокирует ПОДВИЖНОСТЬ ШИПИКОВ



b

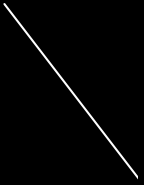


c

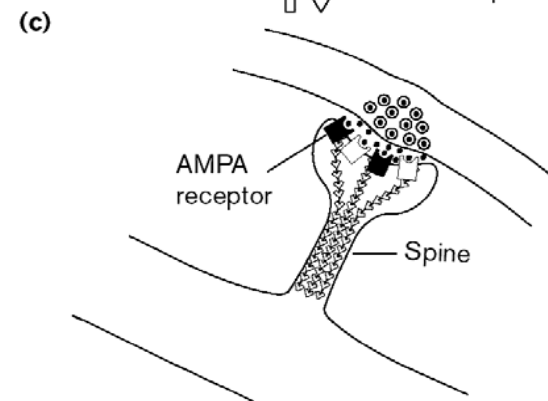
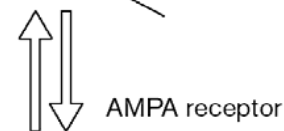
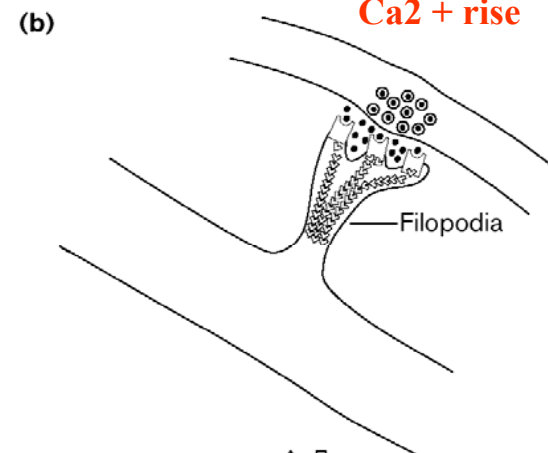
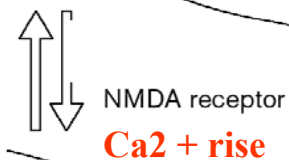
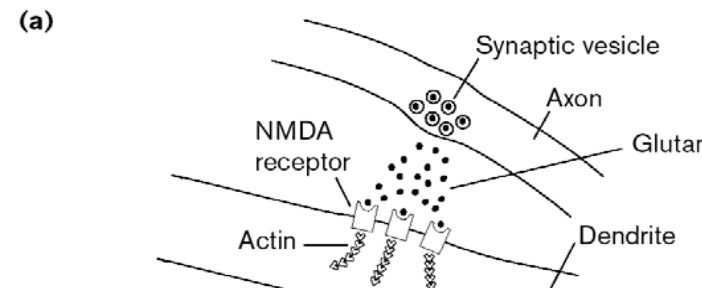


Actin in spines + CytD

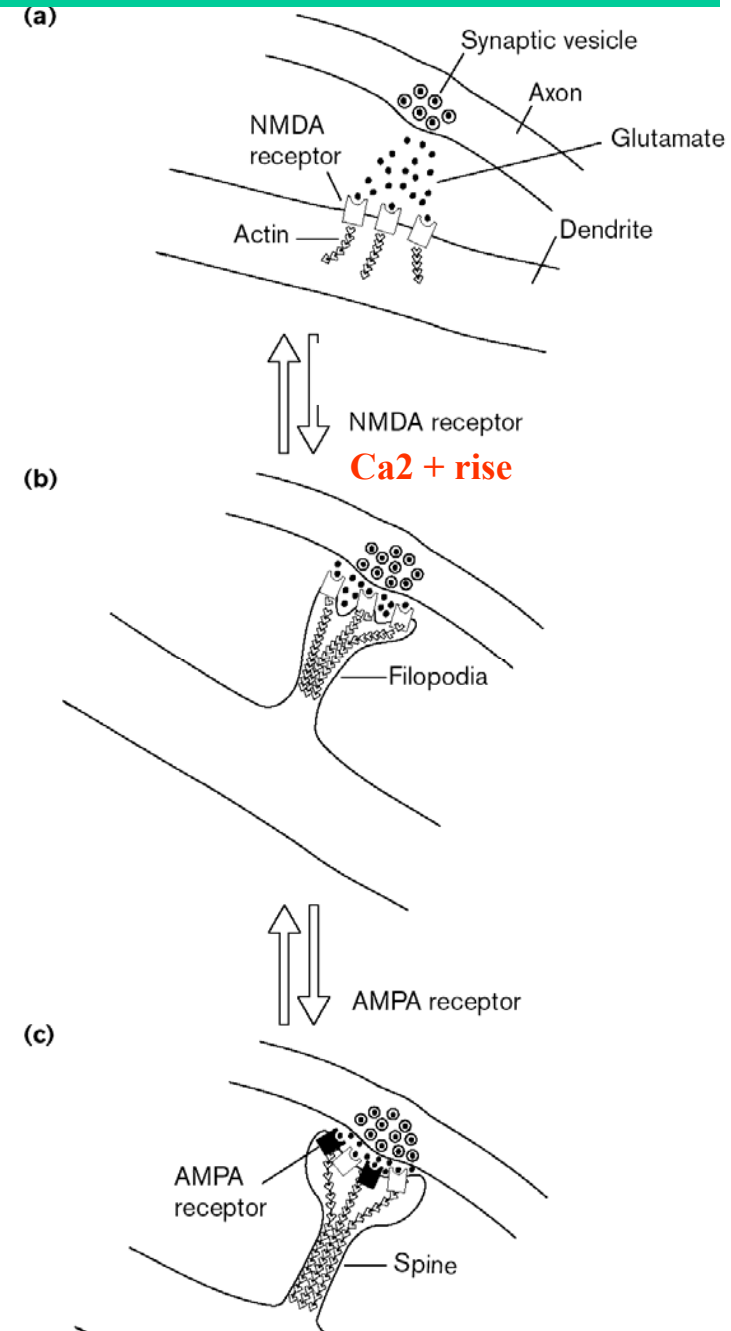
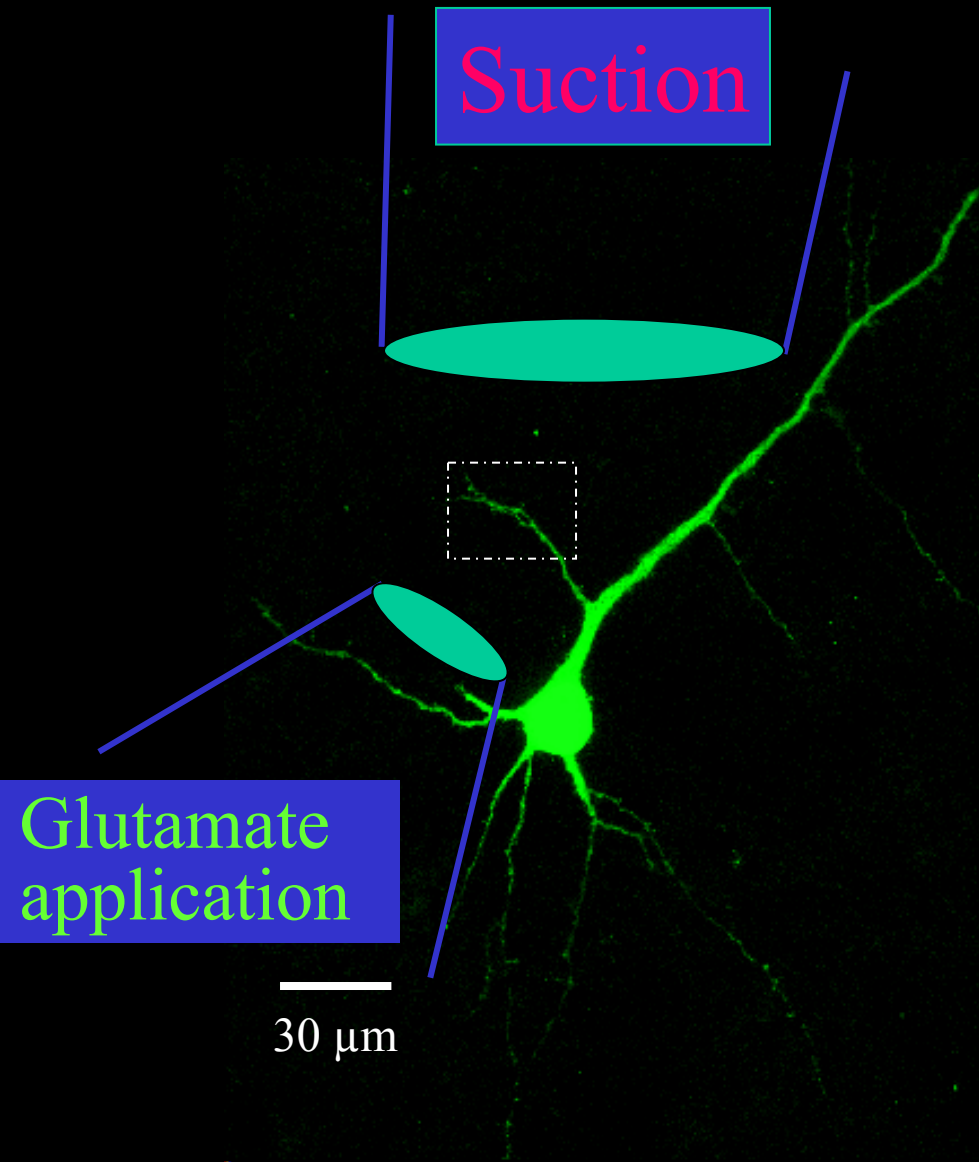
Matus

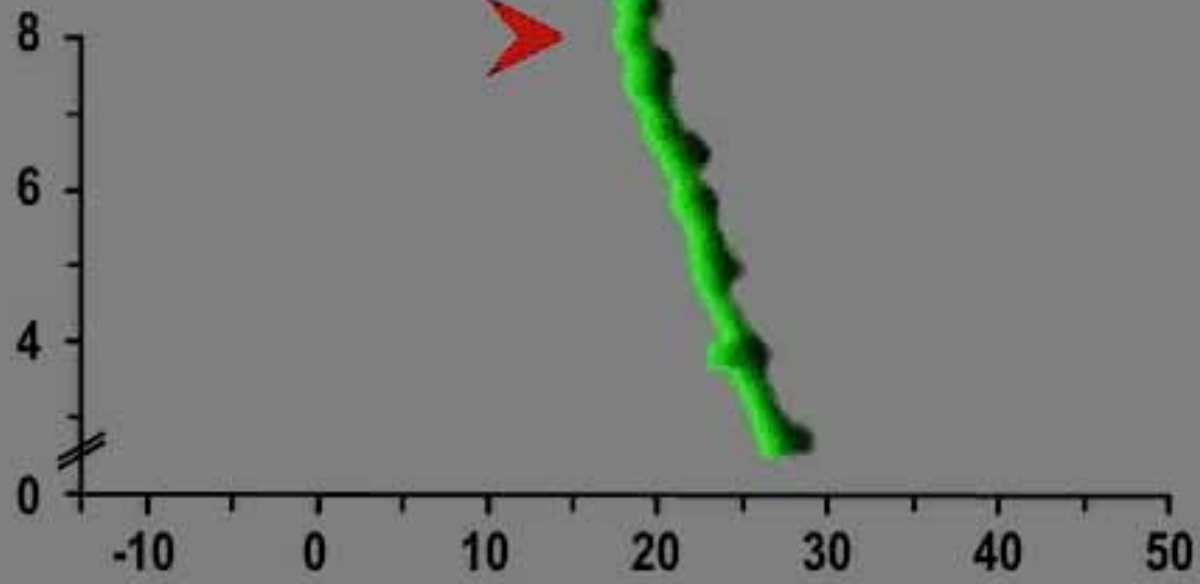


Ca²⁺-стимулируемое формирование дендритных ШИПИКОВ





Локальная активация рецепторов в дендритах

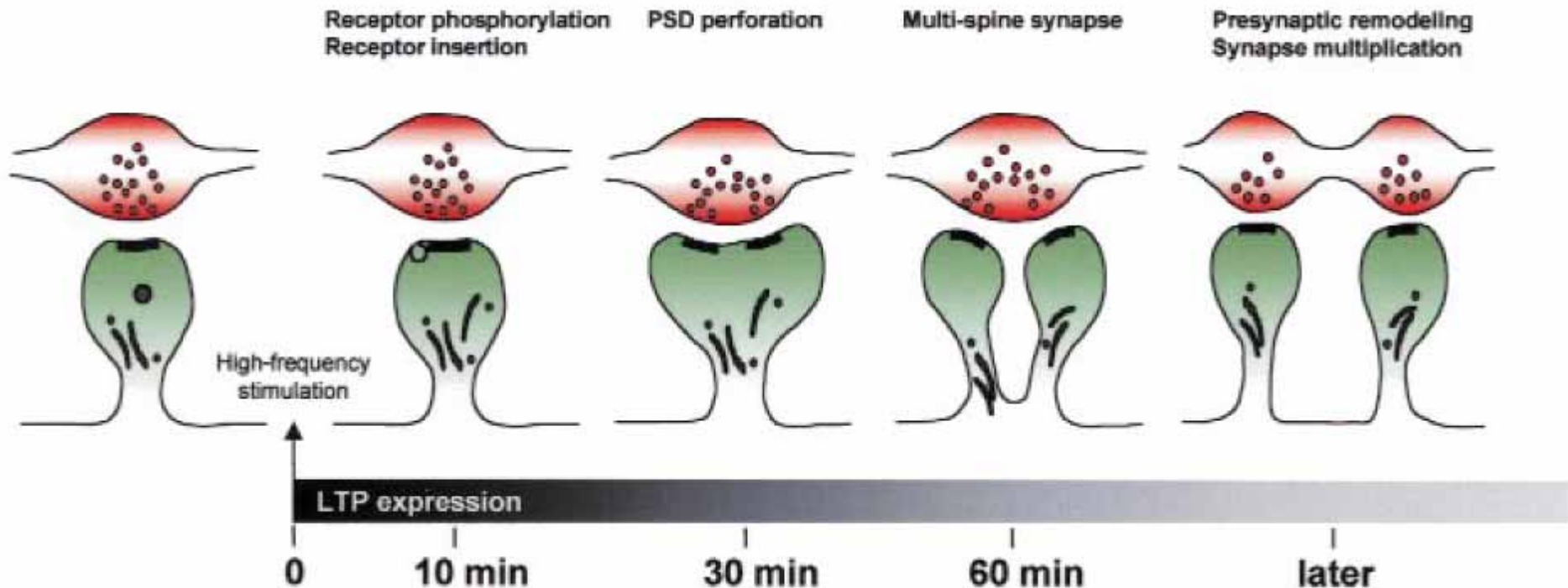




Подвижность дендритных шипиков

<i>Effect</i>	<i>Correlate</i>	<i>Time-scale</i>
Motility 	Shape Change	Seconds
Growing 	New Spines	Minutes Hours

Возможный механизм формирования новых синапсов

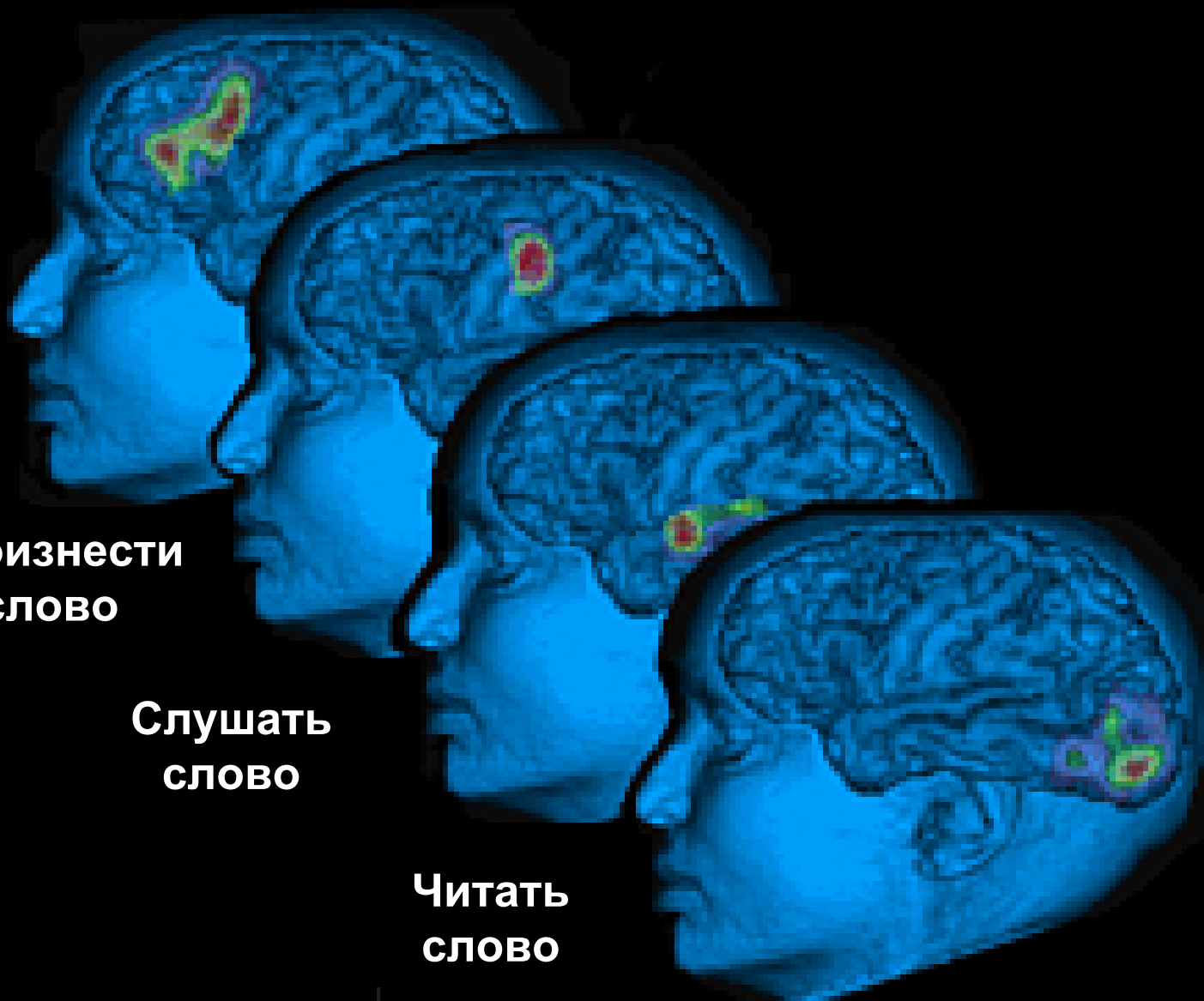


**Найти
слово**

**Произнести
слово**

**Слушать
слово**

**Читать
слово**



На память:

- Синапсы - динамические самоформирующиеся молекулярные модули, обеспечивающие быструю передачу информации в нервной системе
- Ионные каналы ключевые белки, обеспечивающие трансформацию химических, механических и др. воздействий в электрические сигналы

В будущем:

- формирование и пластичность нервной сети
- модели памяти
- нарушения функции каналов и синапсов

Фундаментальные вопросы



Как устроены молекулярные блоки и сети, обеспечивающие прием и обработку информации?



Какие функции выполняют молекулярные блоки нервной системы?



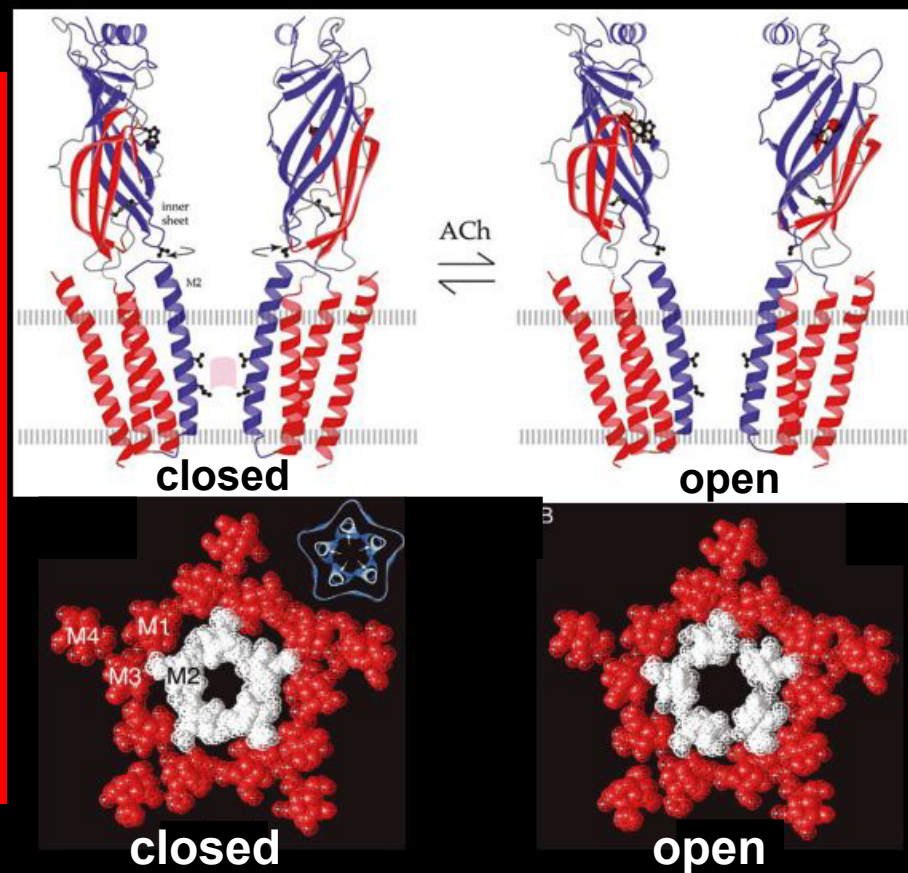
Как формируются блоки, обеспечивающие функцию мозга и нервной системы?



Ионные каналы и синапсы: ключевые молекулярные блоки биологической жизни

26 октября, 2009

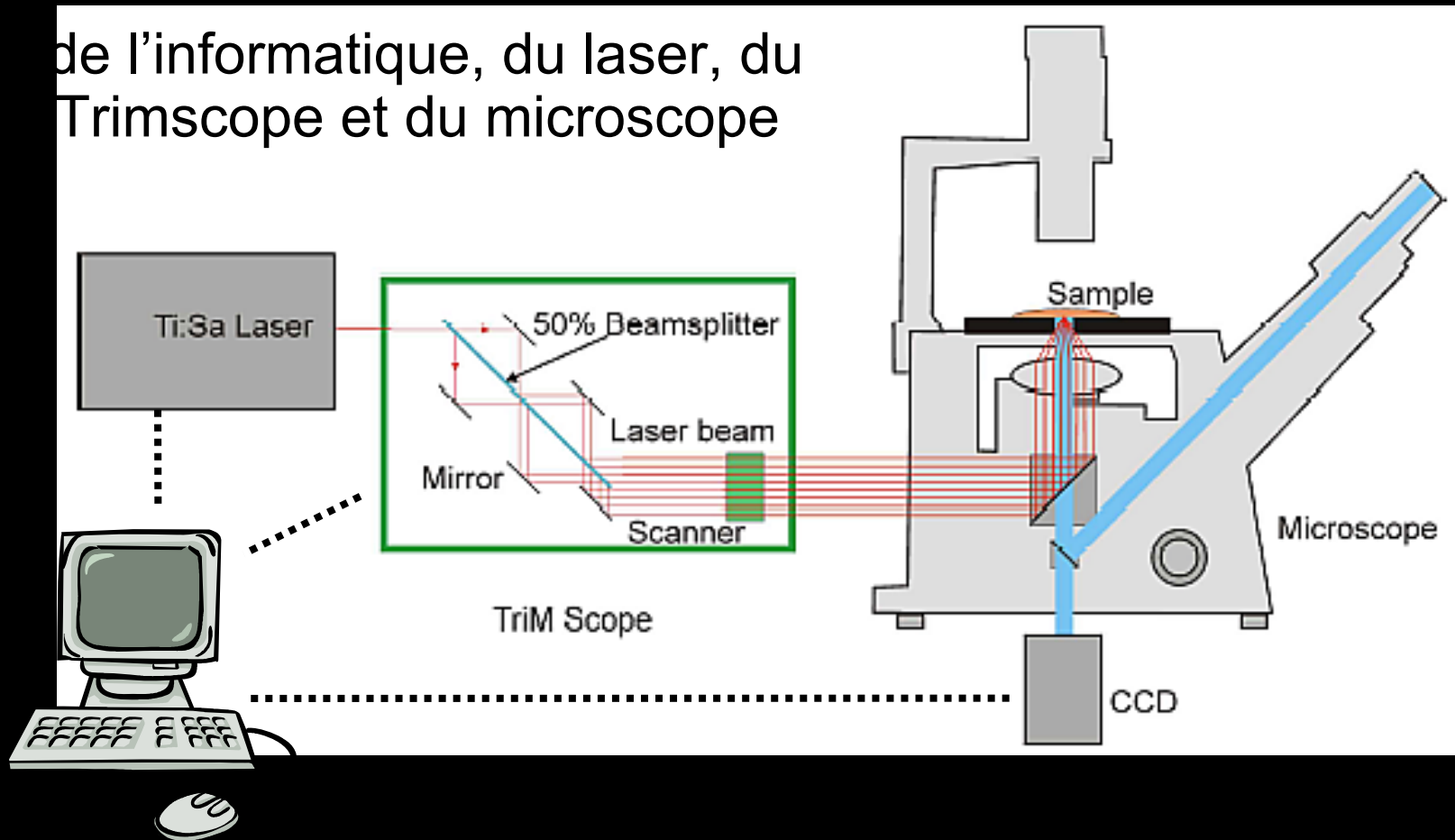
Междисциплинарный
курс лекций
"Молекулярная
физиология"
МГУ Москва



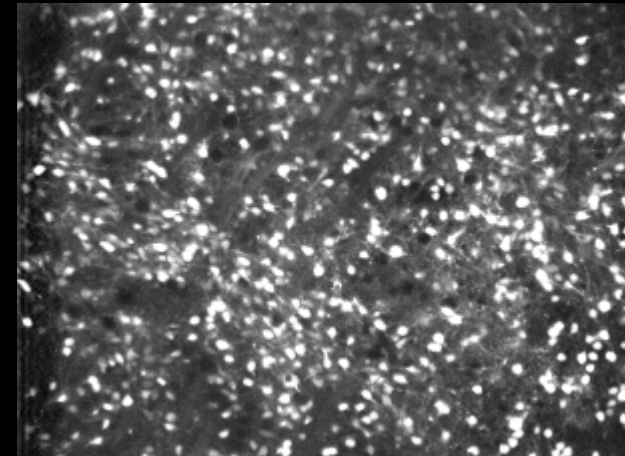
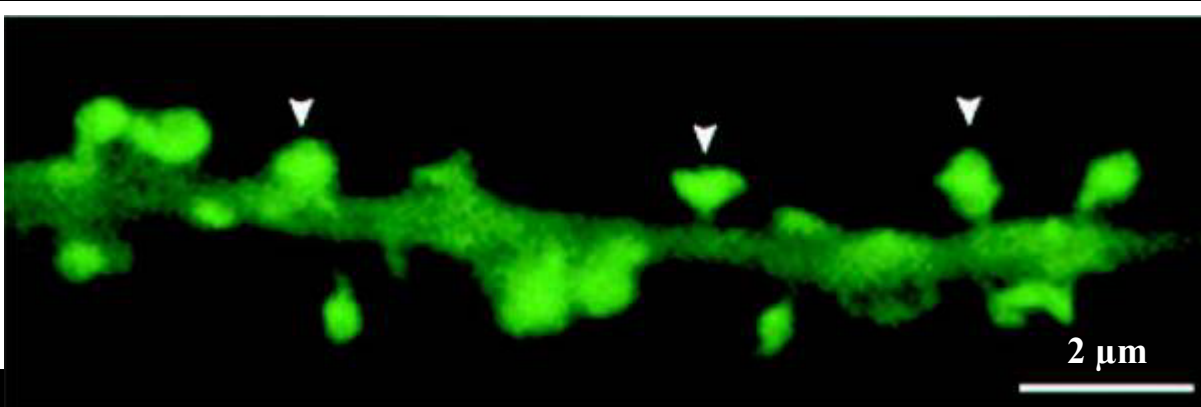
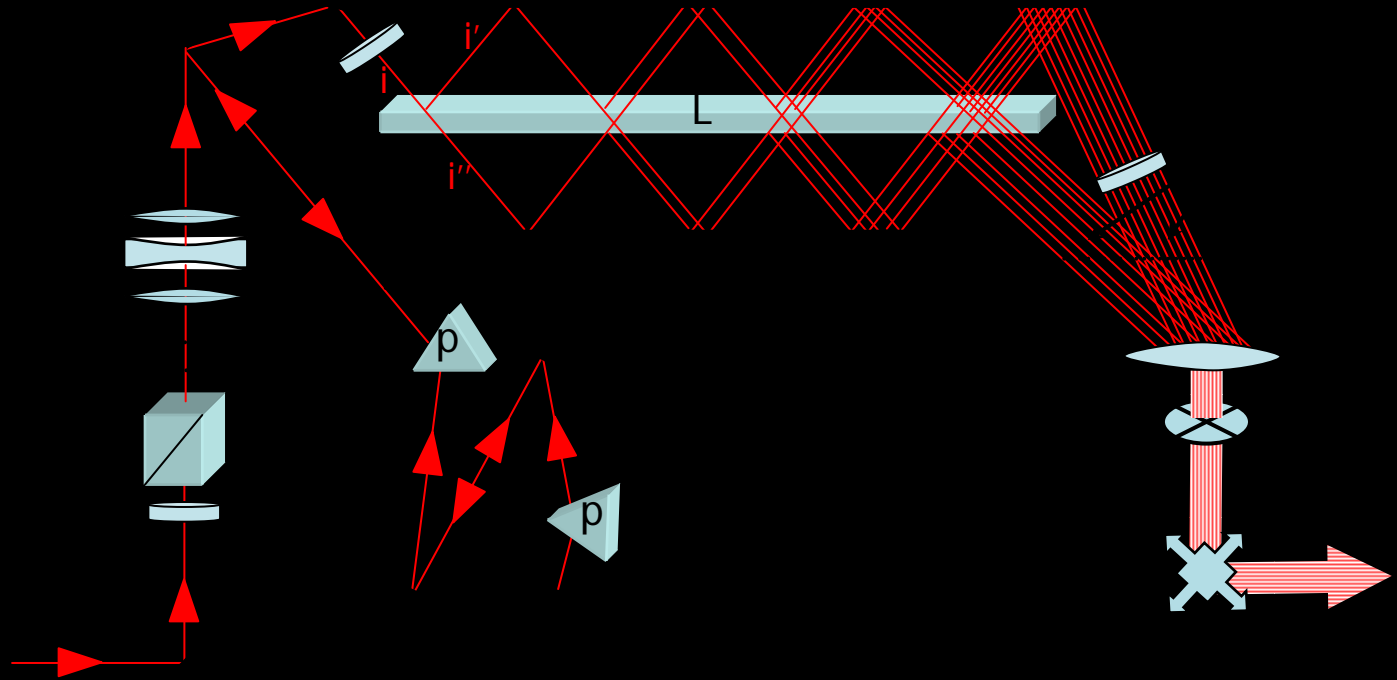
Петр Брежестовский
Средиземноморский Институт Нейробиологии
Марсель, Франция
pbreges@inmed.univ-mrs.fr

Быстрая 2-фотонная микроскопия

de l'informatique, du laser, du
Trimscope et du microscope



Fonctionnement du Trimscope

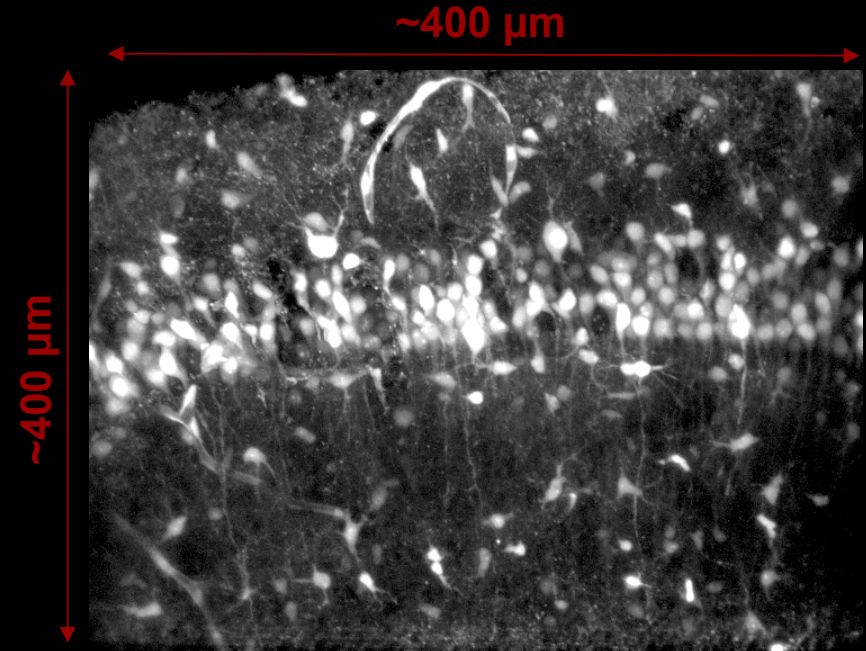


Experimental procedures

Hippocampal slices



Imaging experiments



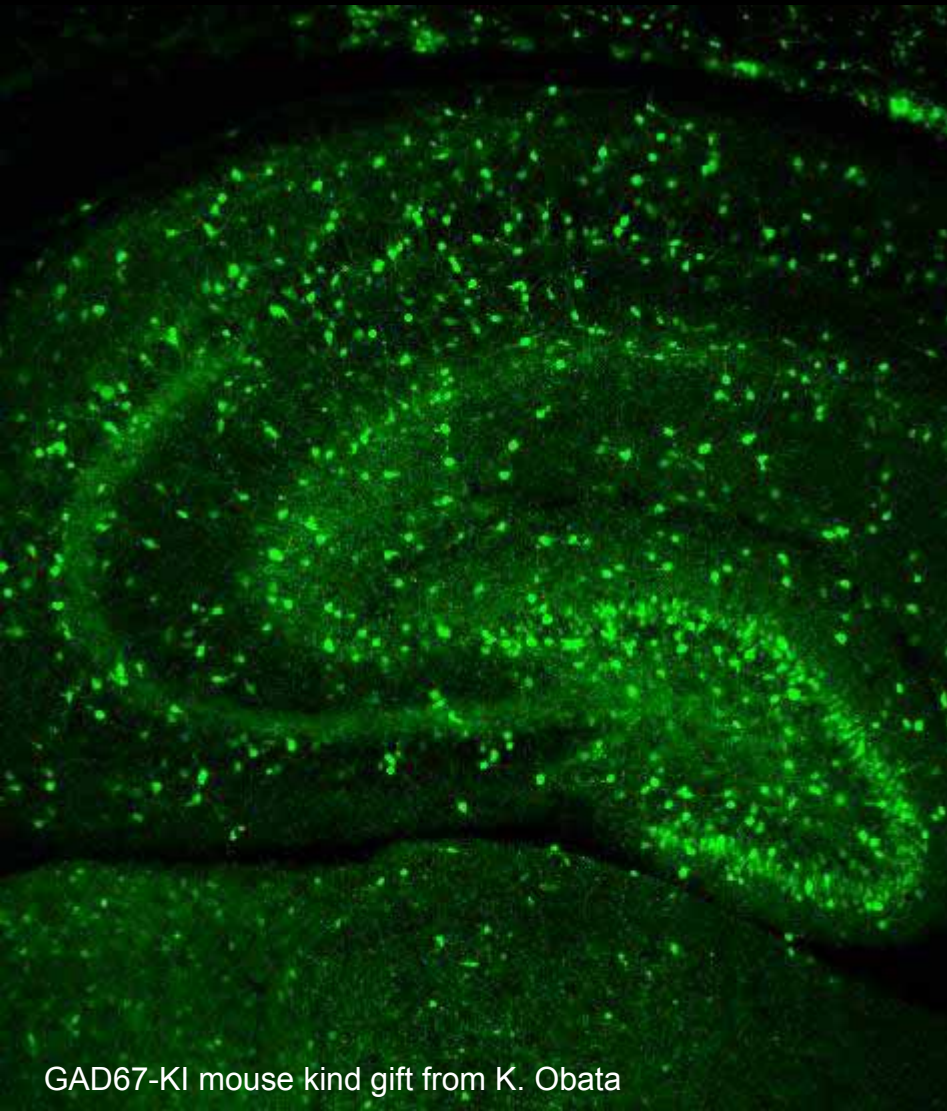
~ 300 cells / frame

- E16 to 15-day old Swiss mice
- hippocampal slices (300 μm thick)
- Standart ACSF (submerged chamber, 30°C)

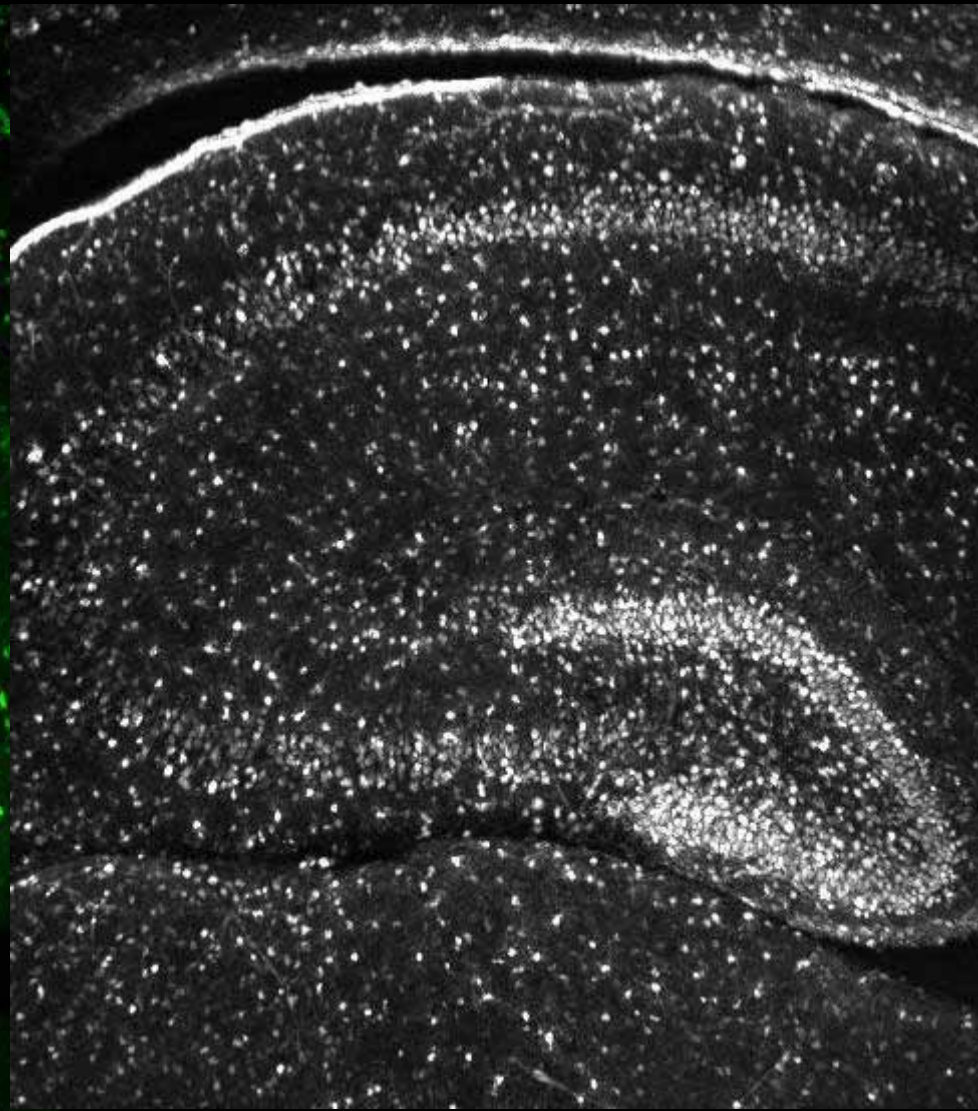
- Low-magnification (20X), high NA (0.95) objective
- Calcium-sensitive dye (Fura 2-AM)
- Two-photon excitation
- Multi-beam (64) : 100ms / frame

Imaging GABAergic neurons

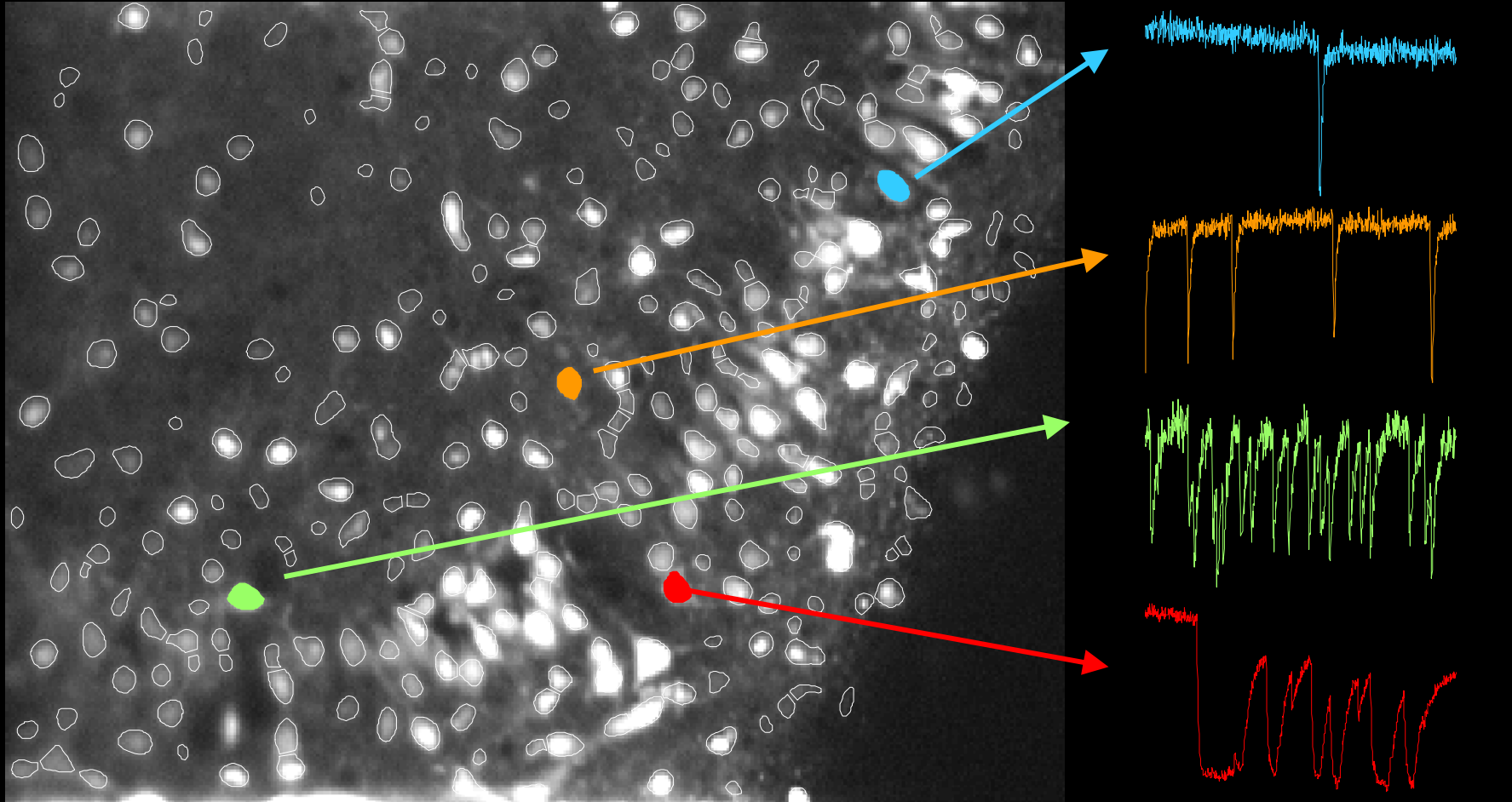
GFP+ neurons=GABAergic neurons



Calcium imaging



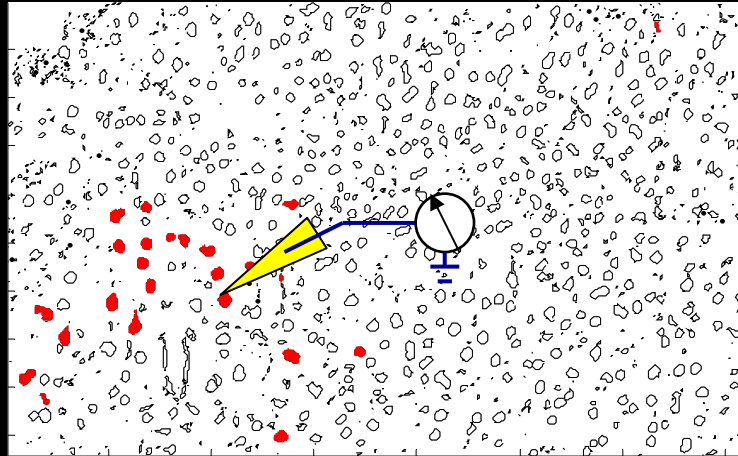
Online analysis: cell detection



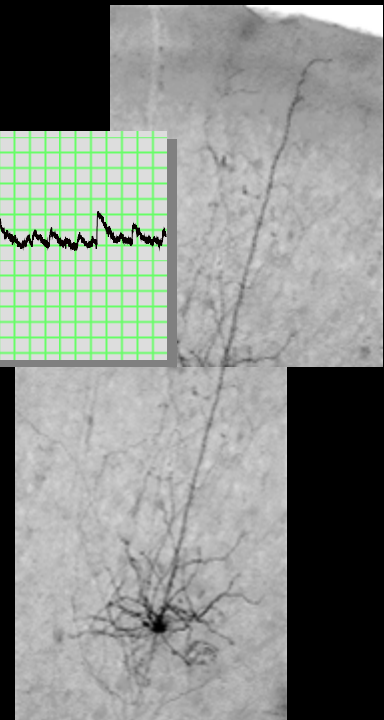
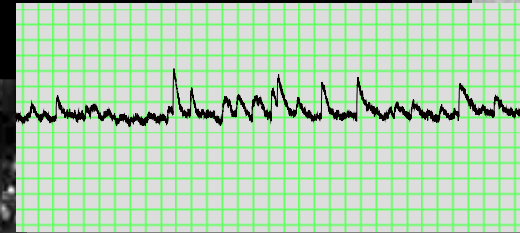
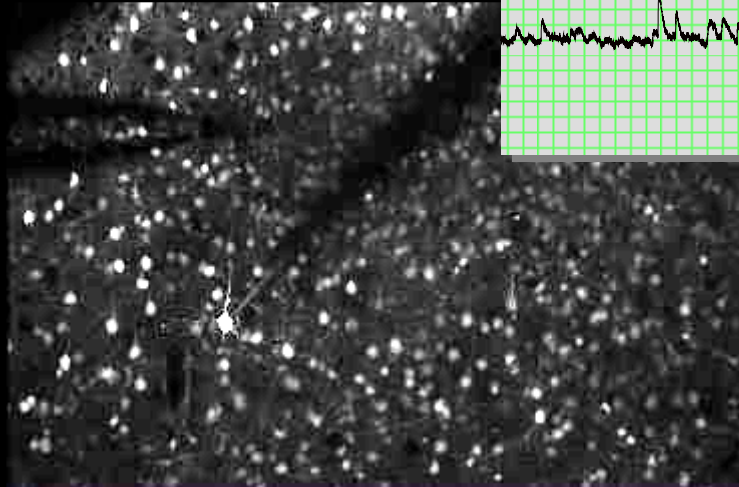
10% DF/F |
30 sec

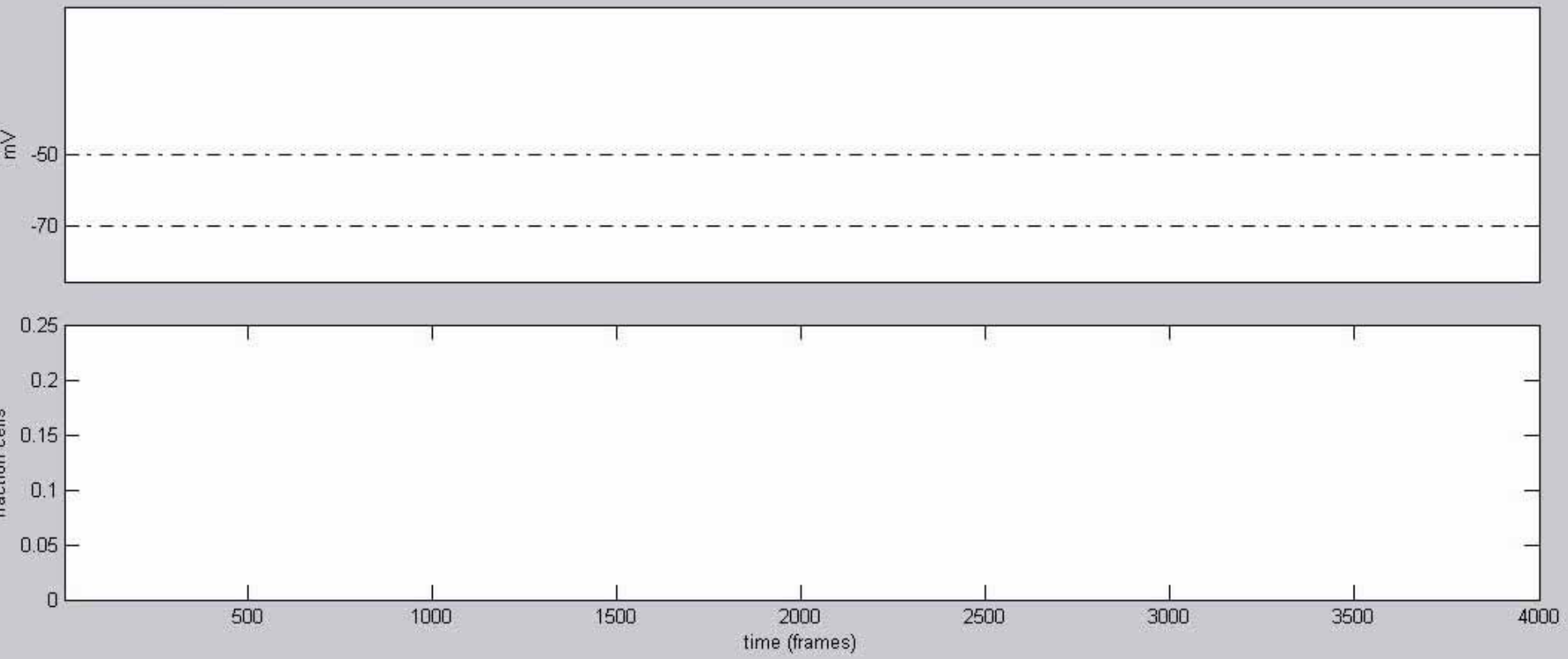
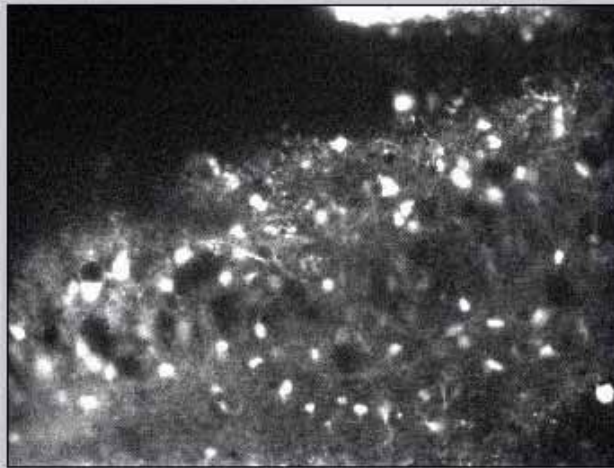
Patch-clamp recording of the active microcircuits

Localization of active microcircuits

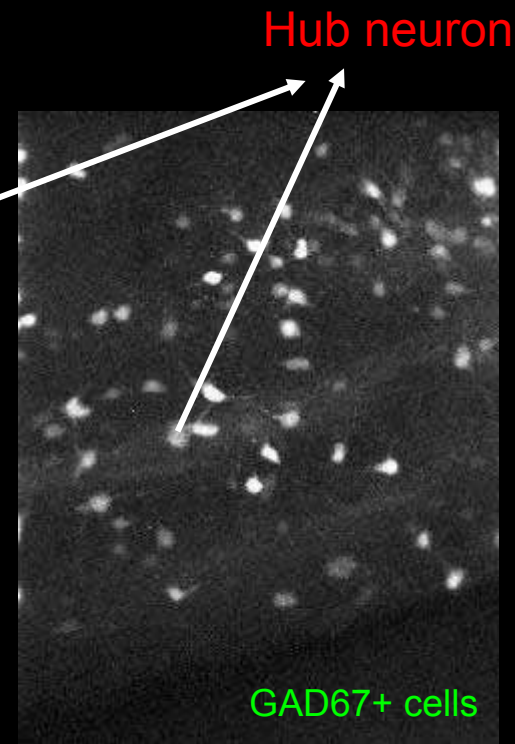
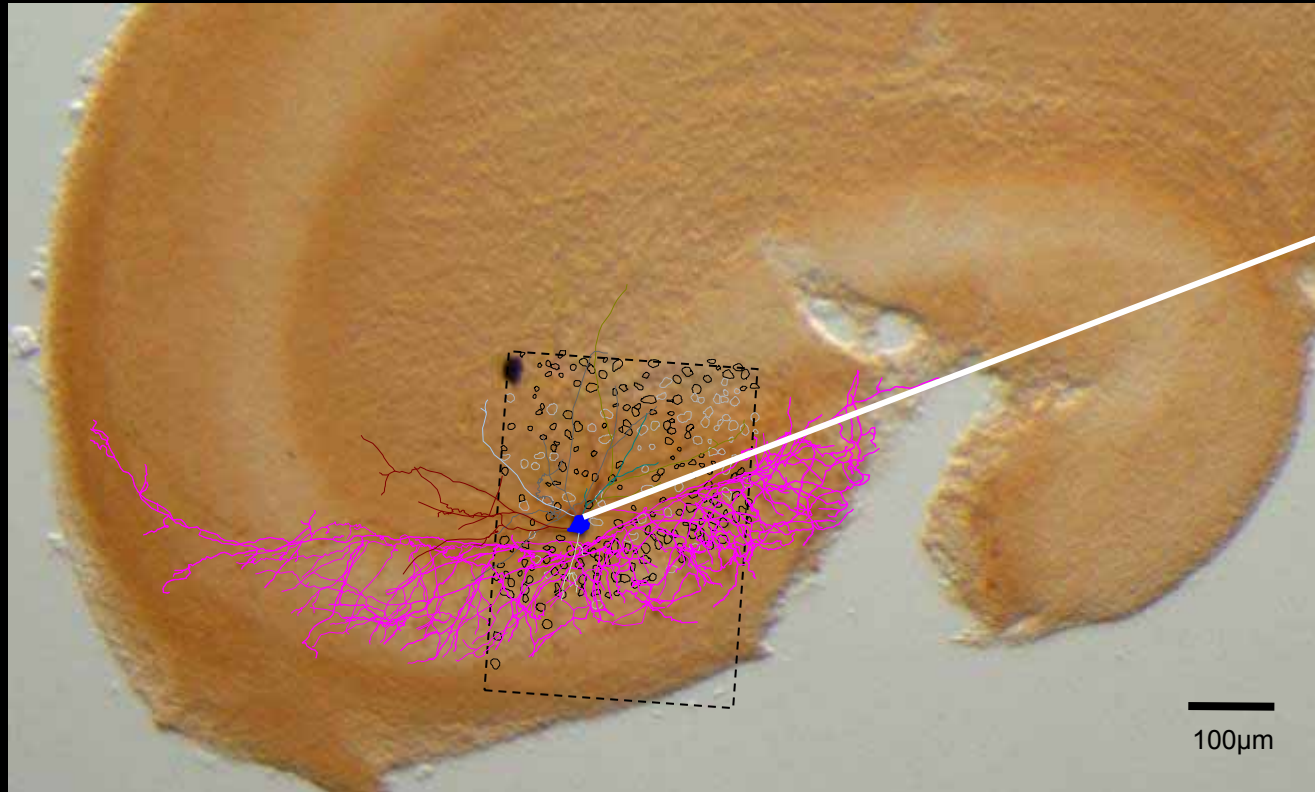


Patch clamp and morphological analysis





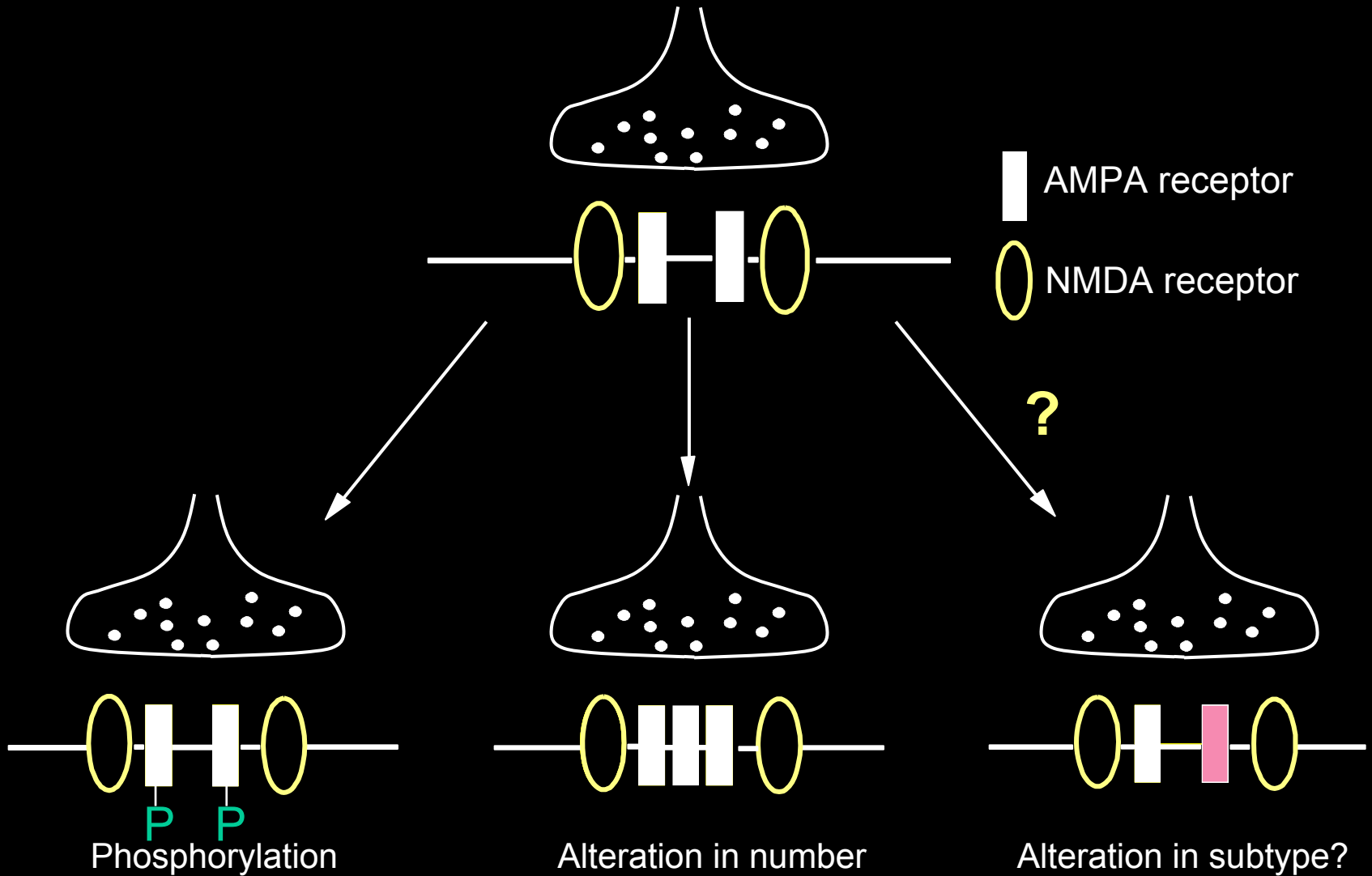
Hubs are GABA neurons with widespread axonal arborization



На память:

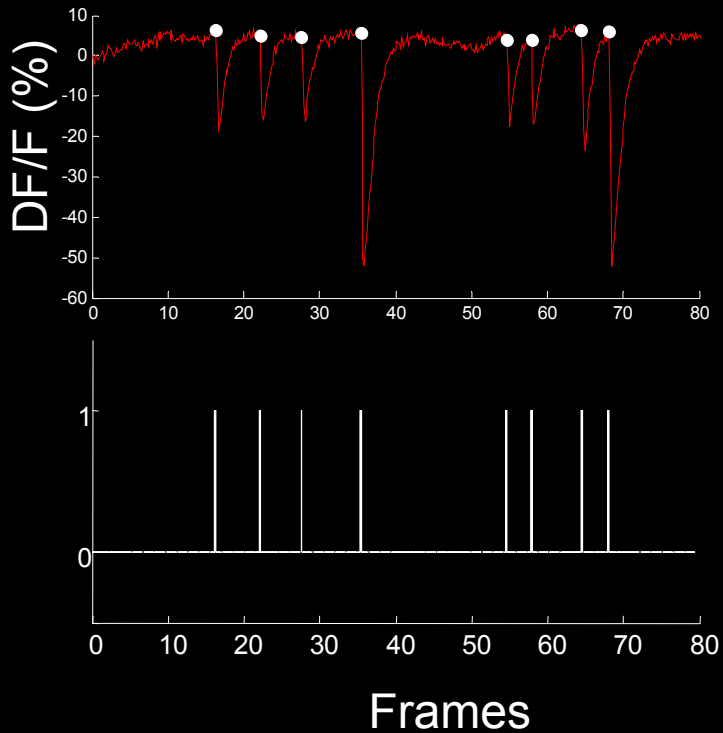
- Синапсы - динамические самоформирующиеся молекулярные модули, обеспечивающие быструю передачу информации в нервной системе
- Ионные каналы ключевые белки, обеспечивающие трансформацию действия химических молекул, механических и др. воздействий в электрические сигналы
- формирование и пластичность нервной сети
- память
- патологии (каналопатии)

Plasticity of synaptic channels

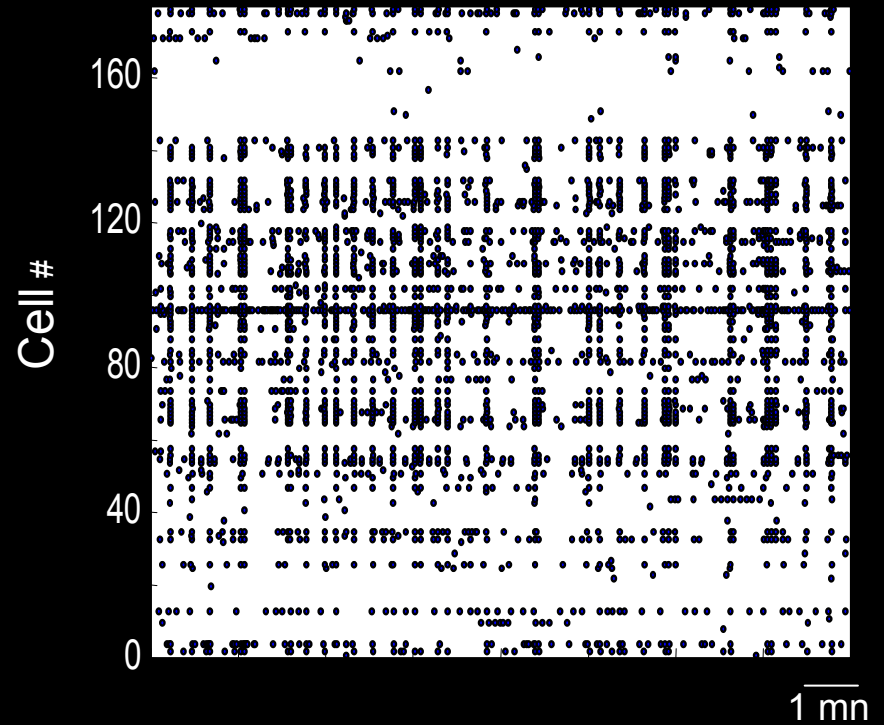


Online analysis: event detection

Event detection

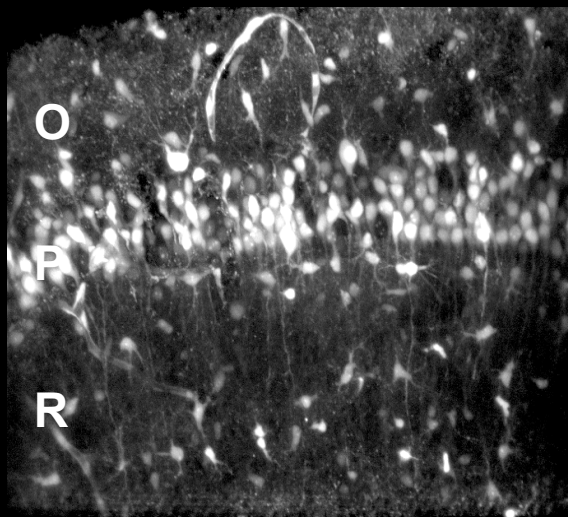


Rasterplot of network activity

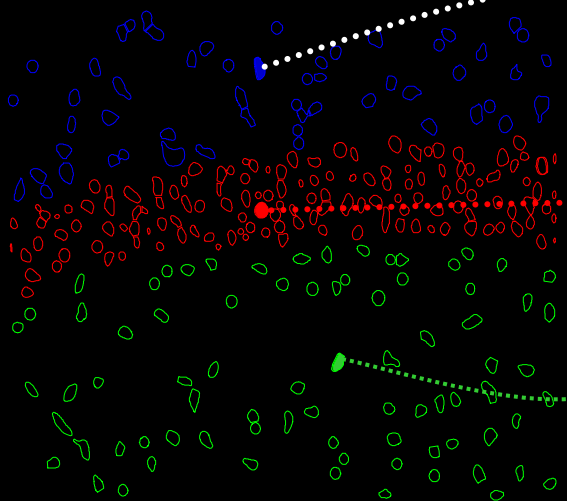


Detecting calcium signal from single neurons

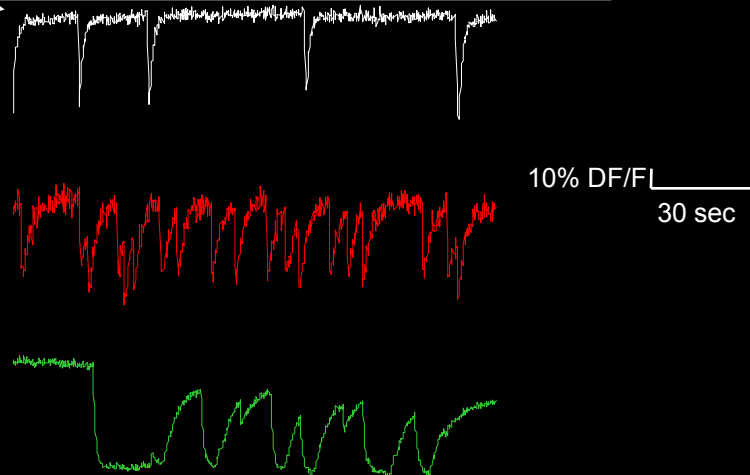
Fluorescent image



Detected contours from the movie

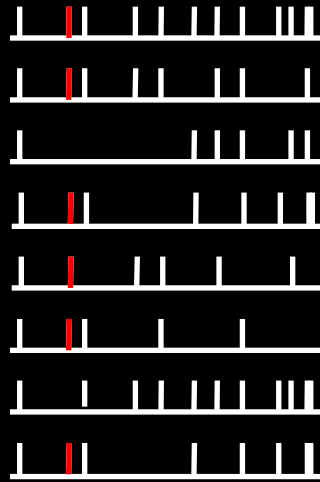
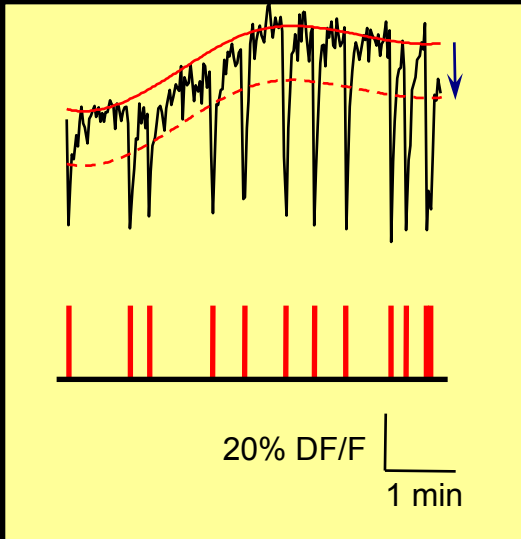


Fluorescence traces versus time

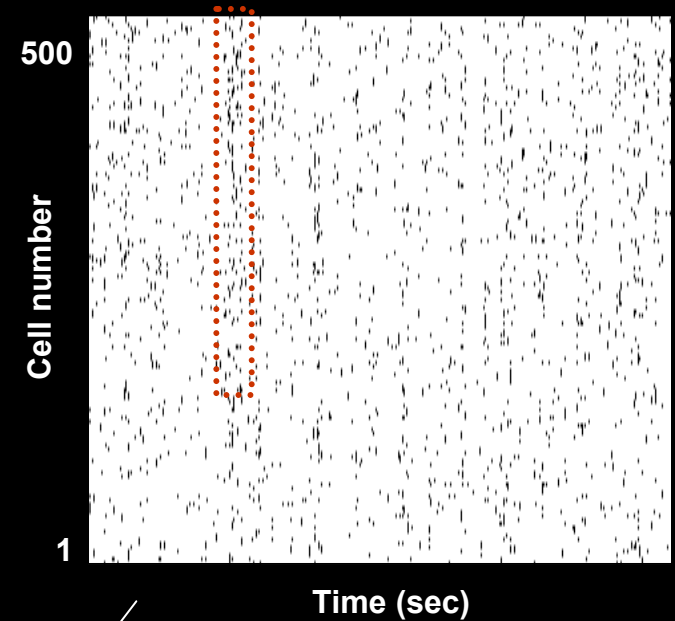


Analysis of the network activity

Signal detection



Rasterplots of the activity



Reconstruction of **network** activity

На память:

- Синапсы - динамические самоформирующиеся молекулярные модули, обеспечивающие быструю передачу информации в нервной системе

- Ионные каналы ключевые белки, обеспечивающие трансформацию действия химических молекул, механических и др. воздействий в электрические сигналы

- How chemical molecules activates channels?

- How synaptic activation leads to "intelligent" operation of brain?

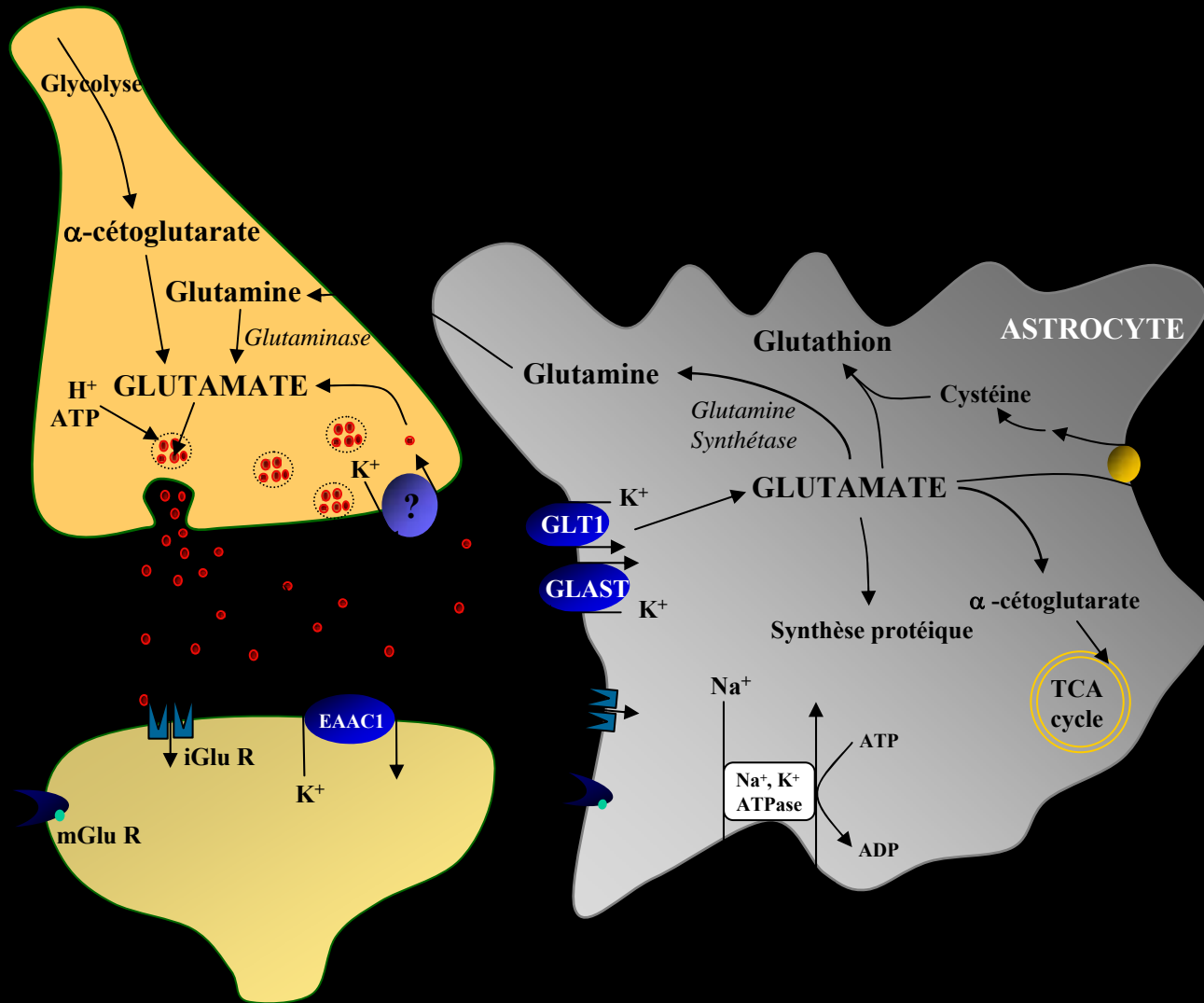
Molecules activating receptor-operated channels

Excitatory - Cation-selective (Na⁺, K⁺):

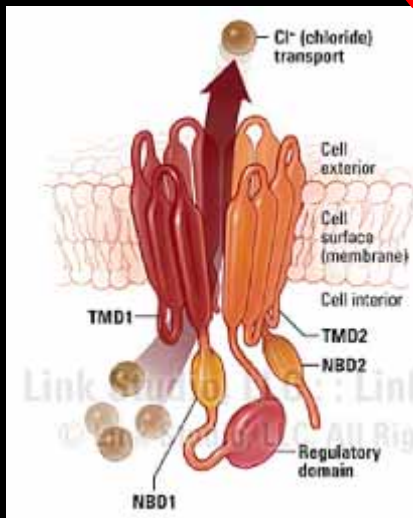
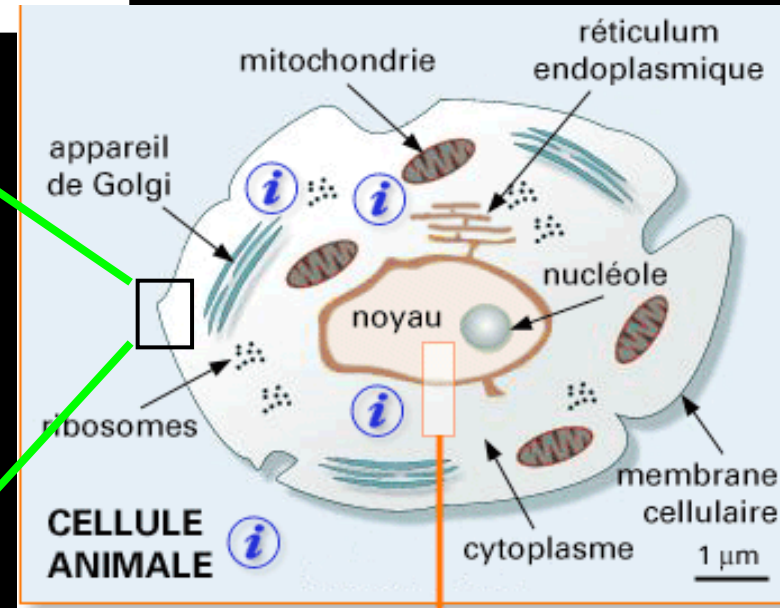
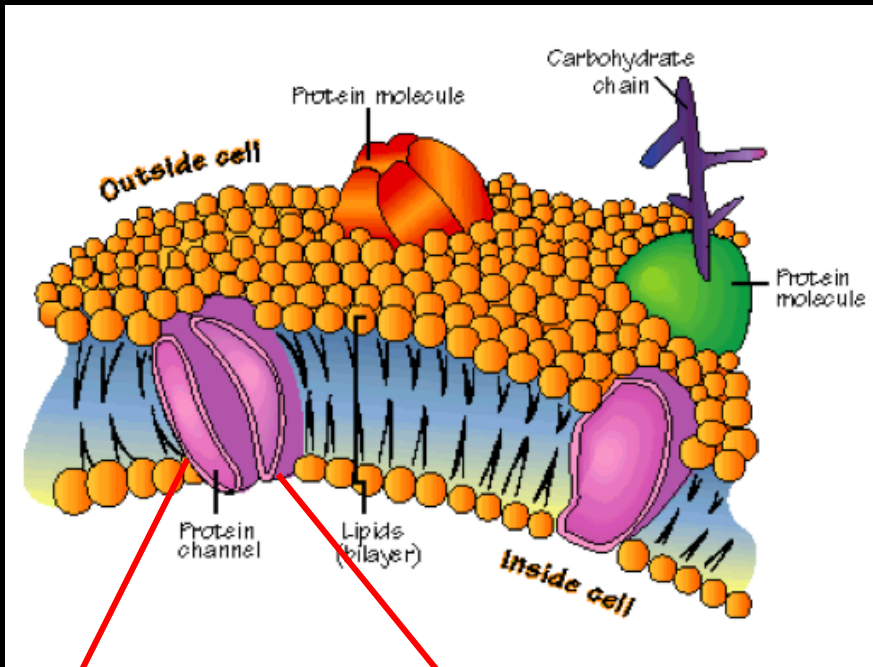
- main neurotransmitter in CNS: **Glutamate**
- in neuro-muscular junction: **Acetylcholine**

Inhibitory-Anion-selective (Cl⁻):

- main neurotransmitter in brain: **GABA**
- in spinal cord: **glycine**

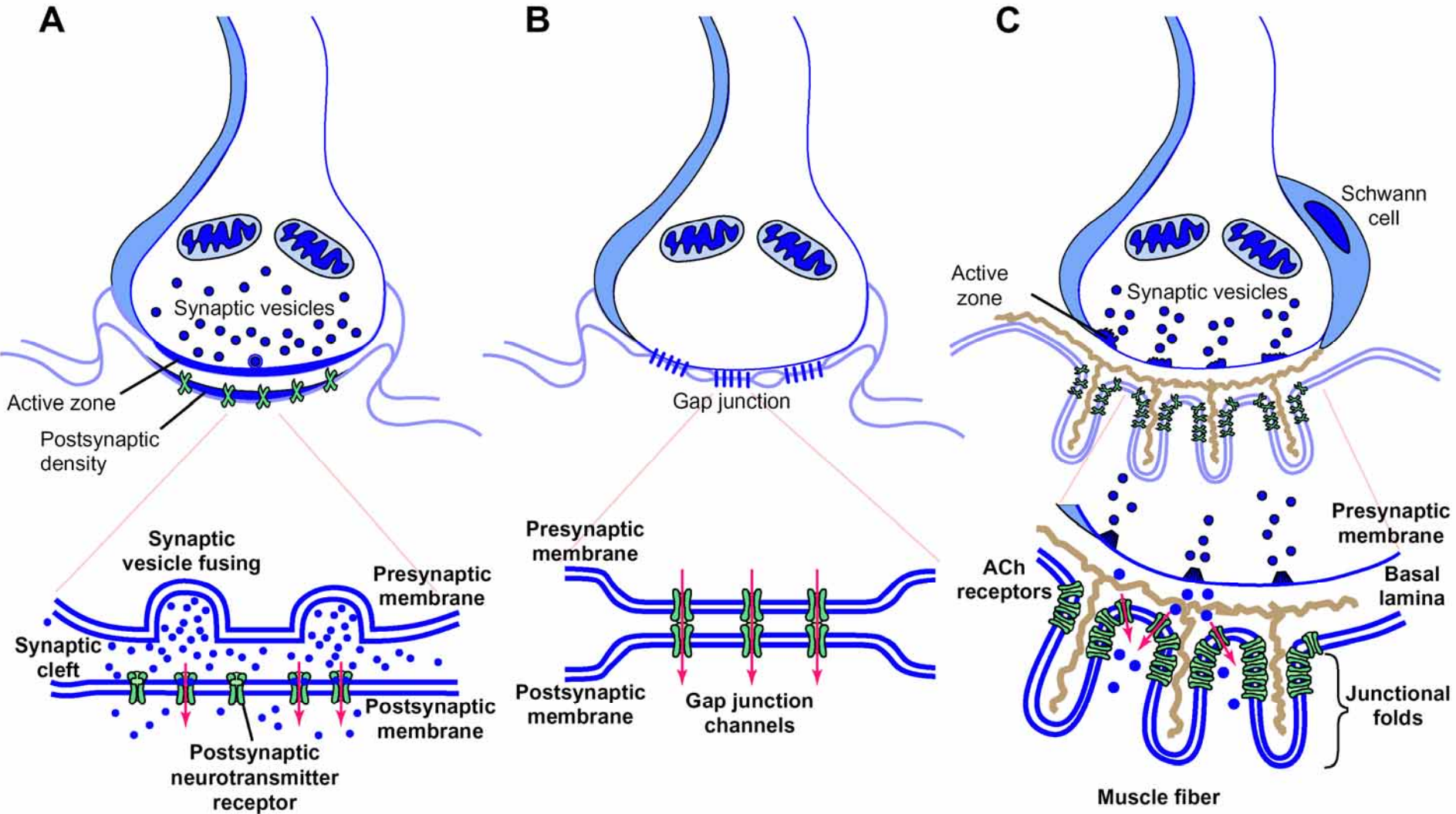


Membranes and Channels

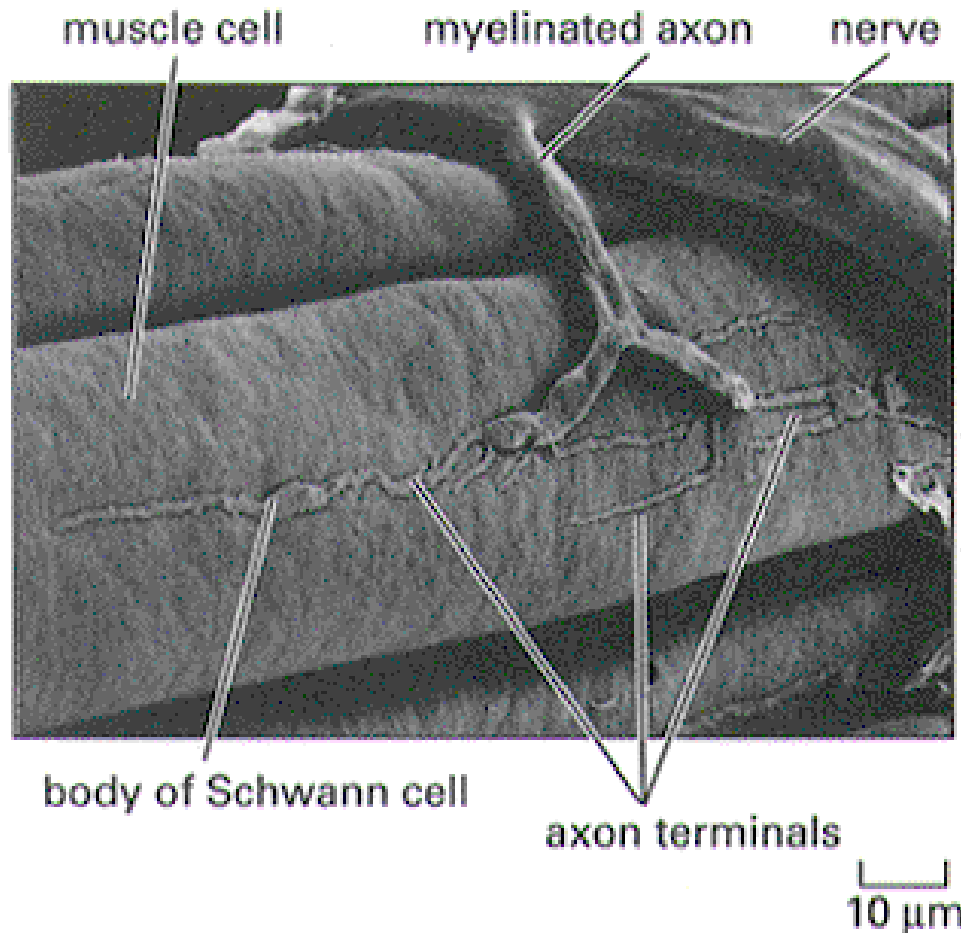


Ion channels mediate intracellular communication by converting the voltage, chemical or mechanical signals into ion fluxes

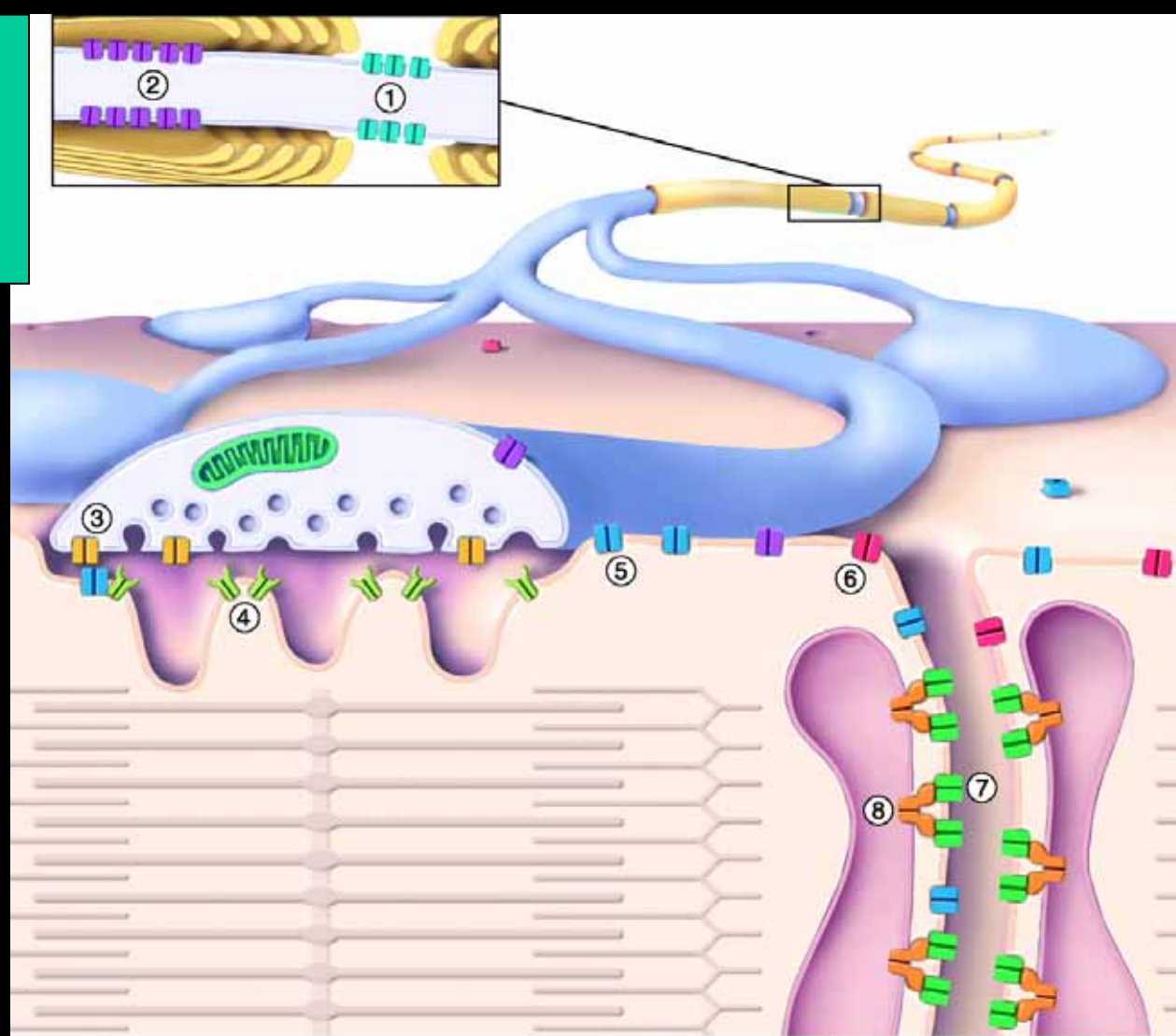
Interneuronal and neuromuscular synapses











Ion channel - protein interactions in neuromuscular synapses



Ion channels of end-plate



-  ① Nerve voltage-gated sodium channel
-  ② KCNA voltage-gated potassium channel
-  ③ Nerve voltage-gated calcium channel
-  ④ Nicotinic acetylcholine receptor

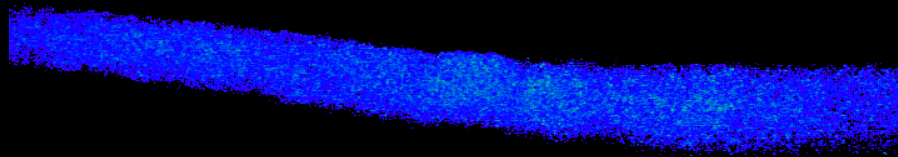
-  ⑤ Skeletal muscle voltage-gated sodium channel
-  ⑥ Skeletal muscle voltage-gated chloride channel
-  ⑦ Transverse tubule voltage-gated calcium channel
-  ⑧ Sarcoplasmic reticulum calcium release channel

Ca²⁺ in muscle at application of 3μM ACh

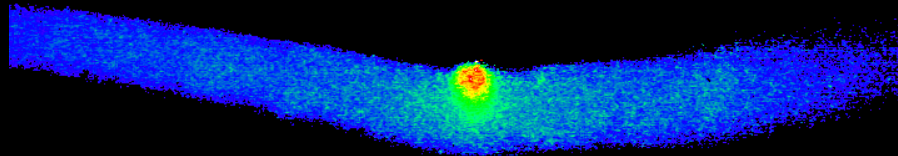
Before acetylcholine

Fura-2

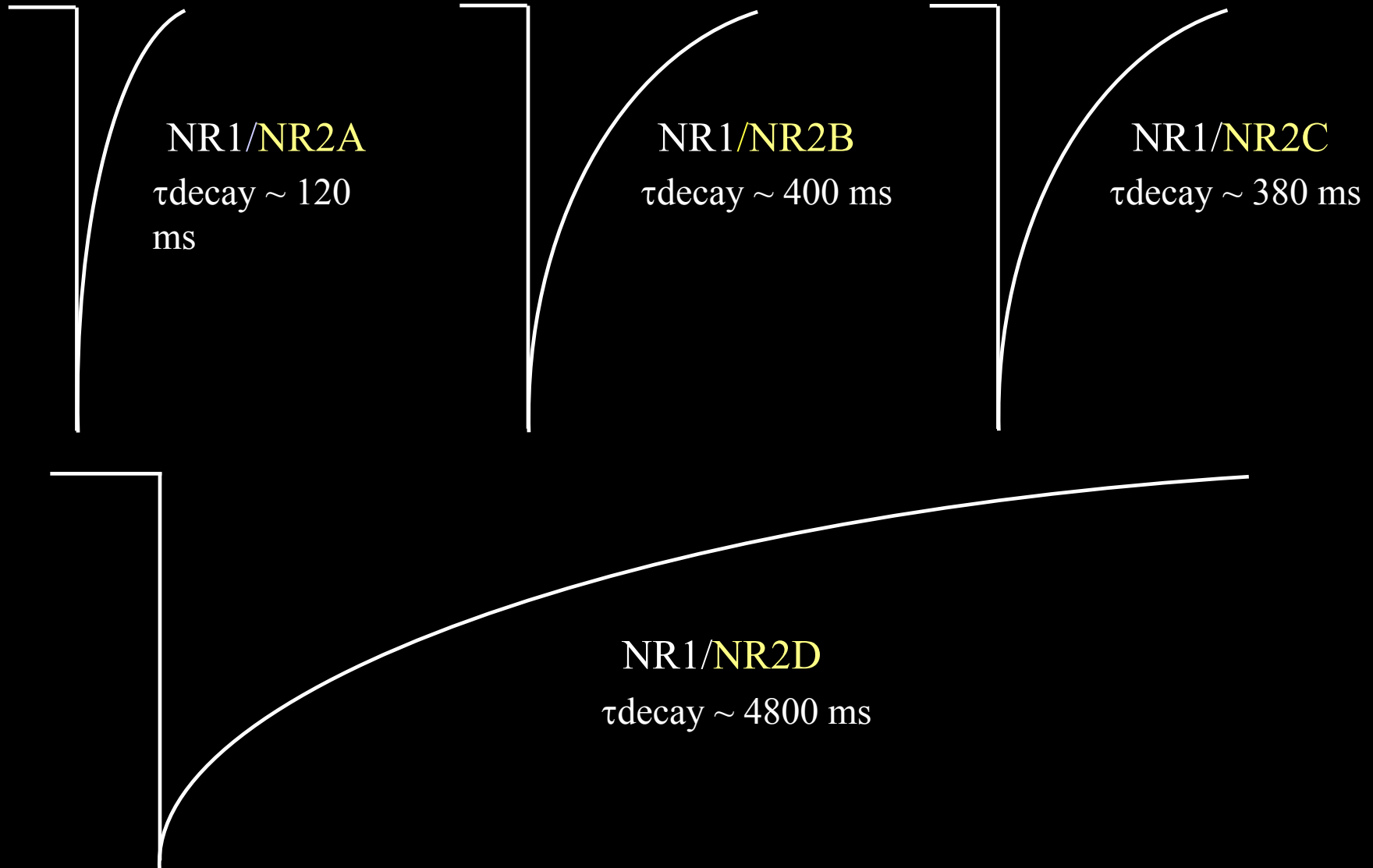
Ca-sensitive dye



After acetylcholine



Deactivation kinetics of NMDARs



We will discuss today:

➤ Ionic channels:

- general principles of organization;**
- how to record channels;**
- main functional parameters**

➤ Neuronal plasticity:

- Long-term potentiation;**
- Long-term inhibition;**
- Short-term modulation.**

➤ Actin cytoskeleton and Ca^{2+} in formation and plasticity of spines



Tim Bliss, Per Andersen and Terje Lomo at The Royal Society in London last May during the meeting “Long-term potentiation: enhancing neuroscience for 30 years”. Bliss and Lomo discovered LTP while working in Andersen’s laboratory in Oslo. Photo courtesy of J. Lisman.

LONG-LASTING POTENTIATION
OF SYNAPTIC TRANSMISSION IN THE DENTATE AREA
OF THE ANAESTHETIZED RABBIT FOLLOWING
STIMULATION OF THE PERFORANT PATH

BY T. V. P. BLISS AND T. LØMO

*From the National Institute for Medical Research, Mill Hill,
London NW7 1AA and the Institute of Neurophysiology,
University of Oslo, Norway*

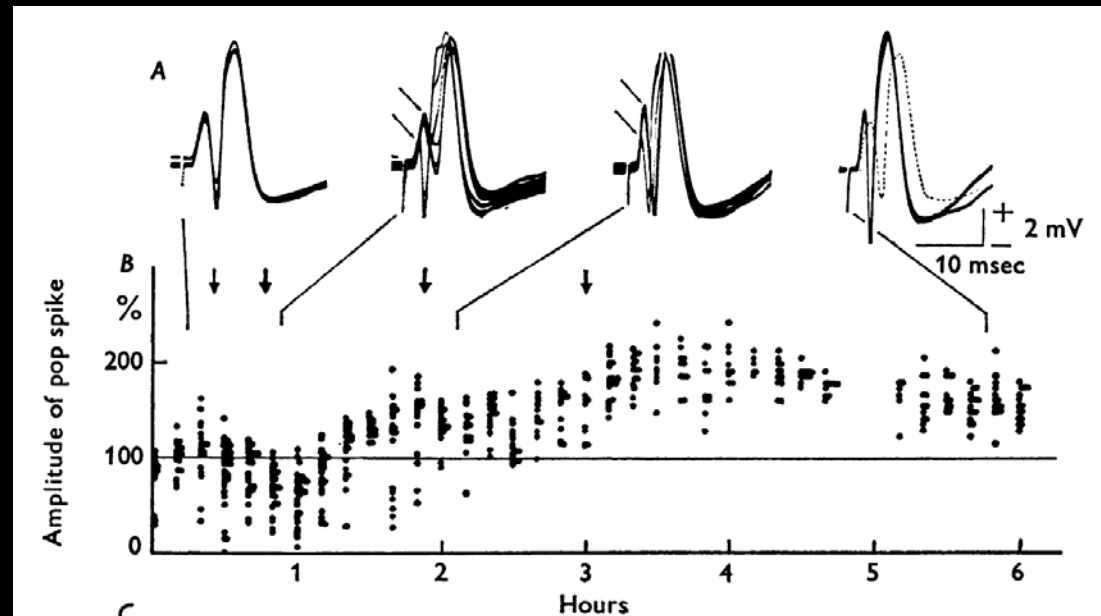
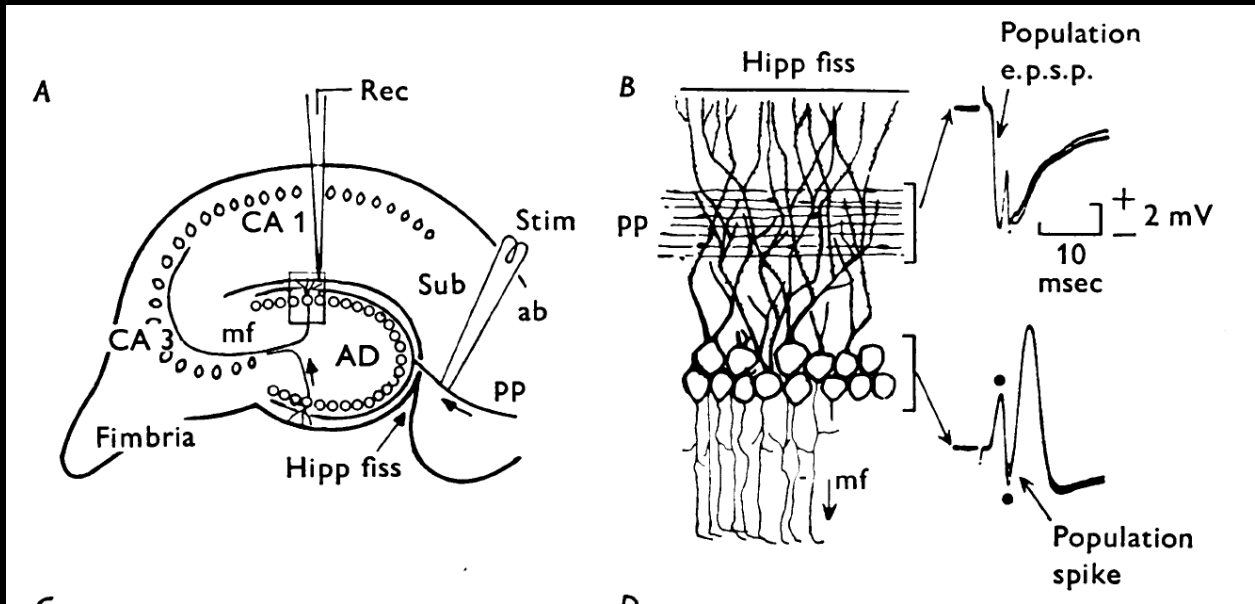
(Received 12 February 1973)

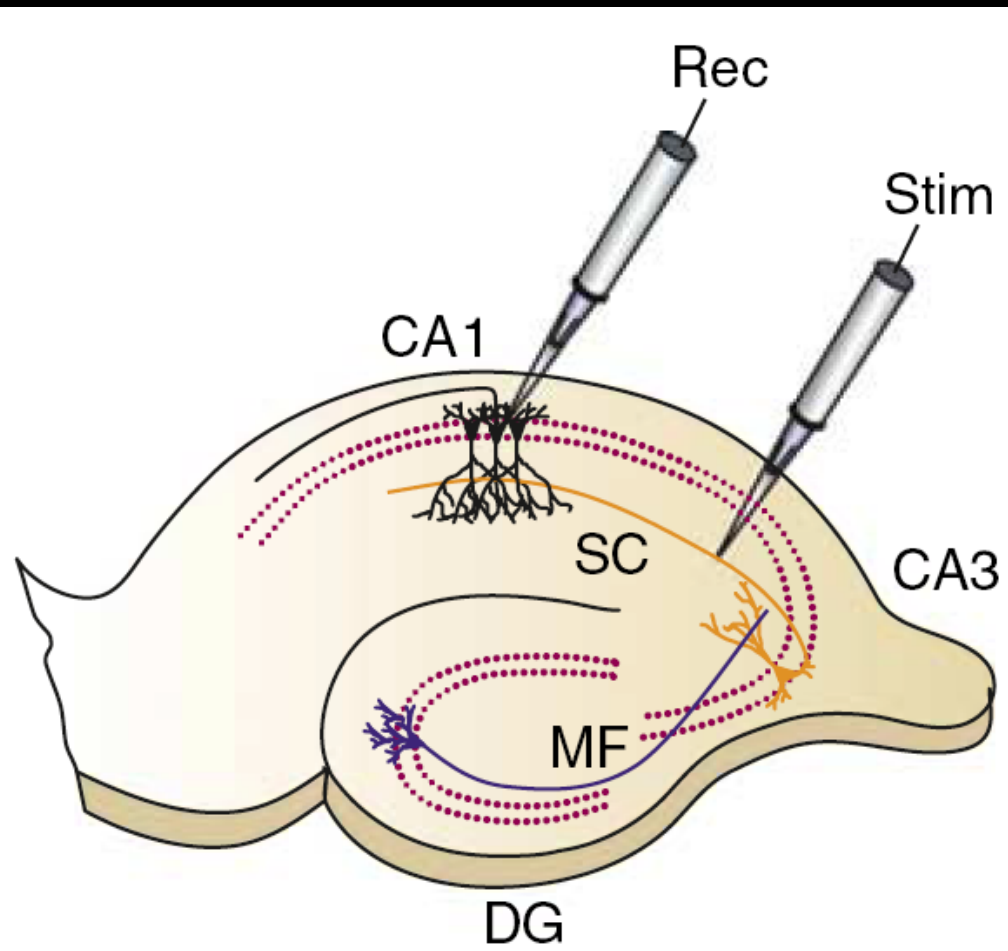
SUMMARY

1. The after-effects of repetitive stimulation of the perforant path fibres to the dentate area of the hippocampal formation have been examined with extracellular micro-electrodes in rabbits anaesthetized with urethane.

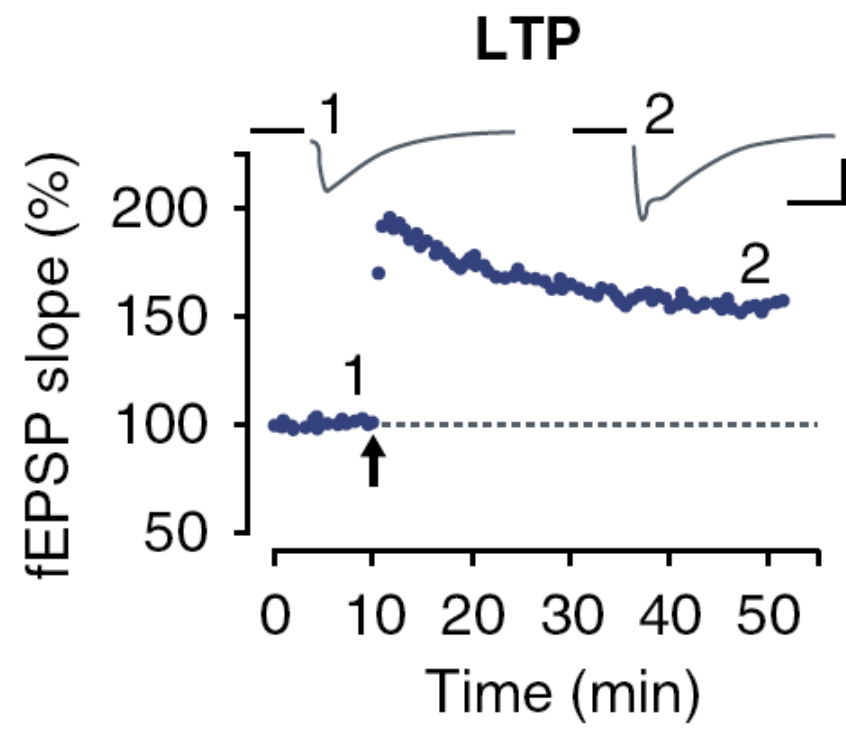
2. In fifteen out of eighteen rabbits the population response recorded from granule cells in the dentate area to single perforant path volleys was potentiated for periods ranging from 30 min to 10 hr after one or more conditioning trains at 10–20/sec for 10–15 sec, or 100/sec for 3–4 sec.

Discovery of Long-Term Potentiation (LTP)

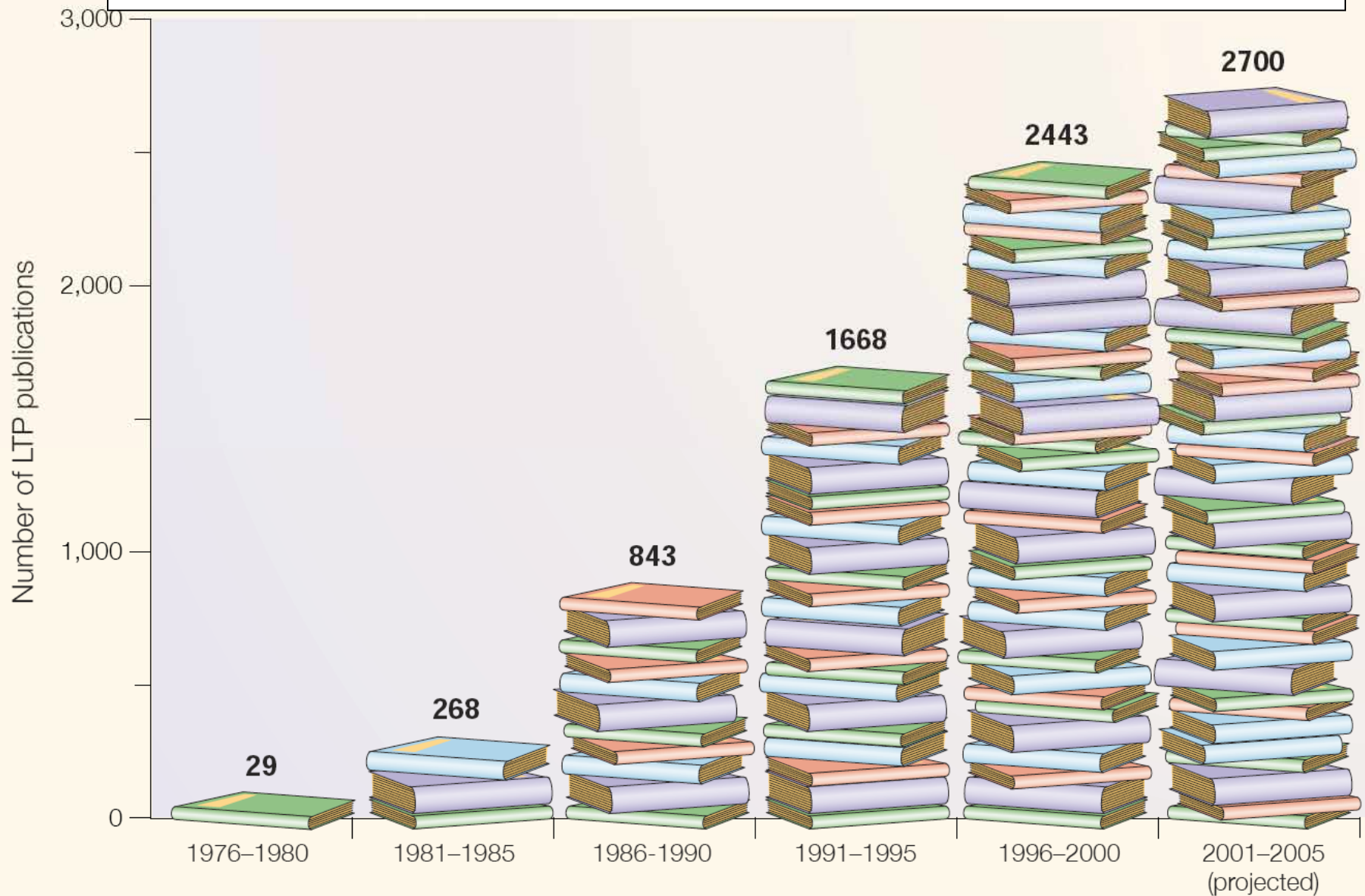




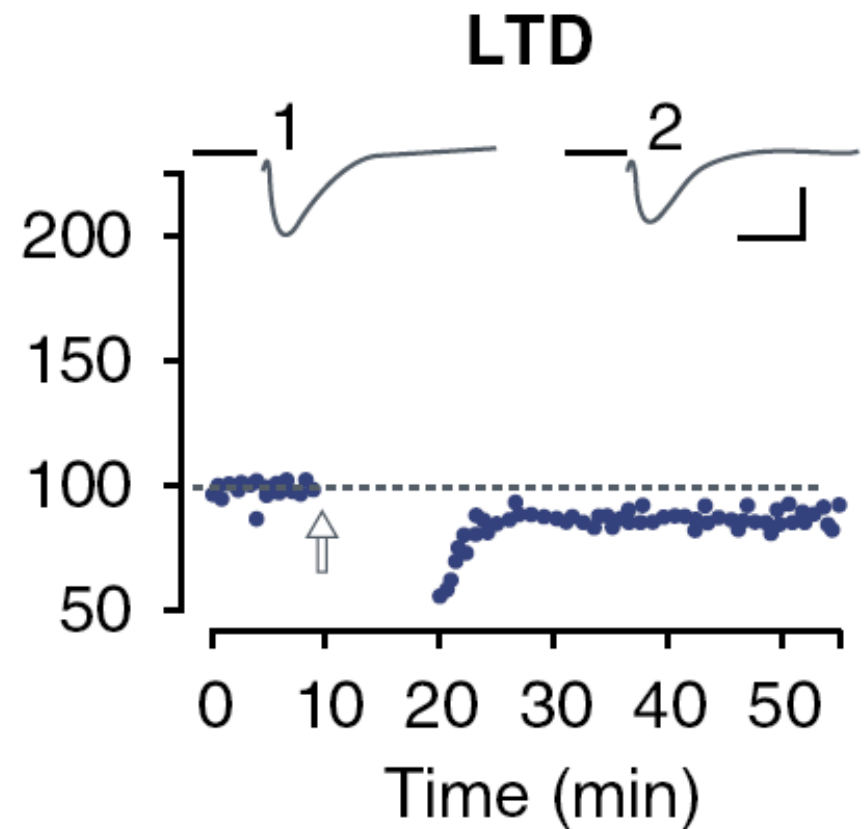
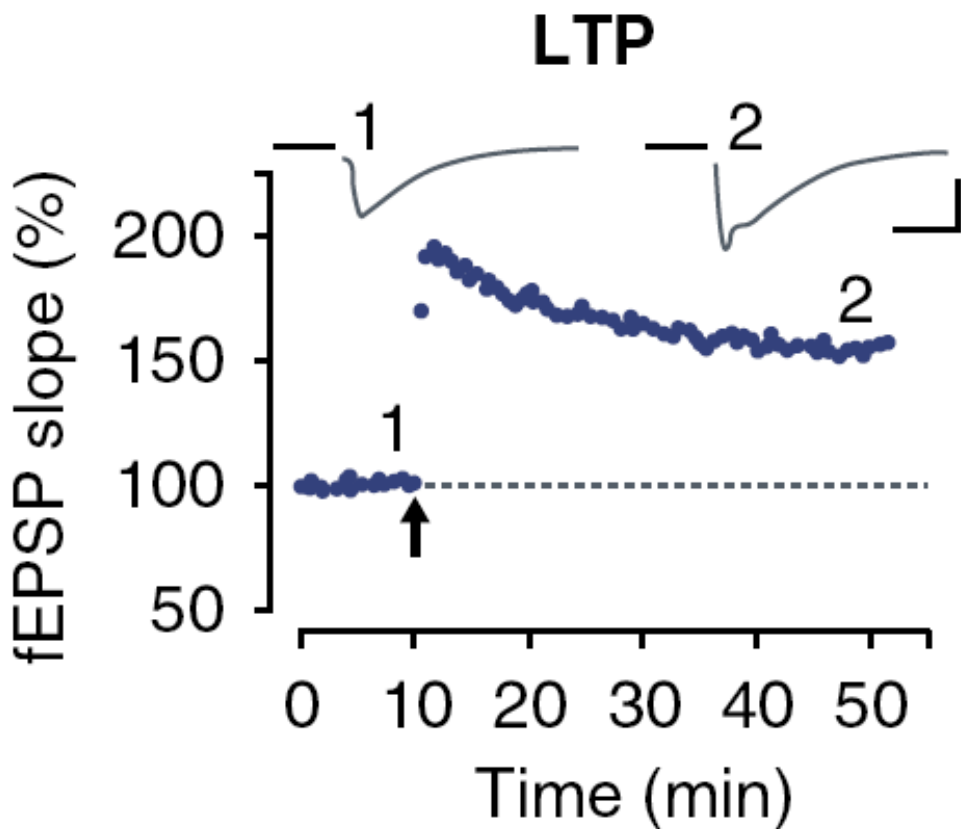
a



Number of LTP publications



a



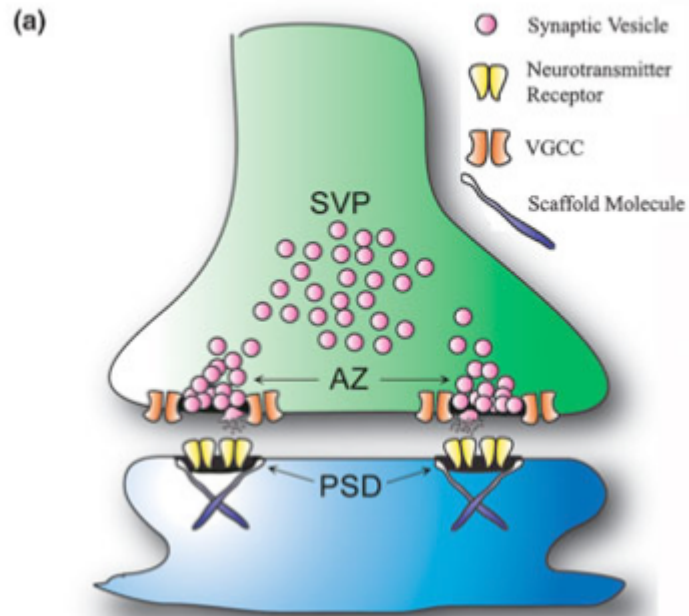
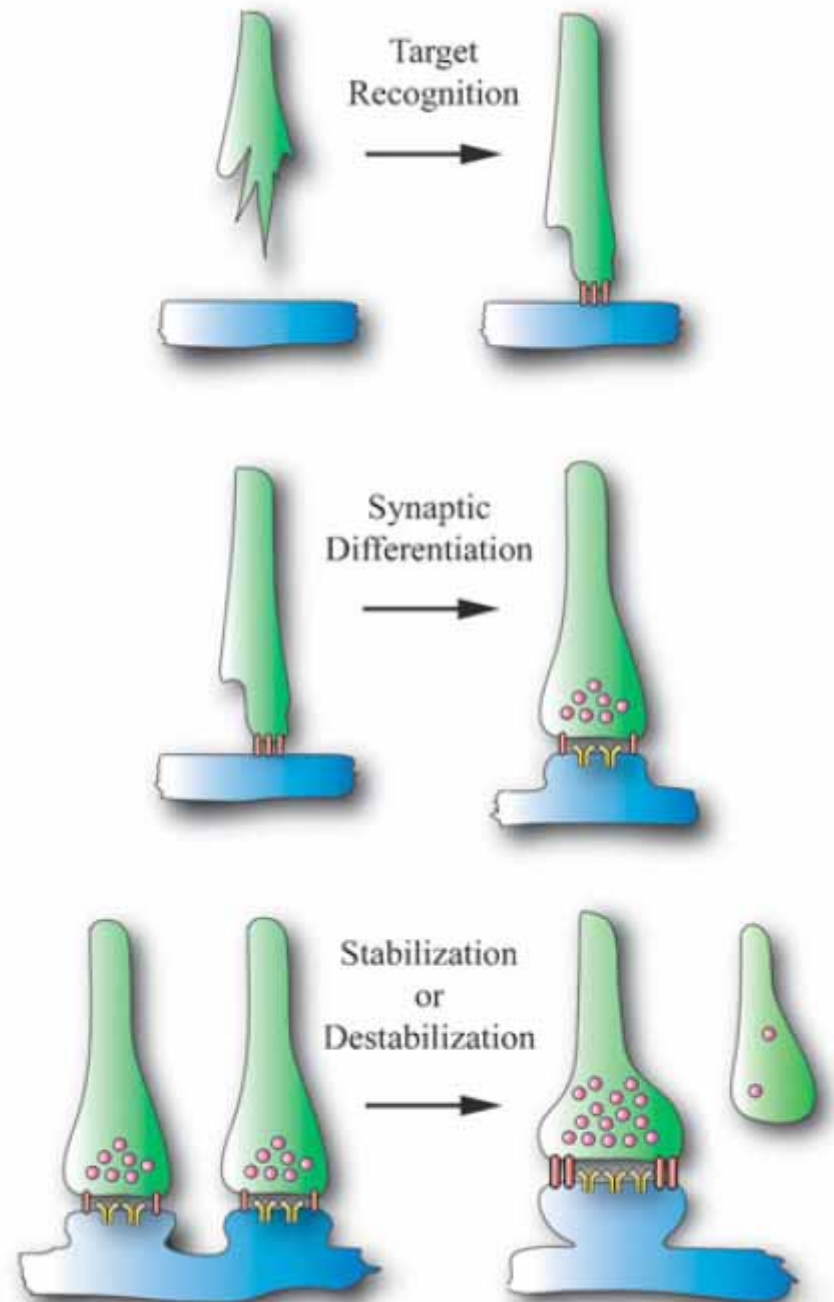


Fig. 1 (a) Anatomy of a synapse. The presynaptic terminal contains multiple active zones (AZ) that contain densely packed synaptic vesicles and are flanked by VGCCs. The active zone is the site of neurotransmitter release, depicted here by the release of a neurotransmitter into the synaptic cleft. In addition to synaptic vesicles clustering at active zones, several synaptic vesicle pools (SVP) accumulate elsewhere in the presynaptic terminal during presynaptic differentiation. The number and type of synaptic vesicle pools depends on the type of synapse. Across the synaptic cleft, the postsynaptic apparatus contains postsynaptic densities (PSD) precisely apposed to the presynaptic active zones. Postsynaptic densities contain clustered neurotransmitter receptors stabilized by synaptic scaffolding molecules, such as PSD-95 and gephyrin. (b) Three steps of synapse formation (see the text for details).

(b)



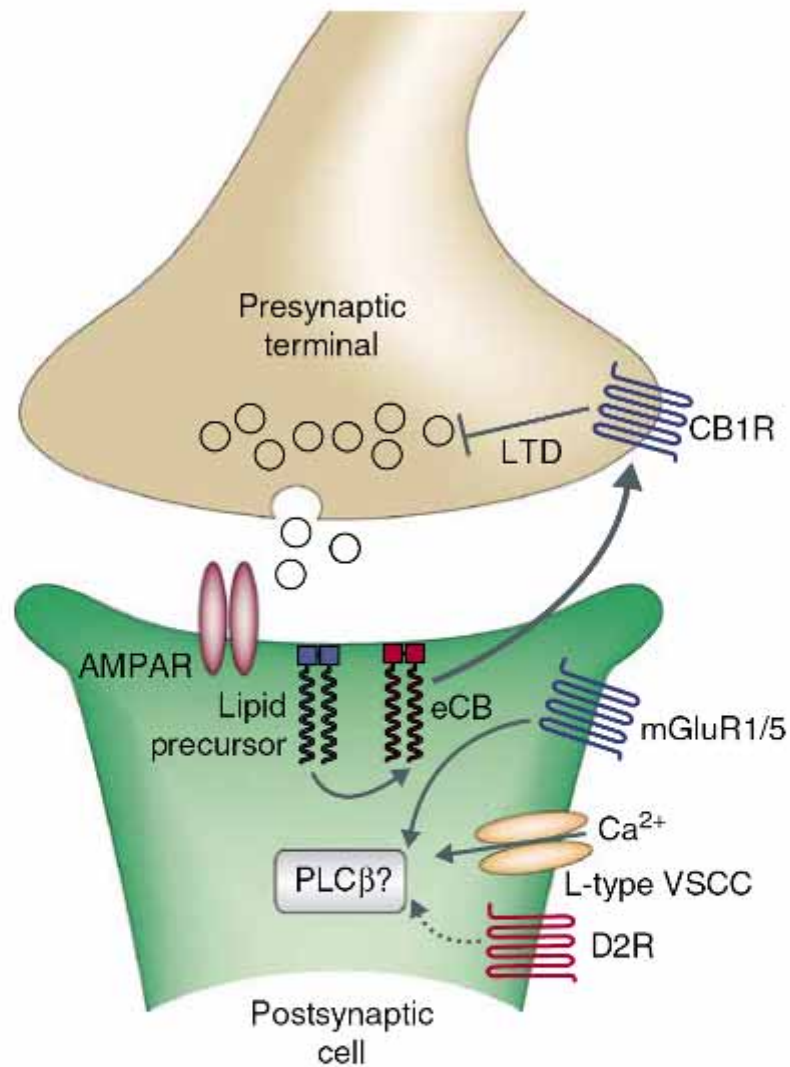


Figure 3 Model of eCB-LTD at excitatory synapses onto medium spiny neurons in the striatum. Activation of postsynaptic type I mGluRs, along with coincident subthreshold depolarization of medium spiny neurons sufficient to activate L-type voltage-sensitive calcium channels (VSCCs), stimulates the postsynaptic synthesis and release of endocannabinoids. What enzyme generates the endocannabinoids is not known; one candidate is PLC β . Co-activation of postsynaptic dopamine D2-type receptors (D2R) enhances endocannabinoid production and the subsequent LTD.

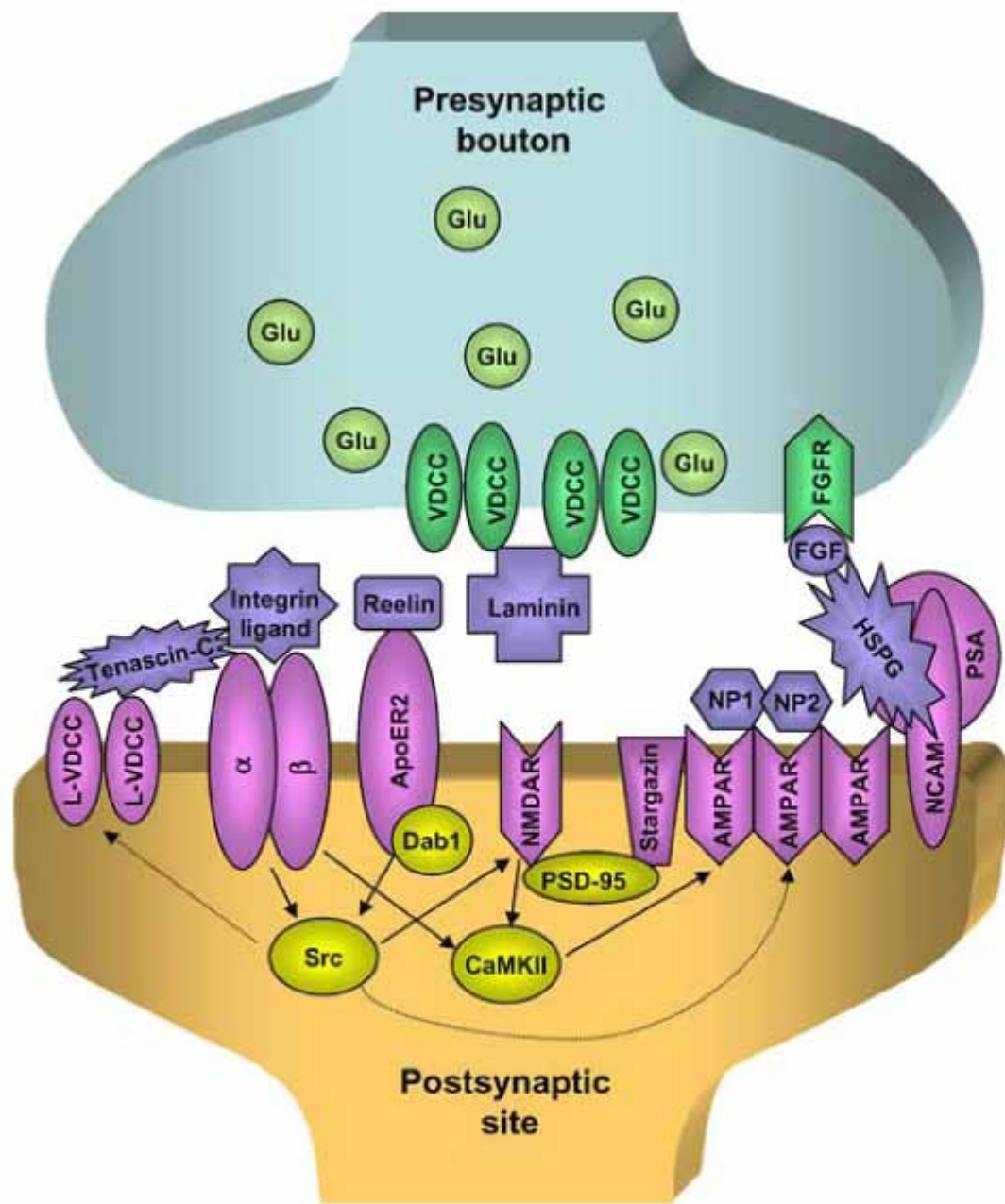
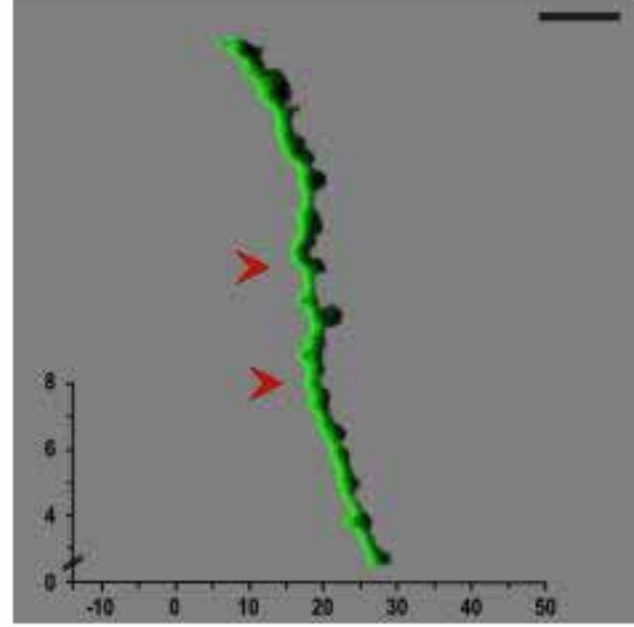
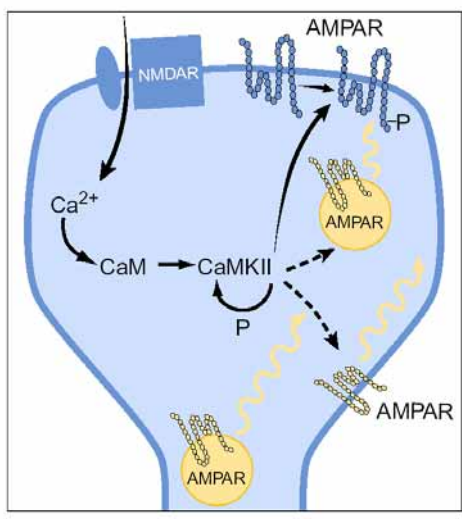
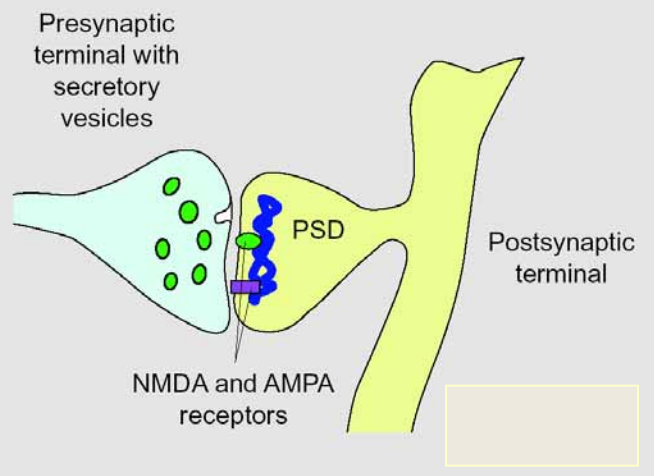
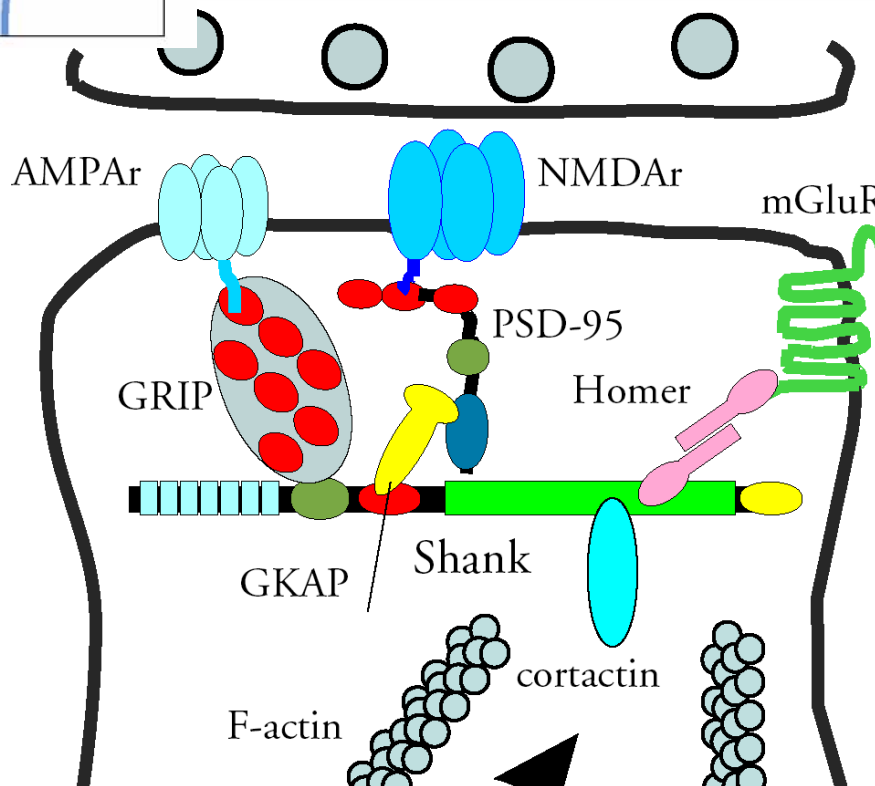


Fig. 1 Summary of mechanisms by which ECM molecules may shape synaptogenesis and synaptic plasticity. Neuronal pentraxins *NP1* and *NP2* interact with each other and form a scaffold in the extracellular

Ca²⁺-induced modulation

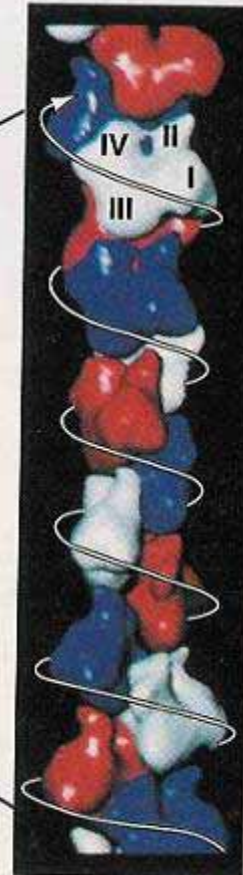
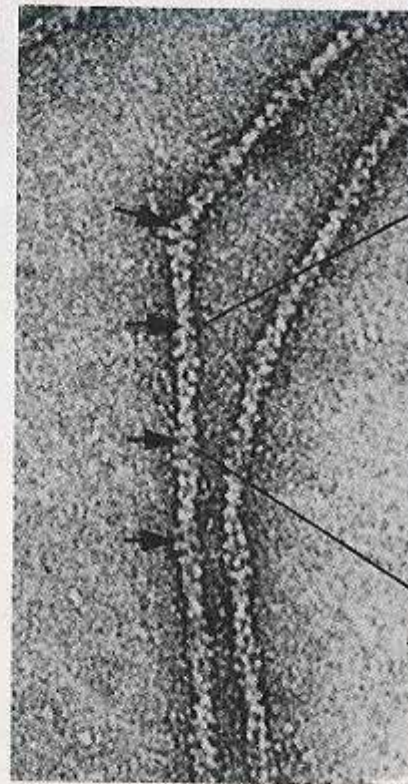
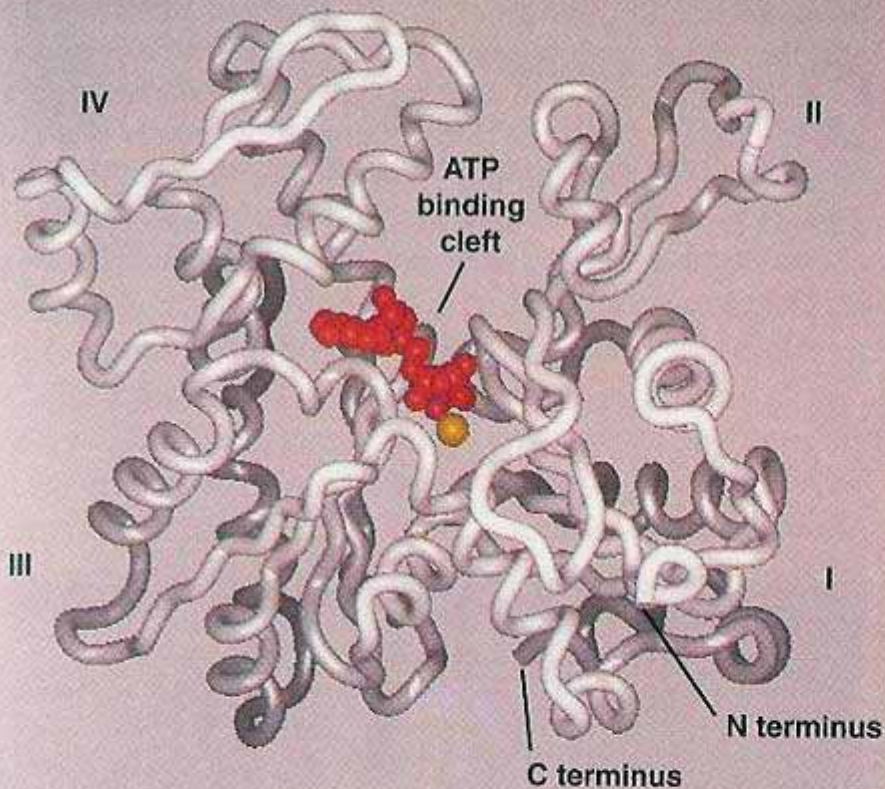


- Movement of spines
- Formation of specialized synaptic structures

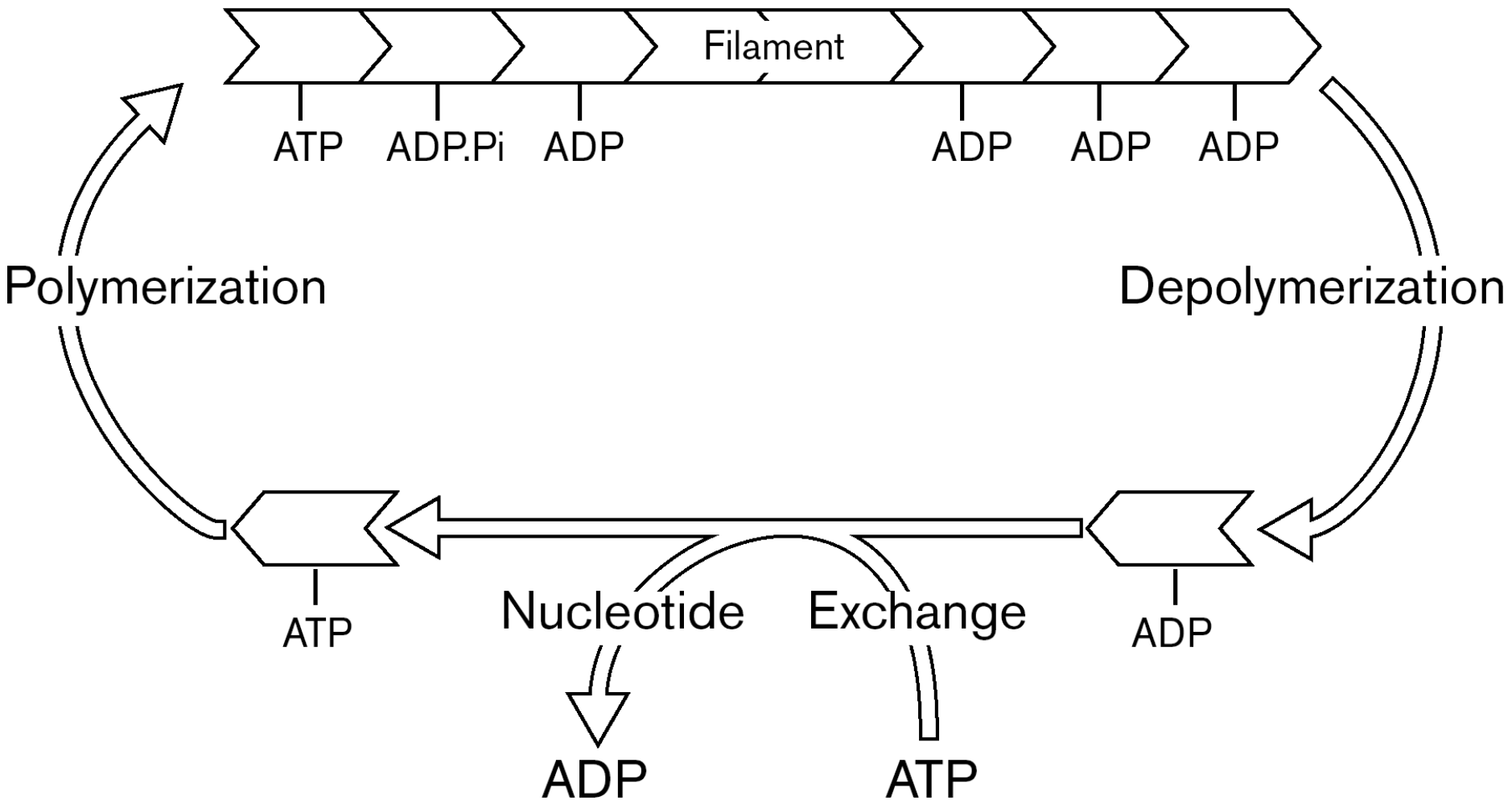


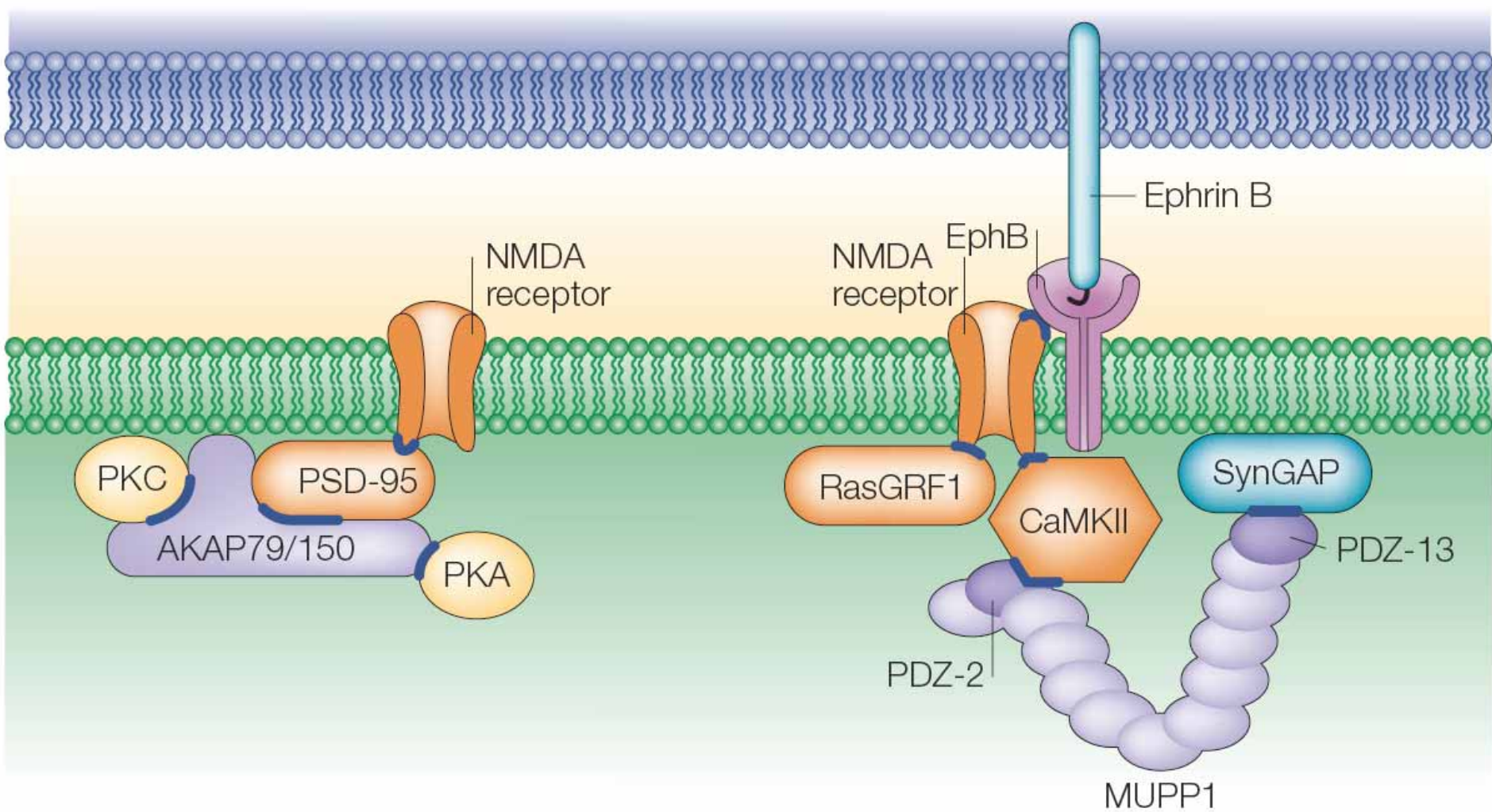
Actin

- The most abundant protein (10% in muscle cells & 1-5% in non-muscle)
- 375 amino acids protein
- 6 types of actin in mammals: 3 – α actins, β and γ . Neuronal is mainly β
- Exist in two main forms: G-actin- globular and F-actin – filaments
- Each actin contains MgATP or MgADP



Crystal structure of β actin

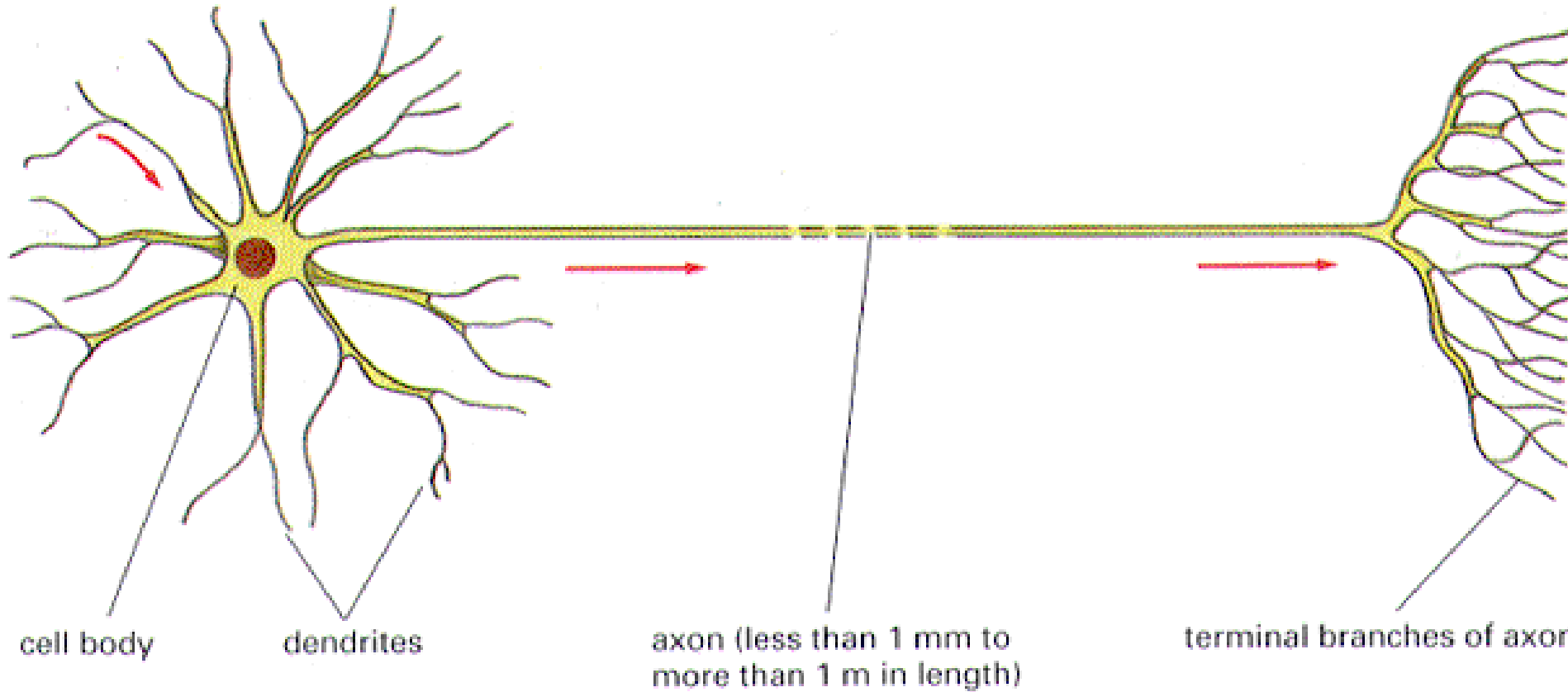




Neuron - key cell of nervous system

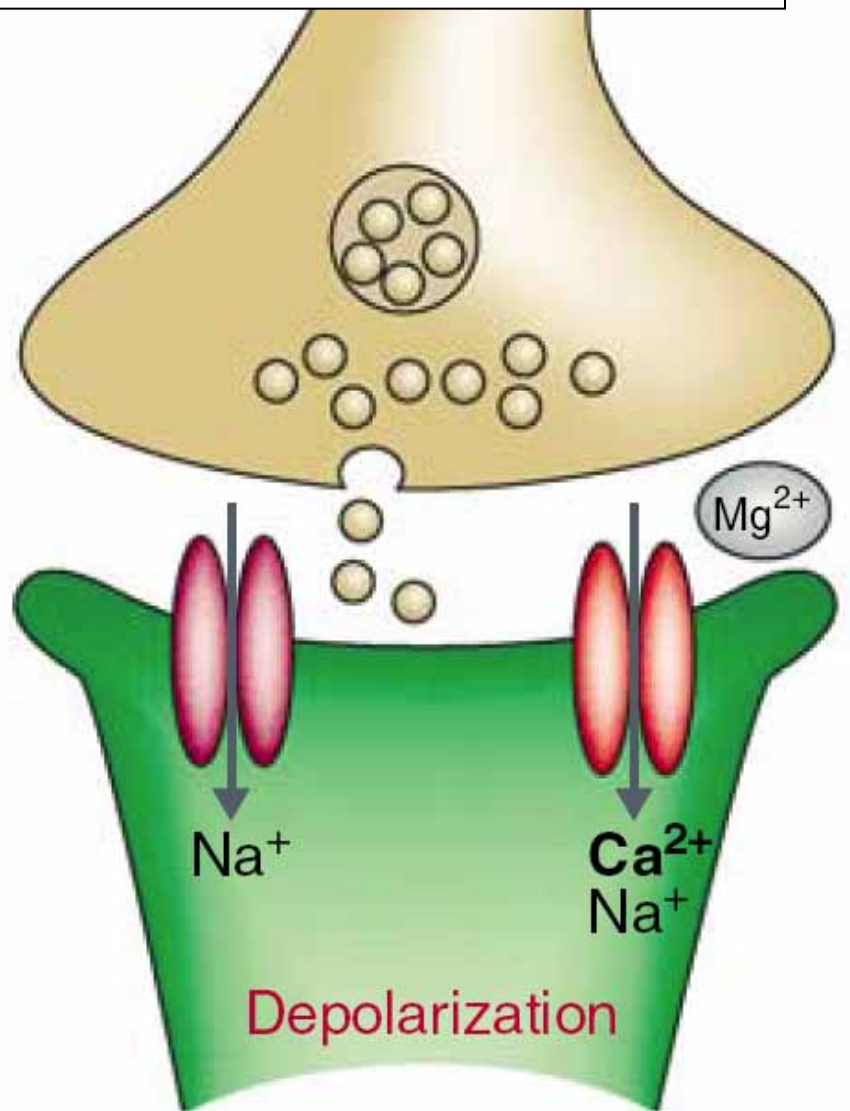
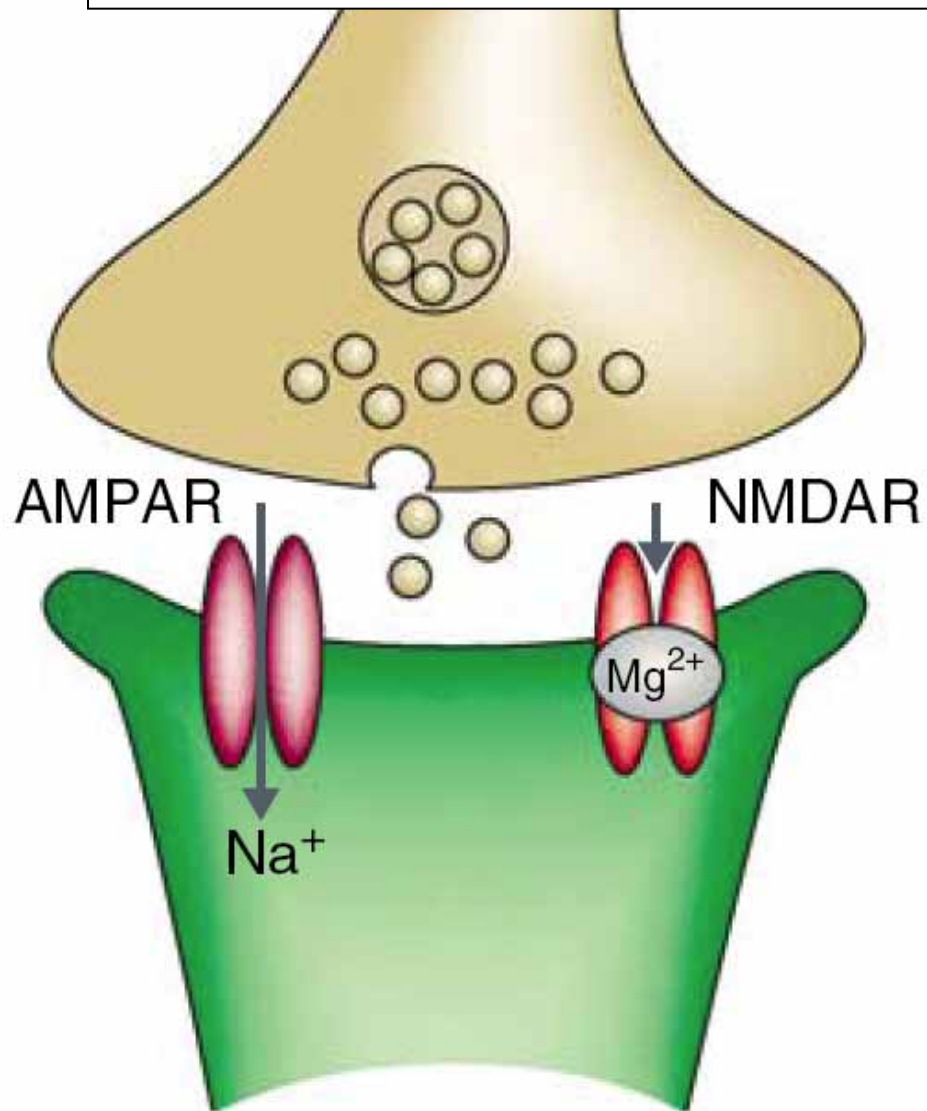
10^{11} neurons

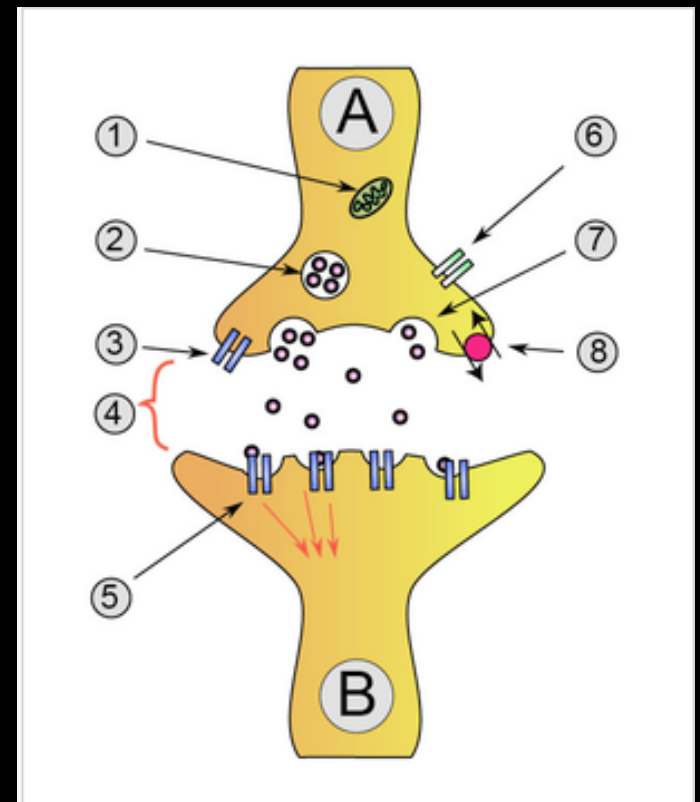
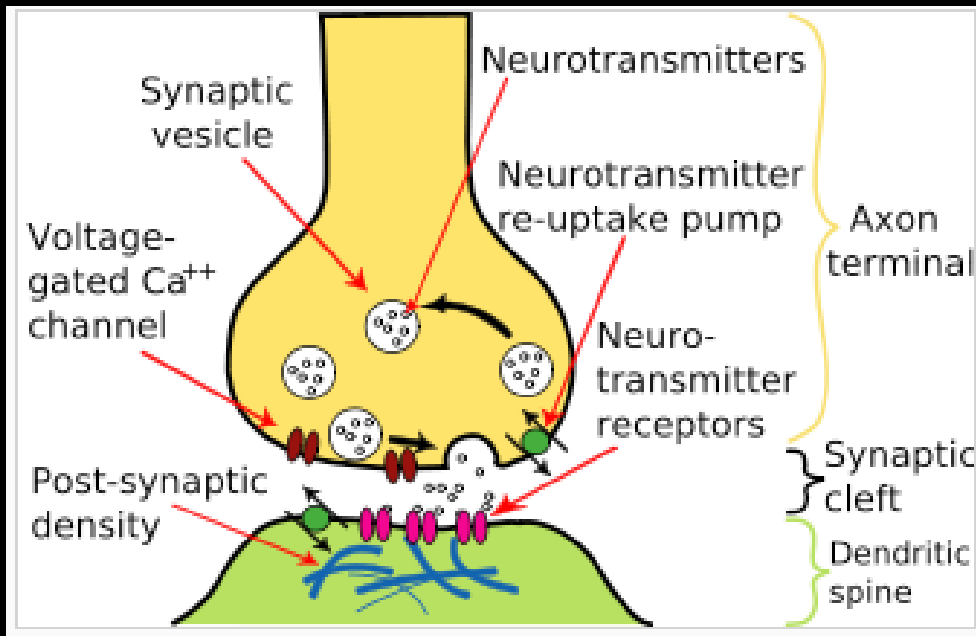
10^{15} synapses



Channels are selectively permeable

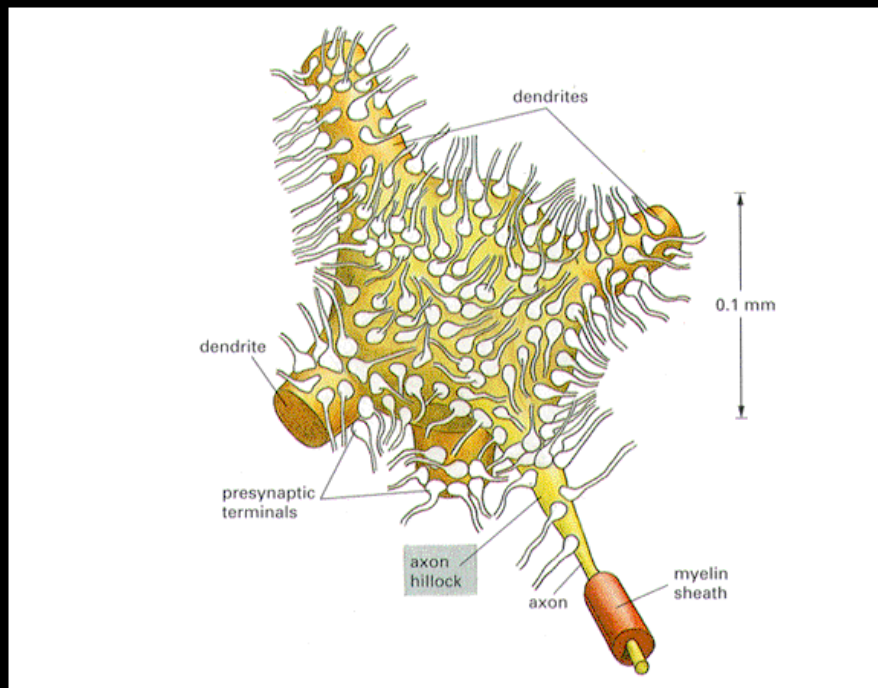
- ◆ Example: potassium channel
 - K^+ ion (1.33 Å) vs. Na^+ ion (0.95 Å)
 - ratio of permeabilities is 10,000
 - 10^8 ions/second



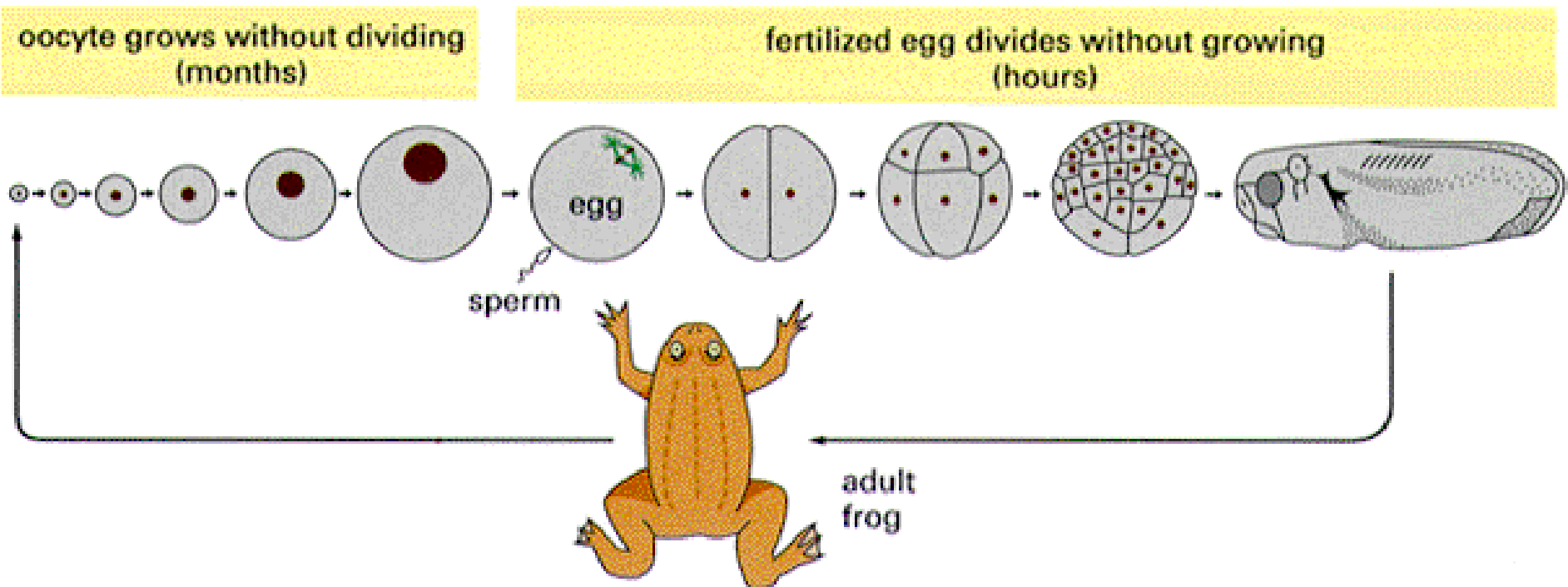


Neuron A (transmitting) to neuron B (receiving)

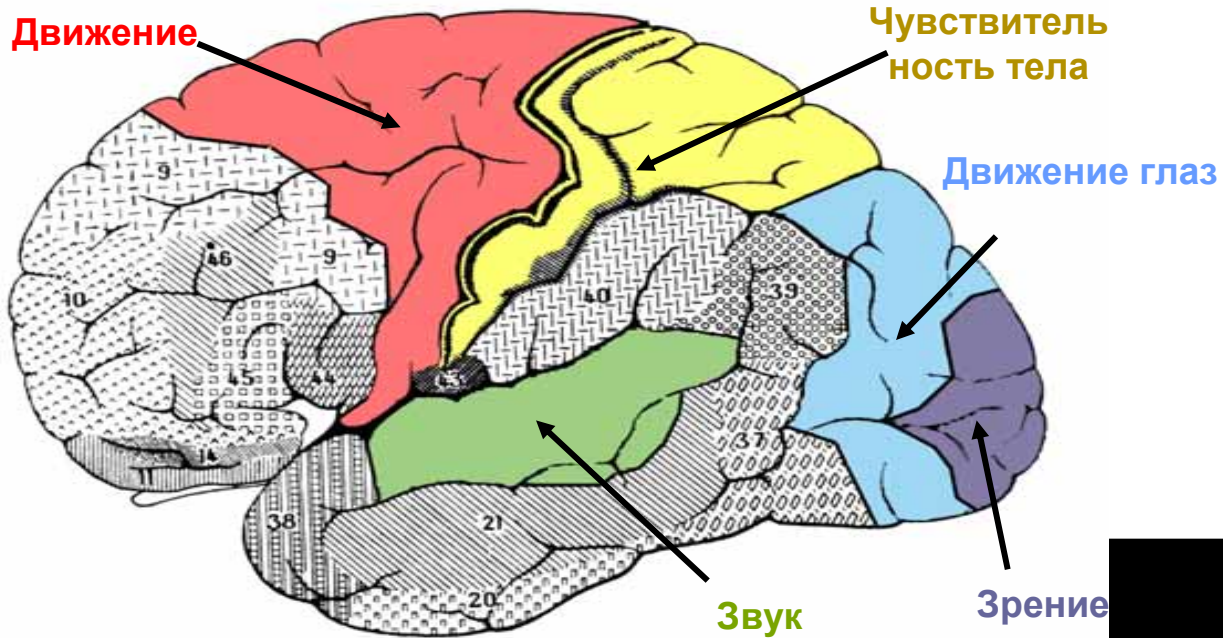
1. Mitochondria
2. synaptic vesicle with neurotransmitters
3. Autoreceptor
4. Synapse with neurotransmitter released (serotonin)
5. Postsynaptic receptors activated by neurotransmitter (induction of a postsynaptic potential)
6. Calcium channel
7. Exocytosis of a vesicle
8. Recaptured neurotransmitter

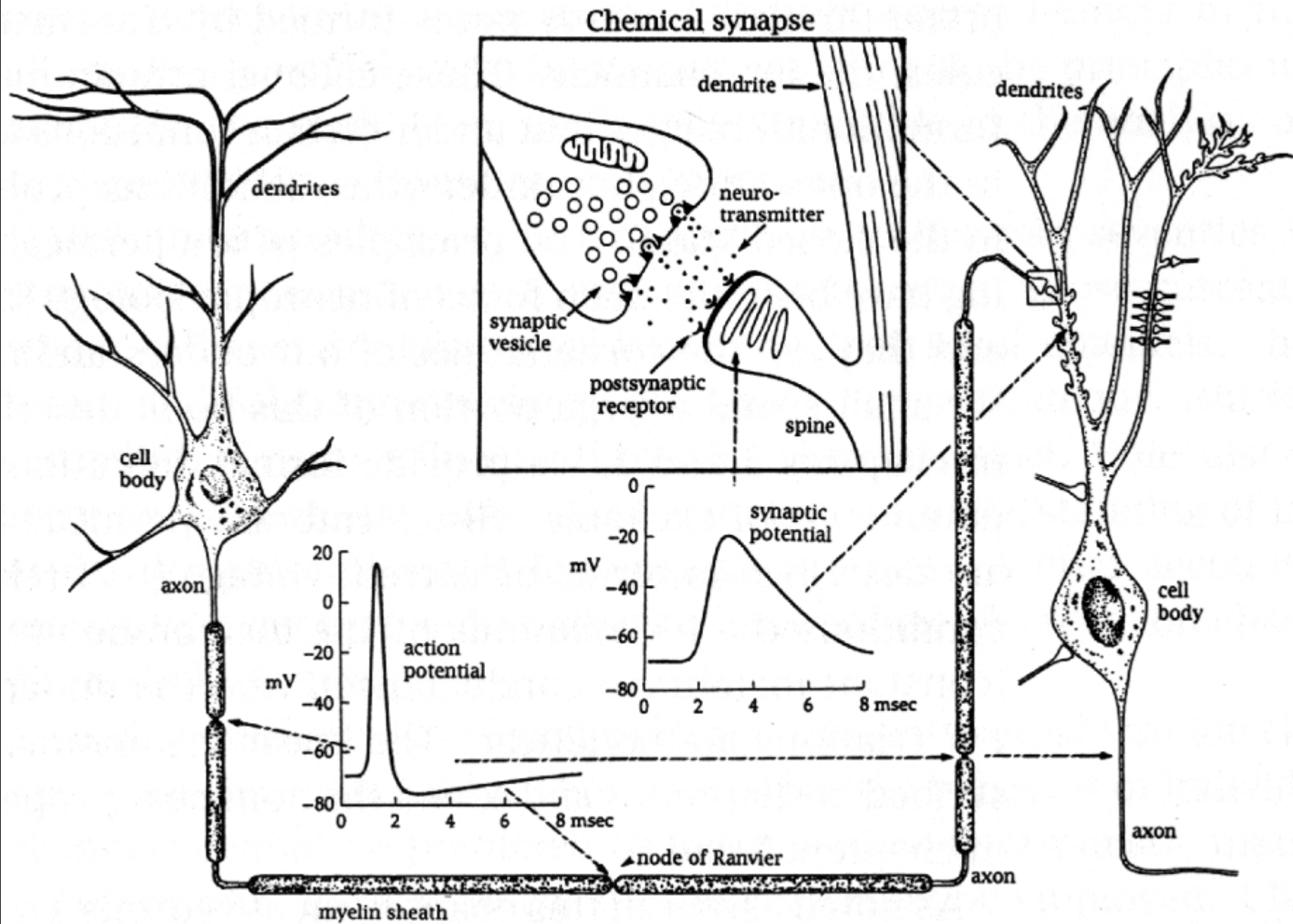


Main stages of development



Основные чувства и органы чувств





Эксперимент аспиранта Турпаева (1946), ставший отправной точкой для цикла работ по холинорецептору



Турпаев-1946

Сулема - HgCl_2
- дихлорид ртути

ждение свободных сульфгидрильных групп путем внесения цистеина полностью восстанавливает исчезнувший эффект (рис.13). Конечно, этой способностью не обладает испытанный нами цистин.

Уже этот опыт с достаточной ясностью показывает, что нервное воздействие, а также воздействие тех химических агентов, которые в качестве специфических продуктов обмена

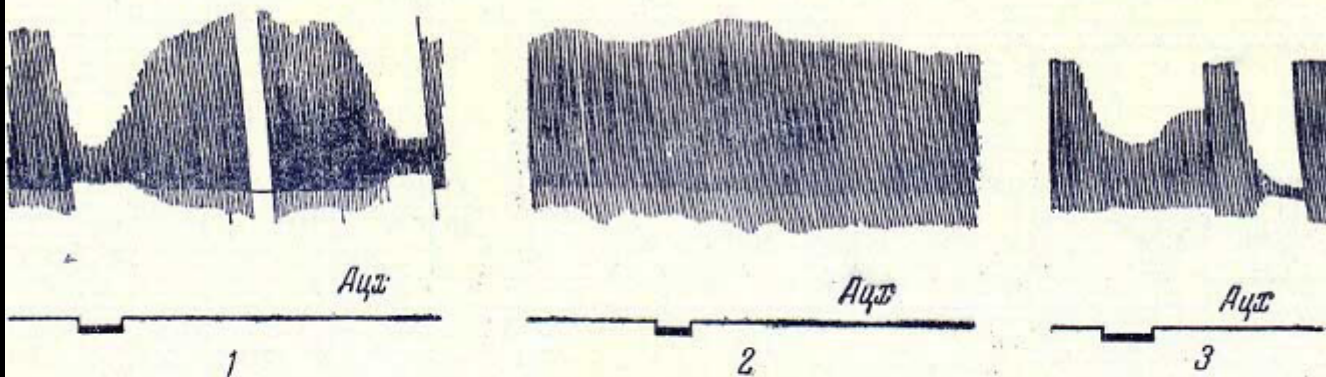


Рис. 13.

1 — действие раздражения блуждающего нерва (и ацетилхолина для сравнения) на сокращения миокарда желудочка сердца лягушки в норме; 2 — после связывания сульфгидрильных групп сулемой ($5 \cdot 10^{-6}$);
3 — после действия цистеина ($5 \cdot 10^{-4}$)

Холинорецептор - белок

Letters to Editor

nature 158, 837-838 (07 December 1946) |
doi:10.1038/158837b0

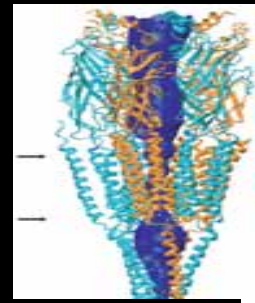
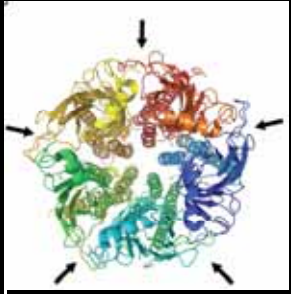
**Role of Sulphydril Groups in the Action of
Acetylcholine and Inhibition of the Vagus
Nerve**

Ch. S. KOSCHTOJANZ & T. M. TURPAJEV



Хачатур Седракович Коштоянц

Some key events in AChR's life



1946 - evidences that AChR is a protein

T.M. Turpaev & C.S. Koschtojanz

1958-60-th - Homogenate of AChR Turpaev & co-authors

AX смещает кривую меркуриметрического титрования SH- групп в тканевом гомогенате

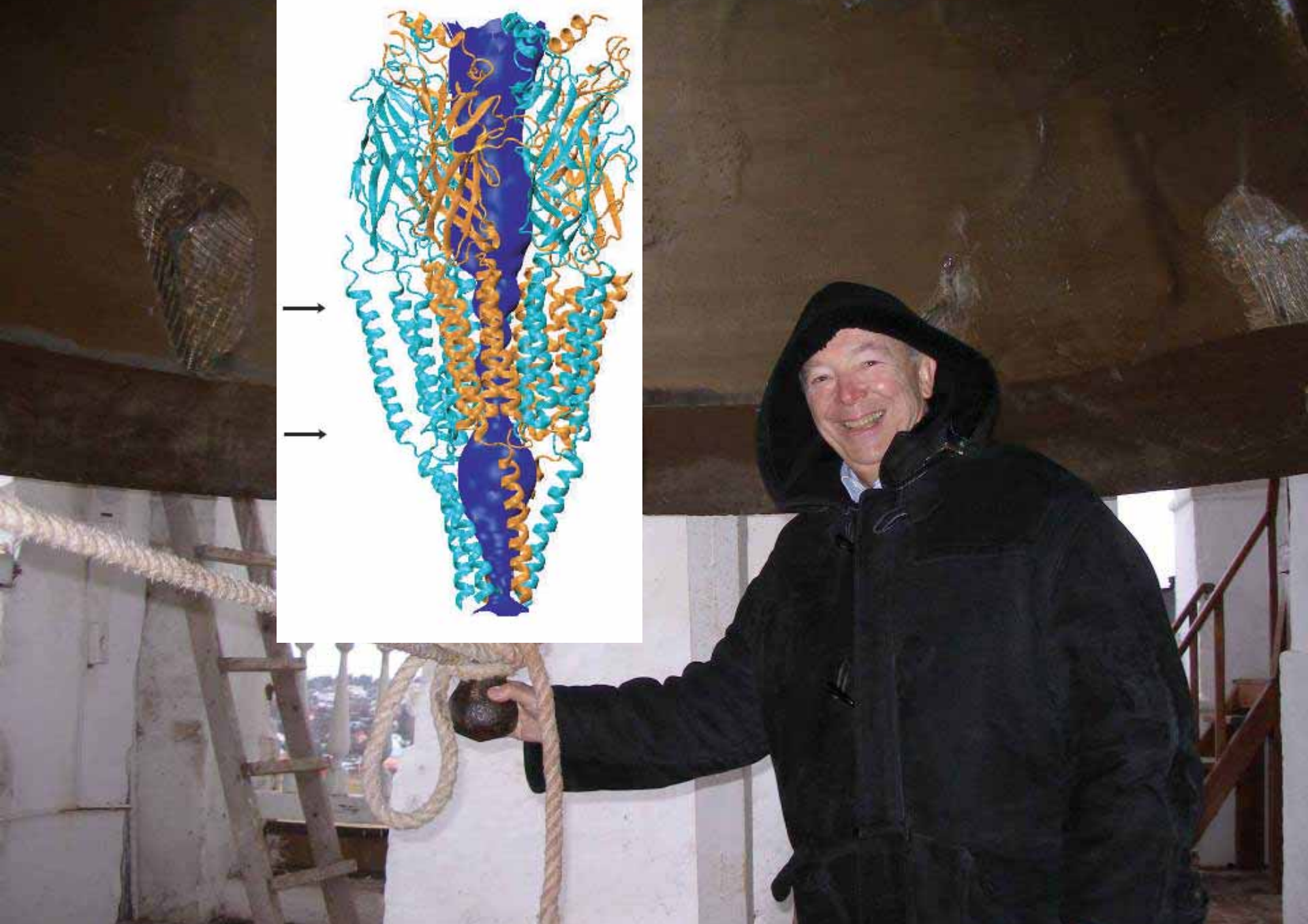
**1972 - purification of nAChR from Torpedo using
affinity chromatography** J-P. Changeux & co-authors

1974 - AChR - pentameric protein A. Karlin & co-authors

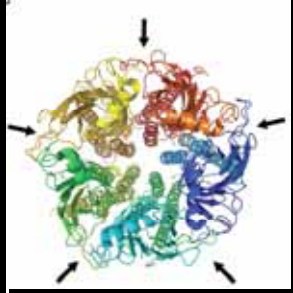
1979 - first 20 amino acids of AChR sequence from

T.Marmorata

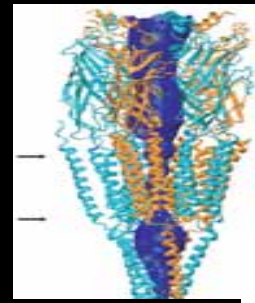
J-P. Changeux & co-authors



J-P Changeux - Storogevsky monastery Oct-2008



Some key events in AChR's life



1946 - evidences that AChR is a protein

T.M. Turpaev & C.S. Koschtojanz

1960-th - isolation of AChR T.M. Turpaev & co-authors

АХ смещает кривую меркуриметрического титрования SH- групп в тканевом гомогенате

1972 - purification of AChR from Torpedo using affinity chromatography

J-P. Changeux & co-authors

1974 - AChR - pentameric protein A. Karlin & co-authors

1979 - first 20 amino acids of AChR sequence from

T.Marmorata

J-P. Changeux & co-authors

1983 - complete sequence of AChR from *T.Californica*

S. Numa & co-authors

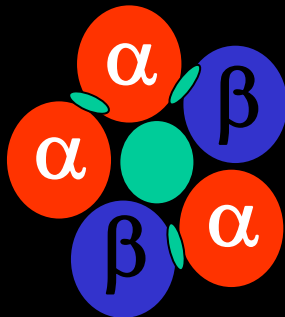
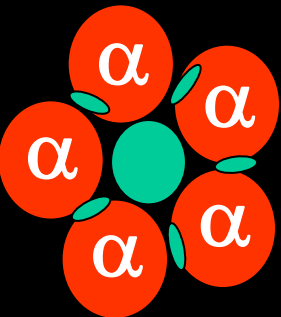
Cys-Loop ligand-gated channels

**Cation-
selective**

Acetylcholine
Serotonine (5-HT)

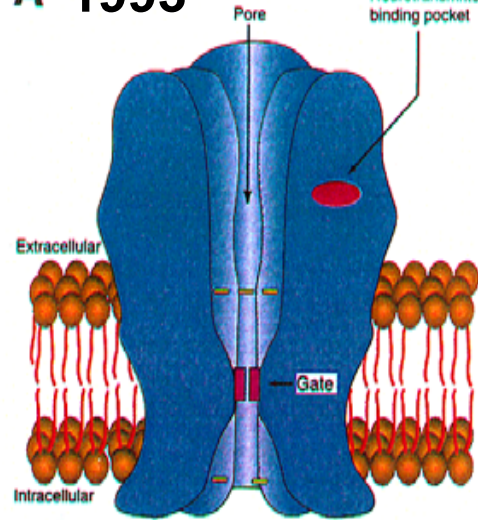
**Anion-
selective**

GABA
Glycine

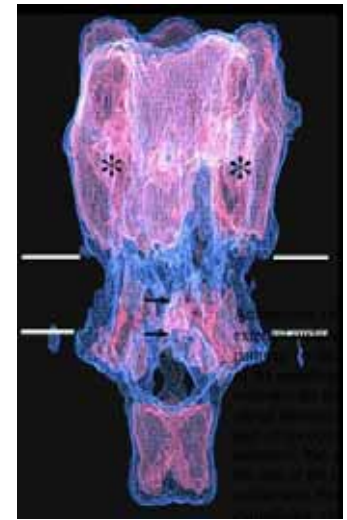


homo- hetero-oligomeric

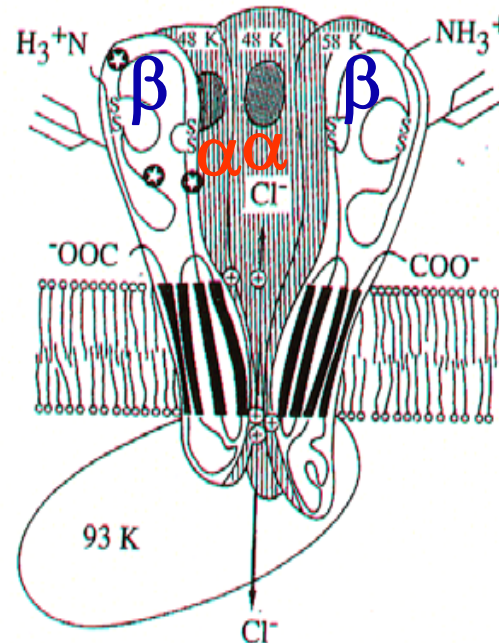
A 1993



B 1999

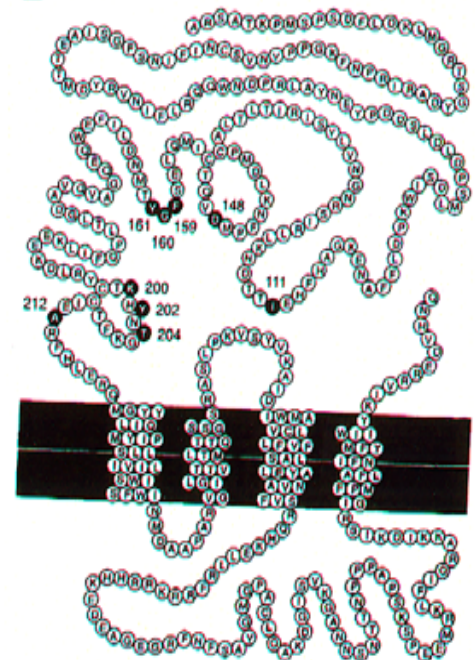


C



Glycine Receptor

D



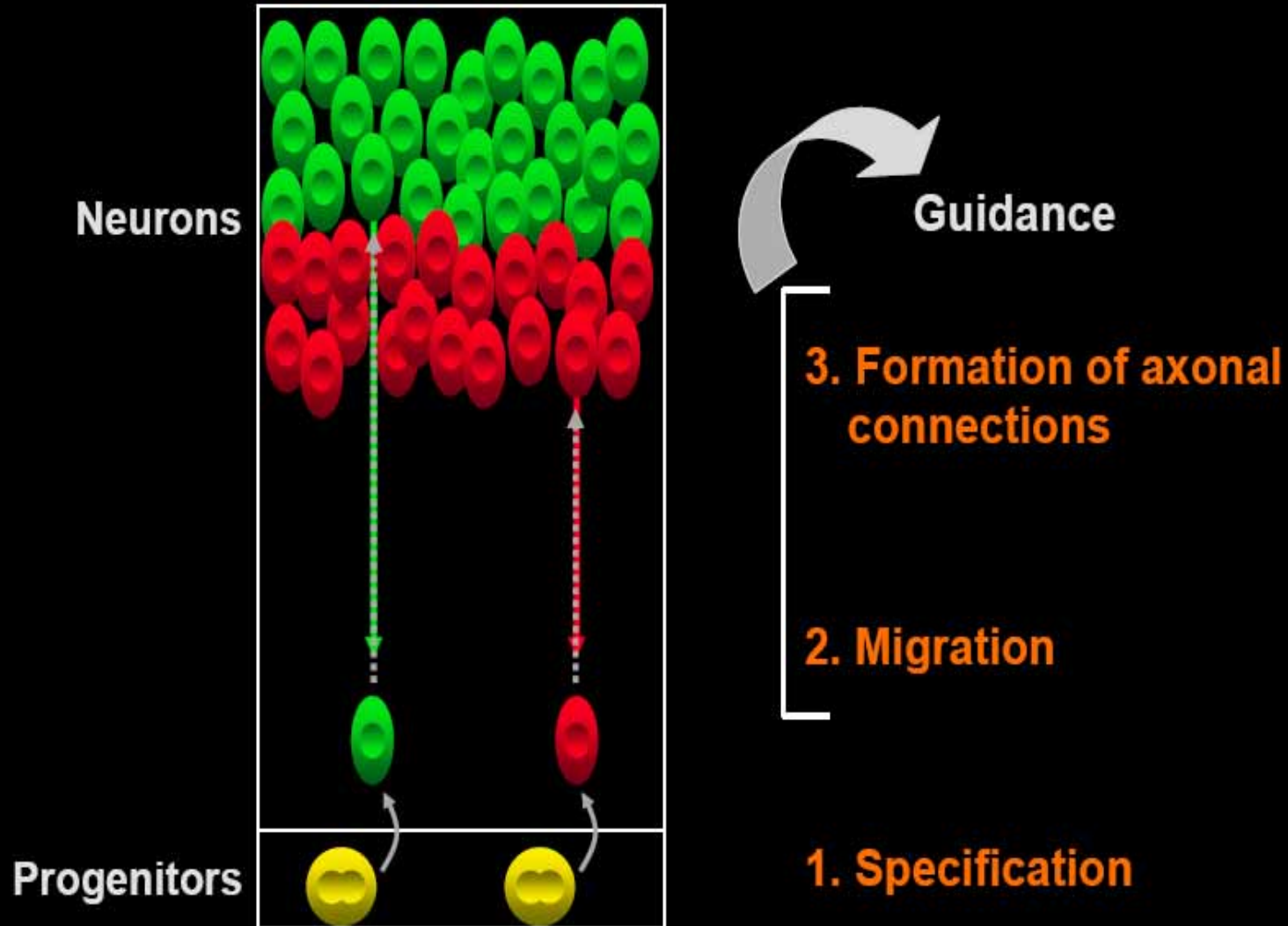
GlyR α subunit

Ligand-gated 4-TM channels:

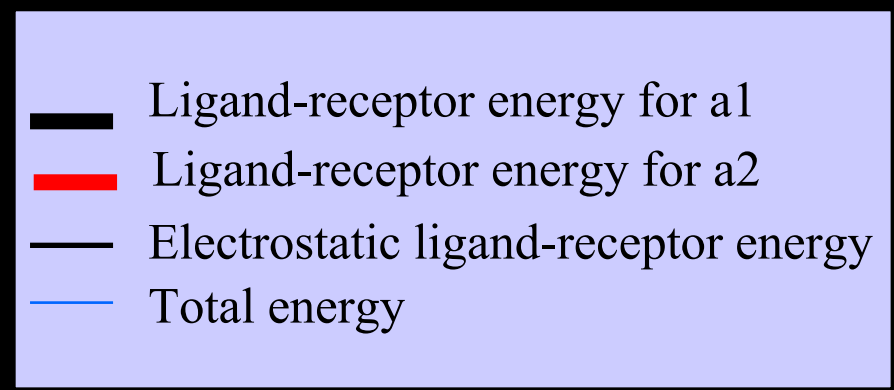
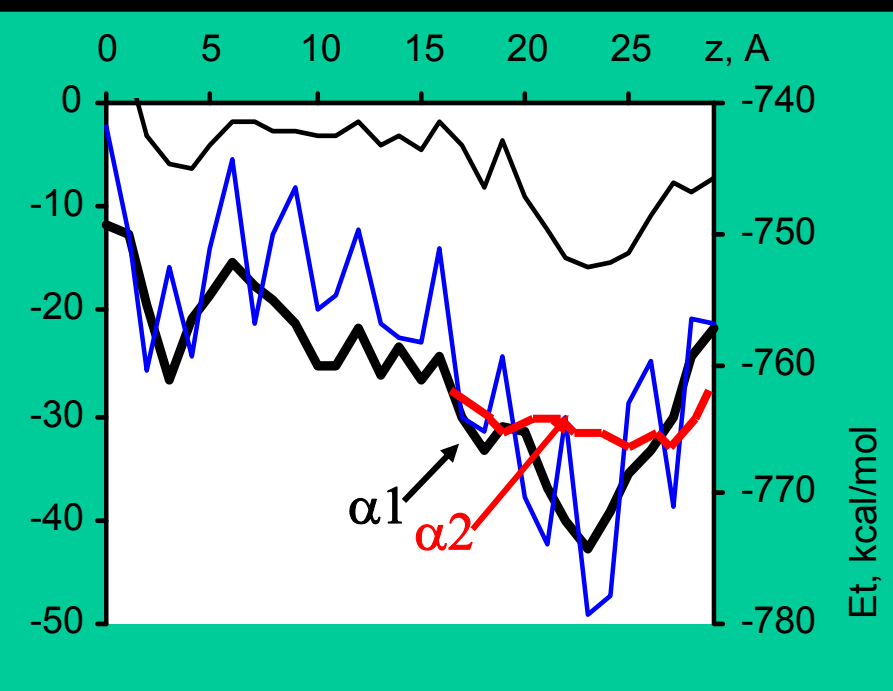
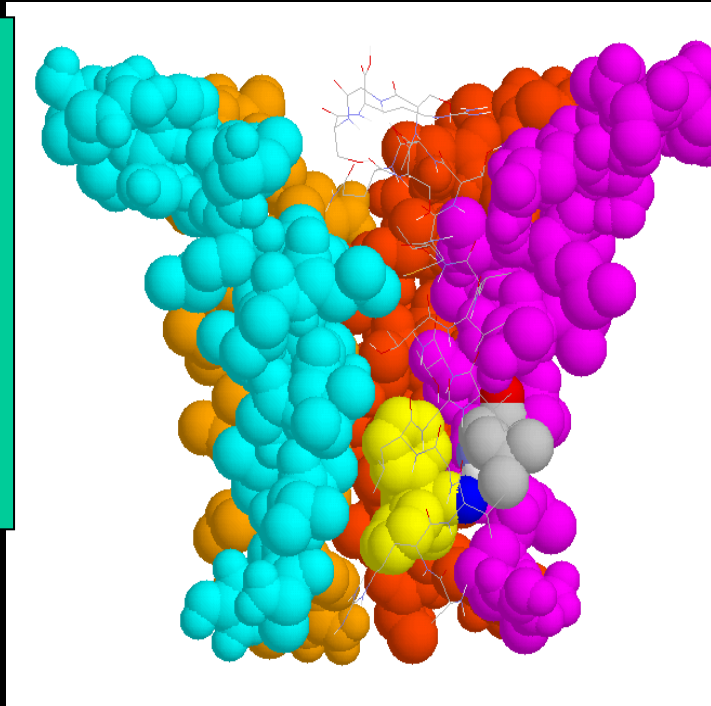
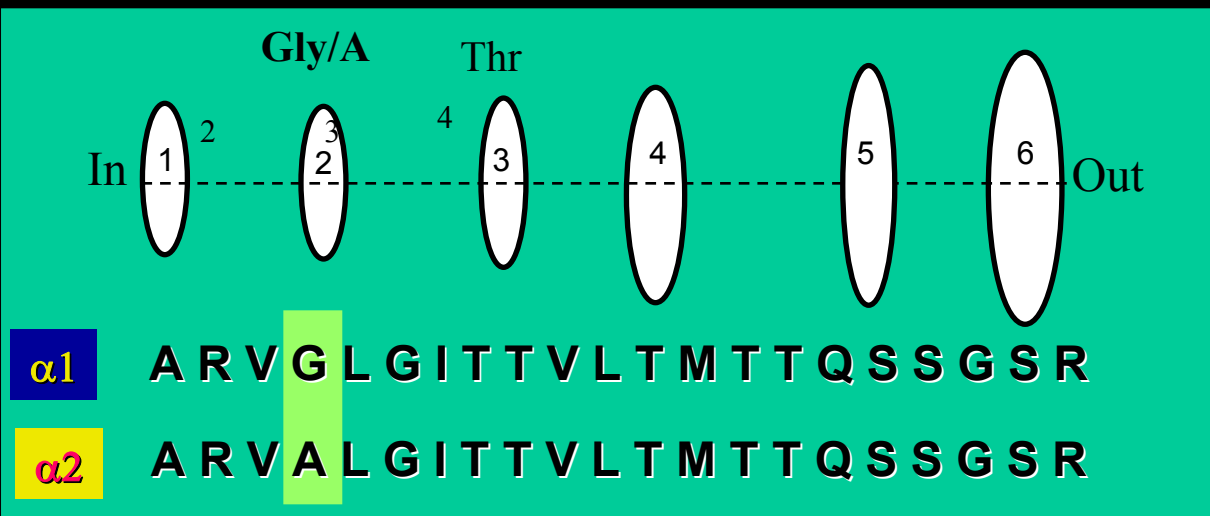
– What we know about:

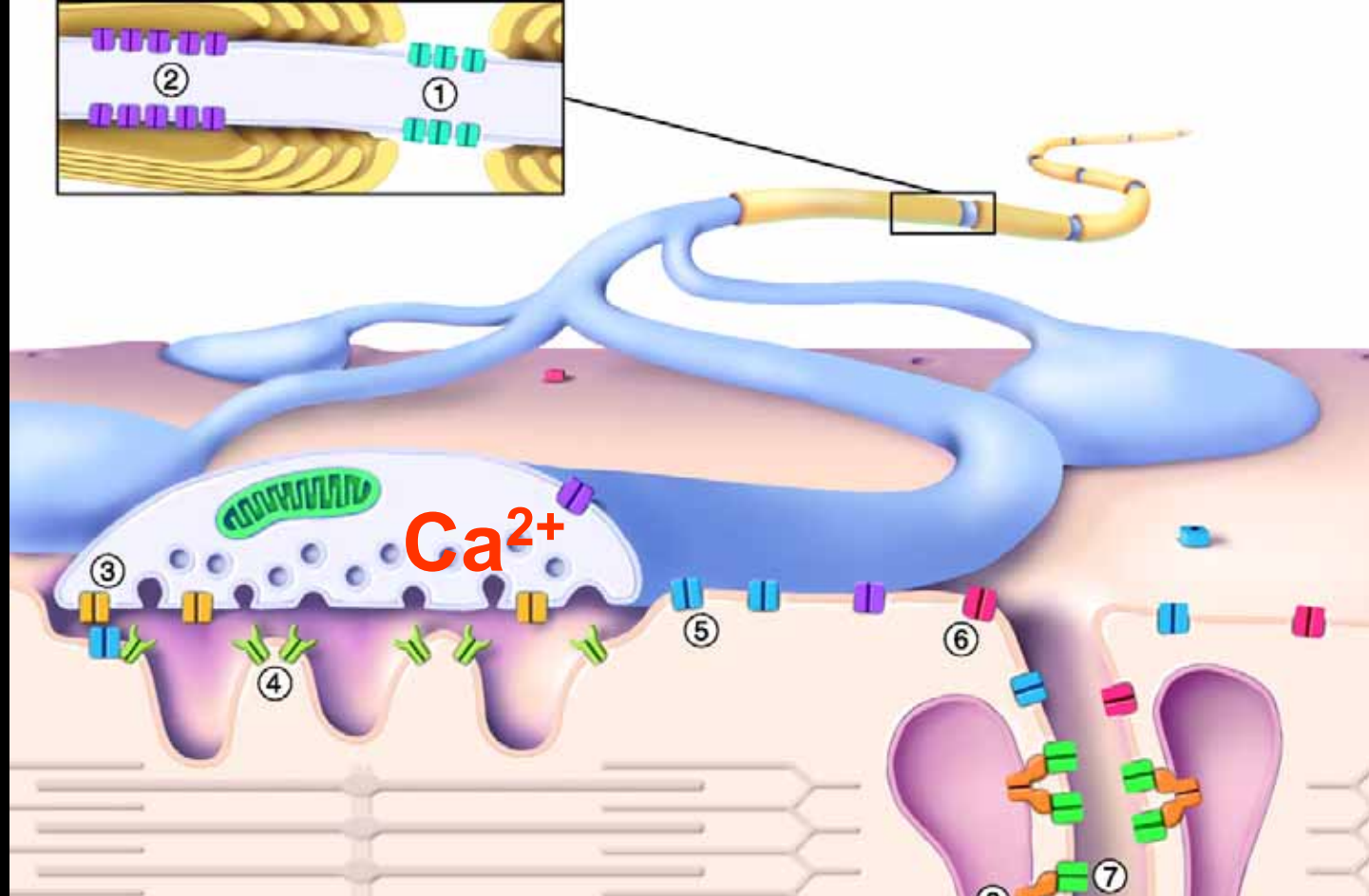
- Structure
- Conformational transitions during activation

Steps in the early development of the nervous system



Energy Profile of CTB in $\alpha 1$ and $\alpha 2$ GlyRs





Calcium - key trigger of neurotransmitter release in chemical synapses

- (1) Postsynaptic voltage-gated potassium channel
- (2) Postsynaptic voltage-gated chloride channel
- (3) Nerve voltage-gated calcium channel
- (4) Postsynaptic voltage-gated potassium channel
- (5) Postsynaptic voltage-gated chloride channel
- (6) Postsynaptic voltage-gated potassium channel
- (7) Transverse tubule voltage-gated channel

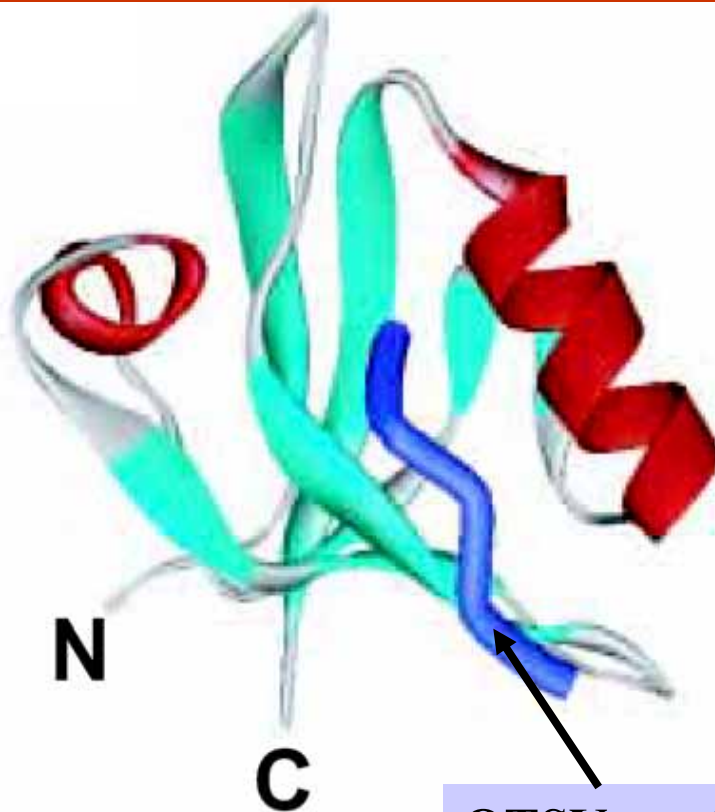
Interaction of peptides with PDZ domains

- 90 amino acids

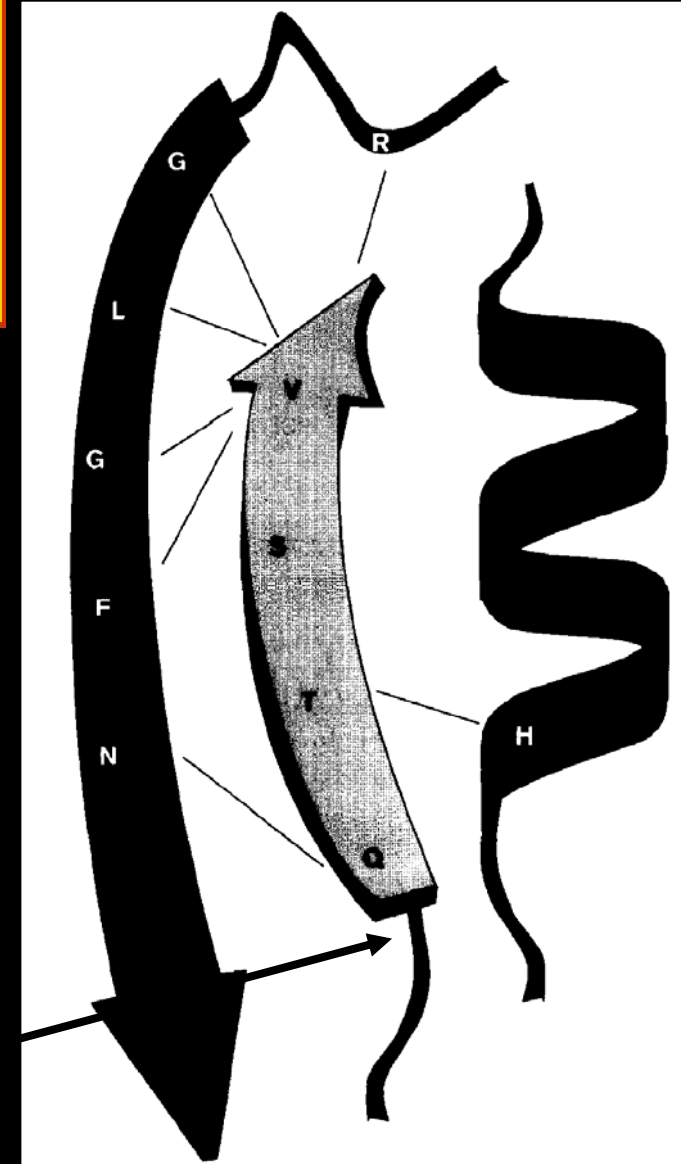
- Six β -strands and two α -helices

PDZ domains- modular protein-interaction domains that are specified for binding a short peptide motifs at the extreme carboxy (C) termini of other proteins.

PDZ domains-are located at about 12 nm below postsynaptic membrane.

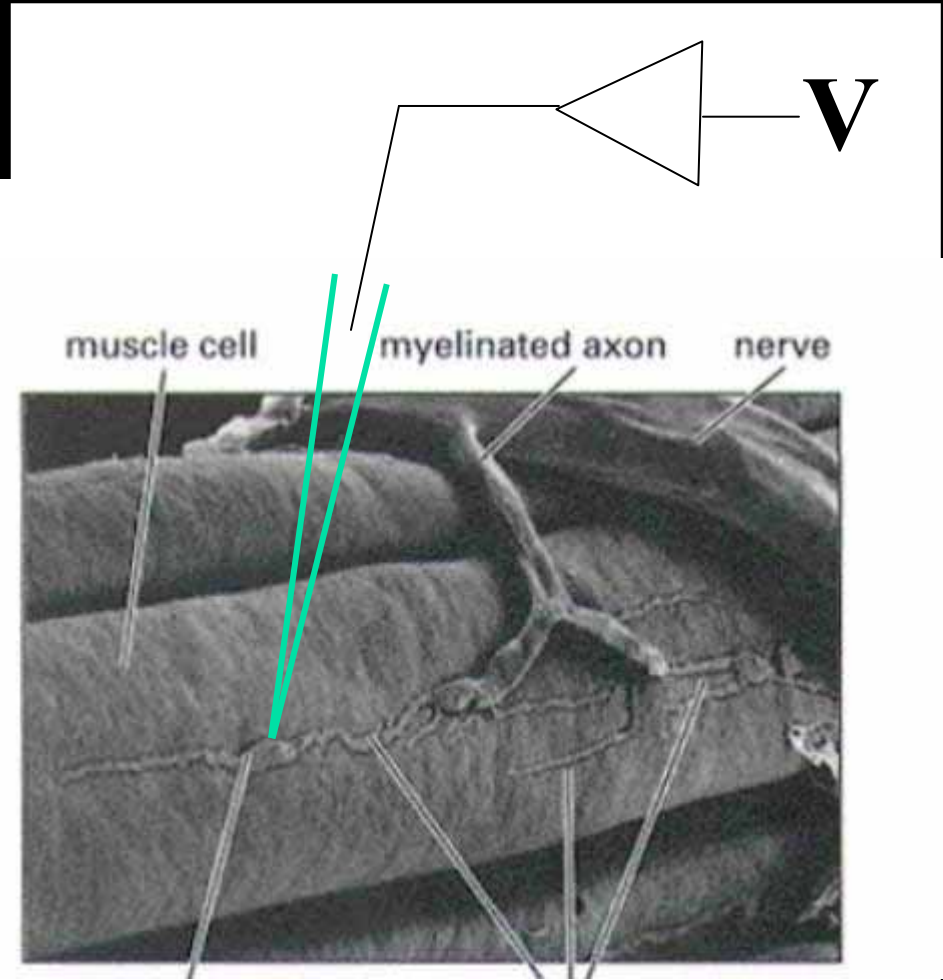
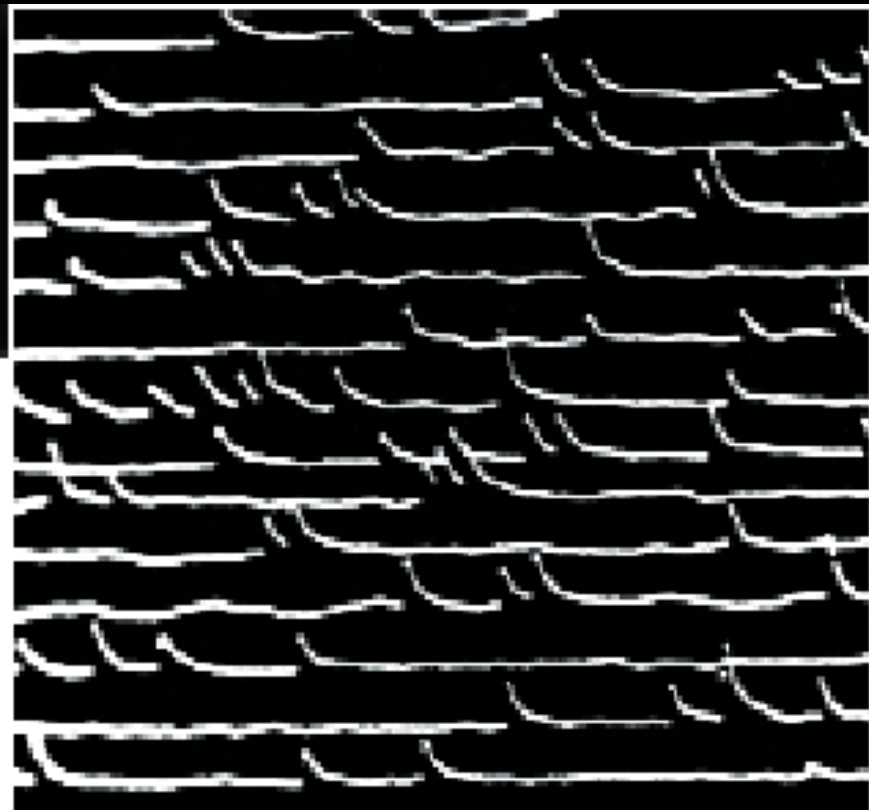


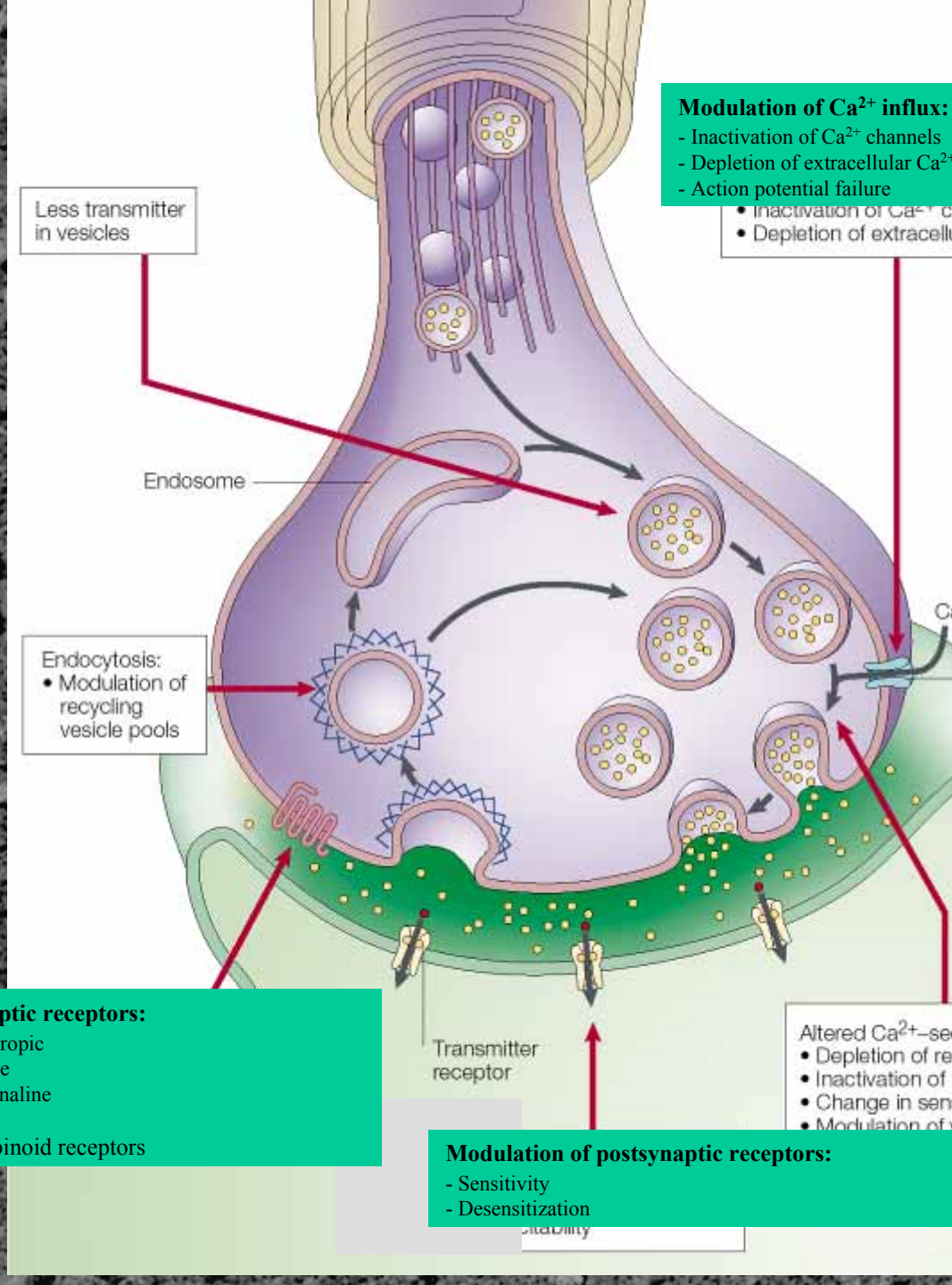
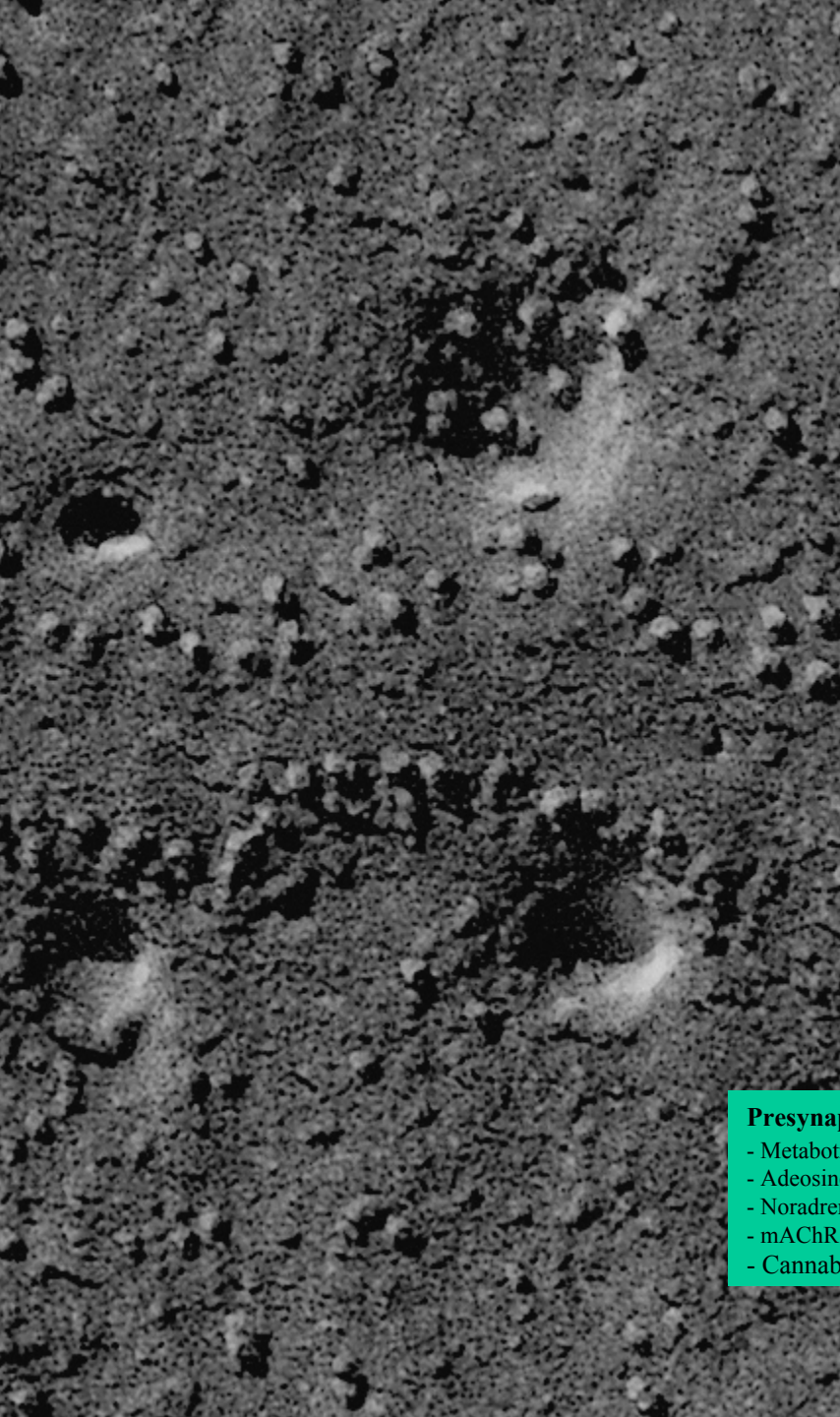
QTSV peptide



Миниатюрные синаптические потенциалы

CONTROL





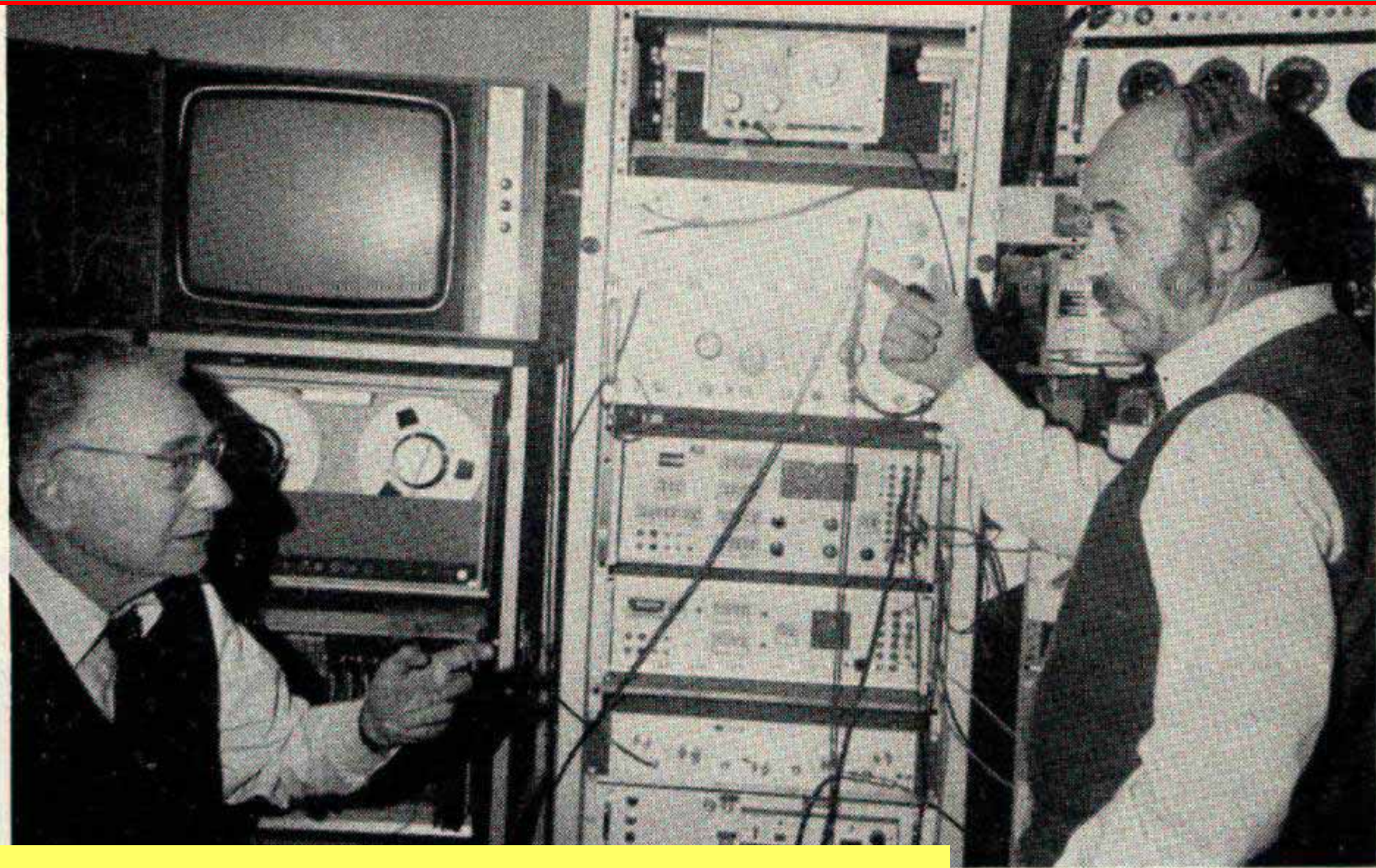
Presynaptic receptors:

- Metabotropic
- Adenosine
- Noradrenaline
- mAChR
- Cannabinoid receptors

Modulation of postsynaptic receptors:

- Sensitivity
- Desensitization

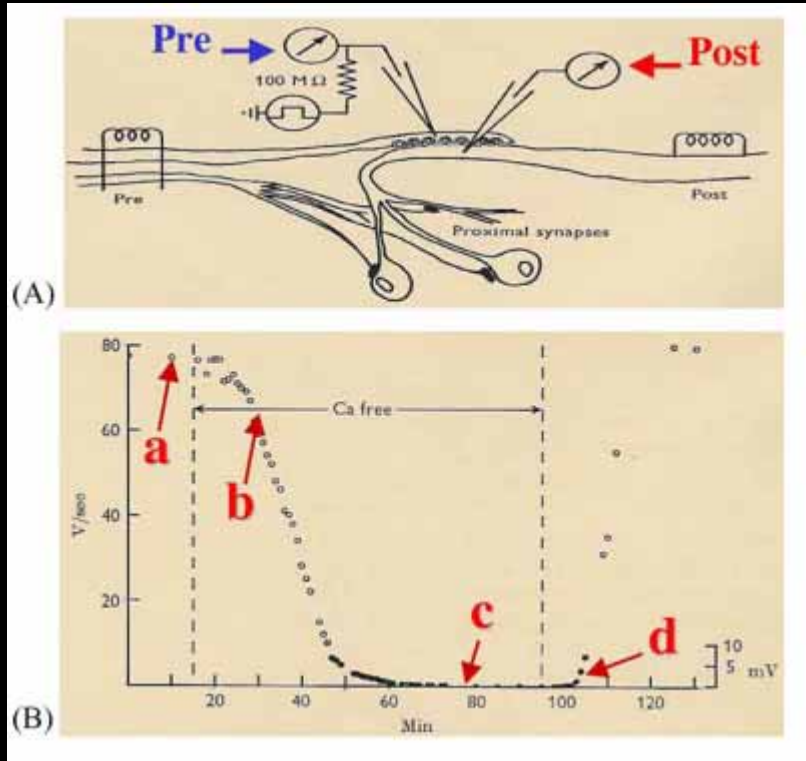
Ca²⁺ - ключевая роль в выбросе нейромедиатора



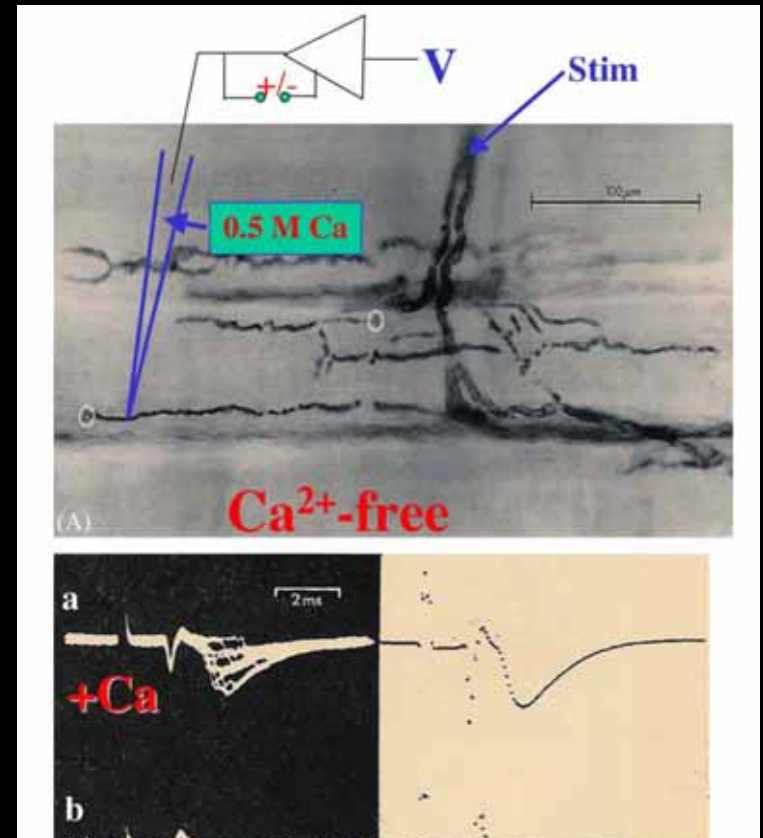
Bernard KATZ & Ricardo MILEDI, 1978

Photo: T. Takahashi

Доказательство ключевой роли Ca^{2+}



Squid giant synapse



Neuromuscular synapse

Katz & Miledi, *Nature*, 212: 1242-1245, 1966:

"At the squid giant synapse as well as at the neuromuscular junction, external calcium ions are indispensable for synaptic activity"

Calyx of Held – giant mammalian synapse

